

ČESKÉ VYSOKÉ UČENÍ TECHNICKÉ V PRAZE

Fakulta stavební



DIPLOMOVÁ PRÁCE
STATICKÝ VÝPOČET

2017

Bc. Petrás Michal



ČESKÉ VYSOKÉ UČENÍ TECHNICKÉ V PRAZE

Fakulta stavební

Thákurova 7, 166 29 Praha 6

ZADÁNÍ DIPLOMOVÉ PRÁCE

I. OSOBNÍ A STUDIJNÍ ÚDAJE

| | | |
|--|---------------|----------------------|
| Příjmení: PETRÁS | Jméno: Michal | Osobní číslo: 396562 |
| Zadávající katedra: Katedra ocelových a dřevěných konstrukcí | | |
| Studijní program: Stavební inženýrství | | |
| Studijní obor: Konstrukce pozemních staveb | | |

II. ÚDAJE K DIPLOMOVÉ PRÁCI

| |
|--|
| Název diplomové práce: Multifunkční kulturní hala |
| Název diplomové práce anglicky: Multi-purpose cultural hall |
| Pokyny pro vypracování: Návrh a posouzení ocelové konstrukce multifunkční haly včetně řešení prostorové tuhosti - ztužidla, řešení všech významných detailů, kotvení, výkresová dokumentace v obvyklém rozsahu (dispoziční výkresy 1:100, 1:200) a výkresy řešených detailů 1:10, technická zpráva. |

Seznam doporučené literatury:

| | |
|---|---|
| Jméno vedoucího diplomové práce: Doc. Ing. Martina Eliášová, CSc. | |
| Datum zadání diplomové práce: 3.10.2016 | Termín odevzdání diplomové práce: 8.1.2017 <i>Údaj uveďte v souladu s datem v časovém plánu příslušného ak. roku</i> |
| Podpis vedoucího práce | |

III. PŘEVZETÍ ZADÁNÍ

Beru na vědomí, že jsem povinen vypracovat diplomovou práci samostatně, bez cizí pomoci, s výjimkou poskytnutých konzultací. Seznam použité literatury, jiných pramenů a jmen konzultantů je nutné uvést v diplomové práci a při citování postupovat v souladu s metodickou příručkou ČVUT „Jak psát vysokoškolské závěrečné práce“ a metodickým pokynem ČVUT „O dodržování etických principů při přípravě vysokoškolských závěrečných prací“.

3. 10. 2016

Datum převzetí zadání

Podpis studenta(ky)

Prohlášení

Prohlašuji, že jsem diplomovou práci s názvem Multifunkční kulturní hala vypracoval samostatně a použil k tomu úplný výčet použité literatury, které uvádím v seznamu literatury přiložené k diplomové práci.

Nemám závažný důvod proti užití tohoto školního díla ve smyslu §60 Zákona č.121/2000 Sb., o právu autorkém, o právech souvisejících s právem autorským a o změně některých zákonů (autorský zákon).

V Praze dne 8.1.2017

Bc. Petrás Michal

Poděkování

Na tomto místě bych rád poděkoval především své vedoucí diplomové práce Doc. Ing. Martině Eliášové, CSc. za cenné rady, které mi poskytla při jejím vypracování a za trpělivost vloženou do vedení této práce.

Název diplomové práce:

Multifunkční kulturní hala

ABSTRAKT

Cílem této diplomové práce je navržení a posouzení ocelové konstrukce multifunkční haly včetně řešení prostorové tuhosti. Součástí návrhu a posouzení jsou všechny vodorovné nosné konstrukce, hlavní svislé nosné konstrukce a významné detaily.

Pro řešení této práce jsem navrhl: ocelový trubkový vazník, vazník kombinující ocel a dřevo, hlavní svislé konstrukce z oceli a vestavbu haly z válcovaných profilů. Prostorová tuhost je zajištěna veknutými patkami a ztužidly.

Výsledkem této diplomové práce je statický výpočet obsahující všechny výpočty, technickou zprávu ke statickému výpočtu, přílohy se všemi použitými dokumenty a výstupy ze statického programu a výkresovou dokumentaci v obvyklém rozsahu.

Klíčová slova:

Ocelový trubkový vazník, vazník kombinující dřevo a ocel, svislé nosné konstrukce, prostorová tuhost, jednolodní hala

Diploma's Thesis title:

Multi-purpose cultural hall

ABSTRACT

The aim of this thesis is to propose an assessment steel construction of multi-purpose hall including the solution of spatial rigidity. Part of the assessment are all horizontal structures, main vertical supporting structure and significant details.

For this thesis I suggested to use a steel tube truss, steel truss combining wood, the main vertical structure of steel and installation in the hall of rolled profiles. Spatial rigidity is ensured by cantileverer flaps and by bracings.

The result of this thesis is a static calculation with all calculations, technical report to the static calculation, attachments with all the applicable documents and outputs from the static PROGRAM and drawings in the normal range

Key words:

Steel tube truss, truss combining wood and steel, vertical supporting constructions, spatial rigidity, nave hall

OBSAH

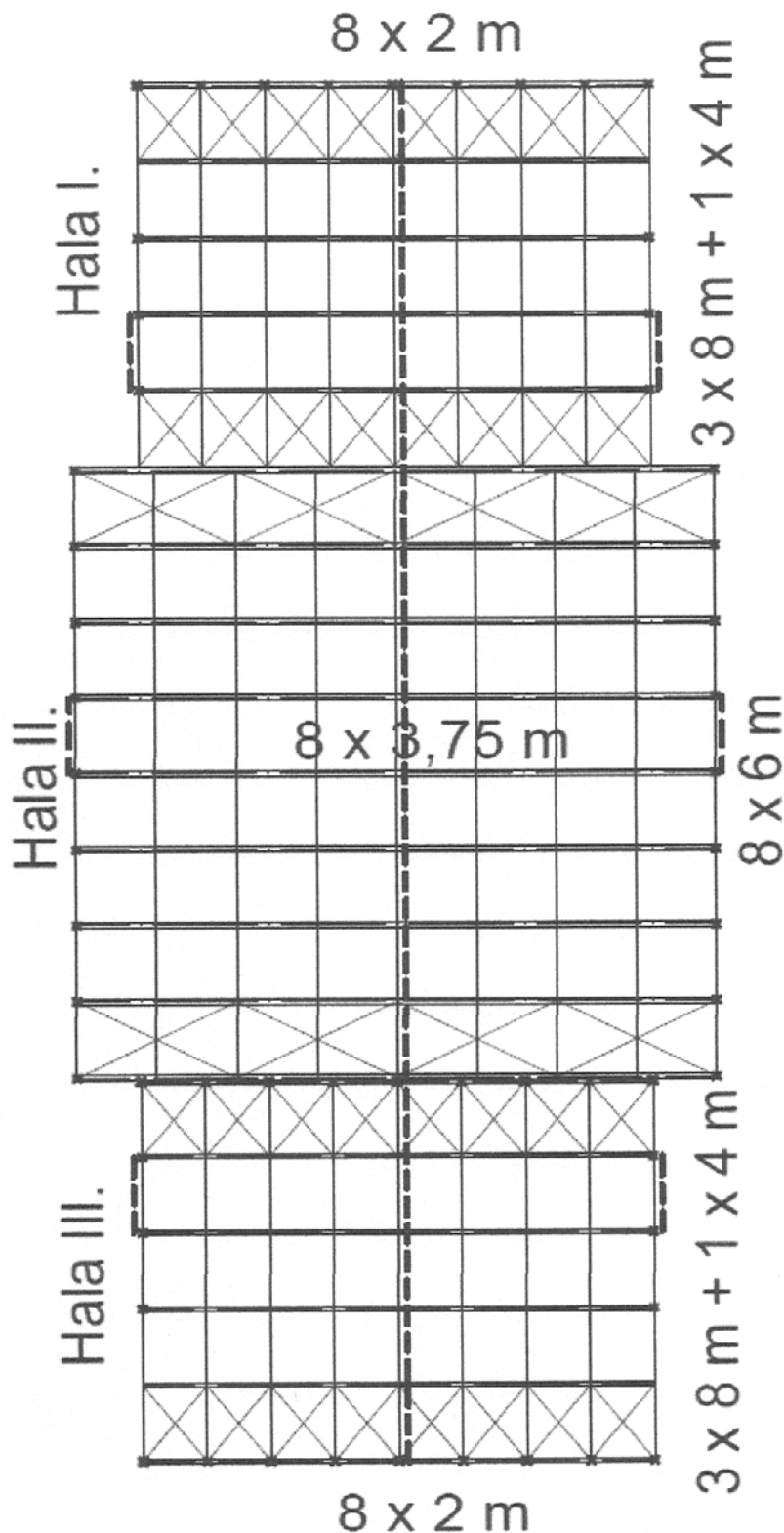
| | | |
|-------|--|----|
| 1. | Situace | 1 |
| 2. | Výpočet zatížení | 2 |
| 2.1. | Zatížení vlastní tíhou | 2 |
| 2.2. | Zatížení sněhem | 3 |
| 2.3. | Zatížení větrem | 4 |
| 3. | Vaznice | 8 |
| 3.1. | Spojitá vaznice | 8 |
| 3.2. | Zatížení na vaznici | 9 |
| 3.3. | Vnitřní síly | 10 |
| 3.4. | Posouzení vaznice – MSÚ | 13 |
| 3.5. | Posouzení vaznice – MSP | 15 |
| 4. | Vazník | 16 |
| 4.1. | Geometrie vazníku | 16 |
| 4.2. | Výpočet zatížení | 16 |
| 4.3. | Posouzení vazníku | 21 |
| 5. | Sloup – Hala I. | 25 |
| 5.1. | Předběžný odhad profilu | 25 |
| 5.2. | MSP | 25 |
| 5.3. | MSÚ | 25 |
| 6. | Patka sloupu – Hala I. | 28 |
| 6.1. | Průřez patky | 30 |
| 6.2. | Připojení výztuh | 31 |
| 6.3. | Kotevní šrouby | 32 |
| 6.4. | Kotevník příčník | 33 |
| 6.5. | Přenos vodorovné síly do patky | 34 |
| 7. | Ztužení – Hala I. a Hala III. | 35 |
| 7.1. | Příčné ztužidlo ve střešní rovině | 35 |
| 7.2. | Přenos tlaku ve svislici vaznicí | 37 |
| 7.3. | Podélné ztužení Haly I. a III. | 38 |
| 8. | Štírová stěna Haly I. a III. | 41 |
| 8.1. | Zjištění rozhodujícího sloupu | 41 |
| 8.2. | Posouzení MSÚ – kombinace G+S | 41 |
| 8.3. | Posouzení MSÚ – kombinace $G_{min}+W$ | 42 |
| 8.4. | Příčné ztužení ve štírových stěnách | 45 |
| 9. | Střešní panely – Hala II. | 46 |
| 9.1. | Výpočet zatížení | 46 |
| 9.2. | Posouzení | 46 |
| 10. | Vaznice – Hala II. | 48 |
| 10.1. | Dopočet zatížení na vaznice | 48 |
| 10.2. | Posouzení na ohyb | 49 |
| 10.3. | Posouzení smykového napětí | 50 |
| 10.4. | Posouzení průhybu | 50 |
| 11. | Vazník Dřevo – Ocel | 51 |
| 11.1. | Geometrie vazníku | 51 |
| 11.2. | Výpočet zatížení | 51 |
| 11.3. | Vnitřní síly pro kombinaci $G_{max} + s_{max}$ | 54 |

| | |
|---|------------|
| 11.3.1. Tabulka s posouzením tažených prutů | 54 |
| 11.3.2. Tabulka s posouzením tlačených prutů | 55 |
| 12. Ocelový sloup – Vazba s vazníkem DK – OK | 56 |
| 12.1. Výpočet zatížení | 56 |
| 12.2. Vnitřní síly od rozhodující kombinace | 58 |
| 12.3. Předběžný odhad profilu | 59 |
| 12.4. Mezní stav použitelnosti | 59 |
| 12.5. Mezní stav únosnosti | 59 |
| 13. Patka sloupu | 62 |
| 13.1. Průřez patky | 64 |
| 13.2. Připojení výztuh k patnímu plechu | 65 |
| 13.3. Kotevní šrouby | 66 |
| 13.4. Kotevní příčník | 67 |
| 13.5. Přenos vodorovné síly do patky | 68 |
| 14. Ztužení haly II. | 69 |
| 14.1. Příčné ztužidlo ve střešní rovině | 69 |
| 14.2. Podélné ztužidlo | 70 |
| 15. Štírová stěna Hala II. | 72 |
| 15.1. Zatížení rozhodujícího sloupu | 72 |
| 15.2. Vnitřní síly | 72 |
| 15.3. Posouzení | 73 |
| 16. Výpočet vestavby | 74 |
| 16.1. Výpočet zatížení | 75 |
| 16.2. Stropní konstrukce | 76 |
| 16.3. Sloup | 95 |
| 16.4. Patka sloupu | 97 |
| 16.5. Přípoj stropních nosníků | 100 |
| 17. Sloup – Hala III. | 105 |
| 17.1. Předběžný návrh profilu sloupu | 105 |
| 17.2. Mezní stav použitelnosti | 105 |
| 17.3. Mezní stav únosnosti | 105 |
| 18. Patka sloupu – Hala III. | 108 |
| 18.1. Průřez patky | 110 |
| 18.2. Připojení výztuh k patnímu plechu | 111 |
| 18.3. Kotevní šrouby | 112 |
| 18.4. Kotevní příčník | 113 |
| 18.5. Přenos vodorovné síly do patky | 114 |



1. Situace

Předmětem návrhu je budova multifunkční kulturní haly. Půdorys haly je jednolodní hala podélně rozdělena na 3 různé šírky.





2. Výpočet zatížení

2.1. Zatížení vlastní tíhou

2.1.1. Zatížení vaznic střešním pláštěm nad auditoriem

Skladba NOVATOP R300 - 7

| Vrstva | tl. [mm] | Hustota [kg/m ³] | m [kg/m ²] | g [kN/m ²] |
|----------------|----------|------------------------------|------------------------|------------------------|
| Plech | 3 | 7850 | 23,55 | 0,2355 |
| Latě | 30 | 500 | 0,9375 | 0,009375 |
| Steico Therm | 120 | 160 | 19,2 | 0,192 |
| Steico Flex | 240 | 50 | 12 | 0,12 |
| Dřevěná prkna | 27 | 500 | 13,5 | 0,135 |
| Min. Izolace | 80 | 50 | 4 | 0,04 |
| Sádrovl. Deska | 12 | 1200 | 14,4 | 0,144 |
| Celkem | | | | 0,875875 |

2.1.2. Zatížení vaznic střešním pláštěm nad přední a zadní částí - střešní panel Kingspan KS 1000 RW

| Vrstva | hmotnost [kg/m ²] | g [kN/m ²] |
|-----------|-------------------------------|------------------------|
| PUR Panel | 13,63 | 0,1363 |

2.1.3. Zatížení vaznic střešním pláštěm nad přední a zadní částí - prosklená část

| Vrstva | Hmotnost [kg/m ²] | g [kN/m ²] |
|----------------------------|-------------------------------|------------------------|
| Izolační dvojskla 2 x 8 mm | 40 | 0,4 |

2.1.4. Vlastní těha dřevěné vaznice

| Materiál | B [mm] | H [mm] | Hustota [kg/m ³] | m [kg/m] | g [kN/m] |
|----------|--------|--------|------------------------------|----------|----------|
| C24 | 150 | 350 | 410 | 21,525 | 0,21525 |

2.1.5. Vlastní těha ocelové vaznice

| Průřez | Mat. | m [kg/m] | g [kN/m] |
|---------|------|----------|----------|
| IPE 180 | Ocel | 18,8 | 0,188 |



2.2. Výpočet zatížení sněhem

2.2.1. Určení charakteristické hodnoty s_k

Charakteristická hodnota s_k se určuje podle sněhové mapy ČR

Místo stavby haly se nachází v oblasti I. Tedy charakteristická hodnota je

$$s_k = 0,7 \text{ kg/m}^2$$

2.2.2. Určení dalších reprezentativních hodnot ψ_0, ψ_1, ψ_2

$$\text{Kombinacní hodnota } \psi_0 s \quad \psi_0 = 0,5$$

$$\text{Častá hodnota } \psi_1 s \quad \psi_1 = 0,2$$

$$\text{Kvazistálá hodnota } \psi_2 s \quad \psi_2 = 0$$

2.2.3. Určení součinitele expozice na základě zabulky

| Typ krajiny | C _e |
|-------------|----------------|
| otevřená | 0,8 |
| normální | 1 |
| chráněná | 1,2 |

Tab: Typ krajiny

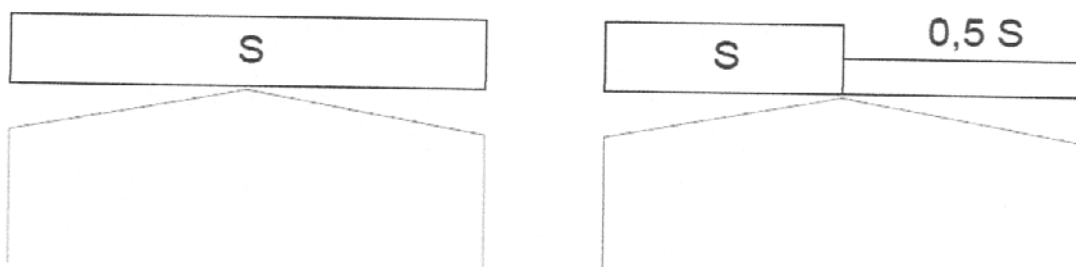
2.2.4. Určení tvarových součinitelů μ_i

Určení součinitelů závisí na sklonu střechy

$$\text{Sklon střechy } \alpha = 4,933$$

| Úhel sklonu střechy | $0^\circ \leq \alpha \leq 30^\circ$ | = | 0,8 |
|---------------------|-------------------------------------|---|-------|
| μ_1 | 0,8 | = | 0,8 |
| μ_2 | $0,8 + 0,8\alpha / 30$ | = | 0,932 |

2.2.5. Určení zatěžovacích obrazců pro sedlovou střechu



2.2.6. Zatížení pro trvalou a dočasnou návrhovou situaci

$$s = \mu_i * C_e * C_t * s_k = 0,56 \text{ kN/m}^2$$

Statický výpočet



2.3. Výpočet zatížení větrem

2.3.1. Základní rychlosť větru v_b

$$v_b = c_{dir} * c_{season} * v_{b,0}$$

| | | | | | |
|--------------|-----|----|--------------|-----|---|
| c_{dir} | $=$ | 1 | c_{dir} | $=$ | součinitel směru větru |
| c_{season} | $=$ | 1 | c_{season} | $=$ | součinitel ročního období |
| $v_{b,0}$ | $=$ | 25 | $v_{b,0}$ | $=$ | základní rychlosť větru - viz. Mapa větrných oblastí |

$$v_b = 25 \text{ m/S}$$

2.3.2. Charakteristická střední rychlosť větru $v_m(z)$

$$v_m(z) = c_r(z) * c_0(z) * v_b$$

| | | | |
|-----------------------------|-----|----------------------------|--------------------------|
| $c_0(z)$ | $=$ | součinitel orografie | |
| $c_r(z)$ | $=$ | součinitel drsnosti terénu | |
| <u>Kategorie terénu III</u> | | z_0 | parametr drsnosti terénu |
| z_0 [m] | 0,3 | z_{min} | min. výška |
| z_{min} [m] | 5 | z_{max} | uvažuje se 200 m |
| viz. materiály | | k_r | součinitel terénu |

$$k_r = 0,19 * (z_0 / z_{0,II})^{0,07}$$

$$k_r = 0,215$$

| | | |
|----------------|-----|------|
| $z_{0,II}$ [m] | $=$ | 0,05 |
|----------------|-----|------|

$$c_r(z) = k_r * \ln\left(\frac{z}{z_0}\right)$$

pro $z_{min} \leq z \leq z_{max}$:

$$c_r(15) = 0,843$$

$$c_0(z) = 1$$

$$v_m(z) = 21,07 \text{ m/s}$$

2.3.3. Maximální dynamický tlak $q_p(z)$

$$q_0(z) = [1 + 7 * l\nu(z)] * \frac{1}{2} * \rho * v_m^2 = C_e(z) * q_b$$

$$q_b = 0,5 * \rho * v_b(z)^2$$

$$q_b = 390,6 \text{ pa}$$

$$C_e(z) \text{ součinitel expozice}$$

$$C_e(z) = 2$$

viz [5]

$$q_0(z) = 781,3 \text{ pa}$$

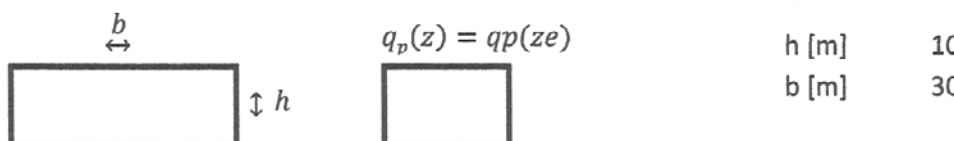
Statický výpočet



2.3.4. Součinitele tlaku pro pozemní stavby - Cpe a Cpe,1

Závislost dynamického tlaku na výšce:

$$\text{Platí : } h \leq b$$



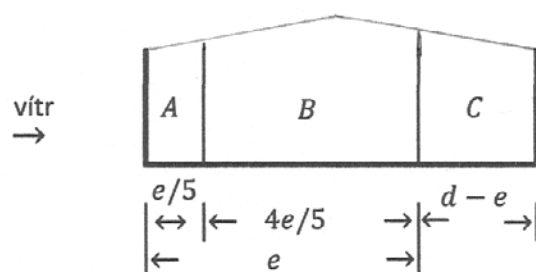
Rozdělení pláště na oblasti

Půdorys



$$\text{Platí : } e < d$$

Pohled pro $e < d$



Výpočet velikosti oblastí :

$$\underline{\text{Oblast A :}} \quad e/5 = 4 \text{ [m]}$$

$$h_{\min} = 5 \text{ [m]}$$

$$A_{\text{ref,min}} = 20 \text{ [m]}$$

$$\underline{\text{Oblast B :}} \quad 4e/5 = 16 \text{ [m]}$$

$$h_{\min} = 5 \text{ [m]}$$

$$B_{\text{ref,min}} = 80 \text{ [m]}$$

$$\underline{\text{Oblast C :}} \quad d-e = 10 \text{ [m]}$$

$$h_{\min} = 5 \text{ [m]}$$

$$C_{\text{ref,min}} = 50 \text{ [m]}$$

$$\underline{\text{Oblast D :}} \quad b = 112 \text{ [m]} \quad b_1 = 64 \text{ [m]}$$

$$h_{\min} = 5 \text{ [m]}$$

$$D_{\text{ref}} = 656 \text{ [m]} \quad b_2 = 48 \text{ [m]}$$

$$h_1 = 5 \text{ [m]}$$

$$h_2 = 7 \text{ [m]}$$

Oblast E :

$$E_{\text{ref}} = D_{\text{ref}} = 656 \text{ [m]}$$



Určení poměru h/d pro určení součinitelů vnějšího tlaku

| Oblast | A | B | C | D | E |
|--------|-------|-------|-------|-------|-------|
| h/d | 0,167 | 0,167 | 0,167 | 0,233 | 0,233 |

Doporučené hodnoty součinitelů vnějšího tlaku

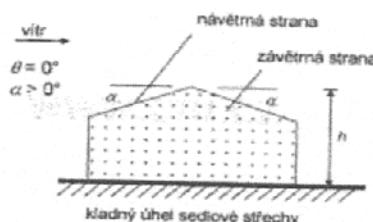
| Oblas | A | B | C | D | E |
|-------------|-------------|-------------|-------------|-------------|-------------|
| h/d | $C_{pe,10}$ | $C_{pe,10}$ | $C_{pe,10}$ | $C_{pe,10}$ | $C_{pe,10}$ |
| $\leq 0,25$ | -1,2 | -0,8 | -0,5 | 0,7 | -0,3 |

2.3.5. Celkový tlak w_e na stěny budovy

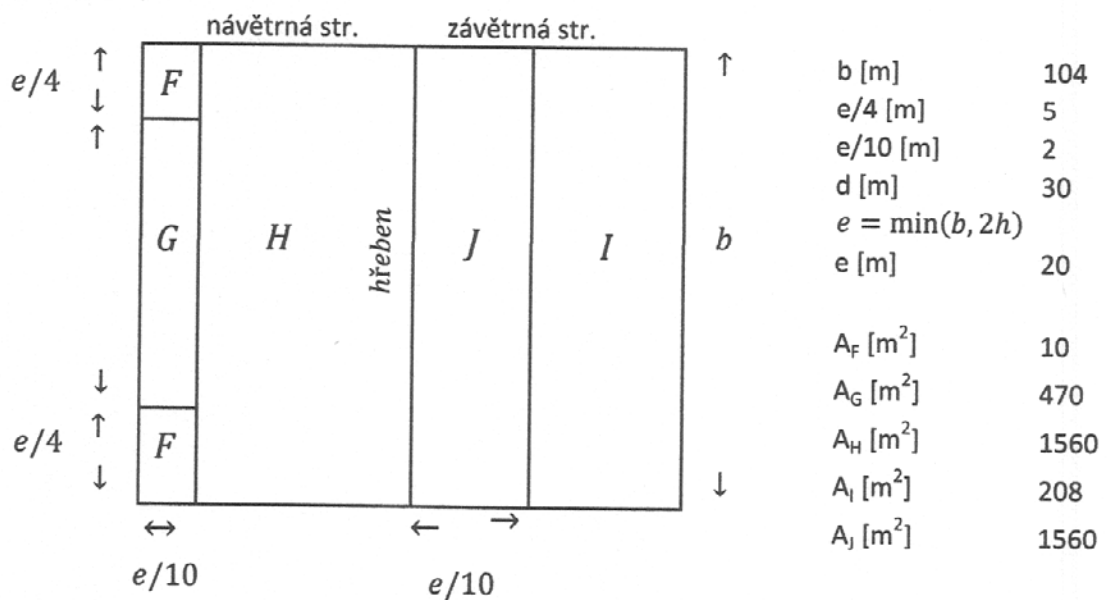
| Oblast | A | B | C | D | E |
|------------|--------|------|---------|---------|----------|
| q_w [Pa] | -937,5 | -625 | -390,63 | 546,875 | -234,375 |

* znaménková konvence: + = Tah, - = Tlak

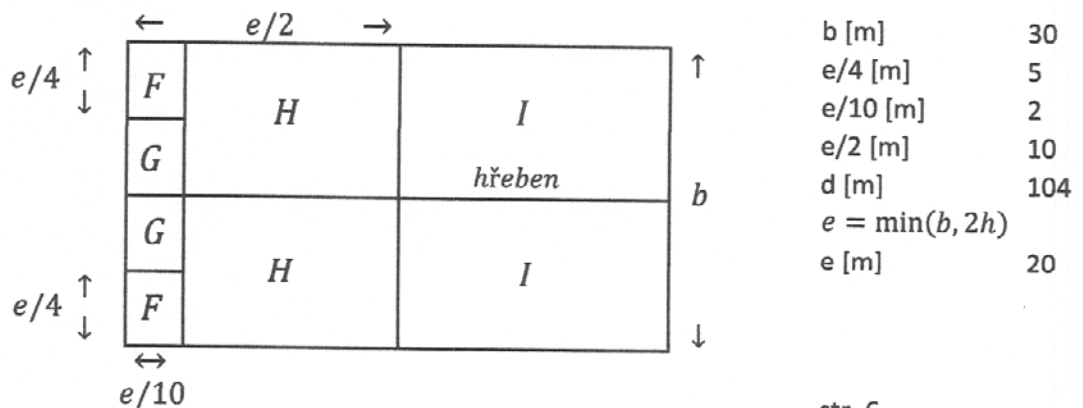
2.3.6. Výpočet tlaku větru na sedlovou střechu



2.3.6. a) Směr větru $\theta = 0^\circ$



2.3.6. b) Směr větru $\theta = 90^\circ$



Statický výpočet



Doporučené hodnoty součinitelů vnějšího tlaku

| Úhel sklonu α | Oblast pro směr větru $\theta = 0^\circ$ | | | | |
|----------------------|--|-------------|-------------|-------------|-------------|
| | F | G | H | I | J |
| | $C_{pe,10}$ | $C_{pe,10}$ | $C_{pe,10}$ | $C_{pe,10}$ | $C_{pe,10}$ |
| 5° | -1,7 | -1,2 | -0,6 | -0,6 | 0,2 -0,6 |

| Úhel sklonu α | Oblast pro směr větru $\theta = 90^\circ$ | | | |
|----------------------|---|-------------|-------------|-------------|
| | F | G | H | I |
| | $C_{pe,10}$ | $C_{pe,10}$ | $C_{pe,10}$ | $C_{pe,10}$ |
| 5° | -1,8 | -1,3 | -0,7 | -0,6 |

2.3.7. Celkový tlak w_e na sedlovou střechu

| Oblast | Oblast pro směr větru $\theta = 0^\circ$ | | | | |
|------------|--|--------|---------|---------|-------------------|
| | F | G | H | I | J |
| w_e [pa] | -1328,125 | -937,5 | -468,75 | -468,75 | 156,25 -468,75 |

| Oblast | Oblast pro směr větru $\theta = 90^\circ$ | | | |
|------------|---|----------|---------|---------|
| | F | G | H | I |
| w_e [pa] | -1406,25 | -1015,63 | -546,88 | -468,75 |



3. Vaznice

Rozhodující kombinace pro MSÚ, na které je nutno vaznice posoudit, jsou :

- stálé zatížení + sníh
- min. Stálé + sání větru

V MSP je třeba posoudit průhyb vaznice:

- od veškerého zatížení ($\gamma_f = 1,0$), doporučený mezní průhyb je $\delta_{lim} = \frac{L}{200}$

- od nahodilého zatížení ($\gamma_f = 1,0$), doporučený mezní průhyb je $\delta_2 = \frac{L}{250}$

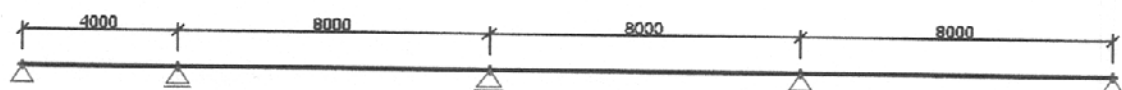
| Statický systém | Konstrukce | Rozpětí [m] |
|-----------------|------------|-------------|
| Spojité nosník | plnostěnné | 6,0 - 9,0 |

3.1. Spojité plnostěnné vaznice o více polích

Spojité plnostěnné vaznice lze navrhovat podle teorie pružnosti, vhodnější je ale pro tíhové zatížení ($q = \text{stálé} + \text{sníh}$) návrh podle teorie plasticity. Vaznici navrhujeme na vyrovnaný ohybový moment ve vnitřním poli a nad podporou, musí platit

$$M_{pl, Rd} \geq M_{Ed} = \frac{qL^2}{16}$$

Statické rozvržení



obr. [1]

Výpočet zatížení

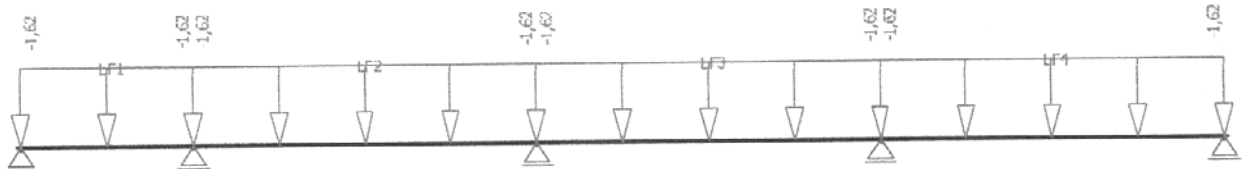
| | | | | | |
|----------------------|---|----------------|------|----------------|-----|
| Zatěžovací šířka [m] | 3 | $\gamma_G [-]$ | 1,35 | $\gamma_G [-]$ | 1,5 |
|----------------------|---|----------------|------|----------------|-----|

| | Char. Zatížení [kN/m^2] | Návrh. Zat [kN/m^2] | N. Zat. [kN/m] |
|---|---|---------------------------------------|----------------------------------|
| Stálé zatížení | 0,400 | 0,540 | 1,620 |
| Min. Stálé zatížení | 0,136 | 0,184 | 0,552 |
| Sníh | 0,560 | 0,840 | 2,520 |
| Sání větru (H) $_{\theta=0^\circ}$ | -0,469 | -0,703 | -3,164 |
| Sání větru (H) $_{\theta=90^\circ}$ | -0,547 | -0,820 | -3,691 |
| Sání větru (F) $_{\theta=90^\circ}$ | -1,328 | -1,992 | -5,977 |
| Sání větru (G) $_{\theta=90^\circ}$ | -1,016 | -1,523 | -4,570 |

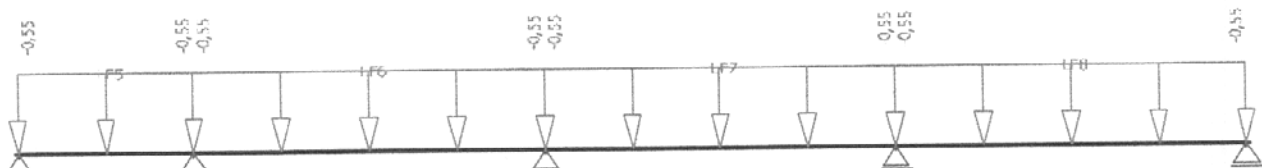


3.2. Zatížení na vaznice

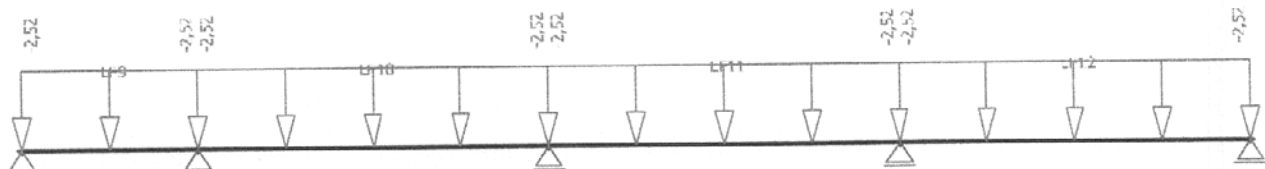
3.2.1. Stálé zatížení [kN/m]



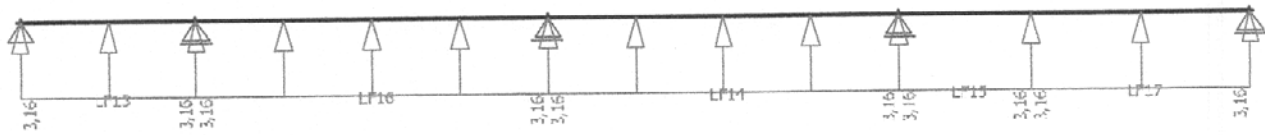
3.2.2. Min. Stálé zatížení [kN/m]



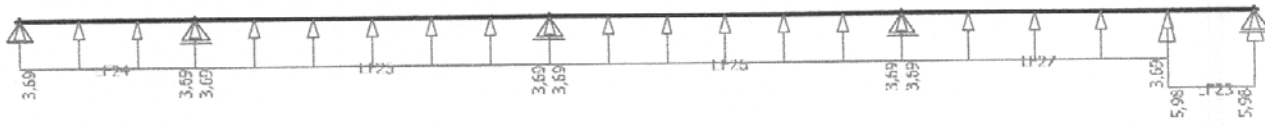
3.2.3. Sníh [kN/m]



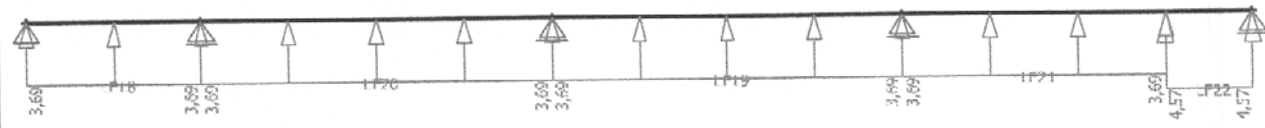
3.2.4. Sání větru [kN/m] - $\theta = 0^\circ$ (Oblast H)



3.2.5. Sání větru [kN/m] - $\theta = 90^\circ$ (Oblast F + H)



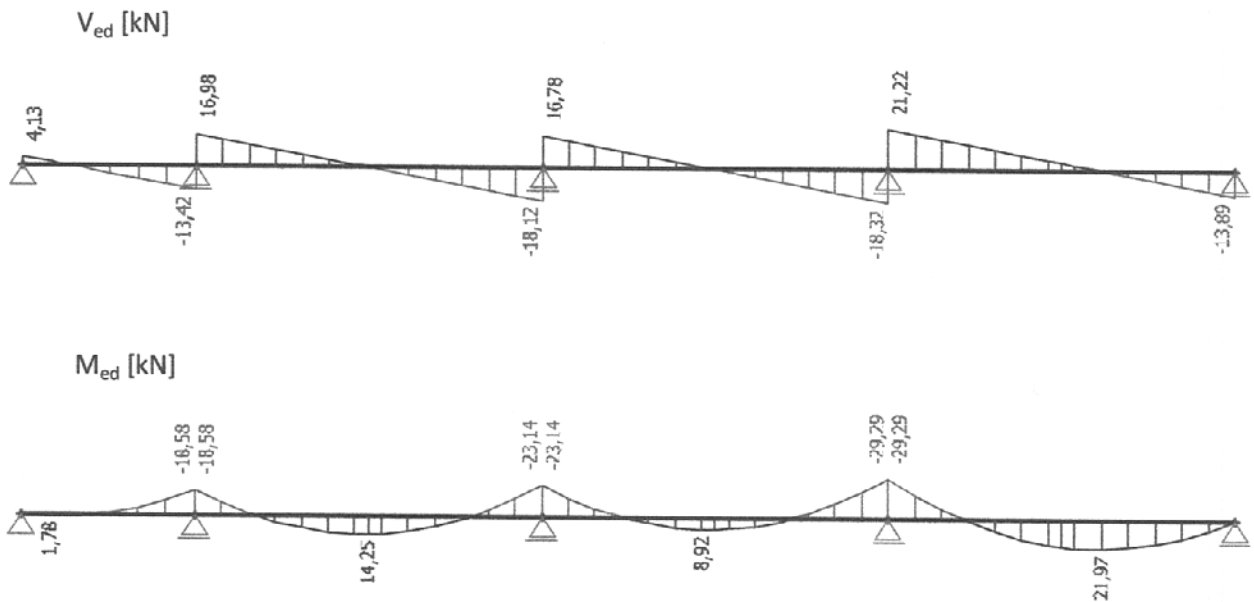
3.2.6. Sání větru [kN/m] - $\theta = 90^\circ$ (Oblast G + H)



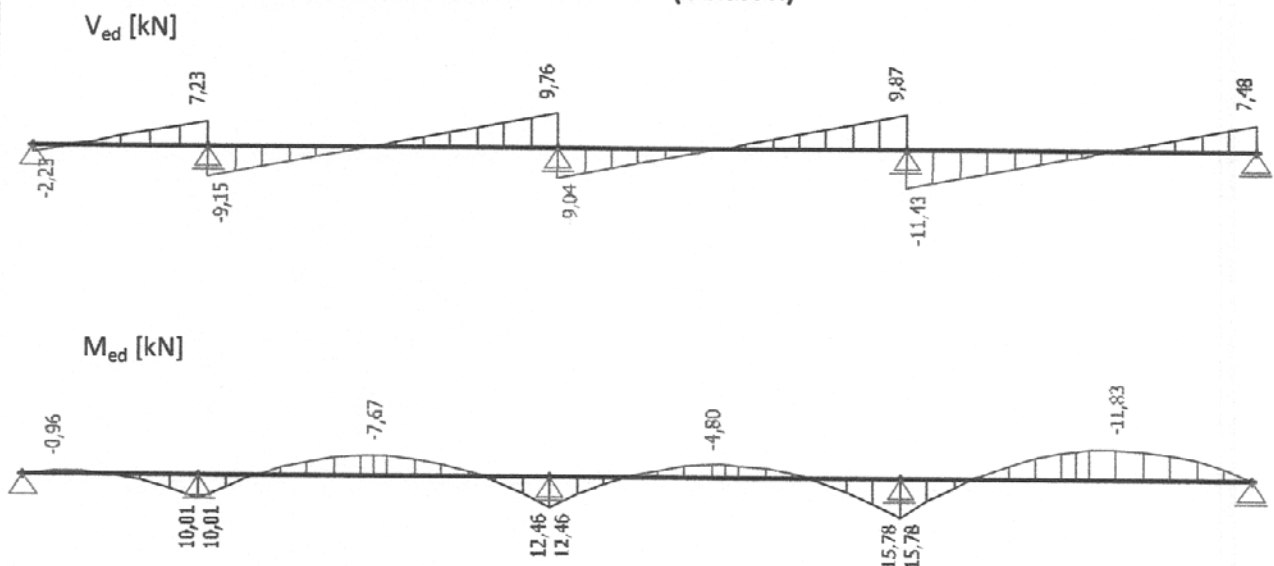


3.3. Vnitřní síly

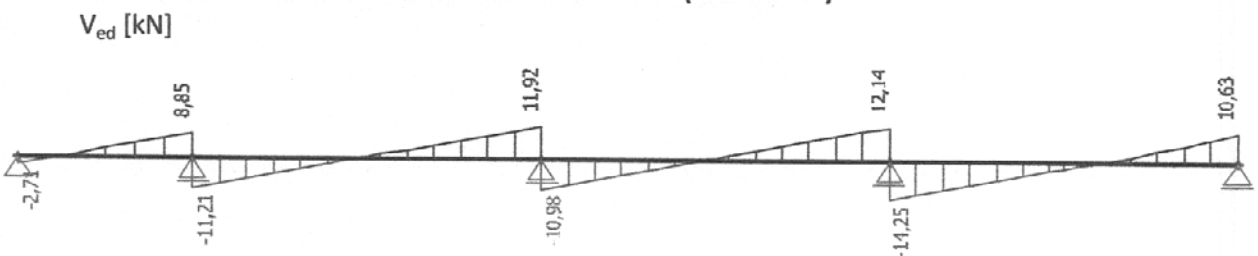
3.3.1. Kombinace max.stálé zatížení a sníh



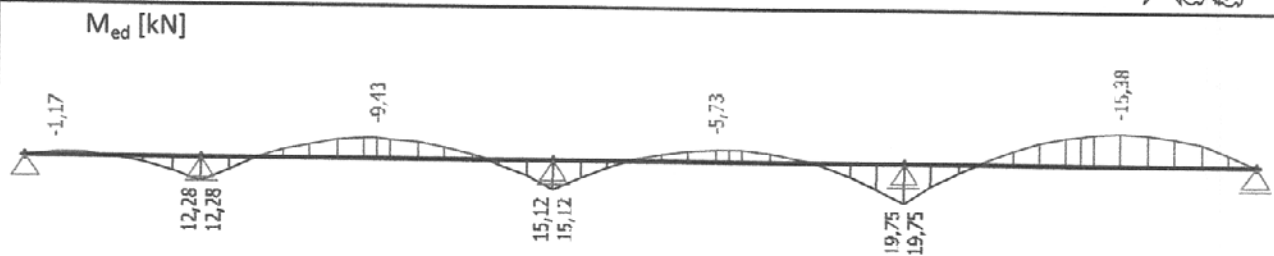
3.3.2. Kombinace min.stálé zatížení a sání větru $\theta = 0^\circ$ (Oblast H)



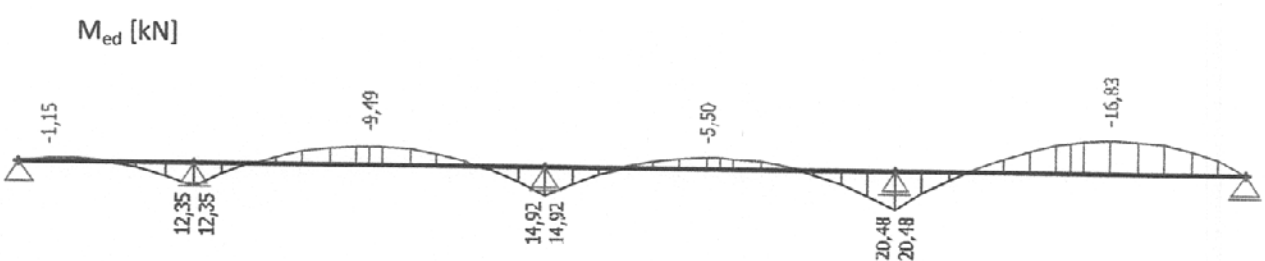
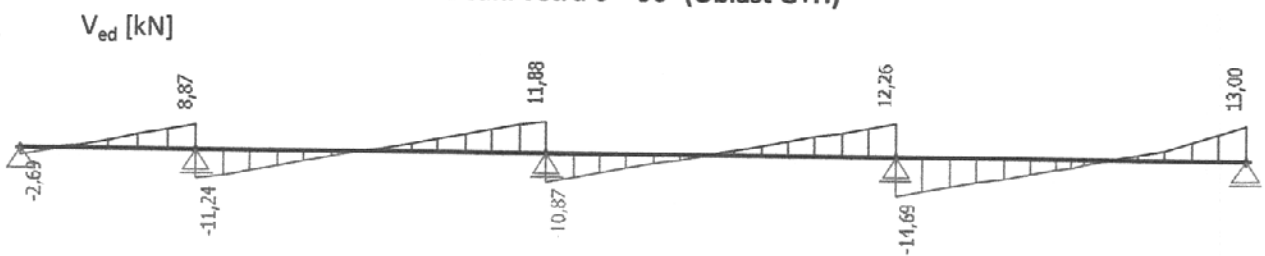
3.3.3. Kombinace min.stálé zatížení a sání větru $\theta = 90^\circ$ (Oblast F+H)



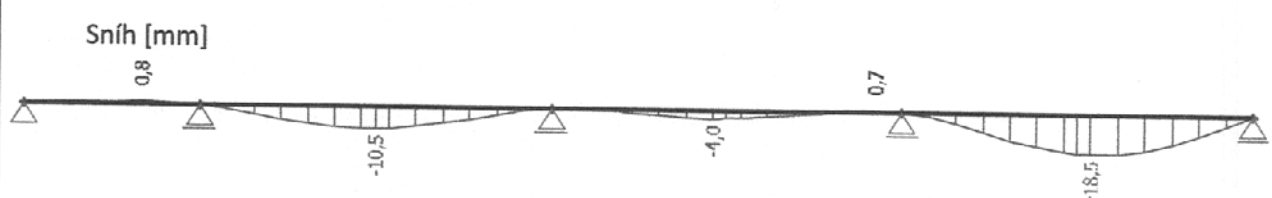
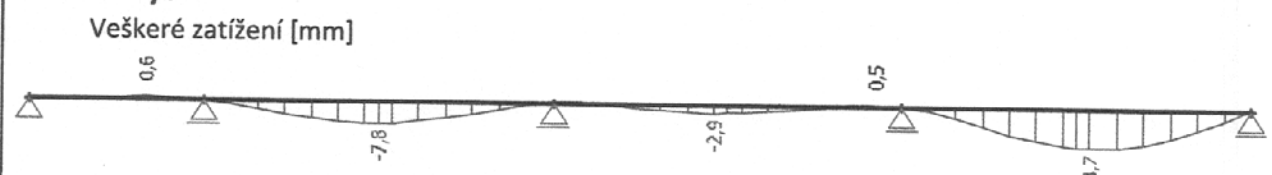
Statický výpočet



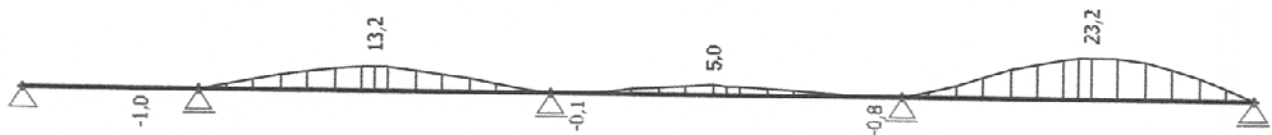
3.3.4. Kombinace min.stálé zatížení a sání větru $\theta = 90^\circ$ (Oblast G+H)



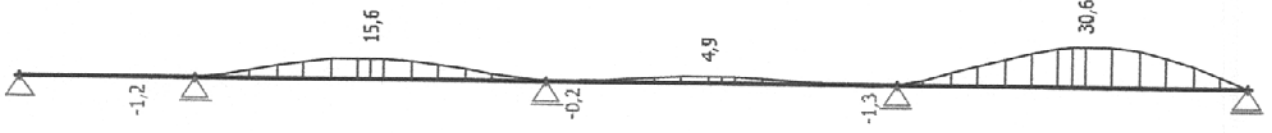
3.3.5. Průhyb



Vítr - oblast H [mm]



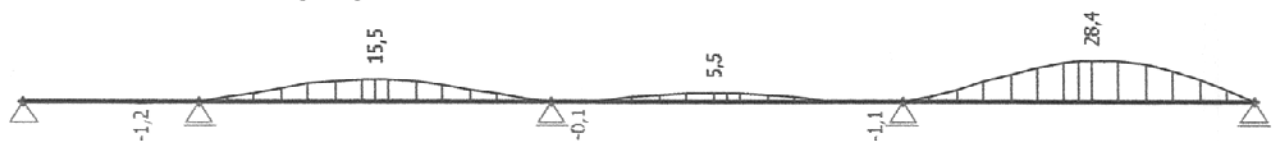
Vítr - oblast F + H [mm]



Statický výpočet



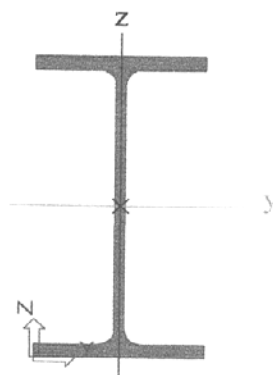
Vítr - oblast G + H [mm]





3.4. Posouzení vaznice

Průřezové charakteristiky



| | | |
|------------------------------------|----------|-------------------------|
| Profil | IPE 180 | rozměry viz příloha |
| A [m ²] | 2,39E-03 | h [mm] 180 |
| A _{v,z} [m ²] | 1,13E-03 | b [mm] 91 |
| I _y [m ⁴] | 1,32E-05 | t _w [mm] 5,3 |
| I _z [m ⁴] | 1,01E-06 | t _f [mm] 8 |
| W _{ply} [m ³] | 1,66E-04 | r [mm] 9 |
| W _{plz} [m ³] | 3,46E-05 | |
| I _t [m ⁴] | 4,79E-08 | |
| I _w [m ⁶] | 7,43E-09 | |
| i _y [mm] | 74 | |
| i _z [mm] | 21 | |

Materiálové charakteristiky

| | |
|----------------------|-----|
| f _y [MPa] | 355 |
| E [GPa] | 210 |
| G [GPa] | 81 |

Zatřídění průřezu : dle ČSN EN 1993-1-1, viz příloha [] strana 67 v tabulkách
Pásnice

Ohyb pro ocel S355 → Třída průřezu 1

Stolína

Tlak pro ocel S355 → Třída průřezu 2

3.4.1. KOMBINACE G + S

MSÚ - Smyk

$$V_{pl,Rd,y} = \frac{A_v * f_y}{\sqrt{3} * \gamma_{M0}} = \frac{1,13 * 10^{-3} * 355 * 10^6}{\sqrt{3} * 1,0} = 230,58 \text{ kN}$$

V_{ed,y} [kN] 27,89 ... rozhodující kombinace stálé + sníh posouzení

$$\frac{V_{Ed,y}}{V_{pl,Rd,y}} = \frac{27,89}{230,58} = 0,121 \leq 1,0$$

→ Smyková síla je menší než polovina plastické smykové únosnosti, lze tedy její účinek na únosnost v ohybu zanedbat

MSÚ - Ohyb

$$M_{pl,Rd,y} = \frac{W_{pl,y} * f_y}{\gamma_{M0}} = \frac{1,66 * 10^{-4} * 355 * 10^6}{1,0} = 58,93 \text{ kNm}$$

M_{Ed,y} [kNm] 28,88 ... rozhodující kombinace stálé + sníh posouzení

$$\frac{M_{Ed,y}}{M_{pl,Rd,y}} = \frac{28,88}{58,93} = 0,490 \leq 1,0$$

→ Profil IPE 180 na ohyb vyhovuje



3.4.2. KOMBINACE Gmin + W

MSÚ - Ohyb s klopením - Při kombinaci min. Stálé + sání větru je únosnost vaznice ovlivněna klopením. Průběh momentů beru z programu SCIA ingeneer viz obr. . Výpočet pomocí metody kritického momentu.

Musí platit:

$$M_{b,Rd} = \chi_{LT} * W_{pl,y} * f_{yd} \geq M_{Ed}$$

Vzpěrné délky stanovené podle podmínek uložení prutu

$$L_z = 6325 \text{ mm}$$

$$L_w = 6325 \text{ mm}$$

$$M_{cr} = \mu_{cr} \frac{\pi \sqrt{EI_z * GI_t}}{L}$$

$$\mu_{cr} = \frac{C_1}{k_z} \left[\sqrt{1 + k_{wt}^2} \right]$$

pro nosníky konstantního průřezu
symetrické k ose tuhosti y-y

součinitel vzpěrné délky je možné vzít rovno 1 pokud není provedeno speciální opatření k zamezení deplanace

$$k_z = 1,0, k_w = 1,0$$

$$\kappa_{wt} = \frac{\pi}{k_w * L} \sqrt{\frac{EI_w}{GI_t}} = \frac{\pi}{1,0 * 6419} \sqrt{\frac{210\,000 * 7431 * 10^6}{81\,000 * 4,79 * 10^4}} = 0,310$$

Pro symetrický průřez platí: $C_2 = 0$

Hodnotu pro C_1 vezmeme z tabulky NB.3.2 v závislosti na hodnotách součinitelů k_y , k_z , k_w a κ_{wt}

$$\text{Pro } \kappa_{wt} \leq C_{1,1} \text{ platí: } C_1 = C_{1,0} + (C_{1,1} - C_{1,0}) = 1,13 + (1,13 - 1,13) = 1,13$$

$$\mu_{cr} = \frac{C_1}{k_z} \left[\sqrt{1 + k_{wt}^2} \right] = \frac{1,13}{1} \left[\sqrt{1 + 0,310^2} \right] = 1,183$$

$$M_{cr} = \mu_{cr} \frac{\pi \sqrt{EI_z * GI_t}}{L} = 1,183 \frac{\pi \sqrt{210\,000 * 1,01 * 10^6 * 81\,000 * 4,79 * 10^4}}{6325}$$

$$= 16,87 * 10^6 \text{ Nmm} = 16,87 \text{ kNm}$$

Následuje výpočet poměrné štíhlosti (pro průřez třídy 1)

$$\bar{\lambda}_{LT} = \sqrt{\frac{W_{pl} * f_y}{M_{cr}}} = \sqrt{\frac{166\,400 * 355}{16,87 * 10^6}} = 1,869$$

Stanovení součinitele vzpěrnosti při klopení

Je potřeba přiřadit vzpěrnou křivku - pro válcovaný profil se bere křivka a → té přísluší součinitel imperfekce $\alpha_1 = 0,21$.

$$\phi = 0,5 * [1 + \alpha_1 * (\bar{\lambda}_{LT} - 0,2) + \bar{\lambda}_{LT}^2] =$$

$$= 0,5 * [1 + 0,21 * (1,869 - 0,2) + 1,869^2] =$$

$$2,422$$



$$\chi_{LT} = \frac{1}{\phi + \sqrt{\phi^2 - \bar{\lambda}_{LT}^2}} = \frac{1}{3,234 + \sqrt{3,234^2 - 2,422^2}} = 0,457$$

Momentová únosnost při klopení

$$M_{b,Rd} = \chi_{LT} * W_{pl,y} * f_{yd} \geq M_{Ed}$$

$$M_{b,Rd} = 0,477 * 166\,400 * 355 \geq 16,83 \text{ kNm}$$

$$M_{b,Rd} = 26,91 \text{ kNm}$$

Vaznice na klopení vyhovuje

3.5. Posouzení MSP

1) Veškeré zatížení

Pro veškeré zatížení platí limitní průhyb roven:

$$\delta_{\lim} = \frac{L}{200} = \frac{8000}{200} = 40 \text{ mm}$$

$$\delta_1 = 21,7 \text{ mm} \quad \text{viz obr. [22] - příloha 1, str.8}$$

Nosník na MSP od veškerého zatížení vyhovuje

2) Nahodilé zatížení

Pro nahodilé zatížení platí limitní průhyb roven:

$$\delta_2 = \frac{L}{250} = \frac{8000}{250} = 32 \text{ mm}$$

$$\delta_{sni} = 19,1 \text{ mm} \quad \text{viz obr. [73] - příloha 1, str.26}$$

$$\delta_{vitr,H} = 12,5 \text{ mm} \quad \text{viz obr. [74] - příloha 1, str.26}$$

$$\delta_{vitr,F+H} = 12,1 \text{ mm} \quad \text{viz obr. [75] - příloha 1, str.26}$$

$$\delta_{vitr,G+H} = 18,4 \text{ mm} \quad \text{viz obr. [76] - příloha 1, str.26}$$

Nosník na MSP od nahodilého zatížení vyhovuje

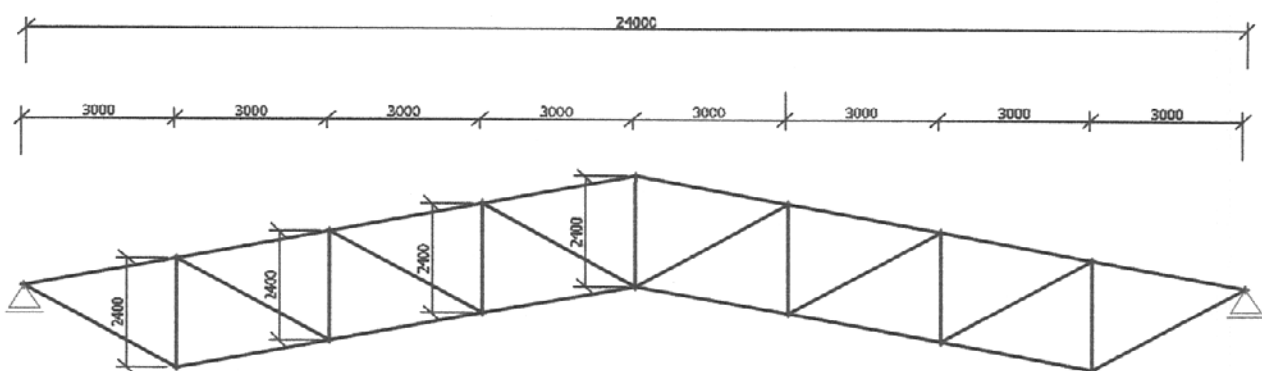


4. Vazník

4.1. Geometrie vazníku

Rozpětí vazníku je 24 m, a je navržen jako příhradový. Výška vazníku je proměnná od 1,6 m v podporách po 4 m ve středu. Vazník je přibližně ve třetinách rozdelen, aby bylo možné jej dopravit na stavbu. Délka krajních částí je tedy 8,7 m, délka vnitřní části je 6,6 m.

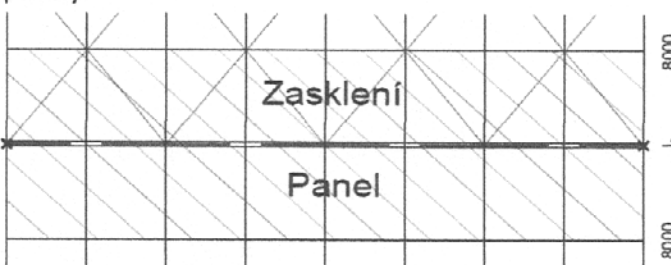
Vazník je osové souměrný. Geometrie je patrná z obrázku.



4.2. Výpočet zatížení

4.2.1. Výpočet kombinace $G_{max} + S$

Nejvíce zatížena bude 2. příčná vazba, protože nese polovinu zasklené části a polovinu části zastřešenou panely.



| | Návrhová zatížení na vaznici [kN/m] | Návrhová zatížení na okapovou vaznici [kN/m] |
|------------------|-------------------------------------|--|
| Stálé - sklo | 1,62 | 0,81 |
| Stálé - panel | 0,552 | 0,276 |
| Sníh | 3,36 | 1,68 |
| Polovina sněhu | 1,68 | 0,84 |
| Vl. tíha vaznice | 0,188 | 0,188 |

Síly od okapové vaznice

G_{max} a plný sníh

$$F_1 = 0,81 * 4 + 0,276 * 4 + 1,68 * 8 + 0,188 * 8 = 19,288 \text{ kN}$$

G_{max} a polovina sněhu

$$F_2 = 0,81 * 4 + 0,276 * 4 + 0,84 * 8 + 0,188 * 8 = 12,568 \text{ kN}$$

Síly od běžné vaznice

G_{max} a plný sníh

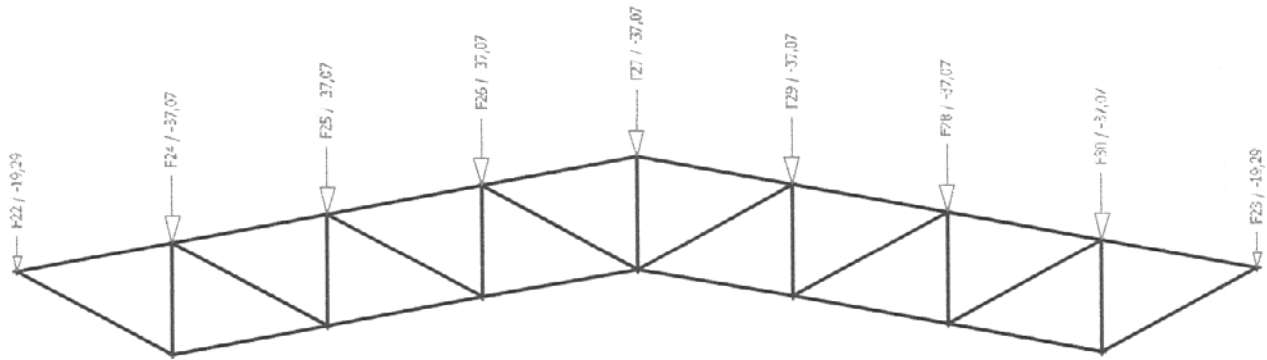
$$F_3 = 1,62 * 4 + 0,552 * 4 + 3,36 * 8 + 0,188 * 8 = 37,072 \text{ kN}$$

G_{max} a polovina sněhu

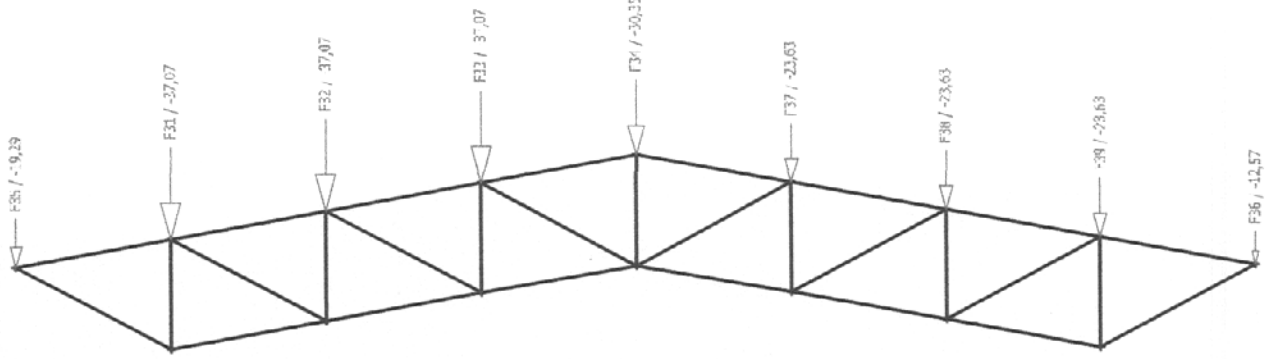
$$F_4 = 1,62 * 4 + 0,552 * 4 + 1,68 * 8 + 0,188 * 8 = 23,632 \text{ kN}$$



Kombinace G + S_{max}



Kombinace G + S_{0,5}



4.2.2. Výpočet kombinace G_{min} + W_{sání}

Bude zapotřebí vzít v úvahu první a třetí příčnou vazbu pro $\theta = 0^\circ$ a první, druhou a třetí pro $\theta = 90^\circ$. První je zatížena těžším zastřešením a působí na ní větší sání větru.

Třetí vezba je zatížena lehčím střešním pláštěm (PUR panely) a menším sáním větru.

| | Návrhová zatížení na vaznici [kN/m] | Návrhová zatížení na okapovou vaznici [kN/m] |
|---|-------------------------------------|--|
| Stálé - sklo | 1,62 | 0,81 |
| Stálé - panel | 0,552 | 0,276 |
| Vítr _{$\theta=0^\circ$} (F) | -5,977 | -2,9885 |
| Vítr _{$\theta=0^\circ$} (G) | -4,217 | -2,1085 |
| Vítr _{$\theta=0^\circ$} (H) | -2,1096 | -1,0548 |
| Vítr _{$\theta=0^\circ$} (J ₁) | -2,1096 | -1,0548 |
| Vítr _{$\theta=0^\circ$} (J ₂) | 0,702 | 0,351 |
| Vítr _{$\theta=0^\circ$} (I) | -2,1096 | -1,0548 |
| Vítr _{$\theta=90^\circ$} (F) | -6,327 | -3,1635 |
| Vítr _{$\theta=90^\circ$} (G) | -4,57 | -2,285 |
| Vítr _{$\theta=90^\circ$} (H) | -2,457 | -1,2285 |
| Vítr _{$\theta=90^\circ$} (I) | -2,1096 | -1,0548 |
| Vl. Tíha vaznice | 0,188 | 0,188 |

Statický výpočet



4.2.2. Výpočet kombinace $G_{\min} + W_{\text{sání}}$

1) První příčná vazba - $\theta=0^\circ$

Zatěžovací šířka je rovna polovině rozpětí vaznice = 4m

Síly na vazníku - index odpovídá pořadí uzlu

$$F_1 = 0,81 * 4 - 2,989 * 4 + 0,188 * 4 = -7,964 \text{ kN}$$

$$F_{2,3,4} = 1,62 * 4 - 2,109 * 4 + 0,188 * 4 = -1,204 \text{ kN}$$

$$F_{5,1} = 1,62 * 4 - 2,109 * 4 + 0,188 * 4 = -1,204 \text{ kN} \quad \dots 2 \text{ rozdílné síly pro } J_1 \text{ a } J_2$$

$$F_{5,2} = 1,62 * 4 - 1,055 * 4 + 0,351 * 4 + 0,188 * 4 = 4,416 \text{ kN}$$

$$F_{6,7,8} = 1,62 * 4 - 2,109 * 4 + 0,188 * 4 = -1,204 \text{ kN}$$

$$F_9 = 0,81 * 4 - 1,055 * 4 + 0,188 * 4 = -0,228 \text{ kN}$$



2) Třetí příčná vazba - $\theta=0^\circ$

Zatěžovací šířka je rovna rozpětí vaznice = 8m

$$F_1 = 0,276 * 8 - 2,109 * 8 + 0,188 * 8 = -13,16 \text{ kN}$$

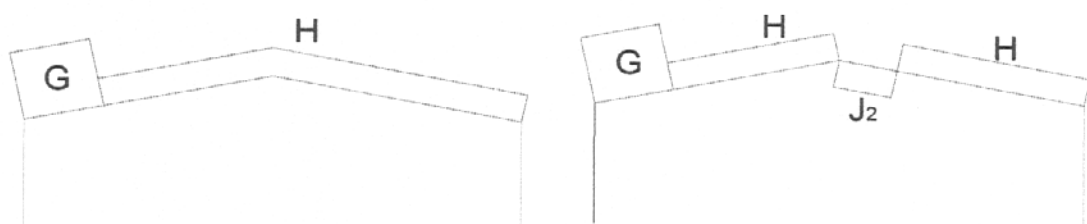
$$F_{2,3,4} = 0,552 * 8 - 2,109 * 8 + 0,188 * 8 = -10,952 \text{ kN}$$

$$F_{5,1} = 0,552 * 8 - 2,109 * 8 + 0,188 * 8 = -10,952 \text{ kN} \quad \dots 2 \text{ rozdílné síly pro } J_1 \text{ a } J_2$$

$$F_{5,2} = 0,552 * 8 - 1,055 * 8 + 0,351 * 8 + 0,188 * 8 = 0,288 \text{ kN}$$

$$F_{6,7,8} = 0,552 * 8 - 2,109 * 8 + 0,188 * 8 = -10,952 \text{ kN}$$

$$F_9 = 0,276 * 8 - 1,055 * 8 + 0,188 * 8 = -4,728 \text{ kN}$$



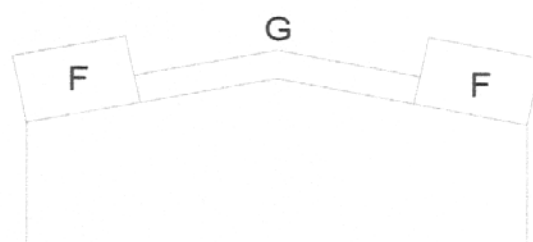
3) První příčná vazba - $\theta=90^\circ$

Zatěžovací šířka je rovna polovině rozpětí vaznice = 4m

$$F_{1,9} = 0,81 * 4 - 3,164 * 2 - 1,229 * 2 + 0,188 * 4 = -4,794 \text{ kN}$$

$$F_{2,8} = 1,62 * 4 - 6,327 * 2 - 2,247 * 2 + 0,188 * 4 = -9,936 \text{ kN}$$

$$F_{3,4,5,6,7} = 1,62 * 4 - 4,57 * 2 - 2,247 * 2 + 0,188 * 4 = -6,422 \text{ kN}$$



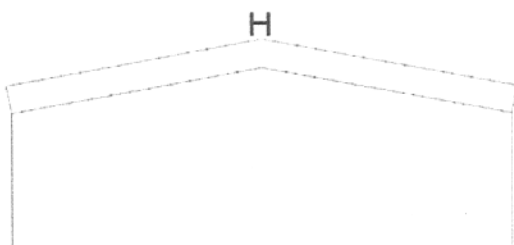


4) Druhá příčná vazba - $\theta=90^\circ$

Zatěžovací šířka je rovna rozpětí vaznice = 8m

$$F_{1,9} = 0,81 * 4 + 0,276 * 4 - 1,0548 * 2 - 1,229 * 6 + 0,188 * 8 = -3,635 \text{ kN}$$

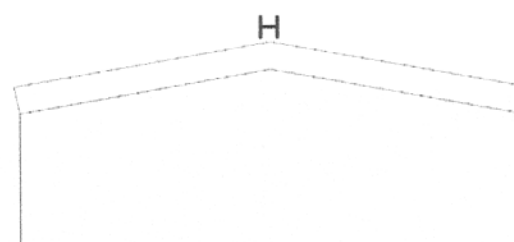
$$F_{2,3,4,5,6,7,8} = 1,62 * 4 + 0,552 * 4 - 2,109 * 2 - 2,457 * 6 + 0,188 * 8 = -8,768 \text{ kN}$$



5) Třetí příčná vazba - $\theta=90^\circ$

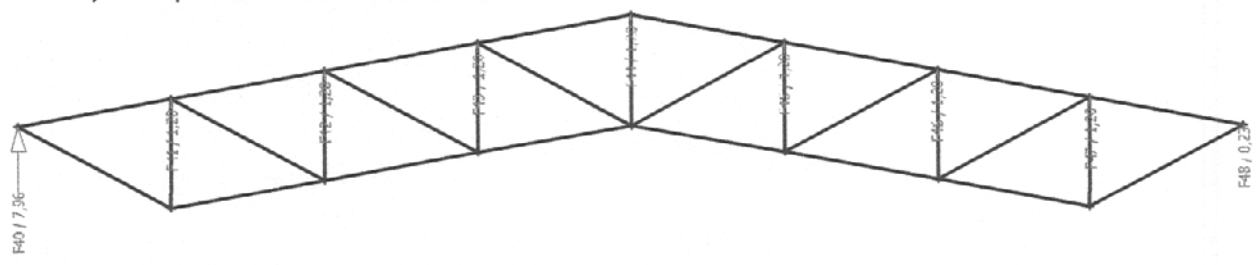
$$F_{1,9} = 0,276 * 8 - 1,0548 * 8 + 0,188 * 8 = -4,7264 \text{ kN}$$

$$F_{2,3,4,5,6,7,8} = 0,552 * 8 - 2,1096 * 8 + 0,188 * 8 = -10,957 \text{ kN}$$

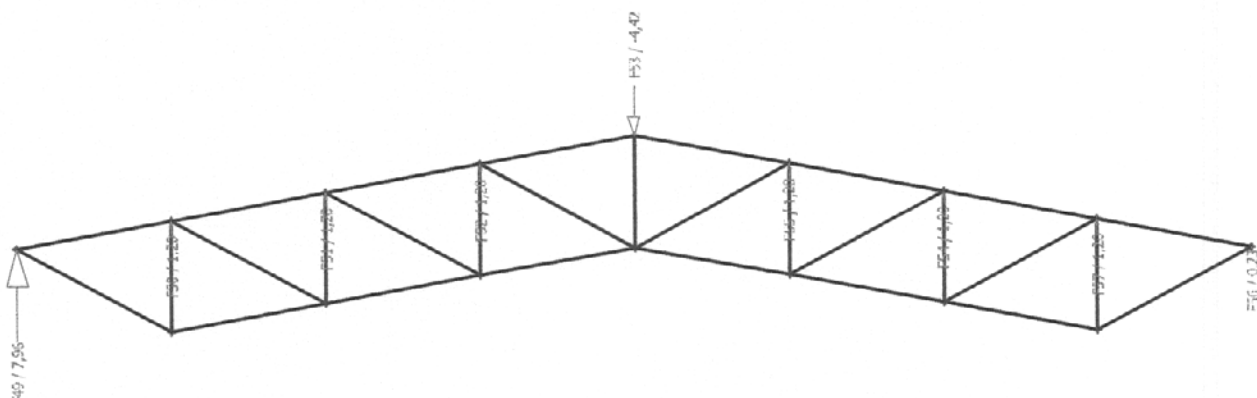


4.2.3. Zatížení $G_{\min} + W_{\text{sání}}$

1) První příčná vazba - $\theta=0^\circ$ - Oblast J sání



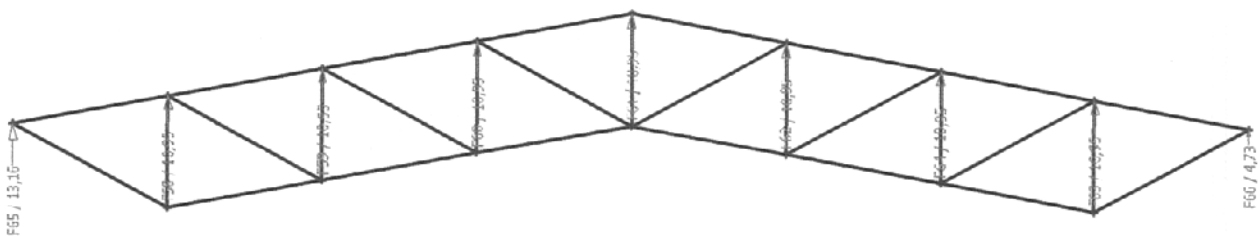
2) První příčná vazba - $\theta=0^\circ$ - Oblast J tlak



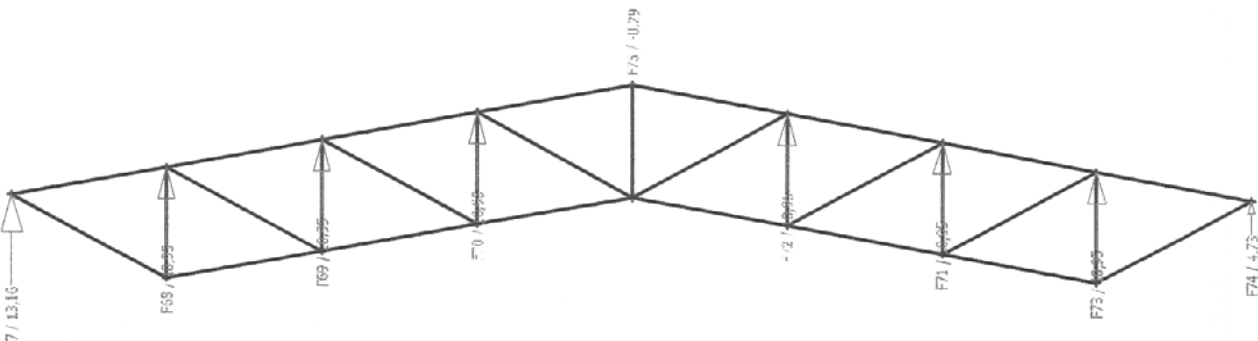
Statický výpočet



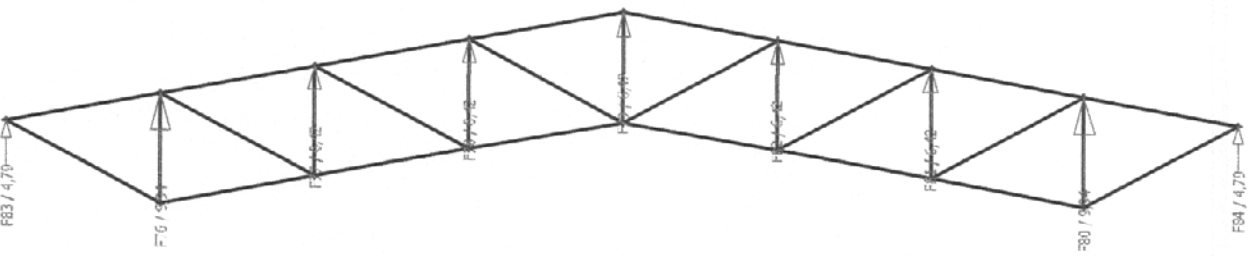
3) Třetí příčná vazba - $\theta=0^\circ$ - Oblast J sání



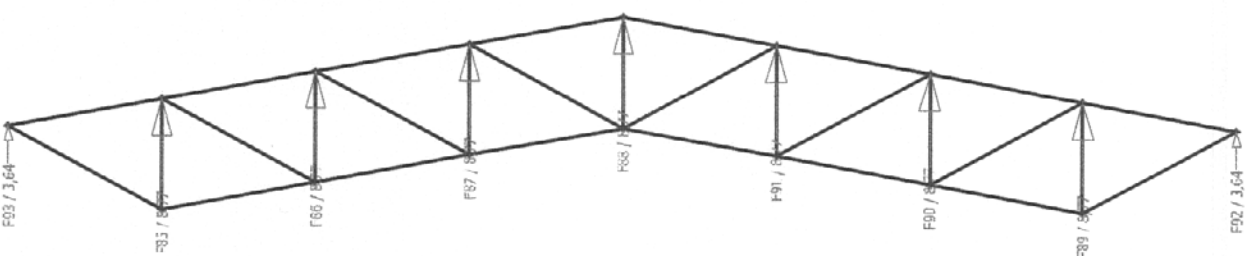
4) Třetí příčná vazba - $\theta=0^\circ$ - Oblast J tlak



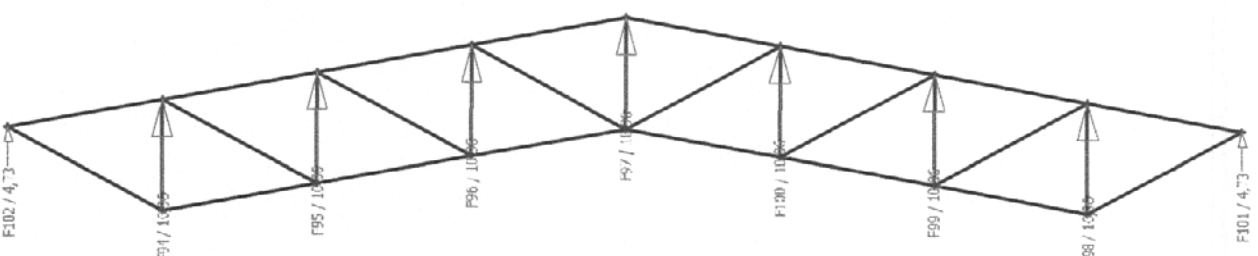
5) První příčná vazba - $\theta=90^\circ$



6) Druhá příčná vazba - $\theta=90^\circ$



7) Třetí příčná vazba - $\theta=90^\circ$





4.3. Posouzení vazníku

4.3.1. Posouzení prutů

Posouzení prutů bude provedeno v tab.. Působící normálové síly jsou převzaty z obr. [13] a obr. [21] - viz přílohy

| Prut | N_{ed} (tah) | Profil | A | i | f_y | $N_{t,Rd}$ | $N_{ed}/N_{t,Rd}$ | |
|----------------|----------------|-------------------|-----------------|------|-------|------------|-------------------|------|
| | kN | d x t | mm ² | mm | MPa | kN | | |
| S | 371,11 | 168 x 4,5 | 2311 | 57,8 | 355 | 820,405 | 0,45235 | <1,0 |
| H | 94,08 | 114x5,6 | 1907 | 38,4 | 355 | 676,985 | 0,138969 | <1,0 |
| D ₁ | 197,9 | 63,5 x 4,5 | 834 | 20,9 | 355 | 296,07 | 0,668423 | <1,0 |
| D ₂ | 141,67 | 63,5 x 4,5 | 834 | 20,9 | 355 | 296,07 | 0,478502 | <1,0 |
| D ₃ | 84,95 | 48,3 x 4,5 | 619 | 15,6 | 355 | 219,745 | 0,386584 | <1,0 |
| D ₄ | 28,35 | 48,3 x 4,5 | 619 | 15,6 | 355 | 219,745 | 0,129013 | <1,0 |
| V ₁ | 33,14 | 70 x 4,5 | 926 | 23,2 | 355 | 328,73 | 0,100812 | <1,0 |
| V ₂ | 24,05 | 70 x 4,5 | 926 | 23,2 | 355 | 328,73 | 0,07316 | <1,0 |
| V ₃ | 14,84 | 51 x 5,0 | 723 | 16,4 | 355 | 256,665 | 0,057819 | <1,0 |
| V ₄ | 119,56 | 51 x 5,0 | 723 | 16,4 | 355 | 256,665 | 0,465821 | <1,0 |

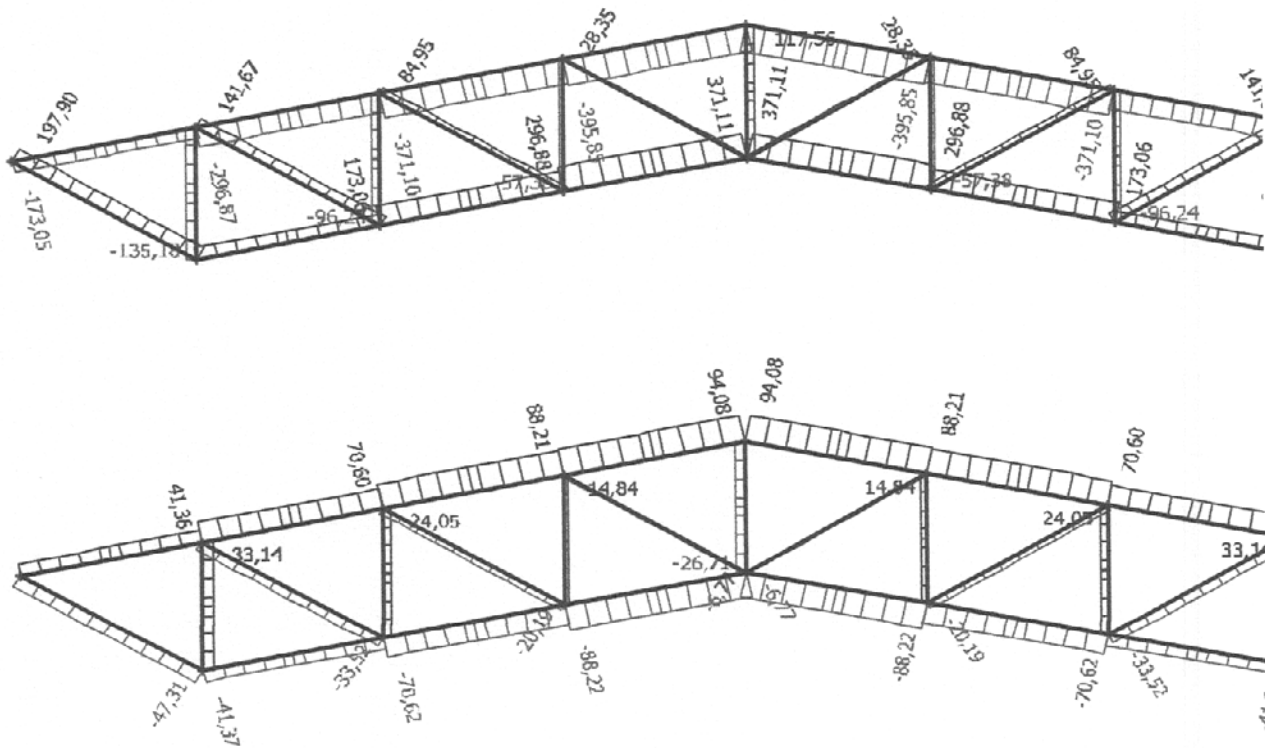
Veličiny v tabulce jsou vypočteny pomocí následujících vztahů:

$$\text{Tah: } N_{t,Rd} = A * f_y d$$

$$\text{Tlak: } \lambda = \frac{L_{cr}}{i} \quad \lambda_{rel} = \frac{\lambda}{\lambda_1} = \frac{\lambda}{93,9} * \sqrt{\frac{f_y}{235}}$$

Návrhová pevnost oceli S355:

$$f_{yd} = \frac{f_y}{\gamma_{M0}} = \frac{f_y}{\gamma_{M1}} = \frac{355}{1,0} = 355 \text{ MPa}$$

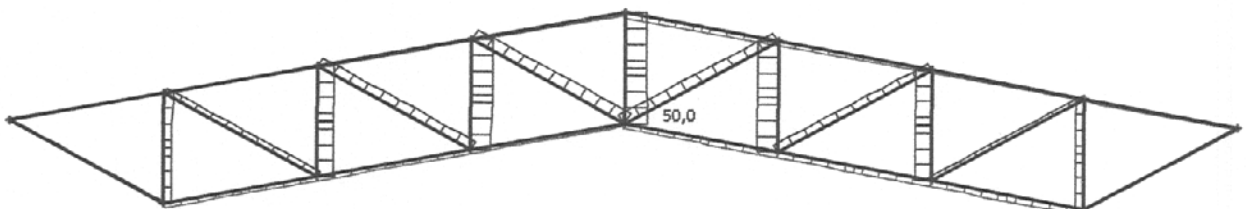




| Prut | N_{ed} (tlak) | Profil | $L_{teor.}$ | L_{cr}/L | L_{cr} | λ | λ_{rel} | χ | $N_{b,Rd}$ | $N_{ed}/N_{b,Rd}$ | |
|----------------|-----------------|-------------------|-------------|------------|----------|-----------|-----------------|--------|------------|-------------------|------|
| | kN | d x t | mm | - | mm | | | | kN | | |
| S | 88,22 | 168 x 4,5 | 12000 | 1 | 12000 | 207,61 | 2,7175 | 0,125 | 102,6 | 0,86026 | <1,0 |
| H | 395,85 | 114 x 5,6 | 3059 | 0,9 | 2753 | 79,661 | 1,0427 | 0,638 | 431,9 | 0,9165 | <1,0 |
| D ₁ | 47,31 | 63,5 x 4,5 | 3499 | 0,75 | 2624 | 167,42 | 2,1914 | 0,188 | 55,66 | 0,84996 | <1,0 |
| D ₂ | 33,52 | 63,5 x 4,5 | 3499 | 0,75 | 2624 | 167,42 | 2,1914 | 0,188 | 55,66 | 0,60222 | <1,0 |
| D ₃ | 20,19 | 48,5 x 4,5 | 3499 | 0,75 | 2624 | 224,29 | 2,9359 | 0,108 | 23,73 | 0,85073 | <1,0 |
| D ₄ | 6,77 | 48,5 x 4,5 | 3499 | 0,75 | 2624 | 224,29 | 2,9359 | 0,108 | 23,73 | 0,28526 | <1,0 |
| V ₁ | 135,18 | 70 x 4,5 | 2400 | 0,75 | 1800 | 103,45 | 1,3541 | 0,443 | 145,6 | 0,92826 | <1,0 |
| V ₂ | 96,24 | 70 x 4,5 | 2400 | 0,75 | 1800 | 103,45 | 1,3541 | 0,443 | 145,6 | 0,66086 | <1,0 |
| V ₃ | 57,38 | 51 x 5,0 | 2400 | 0,75 | 1800 | 146,34 | 1,9155 | 0,24 | 61,6 | 0,9315 | <1,0 |
| V ₄ | 26,71 | 51 x 5,0 | 2400 | 0,75 | 1800 | 146,34 | 1,9155 | 0,24 | 61,6 | 0,43361 | <1,0 |

4.3.2. Ověření svislého průhybu vazníku

Maximální průhyb ze softwaru SCIA engineer [mm]



$$\delta = 50 \text{ mm} < \delta_{Q, lim} = \frac{L}{250} = \frac{24000}{250} = 96 \text{ mm} \quad \text{Konstrukce na průhyb vyhoví}$$



4.3.3. Montážní styk

Horní pás

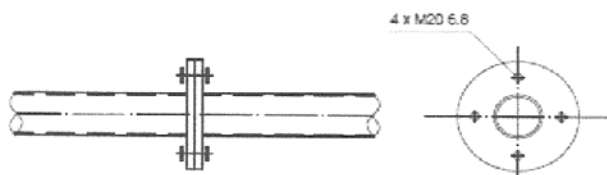
$$N_{max,Ed} = 395,85 \text{ kN (tlak)}$$

$$N_{max,Ed} = 94,08 \text{ kN (tah)}$$

Styk navrhoji jako konstatní, s opracováním styčných ploch. Je třeba posoudit šrouby na tah s vlivem páčení.

Návrh: 4 x M20 6.8

Únosnost šroubu na tah $F_{t,Rd} = 88,2 \text{ kN}$ (viz. Tabulky str. 77)



Nejmešší tloušťka desky, při které nedojde k páčení:

$$t_e = 4,3 * \left(\frac{b * d^2}{a} \right)^{\frac{1}{3}} = 31,92 \text{ mm}$$

| | |
|--------|----|
| a [mm] | 45 |
| b [mm] | 46 |
| d [mm] | 20 |
| t [mm] | 20 |

Součinitel zvětšující působení sílu vlivem páčení

$$\gamma_p = 1 + 0,005 * \frac{t_e^3 - t^3}{d^2} = 1,31$$

Tah 199,72 kN vyvozuje sílu ve šroubech

kN

$$\gamma_p * N_{t,Ed} = 122,90 < 4 * F_{t,Rd} = 352,8$$

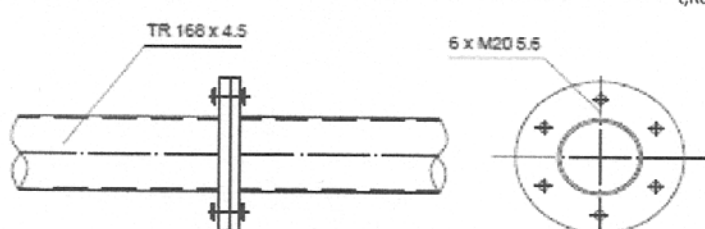
Spodní pás:

$$N_{max,Ed} = 88,22 \text{ kN (tlak)}$$

$$N_{max,Ed} = 371,11 \text{ kN (tah)}$$

Návrh: 6 x M20 5.6

Únosnost šroubu na tah $F_{t,Rd} = 88,2 \text{ kN}$ (viz Tabulky str. 77)



Nejmešší tloušťka desky, při které nedojde k páčení:

$$t_e = 4,3 * \left(\frac{b * d^2}{a} \right)^{\frac{1}{3}} = 32,95 \text{ mm}$$

| | |
|--------|----|
| a [mm] | 40 |
| b [mm] | 45 |
| d [mm] | 20 |
| t [mm] | 20 |

Součinitel zvětšující působení sílu vlivem páčení

$$\gamma_p = 1 + 0,005 * \frac{t_e^3 - t^3}{d^2} = 1,35$$

Tah 372,2 kN vyvozuje sílu ve šroubech

$$\gamma_p * N_{t,Ed} = 499,97 < 6 * F_{t,Rd} = 529,20$$

Šrouby vyhoví



Svar trubky k čelní desce

$$\tau_{\perp} = \sigma_{\perp} = \frac{1}{\sqrt{2}} * \frac{N_d}{a * l} = 108 \text{ MPa}$$

$$\sqrt{\sigma_{\perp}^2 + 3 * (\tau_{\perp}^2 + \tau_{\parallel}^2)} < \frac{f_u}{\beta_w * \gamma_{Mw}} = 453 \text{ MPa}$$

Svar vyhoví



5. Sloup

5.1. Předběžný odhad profilu sloupu

$$w_{k,mean} = \frac{(w_1 + w_2)}{2} = \frac{0,55 * 8 + 0,23 * 8}{2} = 3,12 \text{ kNm}^{\wedge} - 1$$

$$\frac{w_{k,mean} * H^4}{8 * EI_y} \leq \frac{H}{150}$$

$$I_y \geq \frac{150 * w_{k,mean} * H^3}{8 * E} \geq \frac{150 * 3,12 * 7600^3}{8 * 210\,000} = 122,29 * 10^6 \text{ mm}^4$$

Návrh sloupu: HEA 280 A[mm²] 9726
 I_y [mm⁴] 136700000

5.2. Mezní stav použitelnosti

$$\delta_{lim} = \frac{h}{150} = 50,7 \text{ mm} \quad \text{viz Přílohy str.}$$

5.3. Mezní stav únosnosti

Vnitřní síly z rozhodující kombinace

M_{Ed} [kNm] 139,85

N_{Ed} [kNm] 44,85 ... v patce

V_{Ed} [kN] 44,2 ... v patce

Návrh: Profil HEA 280

Ocel S235

F_{yd}[MPa]

235

A [mm²] 9726

A_{v,z} [mm²] 3174

I_y [mm⁴] 136700000

W_{pl,y} [mm³] 1112000

W_{el,y} [mm³] 1013000

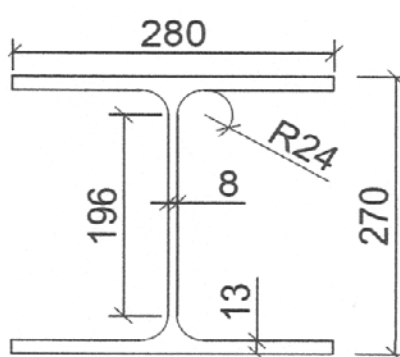
i_y [mm] 119

I_z [mm⁴] 47630000

i_z [mm] 70

I_t [mm⁴] 621000

I_w [mm⁶] 7,854E+11



Posouzení

O únosnosti rozhoduje stabilita prutu. Vliv smyku lze zanedbat.

Vzpěrné délky:

Vzpěrná délka v rovině rámu L_{cr,y} = 2 * 7,6 = 15,2 m (sloup působí jako konzola)

Vzpěrná délka z roviny rámu L_{cr,z} = 2,55 m (vzdálenost paždíků)

Štíhlosti

→ poměrná štíhlost

$$\lambda_y = \frac{L_{cr,y}}{i_y} = \frac{15200}{119} = 127,7$$

$$\bar{\lambda}_y = \frac{\lambda_y}{\lambda_1} = \frac{127}{93,9} = 1,36$$



$$\lambda_z = \frac{L_{cr,z}}{i_z} = \frac{2550}{70} = 36,4$$

$$\bar{\lambda}_z = \frac{\lambda_z}{\lambda_1} = \frac{36,4}{93,9} = 0,388$$

$$\lambda_1 = 93,9 * \sqrt{\frac{235}{f_y}} = 93,9$$

Součinitele vzpěrnosti:

$$\chi_y = \chi_{min} = 0,438 \quad \text{pro křivku vzpěrné pevnosti b (podle[4])}$$

$$\chi_z = \chi_{min} = 0,93 \quad \text{pro křivku vzpěrné pevnosti c (podle[4])}$$

Určení kritického momentu M_{cr}

$L = 7600$ mm (výška sloupu, protože tlačená pásnice je v příčném směru podepřena v patce a ve vrcholu)

$k_z = 1,0$ (na obou koncích úseku prutu o délce L je možné natočení průřezu okolo y menší tuhosti z)

$k_w = 0,7$ (v patce je přivařený podélnými výztuhami - bráněno deplanaci, v uložení vazníku je deplanace volná)

Průběh momentu po délce prutu si zjednodušeně představíme jako trojúhelníkový. Z [5], tab. 1.4 je pro $k_z = 1,0$

$$C_{1,0} = 1,77$$

$$C_{1,1} = 1,85$$

Výpočet (podle postupu ve skriptech [5], oddíl 1.3.2):

$$\kappa_{wt} = \frac{\pi}{k_w * L} \sqrt{\frac{EI_w}{GI_t}} = \frac{\pi}{0,7 * 7600} \sqrt{\frac{210000 * 785 * 10^9}{81000 * 621 * 10^3}} = 1,069 \gg 1,0$$

$$C_1 = C_{1,0} + (C_{1,1} - C_{1,0}) * \kappa_{wt} = 1,77 + (1,85 - 1,77) * 1,0 = 1,85 \leq C_{1,1} = 1,85$$

$$\mu_{cr} = \frac{C_1}{k_z} \sqrt{1 + \kappa_{wt}^2} = \frac{1,85}{1,0} \sqrt{1 + 1^2} = 2,616$$

$$M_{cr} = \mu_{cr} \frac{\pi \sqrt{EI_y * GI_t}}{L} = 2,616 \frac{\pi \sqrt{210000 * 1367 * 621 * 10^8}}{7600} = 1299,0 \text{ kNm}$$

Poměrná štíhlost (pro průřez třídy 1 nebo 2 s plastickým průřezovým modulem)

$$\bar{\lambda}_{LT} = \sqrt{\frac{W_{pl,y} * f_y}{M_{cr}}} = \sqrt{\frac{1112 * 10^3 * 235}{1299 * 10^6}} = 0,201$$

Součinitel klopení χ_{LT} pro křivku vzpěrené pevnosti a (válcovaný nosník, $h/b < 2$):

$$\chi_{LT} = 0,999$$

Interakce tlaku s ohybem

Vliv osové síly na zvětšení ohybového momentu a vliv tvaru momentové plochy

Při geometrickém vyjádření vzpěrné délky konzoly leží bod veknutí v polovině vzpěrné délky. Tvar momentu pro určení součinitele C_{my} tedy odpovídá obrázku:

Statický výpočet



Součinitel C_{my} se určí pro výše uvedený průběh momentů na délce $L_{cr,y}$:

$$\alpha_h = M_h/M_s = 0$$

$$C_{my} = 0,90 + 0,10 * \alpha_h = 0,90 + 0,0 = 0,90$$

Součinitel C_{mLT} se určí pro stejný průběh momentů, jaký byl uvažován pro výpočet M_{cr} .

Pro zjednodušeně lineární průběh momentů platí:

$$C_{mLT} = 0,6 + 0,4\psi \geq 0,4$$

$$C_{mLT} = 0,6 + 0,4 * 0 = 0,6$$

kde ψ je poměr krajních momentů ($-1 \leq \psi \leq 1$)

Interakční součinitele k_{yy} , k_{zy} se určí pro pruty, které jsou náchylné ke zkoucení, a pro třídu průřezu 1.

$$k_{yy} = \min \left\{ \frac{C_{my} \left(1 + (\bar{\lambda}_y - 0,2) \frac{N_{Ed}}{\chi_y * N_{Rk} / \gamma_{M1}} \right)}{C_{my} \left(1 + 0,8 \frac{N_{Ed}}{\chi_y * N_{Rk} / \gamma_{M1}} \right)} \right\} = \min \left\{ \frac{0,90 \left(1 + (1,36 - 0,2) \frac{44,85}{0,438 * 9726 * 235/1,0} \right)}{0,90 \left(1 + 0,8 \frac{44,85}{0,438 * 9726 * 235/1,0} \right)} \right\} = \min \left\{ \frac{0,754}{0,799} \right\} = 0,754$$

Pro $\bar{\lambda}_z = > :$

$$k_{zy} = \max \left\{ \frac{1 - \frac{0,1 \bar{\lambda}_z}{C_{mLT} - 0,25} \left(\frac{N_{Ed}}{\chi_y * N_{Rk} / \gamma_{M1}} \right)}{1 - \frac{0,1}{C_{mLT} - 0,25} \left(\frac{N_{Ed}}{\chi_y * N_{Rk} / \gamma_{M1}} \right)} \right\} = \max \left\{ \frac{1 - \frac{0,1 * 0,388}{0,6 - 0,25} \left(\frac{44,85}{0,438 * 9726 * 235/1,0} \right)}{1 - \frac{0,1}{0,6 - 0,25} \left(\frac{44,85}{0,438 * 9726 * 235/1,0} \right)} \right\} = \max \left\{ \frac{1,007}{1,019} \right\} = 1,019$$

Podmínky spolehlivosti:

$$\frac{N_{Ed}}{\chi_y * N_{Rk}} + k_{yy} \frac{M_{y,Ed}}{\chi_{LT} * M_{y,Rk}} = \frac{44,85}{0,438 * 9726 * 235/1,0} + 0,754 \frac{139,85}{0,99 * 1112 * 10^3 * 235/1,0} = \\ = 0,045 + 0,404 = 0,449 < 1$$

$$\frac{N_{Ed}}{\chi_z * N_{Rk}} + k_{zy} \frac{M_{y,Ed}}{\chi_{LT} * M_{y,Rk}} = \frac{44,85}{0,93 * 9726 * 235/1,0} + 1,019 \frac{139,85}{0,99 * 1112 * 10^3 * 235/1,0} =$$

$$= 0,021 + 0,535 = 0,557 < 1$$



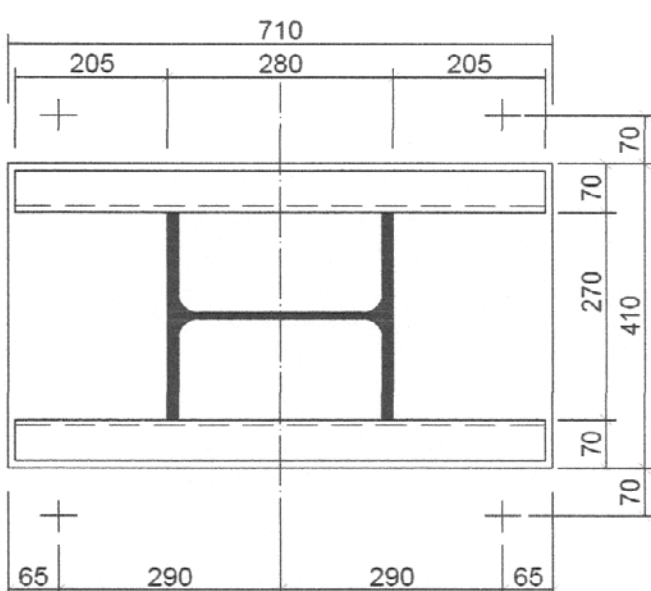
6. Patka sloupu - Hala I.

Patka je většinou. Posoudí se na 2 kombinace zatížení:

a) kombinaci s největším momentem a současně působící velkou tlakovou silou

b) kombinace s největším poměrem M_{Ed}/N_{Ed} , případně tahovou normálovou silou

| | Levý sloup | | | Pravý sloup | | |
|-----|----------------|----------------|----------|----------------|----------------|----------|
| | $V_{ed} = R_y$ | $N_{ed} = R_z$ | M_{ed} | $V_{ed} = R_y$ | $N_{ed} = R_z$ | M_{ed} |
| | kN | kN | kNm | kN | kN | kNm |
| CO1 | 25,2 | 129,23 | 78,26 | 17,76 | 135,05 | 75,85 |
| CO2 | 44,2 | 44,85 | 139,85 | 27,4 | 54,55 | 117,01 |
| CO3 | 45,53 | -56,08 | 144,7 | 26,26 | -46,39 | 112,16 |
| CO4 | 34,6 | -55,37 | 50,4 | 34,6 | -55,37 | 50,4 |



Geometrie:

Geometrie ocelové patky:

a [mm]

750

420

b [mm]

t_p [mm]

30 ...patní plech

r_t [mm]

290

Beton C16/20

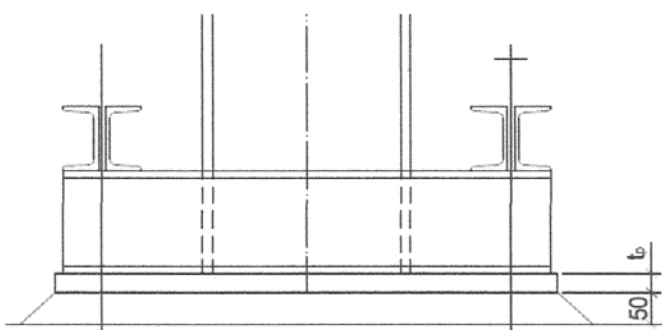
f_{ck} [MPa]

16

γ_c [-]

1,5

Výška podlití má být větší než 0,1 násobek menšího z půdorysných rozměrů patky, tj.
42 Volíme 50 mm.



Rozměry betonové patky:

půdorysně:

a_c [mm]

2000

b_c [mm]

1200

výška:

h [mm]

720

Započitatelné rozměry betonové patky

$$a_1 = \min(a_c, 3a, a + h) = \min(2000, 3 * 750, 750 + 720) = 1470 \text{ mm}$$

$$b_1 = \min(b_c, 3b, b + h) = \min(1200, 3 * 420, 420 + 720) = 1140 \text{ mm}$$

Statický výpočet

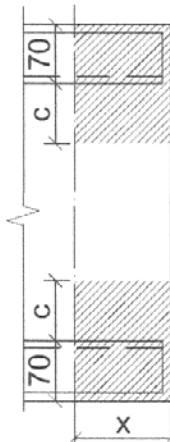


Součinitel koncentrace napětí

$$k_j = \sqrt{\frac{a_1 * b_1}{a * b}} = \sqrt{\frac{1430 * 1130}{750 * 420}} = 2,31$$

Návrhová pevnost betonu

$$f_{jd} = \frac{2 k_j * f_{ck}}{3} = \frac{2 * 2,31 * 16}{3 * 1,5} = 16,40 \text{ MPa}$$



Přesah desky

$$c = t_p \sqrt{\frac{f_{yd}}{3 f_{jd}}} = 30 \sqrt{\frac{235}{3 * 16,40}} = 65,56 \text{ mm}$$

Účinná šířka patního plechu (viz obr.)

$$b_{eff} = 2 * 70 + 2 * c = 2 * 70 + 2 * 65,56 = 271,1 \text{ mm}$$

| | | CO1 | CO2 | CO3 | CO4 |
|--------------------------|-----|--------|--------|---------------|--------|
| M_{Ed} | kNm | 62,30 | 139,85 | 144,70 | 50,40 |
| N_{Ed} | kN | 209,33 | 44,85 | -56,08 | -55,37 |
| e | mm | 298 | 3118 | -2580 | -910 |
| x₁ | mm | 1287 | 1281 | 1279 | 1313 |
| x₂ = x | mm | 43 | 49 | 49 | 17 |
| N_c | kN | 191,15 | 218,36 | 219,23 | 76,79 |
| T | kN | -18,18 | 173,51 | 275,31 | 132,16 |

Veličiny uvedené v tabulce:

- excentricita působiště normálové síly

$$e = \frac{M_{Ed}}{N_{Ed}}$$

- x je délka tlačené oblasti pod patním plechem, určí se z momentové podmínky rovnováhy k působišti šroubů, viz obr. :

$$N_{Ed}(e + r_1) = N_c \left(r_1 + \frac{a}{2} - \frac{x}{2} \right)$$

kde $N_c = b_{eff} x f_{jd}$

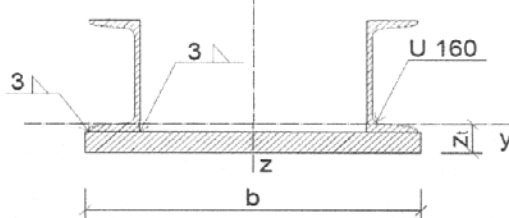
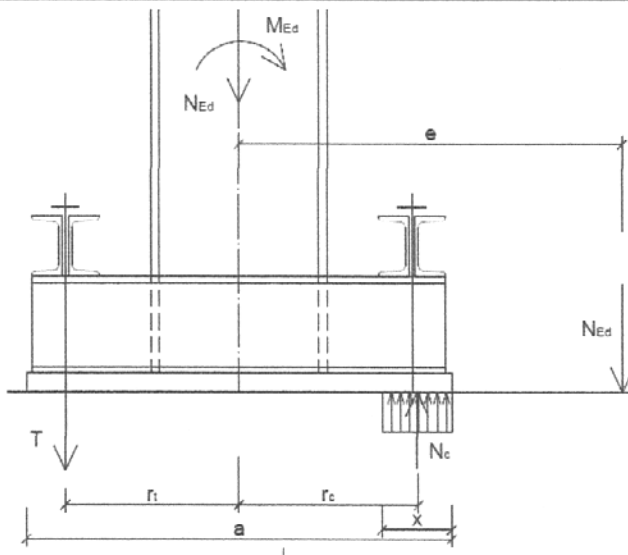
Z těchto dvou rovnic se získá kvadratická rovnice pro x:

$$b_{eff} f_{jd} x^2 - b_{eff} f_{jd} (2r_t + a)x + 2N_{Ed}(e + r_t) = 0$$

x_1, x_2 jsou kořeny kvadratické rovnice, fyzikální smysl má kořen x_2

- Síla do kotevních šroubů vyplýne ze svislé podmínky rovnováhy:

$$T = N_c - N_{Ed}$$



Patní plech: 30 x 420 mm

Výztuhy 2x U160 A 4800 mm²

I_y 1,9E+07 mm⁴

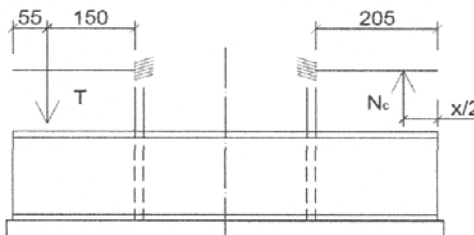
A_{vz} 2520 mm²

Svařený průřez:

$$A = 30 * 420 + 4800 = 17400 \text{ mm}^2$$

$$z_T = \frac{\sum A_j z_j}{A} = \frac{30 * 420 * 15 + 4800 * (80 + 30)}{17400} = 41,21 \text{ mm}$$

$$I_y = \frac{30^3 * 420}{12} + 30 * 420 * (41,21 - 15^2) + 2 * 9,25 * 10^6 + 4800 * (160/2 + 30 - 41,21)^2 = 5,08E+07 \text{ mm}^4$$



Průřez patky působí jak konzola namáhaná silou ve šroubech T nebo silou mezi betonem a ocelí N_c, viz obrázek. Posoudí se na kombinaci ohybu a smyku:

- tlačená strana patky - rozhoduje CO3

$$M_p = N_c \left(b_{eff} - \frac{x}{2} \right) = 226,25 \left(271,1 - \frac{51}{2} \right) = 54,73 \text{ kNm}$$

$$V_p = N_c = 219,23 \text{ kN}$$

- tažená strana patky - rozhoduje CO3

$$M_l = T * 0,155 = 282,33 * 0,155 = 42,67 \text{ kNm}$$

$$V_l = T = 275,31 \text{ kN} \quad \text{str. 30}$$



Protože průřez není symetrický okolo osy y, není možné použít zjednodušený vztah. Výpočet s využitím plastických únosností by byl pracný a proto průřez posoudím pružně.

$$W_{y,h} = \frac{5,08 * 10^7}{160 + 30 - 41,21} = 341512,17 \text{ mm}^3$$

$$W_{y,d} = \frac{5,08 * 10^7}{41,21} = 1233159 \text{ mm}^3$$

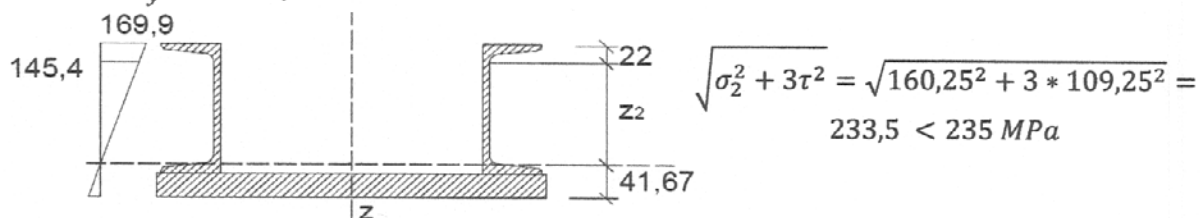
$$\sigma_{h,max} = \frac{M_{max}}{W_{y,h}} = \frac{54,73 * 10^6}{341512} = 160,25 \text{ MPa} < f_{yd} = 235 \text{ MPa}$$

$$\tau_{max} \cong \frac{V_{max}}{A_{vz}} = \frac{275,31}{2520} = 109,25 \text{ MPa} < \frac{235}{\sqrt{3}} = 135,7 \text{ MPa}$$

Protože 109,25 MPa je větší než $0,5 * 135,7 \text{ MPa}$ je potřeba posoudit kombinaci M + V.

Normálové napětí v bodě 2 (viz obrázek průřezu)

$$\sigma_2 = \frac{M_{max}}{I_y} Z_2 = \frac{54,73 * 10^6}{5,08 * 10^7} (190 - 41,21 - 22) = 136,75 \text{ MPa}$$

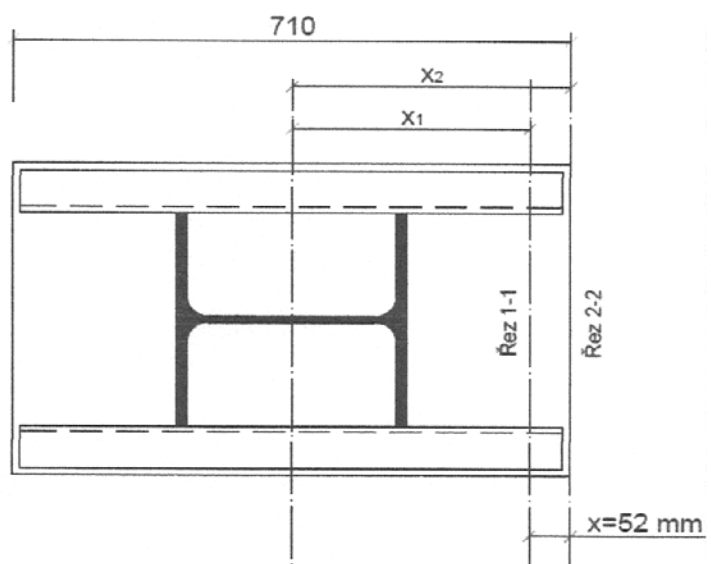


Připojení podélných výztuh k patnímu plechu

Návrh: Koutové svary a = 3 mm, dva svary na jednu výztuhu U160

Svary jsou namáhány podélným smykem silou V_p od ohybu průřezu patky (viz výše) a současně do patního plechu přenášejí reakce sloupů M_{Ed} , N_{Ed} a V_{Ed} . Posouzení je třeba provést v lící sloupu, kde se projeví vliv síly V_p (řez 1-1), a na konci patky, kde je větší vliv momentu M_{Ed} (řez 2-2)- Rozhoduje levý sloup při CO1, kde působí největší síla V_p a současně největší moment M_{Ed} :

| | |
|----------------|--------|
| N_{Ed} [kN] | 56,08 |
| M_{Ed} [kNm] | 144,70 |
| V_{Ed} [kN] | 45,53 |
| V_p [kN] | 219,23 |



Napětí ve svarech:

$$\tau_{||} = \frac{V_{Ed}}{A_{we}} + \frac{V_p S_{f,y}}{I_y 4 a_{we}}$$

$$\sigma_{we} = \frac{N_{Ed}}{A_{we}} + \frac{M_{Ed}}{I_y} x_i$$

$$\tau_{\perp} = \sigma_{\perp} = \sigma_{we}/\sqrt{2}$$

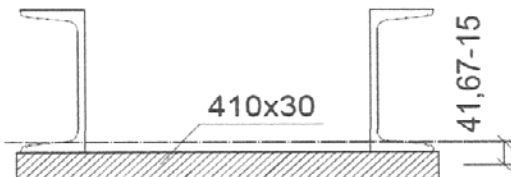
kde $A_{we} = 4 * 3 * 730 = 8280 \text{ mm}^2$

$$I_{we} = \frac{4 * 3}{12} * 730^3 = 389017000 \text{ mm}^4$$

Statický výpočet



statický moment k rovině svaru



$$S_{f,y} = 420 * 30 * (41,21 - 15) = 330206,9 \text{ mm}^3$$

Řez 1 - 1

$$\tau_{\parallel} = \frac{V_{Ed}}{A_{we}} + \frac{V_p S_{f,y}}{I_y 4 a_{we}} = \frac{45,53}{8280} + \frac{219230 * 330207}{5,08 * 10^7 * 4 * 3} = 124,22 \text{ MPa}$$

$$\sigma_{we} = \frac{N_{Ed}}{A_{we}} + \frac{M_{Ed}}{I_{we}} x_i = \frac{56,08}{8280} + \frac{144,7}{389,0 * 10^6} * 326 = 119,48 \text{ MPa}$$

$$\tau_{\perp} = \sigma_{\perp} = \frac{\sigma_{we}}{\sqrt{2}} = 119,5 / \sqrt{2} = 84,48 \text{ MPa}$$

$$\sqrt{\sigma_{\perp}^2 + 3(\tau_{\perp}^2 + \tau_{\parallel}^2)} = \sqrt{119,5^2 + 3(119,5^2 + 124,22^2)} = 273,57 \text{ MPa}$$

$$\leq \frac{f_u}{\beta_w \gamma_{M2}} = \frac{360}{0,8 * 1,25} = 360 \text{ MPa}$$

Řez 2 - 2

$$\tau_{\parallel} = \frac{V_{Ed}}{A_{we}} + 0 = \frac{45,53}{8280} = 5,50 \text{ MPa}$$

$$\sigma_{we} = \frac{N_{Ed}}{A_{we}} + \frac{M_{Ed}}{I_w} x_i = \frac{56,08}{8280} + \frac{144,7}{389 * 10^6} * 355 = 170,44 \text{ MPa}$$

$$\tau_{\perp} = \sigma_{\perp} = \frac{\sigma_{we}}{\sqrt{2}} = \frac{170,44}{\sqrt{2}} = 120,52 \text{ MPa}$$

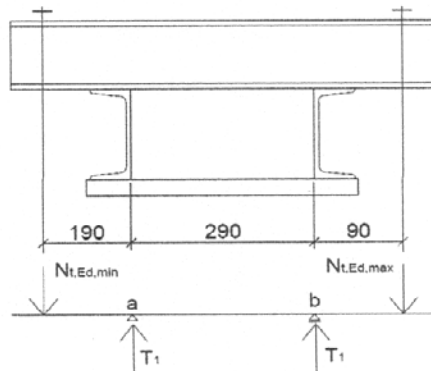
$$\sqrt{\sigma_{\perp}^2 + 3(\tau_{\perp}^2 + \tau_{\parallel}^2)} = \sqrt{120,5^2 + 3(120,5^2 + 5,5^2)} = 241,22 \text{ MPa}$$

$$\leq \frac{f_u}{\beta_w \gamma_{M2}} = \frac{360}{0,8 * 1,25} = 360 \text{ MPa}$$

Svary podélných výztuh k patnímu plechu vyhoví.

Kotevní šrouby

Při určení sil do jednoho šroubu musím vzít v úvahu toleranci osazení šroubu, kterou uvažuju +/- 50 mm. Největší sílu do šroubu $N_{t,Ed,max}$ určím z momentové podmínky k působení síly $N_{t,Ed,min}$. Rozhoduje kombinace s největší silou do kotevních šroubů T - CO3



$$T_1 = \frac{T_{max}}{2} = \frac{275,3}{2} = 137,66 \text{ kN}$$

Statický výpočet



Určení působiště síly $N_{t,Ed,min}$ z momentové podmínky rovnováhy:

$$N_{t,Ed,max} = \frac{137,7 * (190 + 460)}{560} = 159,8 kN$$

$$N_{t,Ed,min} = 275,3 - 159,8 = 115,5 kN$$

Návrh: M36 x 3 As = 865 mm², průměr dříku D = 40 mm

Porušení v místě řezaného závitu: ... Rozhoduje

$$F_{t,Rd} = 0,85 \frac{0,9 A_s f_u}{\gamma_{M2}} = 0,85 \frac{0,9 * 865 * 360}{1,25} = 190,6 kN > 159,8 kN$$

porušení v místě dříku:

$$F_{t,Rd} = \frac{A_f y}{\gamma_{M0}} = \frac{1256 * 235}{1,0} = 295 kN > 159,8 kN$$

Kotevní příčník

Statické schéma kotevního příčníku je patrné ze statického schématu zatížení kotevních šroubů.

$$M_{a,d} = 159,8 * 0,09 = 14,38 kNm$$

$$V_{a,d} = 159,8 kN$$

$$M_{b,d} = 115,5 * 0,19 = 21,95 kNm$$

$$V_{b,d} = 115,5 kN$$

| | | |
|-------------------------|--------------------------|--------|
| <u>Návrh : 2x U 120</u> | $W_{pl,y} [\text{mm}^3]$ | 145200 |
| | $A_{v,z} [\text{mm}^2]$ | 1870 |

Posouzení:

$$V_{pl,Rd} = \frac{A_{v,z} * f_{yd}}{\sqrt{3}} = \frac{1870 * 235}{\sqrt{3}} = 253,72 kN$$

$$M_{pl,Rd} = W_{pl,y} * f_{yd} = 145200 * 235 = 34,12 > M_{Ed,max} = 21,95 kNm$$

Průřez a:

$$\rho = \left(\frac{2V_{a,d}}{V_{pl,Rd}} - 1 \right)^2 = \left(\frac{2 * 14,38}{253,72} - 1 \right)^2 = 0,11$$

$$M_{V,Rd} = \left(W_{pl} - \frac{\rho A_v^2}{4t_w} \right) = \left(145200 - \frac{0,11 * 1870^2}{4 * 6} \right) = 140,99 kNm$$

$$> M_{Ed,max} = 21,95 kNm$$

Průřez b:

$$\rho = \left(\frac{2V_{b,d}}{V_{pl,Rd}} - 1 \right)^2 = \left(\frac{2 * 21,95}{253,72} - 1 \right)^2 = 0,002$$

$$M_{V,Rd} = \left(W_{pl} - \frac{\rho A_v^2}{4t_w} \right) = \left(145200 - \frac{0,002 * 1870^2}{4 * 6} \right) = 144,70 kNm$$

$$> M_{Ed,max} = 21,95 kNm$$



Přenos vodorovné posouvací síly do betonové patky

Rozhodující je kombinace zatížení s největší vodorovnou reakcí při nejmenší svislé tlakové síle ve spáře mezi ocelí a betonem. Rozhoduje tedy CO4, budu posuzovat reakce levého sloupu (tab.):

$$R_{y,Ed} [\text{kN}] \quad 34,6 \quad (\text{vodorovná reakce})$$

$$N_c [\text{kN}] \quad 76,79 \quad \text{Tlaková síla v spáře mezi ocelí a betonem - viz tab.}$$

Nejdříve posoudím, zda se posouvací síla nepřenese třením mezi patním plechem a betonem (součinitel tření $\mu = 0,2$).

$$V_{Ed}' = \mu N_c = 0,2 * 76,79 = \quad 15,36 \text{ kN} < R_{y,Ed} = 34,6 \text{ kN}$$

Tření není dostatečné.

Do tlakové síly ve spáře mezi ocelí a betonem mohu započítat i vliv utažení kotevních šroubů. Předepíšeme předepnutí šroubů při utažení alespoň na sílu $0,15 * A_s * f_{yd}$.

Potom mohu brát v úvahu:

$$N_c' = N_c + 0,15 * A_s f_{yd} = 76,79 + 0,15 * 115,5 = \quad 198,75 \text{ kN}$$

$$V_{Ed}' = 0,2 * 198,8 = 39,75 \text{ kN} > R_{y,Ed} = 34,6 \text{ kN}$$

Pro přenos vodorovné reakce není třeba navrhnut zarážka.



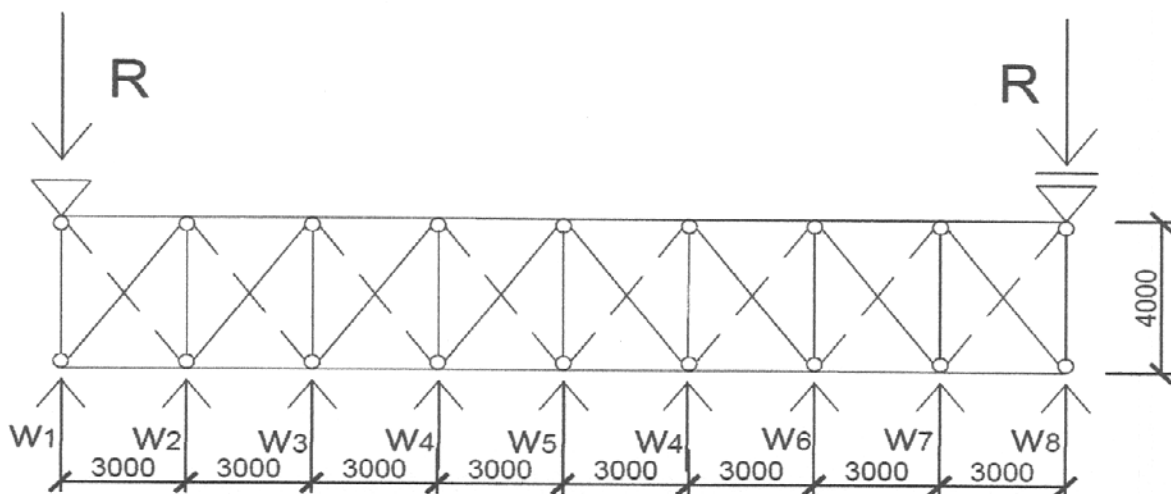
7. Ztužení haly I. a III.

7.1. Příčné ztužidlo ve střešní rovině

7.1.1. GEOMETRIE, ZATÍŽENÍ, VNITŘNÍ SÍLY

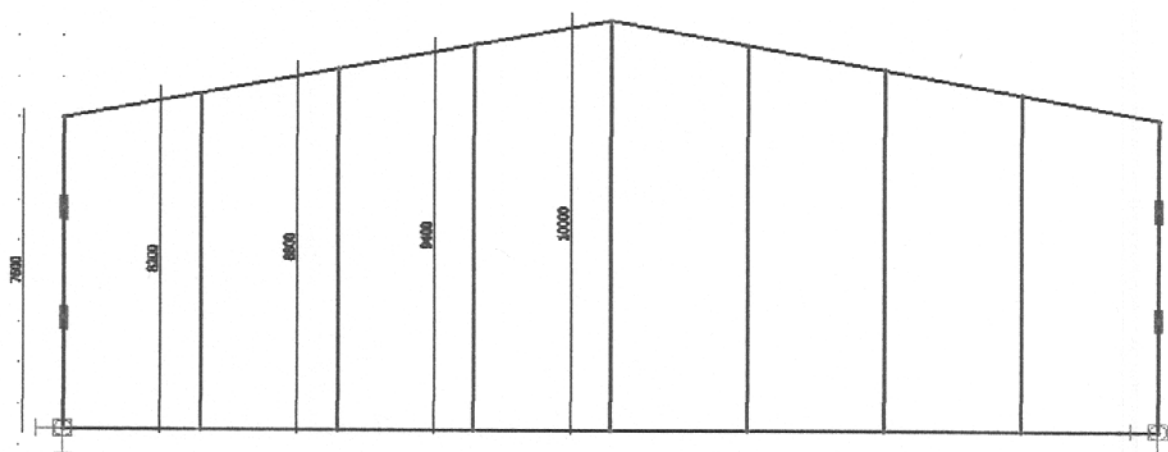
Ve střeše je navrženo 1 příčné ztužidlo, u štítu haly. Zatížení větrem tedy celé přisoudíme krajnímu ztužidlu.

Geometrické schéma



Počítat budu jen s taženými diagonály, tlačené (ve schématu čárkované) nebudu uvažovat, protože navrhoji pouze tálha.

Schéma sloupu ve štírové stěně



Rozhoduje sání větru při zatížení příčným větrem. Budeme zjednodušeně předpokládat oblast A na 6 metrů (první tři sloupy) a oblast B na zbylých 18 metrů (zbývající sloupy).

$$\text{Oblast A} - q_w = 0,94 \text{ kN/m}^2$$

$$\text{Oblast B} - q_w = 0,63 \text{ kN/m}^2$$

Statický výpočet



Zatížení od sání větru

$$W_{1,Ed} = 0,94 * 1,5 * 1,5 * 7,6 / 2 = 8,1 \text{ kN}$$

$$W_{2,Ed} = 0,94 * 1,5 * 3 * 8,2 / 2 = 17,3 \text{ kN}$$

$$W_{3,Ed} = (0,94 * 1,5 * 1,5 + 0,63 * 1,5 * 1,5) * 8,8 / 2 = 15,543 \text{ kN}$$

$$W_{4,Ed} = 0,63 * 1,5 * 3 * 9,4 / 2 = 13,78 \text{ kN}$$

$$W_{5,Ed} = 0,63 * 1,5 * 3 * 10/2 = 14,18 \text{ kN}$$

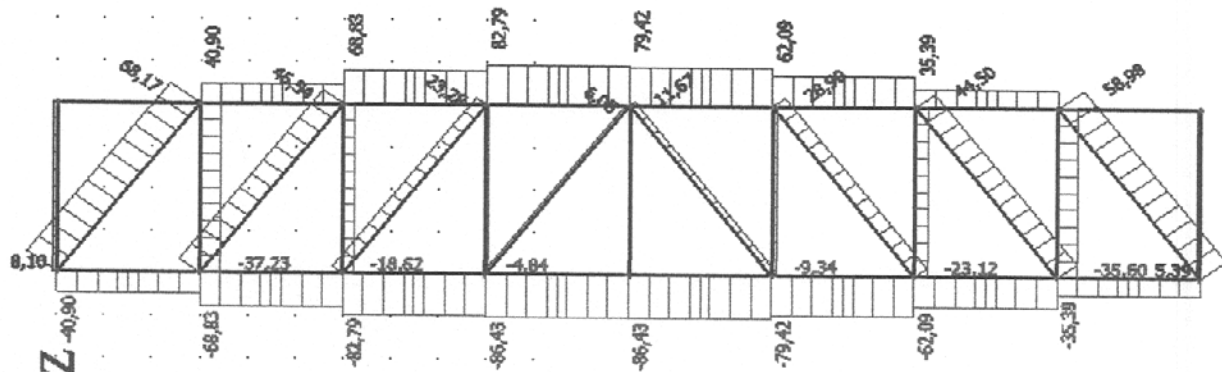
$$W_{6,Ed} = 0,63 * 1,5 * 3 * 8,8 / 2 = 12,48 \text{ kN}$$

$$W_{7,Ed} = 0,63 * 1,5 * 3 * 8,2 / 2 = 11,59 \text{ kN}$$

$$W_{8,Ed} = 0,63 * 1,5 * 1,5 * 7,6 / 2 = 5,39 \text{ kNm}$$

Vnitřní síly

| | |
|-------------------------------|-------|
| Reakce [kN] | 62,63 |
| Diagonála D ₁ [kN] | 68,17 |
| Pás N _{max} [kN] tah | 82,79 |
| Svislice [kN] | 37,23 |



Zatížení od max. tlaku větru

$$W_{1+9,Ed} = 0,55 * 1,5 * 1,5 * 7,6 / 2 = 4,455 \text{ kN}$$

$$W_{2+8,Ed} = 0,55 * 1,5 * 3 * 8,2 / 2 = 10,15 \text{ kN}$$

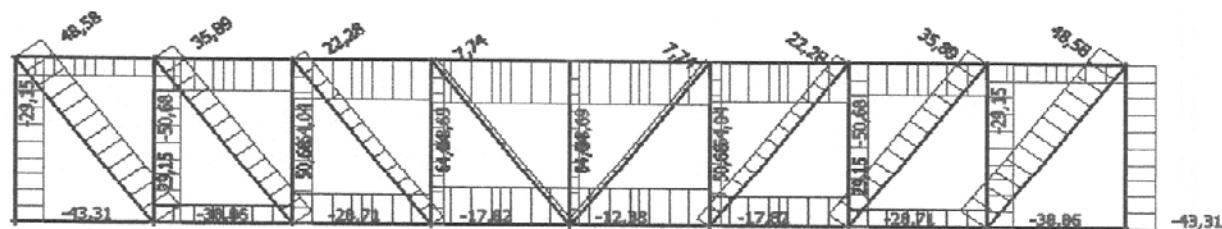
$$W_{3+7,Ed} = 0,55 * 1,5 * 3 * 8,8 / 2 = 10,89 \text{ kN}$$

$$W_{4+6,Ed} = 0,55 * 1,5 * 3 * 9,4 / 2 = 11,63 \text{ kN}$$

$$W_{5,Ed} = 0,55 * 1,5 * 3 * 10 / 2 = 12,38 \text{ kN}$$

Vnitřní síly

| | |
|--------------------------------|-------|
| Reakce [kN] | 43,31 |
| Diagonála D ₁ [kN] | 48,58 |
| Pás N _{max} [kN] tah | 64,08 |
| Svislice [kN] | 43,31 |
| Pás N _{max} [kN] tlak | 68,89 |





7.1.2. Posouzení vnitřního pásu

| | | |
|-------------------|-------|------|
| $N_{Ed,max}$ [kN] | 86,43 | tlak |
| $N_{Ed,max}$ [kN] | 64,08 | tah |

| | | |
|-------------------------------|-------------------------|---------|
| Návrh profilu IPE 160: | m [kg] | 15,8 |
| | A [mm^2] | 2009 |
| | I_y [mm^4] | 8693000 |
| | I_z [mm^4] | 683100 |
| <u>S355, pro tlak třída 1</u> | | |

Posouzení:

Vzpěrné délky:

$$L_{cr,y} = L_{cr,z} = 3,059 \text{ m}$$

Je zřejmé, že při stejných vzpěrných délkách k oboum osám bude rozhodující vybočení k ose z (menší moment setrvačnosti).

Pružná kritická síla:

$$N_{cr,z} = \frac{\pi^2 EI_z}{L_{cr,z}^2} = \frac{\pi^2 210\,000 * 68,31 * 10^4}{3\,059^2} = 151,1 \text{ kN}$$

Poměrná štíhlosť:

$$\overline{\lambda}_z = \sqrt{\frac{A * f_y}{N_{cr,z}}} = \sqrt{\frac{2009 * 355}{151,1 * 10^3}} = 2,172$$

$$\overline{\lambda}_z = 2,172$$

Součinitel vzpěrnosti:

$$\chi_z = 0,181 \text{ pro křivku vzpěrné pevnosti b}$$

Vzpěrná tlaková únosnost

$$N_{b,Rd} = \chi * A * f_{yd} = 0,181 * 2009 * 355 = 129,1 \text{ kN}$$

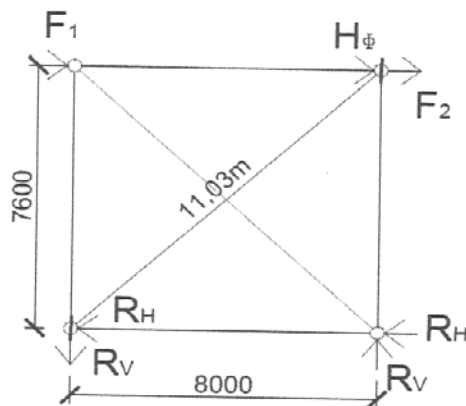
7.2. Posouzení síly ve svislici ztužidla

viz strana



7.3. Podélné ztužení Hala I a III

7.3.1. Schéma a zatížení



Zatížení větrem na štíty od podélného větru

Návětrná strana při max. Tlaku větru - $F_{1,Ed} = 43,31 \text{ kN}$ (max. Tlak) - Hala I.

Závětrná strana při max. Sání větru $F_{2,Ed} = 52,50 \text{ kN}$ (max. Tah) - Hala II.

Zatížení vlivem rámových imperfekcí - hala I.

Největší síla ve sloupu od zatížení bez vlivu větru (KZ5) - $N_{Ed} = 163,02 \text{ kN}$

Součinitele pro vliv výšky a počtu sloupů a počtu podlaží na jednu ztužidlo:

$$\alpha_h = \frac{2}{\sqrt{h}} = \frac{2}{\sqrt{7,6}} = 0,725, \text{ pro } \alpha_h \geq \frac{2}{3} \text{ platí } \alpha_h = \frac{2}{3}$$

$$\alpha_m = \sqrt{0,5 + (1 + \frac{1}{m})} = \sqrt{0,5 + (1 + \frac{1}{3})} = 0,815$$

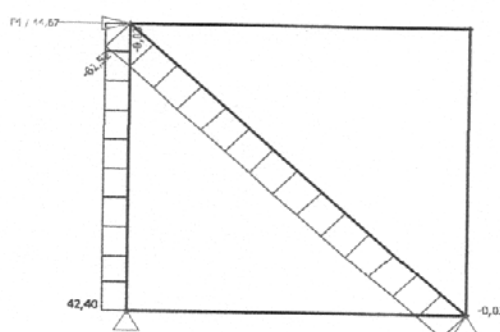
Ekvivalentní počáteční natočení sloupů

$$\phi = \phi_0 * \alpha_h * \alpha_m = \frac{2}{3} * 0,815 * \frac{1}{200} = \frac{163}{60000}$$

Ztužidlo přenáší vodorovnou sílu z podélné stěny haly I. Ekvivalentní vodorovná síla ze všech sloupů je tedy:

$$H_\phi = \phi \sum N = \frac{163}{60000} * 3 * 163,02 = 1,33 \text{ kN}$$

Pro max. tlak větru tedy platí: $N_{Ed} = 61,52 \text{ kN}$



Statický výpočet



Zatížení vlivem rámových imperfekcí - Hala III.

Největší síla ve sloupu od zatížení bez vlivu větru (KZ5) - $N_{Ed} = 529 \text{ kN}$

Součinitel pro vliv výšky a počtu sloupů a počtu podlaží na jednu ztužidlo:

$$\alpha_h = \frac{2}{\sqrt{h}} = \frac{2}{\sqrt{7,6}} = 0,725, \text{ pro } \alpha_h \geq \frac{2}{3} \text{ platí } \alpha_h = \frac{2}{3}$$

$$\alpha_m = \sqrt{0,5 + (1 + \frac{1}{m})} = \sqrt{0,5 + (1 + \frac{1}{3})} = 0,815$$

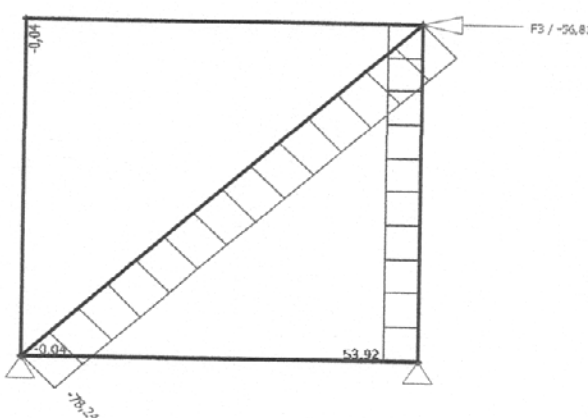
Ekvivalentní počáteční natočení sloupů

$$\phi = \phi_0 * \alpha_h * \alpha_m = \frac{2}{3} * 0,815 * \frac{1}{200} = \frac{163}{60000}$$

Ztužidlo přenáší vodorovnou sílu z podélné stěny haly III. Ekvivalentní vodorovná síla ze všech sloupů je tedy:

$$H_\phi = \phi \sum N = \frac{163}{60000} * 3 * 529 = 4,31 \text{ kN}$$

Pro max. sání tedy platí:



$$N_{Ed,max} = 74,11 \text{ kN}$$

Navrhovat budu trubkový profil na tlak. Rozhodující bude posouzení na vzpěr.

Rozhodující bude vybočení z roviny kde je vzpěrná délka rovna 11,03m.

7.3.2. Posouzení:

| | | |
|----------------------------|--------------------------|----------------------------|
| $L_{cr} = 11,03 \text{ m}$ | <u>Návrh TR 127 x 11</u> | $A = 4009 \text{ mm}^2$ |
| | | $I = 6800000 \text{ mm}^4$ |

Pružná kritická síla:

$$N_{cr} = \frac{\pi^2 EI_z}{L_{cr,z}^2} = \frac{\pi^2 210\,000 * 68 * 10^5}{11\,030^2} = 115,8 \text{ kN}$$

Poměrná štíhlost:

$$\bar{\lambda} = \sqrt{\frac{A * f_y}{N_{cr,z}}} = \sqrt{\frac{4009 * 235}{115,8 * 10^3}} = 2,852$$

Statický výpočet



Součinitel vzpěrnosti:

$$\chi = 0,114 \text{ pro křivku vzpěrné pevnosti a}$$

Vzpěrná tlaková únosnost

$$N_{b,Rd} = \chi * A * f_{yd} = 0,114 * 4009 * 235 = 107,4 \text{ kN} > 74,11 \text{ kN}$$

Profil TR 127 x 11 na vzpěr vychoví



8. Štírová stěna Hala I. a III.

8.1. Zjistění rozhodujícího sloupu

S1

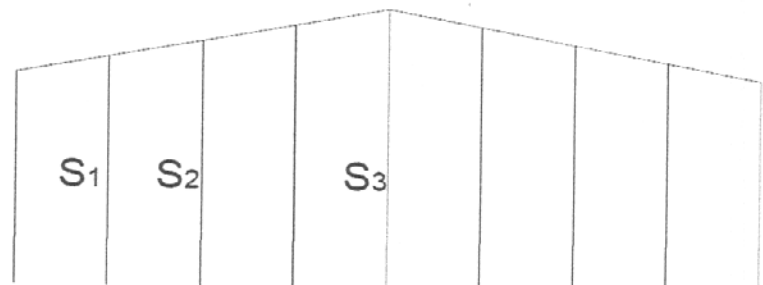
| | |
|-------------------------|------|
| L1 [m] | 8,2 |
| w _{1,k} [kN/m] | 2,82 |

S2

| | |
|-------------------------|------|
| L2 [m] | 8,8 |
| w _{2,k} [kN/m] | 2,36 |

S3

| | |
|-------------------------|------|
| L3 [m] | 10 |
| w _{3,k} [kN/m] | 1,89 |



Výběr rozhodujícího sloupu podle MSP

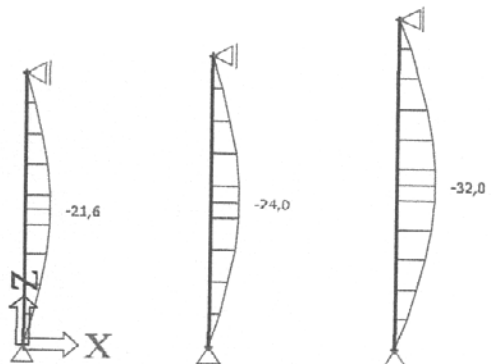
$$\delta_{lim,1} = \frac{L_1}{300} = \frac{8\ 200}{300} = 27,33 \text{ mm}$$

$$\delta_{lim,2} = \frac{L_2}{300} = \frac{8\ 800}{300} = 29,33 \text{ mm}$$

$$\delta_{lim,3} = \frac{L_3}{300} = \frac{10\ 000}{300} = 33,33 \text{ mm}$$

Rozhodující je sloupek S3 - pro průřez HEA 200

$$\delta_3 = 32 \text{ mm} < \delta_{lim,3} = 33,33 \text{ mm}$$



Ověření ručním výpočtem

$$\delta_n = \frac{5}{384} \frac{qL^4}{EI_y} = \frac{5}{384} \frac{1,89 * 10\ 000^4}{210\ 000 * 36920000} = 31,74 \text{ mm}$$

8.2. Posouzení MSÚ -

a) Kombinace - Stálé max. + Sníh

$$N_{Ed,střecha} = 1,62 * 4 + 3,36 * 4 + 0,188 * 4 = 20,67 \text{ kN}$$

$$N_{Ed,1} = 0,4 * 1,35 * 3,75 * 3 = 6,075 \text{ kN}$$

$$N_{Ed,2} = 0,4 * 1,35 * 2,50 * 3 = 4,05 \text{ kN}$$

$$N_{Ed,3} = 0,4 * 1,35 * 2,50 * 3 = 4,05 \text{ kN}$$

Návrh sloupu

| | | | |
|-------------------------|------------------------------------|---------|---|
| Návrh průřezu : HEA 200 | m [kg] | 42,3 | |
| | A [mm ²] | 5383 | |
| | I _y [mm ⁴] | 3,7E+07 | I _w [mm ⁶] 108*10 ⁹ |
| | I _z [mm ⁴] | 1,3E+07 | |
| | A _{vz} [mm ²] | 1808 | |
| | S235, pro tlak třída 1 | | |

Statický výpočet



Posouzení:

Vzpěrné délky:

$$L_{cr,y} = 10,0 \text{ m}$$

$$L_{cr,z} = 2,5 \text{ m}$$

Je zřejmé, že při stejných vzpěrných délkách k oboum osám bude rozhodující vybočení k ose z (menší moment setrvačnosti).

Pružná kritická síla:

$$N_{cr,z} = \frac{\pi^2 EI_z}{L_{cr,z}^2} = \frac{\pi^2 210\,000 * 92,46 * 10^5}{10\,000^2} = 520,2 \text{ kN}$$

Poměrná štíhlost:

$$\bar{\lambda}_z = \sqrt{\frac{A * f_y}{N_{cr,z}}} = \sqrt{\frac{5383 * 235}{520,2 * 10^3}} = 1,559$$

$$\bar{\lambda}_z = 1,559$$

Součinitel vzpěrnosti:

$$\chi_z = 0,321 \text{ pro křivku vzpěrné pevnosti b}$$

Vzpěrná tlaková únosnost

$$N_{b,Rd} = \chi * A * f_{yd} = 0,321 * 5383 * 235 = 406,1 \text{ kN}$$

b) Kombinace - Stálé min. + sání větru

Zatížení ohyb + smyk + ohyb

Posouzení

O únosnosti rozhoduje stabilita prutu. Vliv smyku lze zanedbat.

$$V_{pl,Rd} = A_{vz} * \frac{f_{yd}}{\sqrt{3}} = 1808 * \frac{235}{\sqrt{3}} = 245,3 \text{ kN}$$

$$V_{Ed} = 14,18 \text{ kN} < 0,5 * V_{pl,Rd} = 122,6 \text{ kN}$$

Vzpěrné délky:

$$\text{Vzpěrná délka z roviny stěny} \quad L_{cr,y} = 10,0 \text{ m} \quad (\text{sloup působí jako prostý nosník})$$

$$\text{Vzpěrná délka v rovině stěny} \quad L_{cr,z} = 2,5 \text{ m} \quad (\text{vzdálenost paždíků})$$

Štíhlosti

→ poměrná štíhlost

$$\lambda_y = \frac{L_{cr,y}}{i_y} = \frac{10\,000}{82,8} = 120,7$$

$$\bar{\lambda}_y = \frac{\lambda_y}{\lambda_1} = \frac{127}{93,9} = 1,29$$

$$\lambda_z = \frac{L_{cr,z}}{i_z} = \frac{2\,500}{49,8} = 50,2$$

$$\bar{\lambda}_z = \frac{\lambda_z}{\lambda_1} = \frac{50,2}{93,9} = 0,535$$

$$\lambda_1 = 93,9 * \sqrt{\frac{235}{f_y}} = 93,9$$

Statický výpočet



Součinitele vzpěrnosti:

$$\chi_y = \chi_{min} = 0,432 \quad \text{pro křivku vzpěrné pevnosti b (podle[4])}$$

$$\chi_z = 0,823 \quad \text{pro křivku vzpěrné pevnosti c (podle[4])}$$

Určení kritického momentu M_{cr}

$L = 10000$ mm (výška sloupu, protože tlačená pásnice je v příčném směru podepřena v patce a ve vrcholu)

$k_z = 1,0$ (na obou koncích úseku prutu o délce L je možné natočení průřezu okolo y menší tuhosti z)

$k_w = 1,0$ (nebráněno deplanaci)

Průběh momentu po délce prutu si zjednodušeně představíme jako trojúhelníkový. Z [5], tab. 1.4 je pro $k_z = 1,0$

$$C_{1,0} = 1,13$$

$$C_{1,1} = 1,13$$

Výpočet (podle postupu v normě [9]):

$$\kappa_{wt} = \frac{\pi}{k_w * L} \sqrt{\frac{EI_w}{GI_t}} = \frac{\pi}{1,0 * 10000} \sqrt{\frac{210000 * 108 * 10^9}{81000 * 209 * 10^3}} = 0,363$$

$$C_1 = C_{1,0} + (C_{1,1} - C_{1,0}) * \kappa_{wt} = 1,13 \leq C_{1,1} = 1,85$$

$$\mu_{cr} = \frac{C_1}{k_z} \sqrt{1 + \kappa_{wt}^2} = \frac{1,13}{1,0} \sqrt{1 + 0,363^2} = 1,202$$

$$M_{cr} = \mu_{cr} \frac{\pi \sqrt{EI_y * GI_t}}{L} = 1,202 \frac{\pi \sqrt{210000 * 369,2 * 81000 * 209 * 10^8}}{10000} = 152,2 \text{ kNm}$$

Poměrná štíhlost (pro průřez třídy 1 nebo 2 s plastickým průřezovým modulem)

$$\bar{\lambda}_{LT} = \sqrt{\frac{W_{pl,y} * f_y}{M_{cr}}} = \sqrt{\frac{429500 * 235}{152,2 * 10^6}} = 0,663$$

Součinitel klopení χ_{LT} pro křivku vzpěrné pevnosti b (válcovaný nosník, $h/b < 2$):

$$\chi_{LT} = 0,789$$

Interakce tlaku s ohybem

Vliv osové síly na zvětšení ohybového momentu a vliv tvaru momentové plochy

Součinitel C_{my} se určí stejně jako při výpočtu kritického momentu.

$$C_{my} = 1,13$$

Statický výpočet



Interakční součinitele k_{yy} , k_{zy} se určí pro pruty, které jsou náchylné ke zkoucení, a pro třídu průřezu 1.

$$k_{yy} = \min \left\{ \frac{C_{my} \left(1 + (\bar{\lambda}_y - 0,2) \frac{N_{Ed}}{\chi_y * N_{Rk} / \gamma_{M1}} \right)}{C_{my} \left(1 + 0,8 \frac{N_{Ed}}{\chi_y * N_{Rk} / \gamma_{M1}} \right)} \right\} =$$

$$= \min \left\{ \frac{1,13 \left(1 + (1,29 - 0,2) \frac{18,566}{0,432 * 5383 * 235/1,0} \right)}{1,13 \left(1 + 0,8 \frac{18,566}{0,432 * 5383 * 235/1,0} \right)} \right\} = \min \left\{ \frac{1,172}{1,161} \right\} = 1,161$$

Pro $\bar{\lambda}_z = >$:

$$k_{zy} = \max \left\{ \frac{1 - \frac{0,1 \bar{\lambda}_z}{C_{mLT} - 0,25} \left(\frac{N_{Ed}}{\chi_y * N_{Rk} / \gamma_{M1}} \right)}{1 - \frac{0,1}{C_{mLT} - 0,25} \left(\frac{N_{Ed}}{\chi_y * N_{Rk} / \gamma_{M1}} \right)} \right\} =$$

$$= \max \left\{ \frac{1 - \frac{0,1 * 0,535}{1,13 - 0,25} \left(\frac{18,566}{0,432 * 5383 * 235/1,0} \right)}{1 - \frac{0,1}{1,13 - 0,25} \left(\frac{18,566}{0,432 * 5383 * 235/1,0} \right)} \right\} = \max \left\{ \frac{0,998}{0,996} \right\} = 0,998$$

Podmínky spolehlivosti:

$$\frac{N_{Ed}}{\chi_y * N_{Rk}} + k_{yy} \frac{M_{y,Ed}}{\chi_{LT} * M_{y,Rk}} = \frac{18,566}{0,432 * 5383 * 235/1,0} + 1,0 \frac{35,44}{0,663 * 429500 * 235/1,0} =$$

$$= 0,034 + 0,53 = 0,57 < 1$$

$$\frac{N_{Ed}}{\chi_z * N_{Rk}} + k_{zy} \frac{M_{y,Ed}}{\chi_{LT} * M_{y,Rk}} = \frac{18,566}{0,832 * 5383 * 235/1,0} + 0,998 \frac{35,44}{0,663 * 429500 * 235/1,0} =$$

$$= 0,018 + 0,53 = 0,546 < 1$$

Sloup na vzpěr s ohybem vyhoví



8.4. Příčné ztužení ve štírových stěnách

8.4.1. Maximální zatížení bude při příčném větru. Zatěžovací šířka je 4 metry a výška sloupu 7,6m.

$w_D [\text{kN/m}^2]$ 0,546 tlak

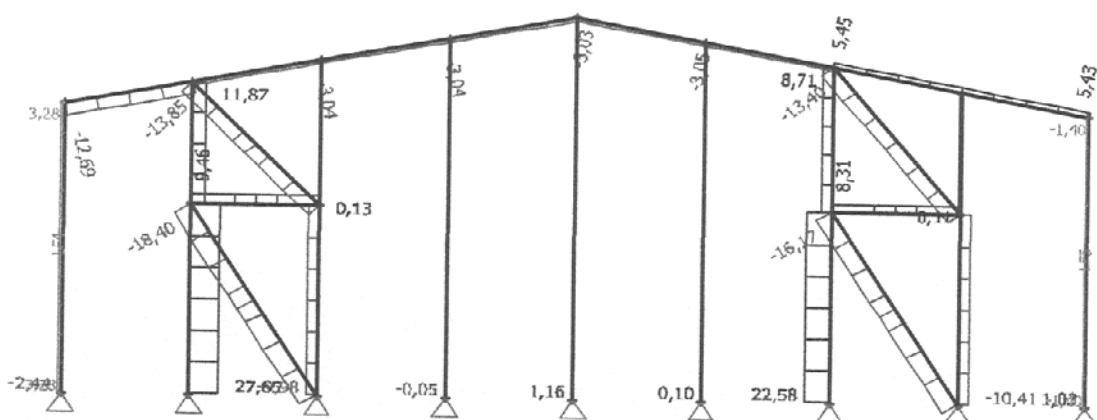
$w_E [\text{kN/m}^2]$ 0,234 sání

$W_{D,R} [\text{kN/m}]$ 3,276

...vynásobeno zat. šírkou a součinitelem = 1,5

$W_{E,R} [\text{kN/m}]$ 1,404

Normálové síly - navrhoji pruty pouze tlačené, ve výsledné konstrukci budou trubky dány i tažené.



$$N_{Ed,max} = 18,40 \text{ kN}$$

Navrhovat budu trubkový profil na tlak. Rozhodující bude posouzení na vzpěr.

Rozhodující bude vybočení z roviny kde je vzpěrná délka rovna 5,831m.

8.4.2. Posouzení:

Návrh TR 70 x 5

$$A = 1021 \text{ mm}^2$$

$$L_{cr} = 5,831 \text{ m}$$

$$I = 542000 \text{ mm}^4$$

Pružná kritická síla:

$$N_{cr} = \frac{\pi^2 EI_z}{L_{cr,z}^2} = \frac{\pi^2 210\,000 * 5,42 * 10^5}{5\,831^2} = 31,9 \text{ kN}$$

Poměrná štíhlost:

$$\bar{\lambda} = \sqrt{\frac{A * f_y}{N_{cr,z}}} = \sqrt{\frac{1021 * 235}{31,93 * 10^3}} = 2,741$$

Součinitel vzpěrnosti:

$$\chi = 0,117 \text{ pro křivku vzpěrné pevnosti a}$$

Vzpěrná tlaková únosnost

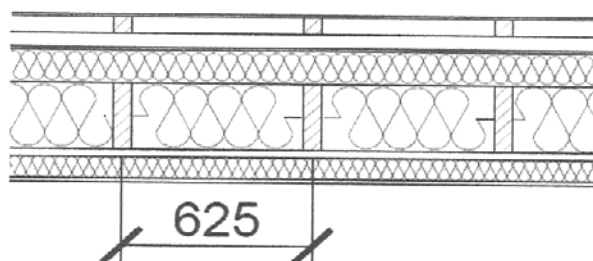
$$N_{b,Rd} = \chi * A * f_{yd} = 0,117 * 1021 * 235 = 28,07 \text{ kN} > 18,4 \text{ kN}$$

Profil TR 70 x 5 na vzpěr vyhoví



9. Střešní panely - Hala II.

| | | | |
|--------|--------|-----------|------|
| Rozměr | b [mm] | 60 l [mm] | 3750 |
| | h [mm] | 240 | |



Rozteč nosných trámů b_e [mm] 625

2 potřebné modely panelů

1) Dvě pole s převislým koncem - 2 x 3,75 metrů + 0,25 metrů

2) Spojitý nosník přes 2 pole - 2 x 3,75

9.1. Výpočet zatížení

Zatížení od střešního panelu - g_k 0,876 kN/m² 0,547 kN/m

Zatížení od sněhu - q_k 0,56 kN/m² 0,35 kN/m

V_{ed} [kN] 3,11

M_{ed} [kNm] 2,29

9.2. Posouzení

Návrhová pevnost v ohybu a ve smyku

$$f_{m,d} = k_{mod} * \frac{f_{m,k}}{\gamma_M} = 14,77 \text{ MPa} \quad k_{mod} \quad 0,8$$

$$f_{v,d} = k_{mod} * \frac{f_{v,k}}{\gamma_M} = 1,66 \text{ MPa} \quad f_{m,k} [\text{MPa}] \quad 24$$

$$\sigma_{m,crit} = \frac{0,78 * b^2 * E_{0,05}}{h * l_{ef}} = 47,90 \text{ MPa} \quad f_{v,k} [\text{MPa}] \quad 2,7$$

$$l_{ef} = (0,9 * 0,5l) + 2 * b = 1807,5 \text{ mm} \quad \gamma_M \quad 1,3$$

$$E_{0,05} \quad 7400$$

9.2.1. Posouzení ohybu

Poměrná štíhlost

$$\lambda_{rel,m} = \sqrt{\frac{f_{m,k}}{\sigma_{m,crit}}} = 0,71 \Rightarrow k_{crit} = 1 \quad \text{viz metriály na dřevo}$$

Normálové napětí za ohybu

$$\sigma_{m,d} = \frac{M_{ed}}{W} = 3,98 \text{ MPa} \quad W = \frac{1}{6} b h^2 = 576000 \text{ mm}^3$$

$$\sigma_{m,d} < f_{m,d}$$

3,98 MPa < 14,7 MPa

Nosník na ohyb vyhovuje



9.2.2. Posouzení smykového napětí

$$\tau_{v,d} \leq f_{v,d}$$

účinná šířka průřezu

$$b_{ef} = k_{cr} * b \quad k_{cr} = 0,67 \dots \text{viz [4]}$$

$$\tau_{v,d} = \frac{3V_{ed}}{2A} = 0,5 \text{ MPa}$$

$$0,48 \text{ MPa} \leq 1,67 \text{ MPa}$$

Nosník na smyk vyhovuje

9.2.3. Posouzení průhybu :

limitní průyb pro konečný průhyb od stálého a nahodilého zatížení:

$$\delta_{max} = \frac{l}{250} = 15 \text{ mm} \quad \text{viz Přílohy str.}$$

$$\delta_1 = 10,3 \text{ mm}$$

$$\delta_1 < \delta_{max}$$

Nosník na průhyb vyhoví



10. Posouzení vaznice

10.1. Dopočet zatížení na vaznice

| | $g_k [\text{kN/m}^2]$ |
|---|-----------------------|
| Stálé zatížení střešního panelu bez KVH nosníku | 0,876 |
| Příspěvek zatížení od vlastní tíhy KVH nosníku | 0,081 |
| Celkové zatížení od panelu | 0,957 |

Hustota dřeva [kg/m^3]

350

Rozměr KVH panelu

b [mm]

60

h [mm]

240

Hmotnost na m' [kg/m]

5,04

$\rightarrow g_k [\text{kN/m}]$

0,050

Vzdálenost nosníků [mm]

625

$\rightarrow g_k [\text{kN/m}^2]$

0,081

Rekapitulace zatížení

| | g_k, q_k | g_d, q_d |
|--|------------|------------|
| Stálé zatížení od panelu [kN/m^2] | 0,957 | 1,291 |
| Sníh [kN/m^2] | 0,560 | 0,840 |
| Příčný vítr - oblast G [kN/m^2] | -0,938 | -1,407 |
| Příčný vítr - oblast H [kN/m^2] | -0,469 | -0,704 |
| Příčný vítr - oblast J [kN/m^2] | -0,469 | -0,704 |
| Příčný vítr - oblast I [kN/m^2] | 0,156 | 0,234 |
| Podélný vítr - oblast I [kN/m^2] | -0,469 | -0,704 |

Dohledat detailní popis kombinaci podle normy na zatížení

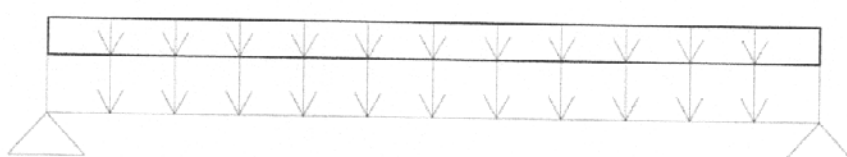
- 1) Kombinace - Max. Stále + sníh
- 2) Kombinace - Min. Stále + max. Sání větru

1) Max. Stále + sníh

Výpočet zatížení na vaznici

$$g_d = * l = 1,291 * 3,75 = 4,864 \text{ kN/m}$$

$$q_d = 0,84 * l = 0,84 * 3,75 = 3,15 \text{ kN/m}$$



Sníh

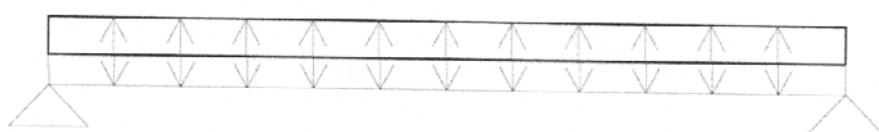
Max. Stále

2) Min. Stále + max. Sání větru

Výpočet zatížení na vaznici

$$g_d = 0,957 * \psi * l = 0,957 * 0,7 * 3,75 = 2,512 \text{ kN/m}$$

$$q_d = -1,407 * l_1 - 0,704 * l_2 = -1,407 * 0,125 - 0,704 * 3,625 = -2,728 \text{ kN/m}$$



Max. Sání

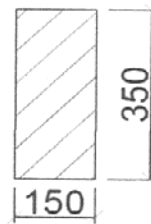
Min. Stále



10.2. Posouzení na ohyb

Dřevo KVH - C24

| | | | |
|--------------------|-------|----------|------|
| $f_{m,g,k}$ [MPa] | 24 | gama | 1,25 |
| $f_{v,k}$ [MPa] | 2,5 | l [mm] | 6000 |
| $E_{0,mean}$ [MPa] | 11000 | | |
| $E_{0,05}$ [MPa] | 7400 | | |
| k_{mod} [-] | 0,9 | | |



Návrhová hodnota pevnosti v ohybu a ve smyku

$$f_{m,g,d} = \frac{f_{m,g,k}}{\gamma_M} * k_{mod} = \frac{36}{1,25} * 0,9 = 16,61 \text{ MPa} \quad 17,28$$

$$f_{v,d} = \frac{f_{v,k}}{\gamma_M} * k_{mod} = \frac{2,5}{1,25} * 0,9 = 1,73 \text{ MPa} \quad 1,8$$

Minimální průřezový modul

$$W_{min} = \frac{M_{Ed}}{f_{m,g,d}} = \frac{36,66 * 10^6}{17,28} = 2121528 \text{ [mm}^3\text{]}$$

Návrh průřezu

$$W = \frac{1}{6}bh^2 = \frac{1}{6} * 150 * 350^2 = 3062500 \text{ [mm}^3\text{]}$$

| | |
|--------|-----|
| b [mm] | 150 |
| h [mm] | 350 |

Posouzení normálového napětí za ohybu

$$\sigma_{m,d} \leq k_{crit} * f_{m,d}$$

Kritické napětí za ohybu

$$\sigma_{m,crit} = \frac{0,78 * b^2 * E_{0,05}}{h * l_{ef}} = \frac{0,78 * 150^2 * 7400}{350 * (0,9 * 6000 + 800)} = 60,829 \text{ MPa}$$

Poměrná štíhlost

$$\lambda_{rel,m} = \sqrt{\frac{f_{m,k}}{\sigma_{m,crit}}} = \sqrt{\frac{24}{60,829}} = 0,628$$

Pro $\lambda_{rel,m} \leq 0,75$ platí $k_{crit} = 1,0$

Redukovaná návrhová pevnost

$$k_{crit} * f_{m,d} = 1,0 * 16,61 \text{ MPa}$$

Normálové napětí za ohybu

$$\sigma_{m,d} = \frac{M_{ed}}{W} = 11,860 \text{ MPa}$$

$$\sigma_{m,d} < f_{m,d}$$

$$11,86 \text{ MPa} < 14,7 \text{ MPa}$$

Nosník na ohyb vyhovuje



10.3. Posouzení smykového napětí

$$\tau_{v,d} \leq f_{v,d}$$

účinná šířka průřezu

$$b_{ef} = k_{cr} * b = 0,67 * 150 = 100,5 \text{ mm}$$

$k_{cr} = 0,67$ - pro rostlé dřevo ... Viz materiály

$$\tau_{v,d} = \frac{3V_{ed}}{2A} = 0,69771 \text{ MPa}$$

$$0,61 \text{ MPa} \leq 1,67 \text{ MPa}$$

Nosník na smyk vychovuje

10.4. Posouzení průhybu nosníku

Průhyb od jednotkového rovnoměrného zatížení $q_{ref} = 1,0 \text{ kN/m}$

$$w_{ref} = \frac{5 * q_{ref} * l^4}{384 EI} = \frac{5 * 1,0 * 6000^4 * 12}{384 * 11\,000 * 150 * 350^3} = 2,862 \text{ mm}$$

Okamžitý průhyb od stálého zatížení

$$g_k = 0,957 \text{ kN/m}$$

$$w_{1,inst} = 0,957 * w_{ref} = 0,957 * 2,862 = 2,739 \text{ mm}$$

Okamžitý průhyb od nahodilého zatížení

$$q_k = 0,84 \text{ kN/m}$$

$$w_{2,inst} = 0,84 * w_{ref} = 0,840 * 2,862 = 2,404 \text{ mm}$$

Okamžitý průhyb od stálého a proměnného zatížení

$$w_{inst} = 2,739 + 2,404 = 5,144 \text{ mm}$$

Konečný čistý průhyb od stálého a proměnného zatížení

$$w_{net,fin} = w_{1,inst}(1 + k_{1,def}) + w_{2,inst}(1 + \psi_{2,1} * k_{2,def})$$

$$w_{net,fin} = 2,739(1 + 0,6) + 2,404(1 + 0 * 0,8) = 6,787 \text{ mm} < l/350 = 17,14 \text{ mm}$$

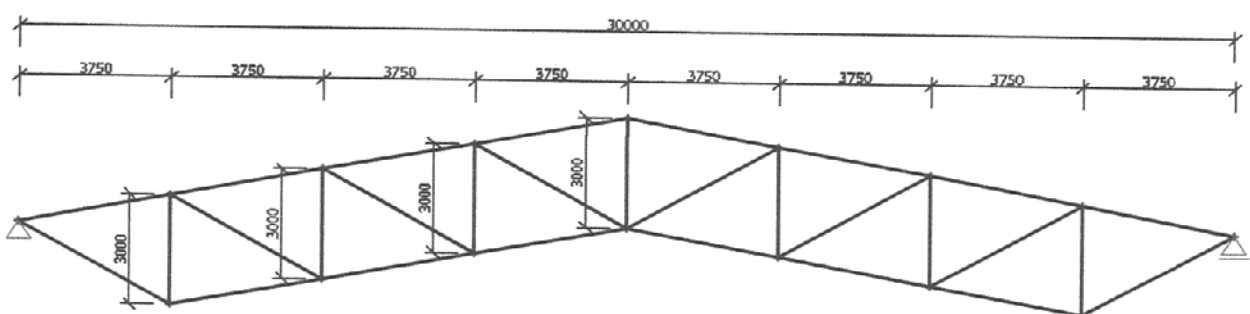
Nosník na průhyb vychovuje



11. Vazník Dřevo - Ocel

11.1. Geometrie vazníku

Rozpětí vazníku je 30 m, a je navržen jako příhradový. Výška vazníku je proměnná od 2 m v podporách po 5 m ve středu. Vazník je přibližně ve třetinách rozdělen, aby bylo možné jej dopravit na stavbu. Délka krajních částí je tedy 6 m, délka vnitřní části je 12 m. Vazník je osově souměrný. Geometrie je patrná z obrázku.



11.2. Výpočet zatížení

11.2.1. Výpočet kombinace $G_{max} + S$

Všechny vnitřní příčné vazby budou zatíženy stejně.

| | Návrhové zatížení na vaznici [kN/m] | Návrhové zatížení na okapovou vaznici [kN/m] |
|-----------------|-------------------------------------|--|
| Stálé zatížení* | 4,842 | 2,421 |
| Sníh | 3,150 | 1,575 |
| Polovina sněhu | 1,575 | 0,788 |
| Vl.tíha vaznice | 0,248 | 0,248 |

* Stálé zatížení od střešního pláště včetně vlastní tíhy panelového nosníku

Výpočet vlastní tíhy vaznice

Hustota dřeva C24 350 kg/m^3

Hmotnost na m' $18,38 \text{ kg/m}$

Síly od běžné vaznice

G_{max} a plný sníh

$$F_1 = 4,842 * 6 + 3,15 * 6 + 0,248 * 6 = 49,44 \text{ kN}$$

G_{max} a polovina sněhu

$$F_2 = 4,842 * 6 + 1,575 * 6 + 0,284 * 6 = 39,99 \text{ kN}$$

Síly od okapové vaznice

G_{max} a plný sníh

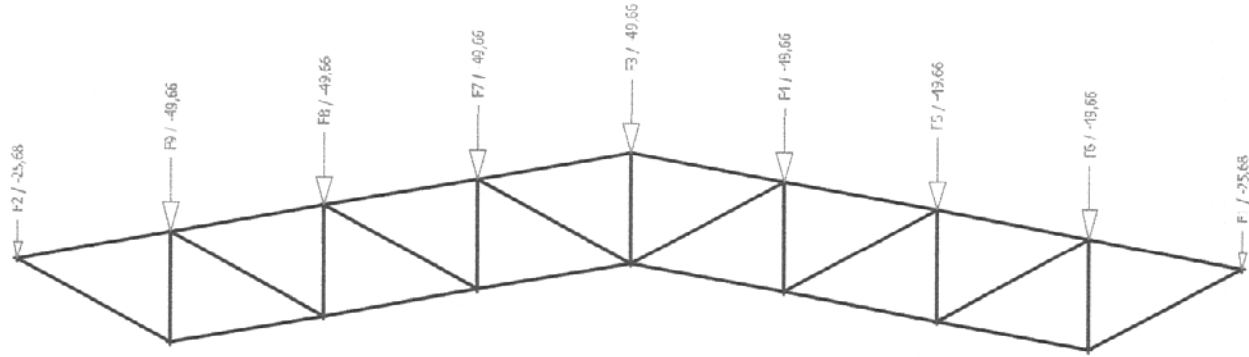
$$F_3 = 2,421 * 6 + 1,575 * 6 + 0,284 * 6 = 25,464 \text{ kN}$$

G_{max} a polovina sněhu

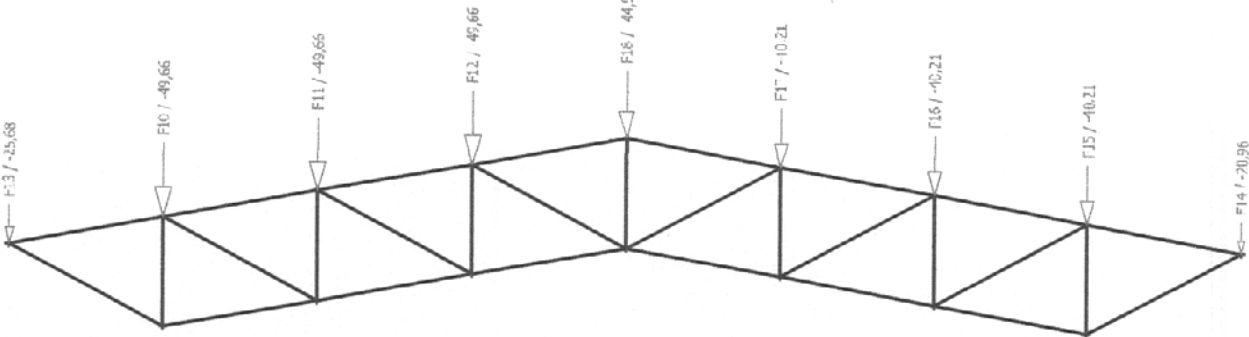
$$F_4 = 2,421 * 6 + 0,788 * 6 + 0,284 * 6 = 20,737 \text{ kN}$$



Kombinace G + S_{max}



Kombinace G + S_{0,5}



11.2.2. Výpočet kombinace G_{min} + W_{sání}

Pro zatížení příčným větrem vezmeme v úvahu jednu z vnitřních příčných vazeb. Vyskytně se sání pro oblasti G, H, J a I. Při zatížení podélným větrem je celý vazník zatížen sáním z oblasti I.

| | Návrhové zatížení na vaznici [kN/m] | Návrhové zatížení na okapovou vaznici [kN/m] |
|--|-------------------------------------|--|
| Stálé zatížení* | 2,511 | 1,255 |
| Vítr _{θ=0°} (G) | -3,516 | -1,758 |
| Vítr _{θ=0°} (H) | -1,759 | -0,879 |
| Vítr _{θ=0°} (J ₁) | 0,585 | 0,293 |
| Vítr _{θ=0°} (J ₂) | -1,759 | -0,879 |
| Vítr _{θ=0°} (I) | -1,759 | -0,879 |
| Vítr _{θ=90°} (F) | -1,759 | -0,879 |
| Vl.tíha vaznice | 0,129 | 0,129 |

* Stálé zatížení od střešního pláště včetně vlastní tíhy panelového nosníku

Statický výpočet



Výpočet kombinace $G_{\min} + W_{\text{sání}}$

1) Vnitřní příčná vazba - $\theta = 0^\circ$

Zatěžovací šířka je rozpětí vaznice $l = 6 \text{ m}$

Síly na vazníku - index odpovídá pořadí uzlu

$$F_1 = 1,255 * 6 - 1,758 * 6 + 0,129 * 6 = -2,244 \text{ kN}$$

$$F_{2,3,4} = 2,511 * 6 - 1,759 * 6 + 0,129 * 6 = 5,286 \text{ kN}$$

$$F_5^1 = 2,511 * 6 - 0,879 * 6 + 0,293 * 6 + 0,129 * 6 = 12,324 \text{ kN}$$

$$F_5^2 = 2,511 * 6 - 0,879 * 6 - 0,879 * 6 + 0,129 * 6 = 5,296 \text{ kN}$$

$$F_{6,7,8} = 2,511 * 6 - 1,759 * 6 + 0,129 * 6 = 5,286 \text{ kN}$$

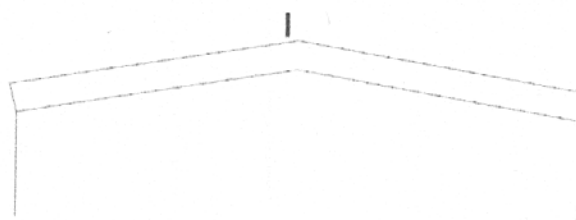
$$F_9 = 1,255 * 6 - 0,879 * 6 + 0,129 * 6 = 3,027 \text{ kN}$$



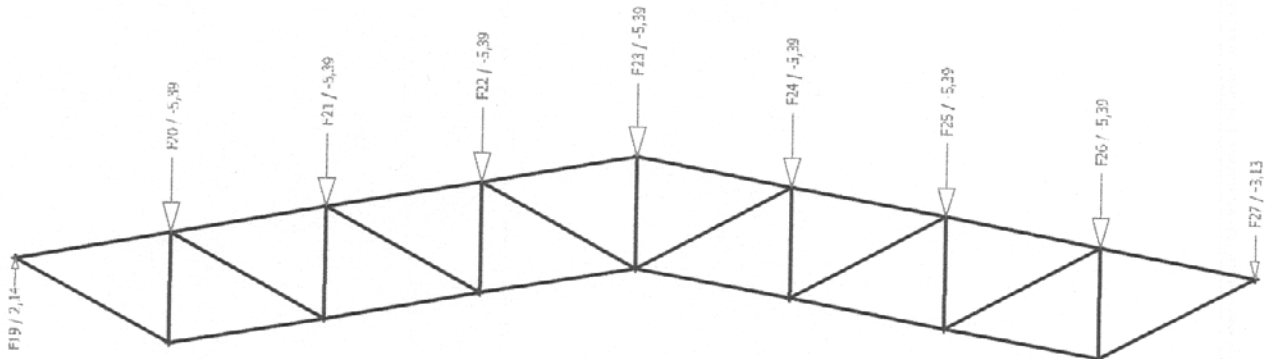
2) Vnitřní příčná vazba - $\theta = 90^\circ$

$$F_{1,9} = 1,255 * 6 - 0,879 * 6 + 0,129 * 6 = 3,025 \text{ kN}$$

$$F_{2-8} = 2,511 * 6 - 1,759 * 6 + 0,129 * 6 = 5,286 \text{ kN}$$



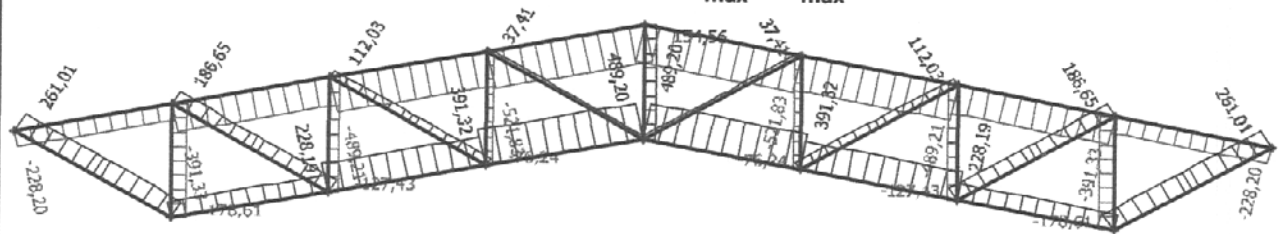
Největší sání na vazník bude vyvozovat zatížení příčným větrem viz. obr.



Ani zatížení největším sáním nezpůsobí převrácení vnitřních sil. (Změna tažených prutů na tlačené a naopak - jako tomu bylo ocelového vazníku.)



11.3. Vnitřní síly pro rozhodující kombinaci $G_{max} + S_{max}$



Tažené pruty budou navržené jako ocelové. Posouzení prutů bude provedeno v tabulce.
Působící normálové sály jsou převzaty z obr. []

| Prut | N_{ed} (tah) kN | Profil | A mm ² | i mm | f_y MPa | $N_{t,Rd}$ kN | $N_{ed}/N_{t,Rd}$ | |
|----------------|----------------------|--------|----------------------|---------|--------------|------------------|-------------------|------|
| S | 539,42 | 48 | 1808,64 | 57,8 | 460 | 662,9 | 0,814 | <1,0 |
| D ₁ | 287,91 | 36 | 1017,36 | 20,9 | 460 | 367,5 | 0,783 | <1,0 |
| D ₂ | 205,72 | 27 | 572,265 | 18,6 | 460 | 206,7 | 0,995 | <1,0 |
| D ₃ | 123,38 | 24 | 452,16 | 15,6 | 460 | 158,6 | 0,778 | <1,0 |
| D ₄ | 41,09 | 24 | 452,16 | 14,8 | 460 | 158,6 | 0,259 | <1,0 |
| V ₄ | 165 | 27 | 572,265 | 13,3 | 460 | 206,7 | 0,7983 | <1,0 |

Veličiny v tabulce jsou vypočteny pomocí následujících vztahů:

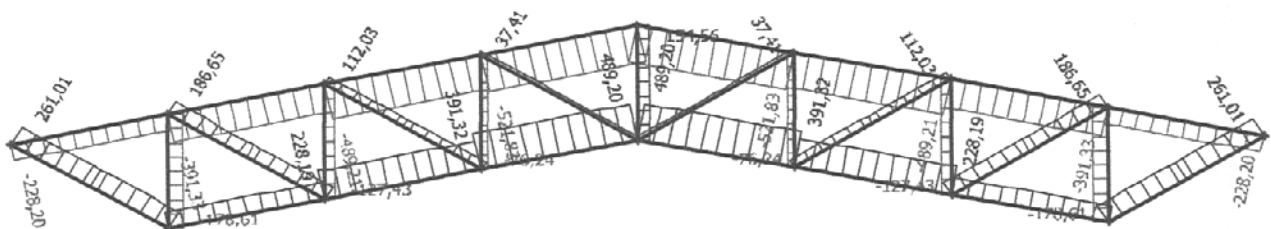
$$\text{Tah: } N_{t,Rd} = A * f_y d$$

$$\text{Tlak: } \lambda = \frac{L_{cr}}{i} \quad \lambda_{rel} = \frac{\lambda}{\lambda_1} = \frac{\lambda}{93,9} * \sqrt{\frac{f_y}{235}}$$

Návrhová pevnost oceli S355:

$$f_{yd} = \frac{f_y}{\gamma_{M0}} = \frac{f_y}{\gamma_{M1}} = \frac{355}{1,0} = 355 \text{ MPa}$$

Statický výpočet



Tlačené pruty budou navrženy jako dřevěné. Níže jsou uvedeny vzorce pro výpočet. Výsledky jsou uvedeny pro všechny prvky v tabulce. Působící síly viz obr []

| | | |
|--|--|---|
| $\lambda_y = \frac{l_{ef}}{i_y}$ | $I_z = \frac{1}{12} b^3 * h$ | $k_c = \frac{1}{k + \sqrt{k^2 - \lambda_{rel}^2}}$ |
| $\lambda_z = \frac{l_{ef}}{i_z}$ | $i_z = \sqrt{\frac{I_z}{A}}$ | $k = 0,5[1 + \beta_c(\lambda_{rel} - 0,3) + \lambda_{rel}^2]$ |
| $\sigma_{c,crit} = \pi^2 \frac{E_{0,05}}{\lambda^2}$ | $A = b * h$ | $N_{Rd} = k_c * A * f_{c,d}$ |
| $\lambda_{rel} = \sqrt{\frac{f_{c,0,k}}{\sigma_{c,crit}}}$ | $f_{c,0,d} = k_{mod} \frac{f_{c,0,k}}{\gamma_M} =$ | |

| Prut | N_{ed} (tlak) | b x h | L | i_z | λ_z | $\sigma_{c,crit}$ | λ_{rel} | k | k_c | N_{Rd} [kN] |
|----------------|-----------------|-----------|-------|-------|-------------|-------------------|-----------------|-------|-------|----------------------|
| | kN | mm | mm | mm | [-] | MPa | [-] | [-] | [-] | kN |
| H | 575,77 | 300 x 750 | 15000 | 92,38 | 162,38 | 3,515 | 2,44 | 3,59 | 0,16 | 597,422 0,964 |
| V ₁ | 196,83 | 120 x 180 | 3000 | 40,41 | 74,231 | 16,82 | 1,12 | 1,17 | 0,67 | 241,989 0,813 |
| V ₂ | 140,23 | 120 x 180 | 3000 | 34,64 | 86,603 | 12,357 | 1,30 | 1,40 | 0,52 | 146,143 0,96 |
| V ₃ | 83,78 | 100 x 140 | 3000 | 34,64 | 86,603 | 12,357 | 1,30 | 1,40 | 0,52 | 146,143 0,573 |



12. Ocelový sloup - vazba s vazníkem dřevo-ocel

12.1. Výpočet zatížení

Pro určení vnitřních sil bude zapotřebí stanovit 2 kombinace pro zatížení

a) Stálé + sníh + ψ_0 příčný vítr (pro vítr $\psi_0 = 0,6$, viz [2])

b) Stálé + ψ_0 sníh + příčný vítr (pro sníh $\psi_0 = 0,5$, viz [2])

| | Návrhové zatížení na vaznici [kN/m] | Návrhové zatížení na okapovou vaznici [kN/m] |
|---|--|---|
| Stálé zatížení* | 5,090 | 2,669 |
| Sníh | 3,150 | 1,575 |
| Vítr $\theta=0^\circ$ (G) | -3,516 | -1,758 |
| Vítr $\theta=0^\circ$ (H) | -1,759 | -0,879 |
| Vítr $\theta=0^\circ$ (J ₁) | 0,585 | 0,293 |
| Vítr $\theta=0^\circ$ (J ₂) | -1,759 | -0,879 |
| Vítr $\theta=0^\circ$ (I) | -1,759 | -0,879 |

Výpočet kombinace Stálé + sníh + ψ_0 příčný vítr - CO1

... Největší N na sloupu

$$F_1 = 2,669 * 6 + 1,575 * 6 - 0,6 * 1,758 * 6 = 19,135 \text{ kN}$$

$$F_{2,3,4} = 5,09 * 6 + 3,15 * 6 - 0,6 * 1,758 * 6 = 43,111 \text{ kN}$$

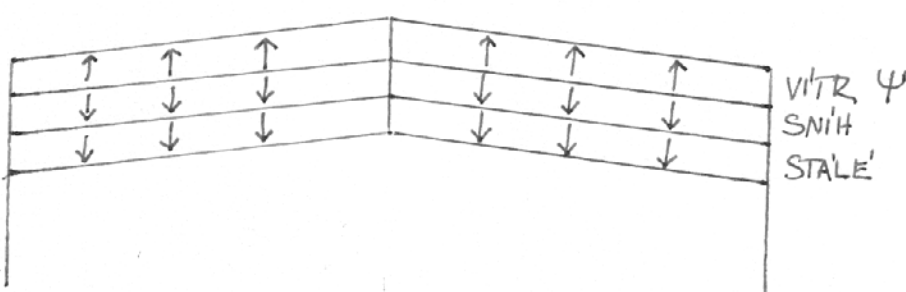
$$F_5 = 5,09 * 6 + 3,15 * 6 - 0,6 * (0,879 - 0,293) * 6 = 47,33 \text{ kN}$$

$$F_{6,7,8} = 5,09 * 6 + 3,15 * 6 - 0,6 * 1,758 * 6 = 43,111 \text{ kN}$$

$$F_9 = 2,669 * 6 + 1,575 * 6 - 0,6 * 0,879 * 6 = 22,299 \text{ kN}$$

$$w_1 = 0,547 * 6 * 0,6 * 1,5 = 2,9535 \text{ kN/m}$$

$$w_2 = 0,234 * 6 * 0,6 * 1,5 = 1,2636 \text{ kN/m}$$



Výpočet kombinace Stálé + ψ_0 sníh + příčný vítr - CO2

... Největší deformace a M

$$F_1 = 2,669 * 6 + 0,5 * 1,575 * 6 - 1,758 * 6 = 10,191 \text{ kN}$$

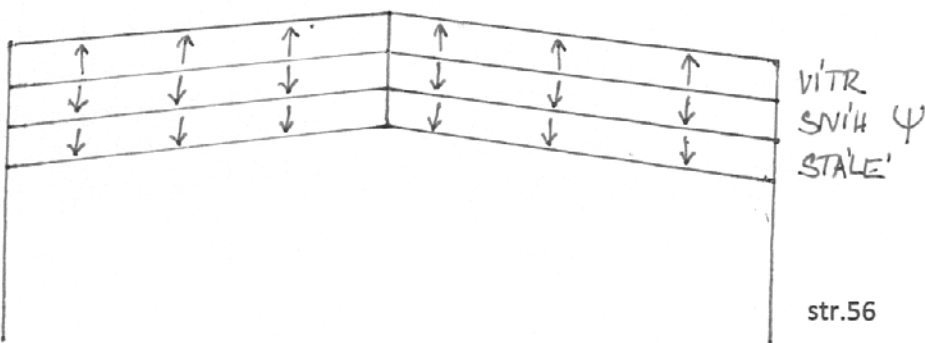
$$F_{2,3,4} = 5,09 * 6 + 0,5 * 3,15 * 6 - 1,758 * 6 = 29,442 \text{ kN}$$

$$F_{5,6,7,8} = 5,09 * 6 + 0,5 * 3,15 * 6 - 1,758 * 6 = 29,442 \text{ kN}$$

$$F_9 = 2,669 * 6 + 0,5 * 1,575 * 6 - 0,879 * 6 = 15,465 \text{ kN}$$

$$w_1 = 0,547 * 6 * 1,5 = 4,923 \text{ kN/m}$$

$$w_2 = 0,234 * 6 * 1,5 = 2,106 \text{ kN/m}$$



Statický výpočet



Výpočet kombinace $G_{\min} + W_{\text{sání}} - \text{CO3}$

1) Vnitřní příčná vazba - $\theta = 0^\circ$

Zatěžovací šířka je rozpětí vaznice $l = 6 \text{ m}$

Síly na vazníku - index odpovídá pořadí uzlu

$$F_1 = 1,255 * 6 - 1,758 * 6 + 0,129 * 6 = -2,244 \text{ kN}$$

$$F_{2,3,4} = 2,511 * 6 - 1,759 * 6 + 0,129 * 6 = 5,286 \text{ kN}$$

$$F_5^1 = 2,511 * 6 - 0,879 * 6 + 0,293 * 6 + 0,129 * 6 = 12,324 \text{ kN}$$

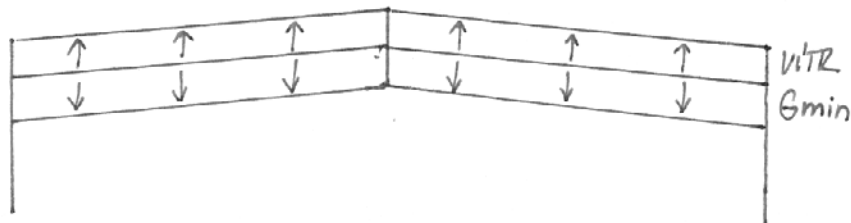
$$F_5^2 = 2,511 * 6 - 0,879 * 6 - 0,879 * 6 + 0,129 * 6 = 5,296 \text{ kN}$$

$$F_{6,7,8} = 2,511 * 6 - 1,759 * 6 + 0,129 * 6 = 5,286 \text{ kN}$$

$$F_9 = 1,255 * 6 - 0,879 * 6 + 0,129 * 6 = 3,027 \text{ kN}$$

$$w_1 = 0,547 * 6 * 1,5 = 4,923 \text{ kN/m}$$

$$w_2 = 0,234 * 6 * 1,5 = 2,106 \text{ kN/m}$$



Výpočet kombinace $G_{\min} + W_{\text{sání}} - \text{CO4}$

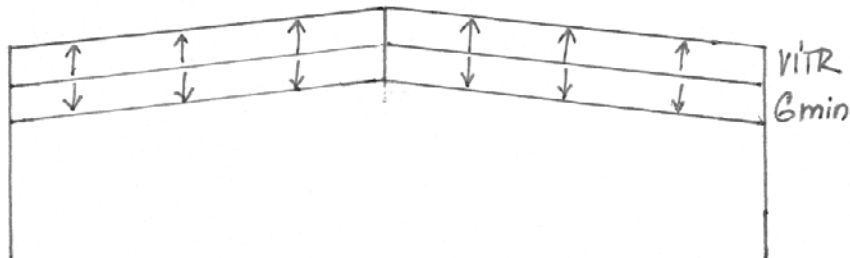
2) Vnitřní příčná vazba - $\theta = 90^\circ$

$$F_{1,9} = 1,255 * 6 - 0,879 * 6 + 0,129 * 6 = 3,025 \text{ kN}$$

$$F_{2-8} = 2,511 * 6 - 1,759 * 6 + 0,129 * 6 = 5,286 \text{ kN}$$

$$w_1 = 0,391 * 6 * 1,5 = 3,519 \text{ kN/m}$$

$$w_2 = 0,391 * 6 * 1,5 = 3,519 \text{ kN/m}$$



Výpočet kombinace pro MSP - Stálé + ψ_0 sníh + příčný vítr - CO5

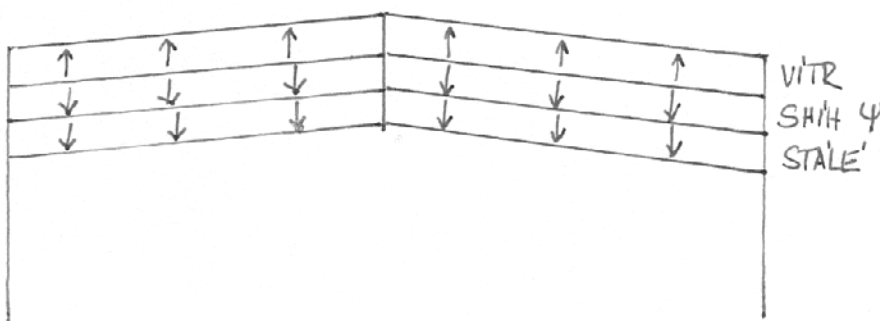
$$F_1 = 2,669 * 6/1,35 + 0,5 * 1,575 * 6/1,5 - 1,758 * 6/1,5 = 7,98 \text{ kN}$$

$$F_{2-8} = 5,09 * 6/1,35 + 0,5 * 3,15 * 6/1,5 - 1,758 * 6/1,5 = 16,64 \text{ kN}$$

$$F_9 = 2,669 * 6/1,35 + 0,5 * 1,575 * 6/1,5 - 0,879 * 6/1,5 = 11,496 \text{ kN}$$

$$w_1 = 0,547 * 6 = 3,282 \text{ kN/m}$$

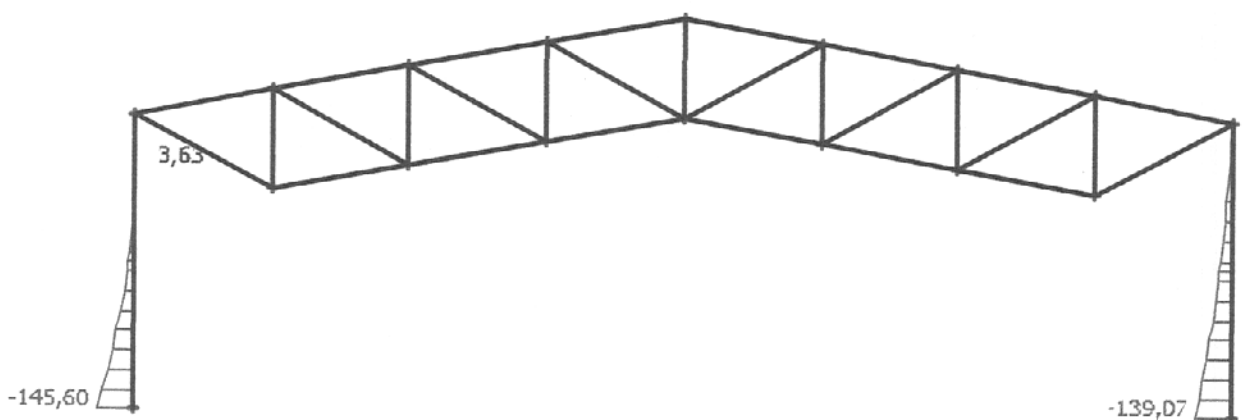
$$w_2 = 0,234 * 6 = 1,404 \text{ kN/m}$$



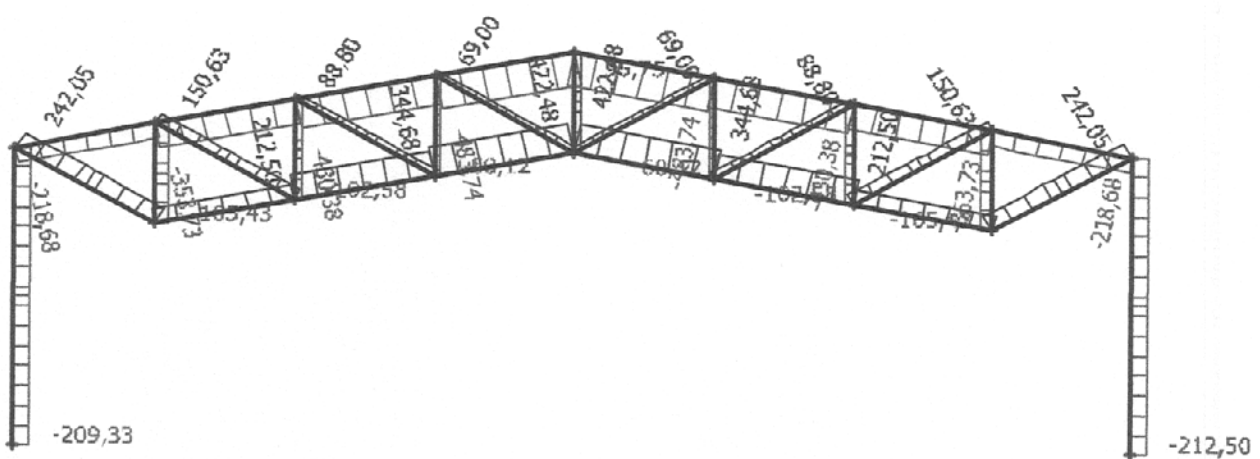


12.2. Vnitřní síly od rozhodující kombinace

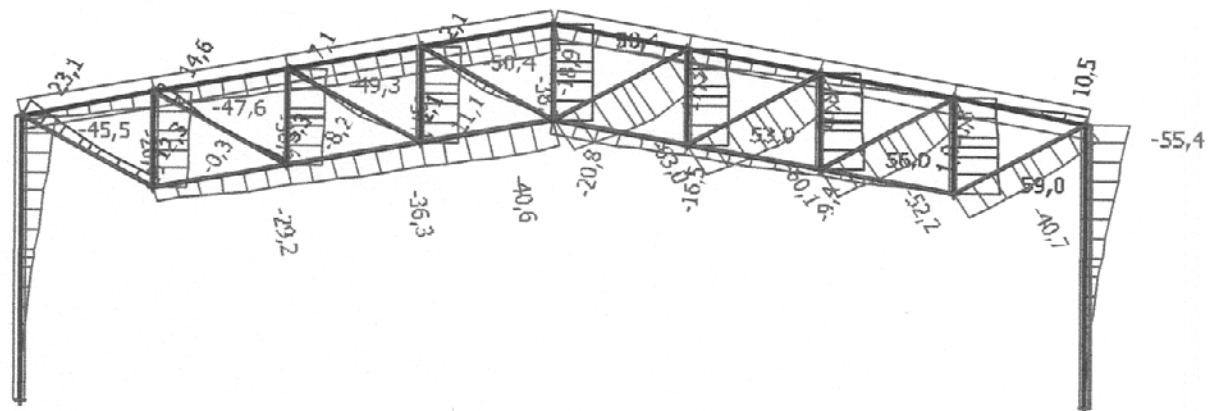
$M_{Ed\max}$



$N_{Ed\max}$



MSP [mm]





12.3. Předběžný odhad profilu sloupu

$$w_{k,mean} = \frac{(w_1 + w_2)}{2} = \frac{3,282 + 1,404}{2} = 2,343 \text{ kNm}^{\wedge} - 1$$

$$\frac{w_{k,mean} * H^4}{8 * EI_y} \leq \frac{H}{150}$$

$$I_y \geq \frac{150 * w_{k,mean} * H^3}{8 * E} \geq \frac{150 * 2,343 * 9000^3}{8 * 210\,000} = 152,5 * 10^6 \text{ mm}^4$$

Návrh sloupu: HEA 300 A [mm²] 11250
 I_y [mm⁴] 182600000

12.4. Mezní stav použitelnosti

$$\delta_{lim} = \frac{h}{150} = \frac{9000}{150} = 60 \text{ mm}$$

$\sigma_1 = 44 \text{ mm} \dots$ viz přílohy str. 26

12.5. Mezní stav únosnosti

Vnitřní síly z rozhodující kombinace

M_{Ed} [kNm] 145,6

N_{Ed} [kN] -209,33 ... v patce

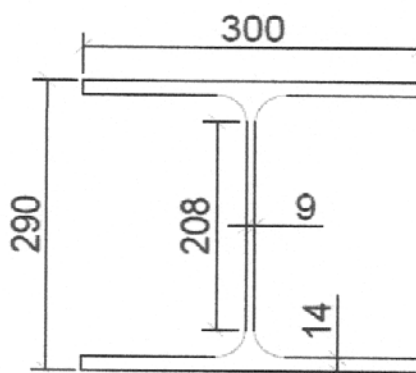
V_{Ed} [kN] 38,33 ... v patce

Návrh: Profil HEA 300

Ocel S235

F_{yd} [MPa]

235



| | |
|--------------------------------------|-----------|
| A [mm ²] | 11250 |
| A _{v,z} [mm ²] | 3728 |
| I _y [mm ⁴] | 182600000 |
| W _{pl,y} [mm ³] | 1383000 |
| W _{el,y} [mm ³] | 1260000 |
| i _y [mm] | 127 |
| i _z [mm ⁴] | 63100000 |
| i _z [mm] | 74,9 |
| I _t [mm ⁴] | 851700 |
| I _w [mm ⁶] | 1,2E+12 |

Posouzení

O únosnosti rozhoduje stabilita prutu. Vliv smyku lze zanedbat.

Vzpěrné délky:

Vzpěrná délka v rovině rámu L_{cr,y} = 2 * 9 = 18 m (sloup působí jako konzola)

Vzpěrná délka z roviny rámu L_{cr,z} = 2,5 m (vzdálenost paždíků)

Štíhlosti

→ poměrná štíhlost

$$\lambda_y = \frac{L_{cr,y}}{i_y} = \frac{18\,000}{127} = 141,7$$

$$\bar{\lambda}_y = \frac{\lambda_y}{\lambda_1} = \frac{141,7}{93,9} = 1,509$$



$$\lambda_z = \frac{L_{cr,z}}{i_z} = \frac{9000}{74,9} = 120,16$$

$$\bar{\lambda_z} = \frac{\lambda_z}{\lambda_1} = \frac{120,16}{93,9} = 1,28$$

$$\lambda_1 = 93,9 * \sqrt{\frac{235}{f_y}} = 93,9$$

Součinitele vzpěrnosti:

$$\chi_y = \chi_{min} = 0,339 \quad \text{pro křivku vzpěrné pevnosti b (podle[4])}$$

$$\chi_z = \chi_{min} = 0,397 \quad \text{pro křivku vzpěrné pevnosti c (podle[4])}$$

Určení kritického momentu M_{cr}

$L = 9000$ mm (výška sloupu, protože tlačená pásnice je v příčném směru podepřena v patce a ve vrcholu)

$k_z = 1,0$ (na obou koncích úseku prutu o délce L je možné natočení průřezu okolo y menší tuhosti z)

$k_w = 0,7$ (v patce je přivařený podélnými výztuhami - bráněno deplanaci, v uložení vazníku je deplanace volná)

Průběh momentu po délce prutu si zjednodušeně představíme jako trojúhelníkový. Z [5], tab. 1.4 je pro $k_z = 1,0$

$$C_{1,0} = 1,77$$

$$C_{1,1} = 1,85$$

Výpočet (podle postupu ve skriptech [5], oddíl 1.3.2):

$$\kappa_{wt} = \frac{\pi}{k_w * L} \sqrt{\frac{EI_w}{GI_t}} = \frac{\pi}{0,7 * 9000} \sqrt{\frac{210000 * 1200 * 10^9}{81000 * 852 * 10^3}} = 0,953$$

$$C_1 = C_{1,0} + (C_{1,1} - C_{1,0}) * \kappa_{wt} = 1,77 + (1,85 - 1,77) * 0,953 = 1,84 \leq C_{1,1} = 1,85$$

$$\mu_{cr} = \frac{C_1}{k_z} \sqrt{1 + \kappa_{wt}^2} = \frac{1,84}{1,0} \sqrt{1 + 0,953^2} = 2,542$$

$$M_{cr} = \mu_{cr} \frac{\pi \sqrt{EI_y * GI_t}}{L} = 2,541 \frac{\pi \sqrt{210000 * 1826 * 81000 * 852 * 10^8}}{9000} = 1442 \text{ kNm}$$

Poměrná štíhlost (pro průřez třídy 1 nebo 2 s plastickým průřezovým modulem)

$$\bar{\lambda}_{LT} = \sqrt{\frac{W_{pl,y} * f_y}{M_{cr}}} = \sqrt{\frac{1383000 * 235}{1442 * 10^6}} = 0,225$$

Součinitel klopení χ_{LT} pro křivku vzpěrené pevnosti a (válcovaný nosník, h/b < 2):

$$\chi_{LT} = 0,993$$

Interakce tlaku s ohybem

Vliv osové síly na zvětšení ohybového momentu a vliv tvaru momentové plochy

Při geometrickém vyjádření vzpěrny délky konzoly leží bod veknutí v polovině vzpěrny délky. Tvar momentu pro určení součinitele C_{my} tedy odpovídá obrázku:

Statický výpočet



Součinitel C_{my} se určí pro výše uvedený průběh momentů na délce $L_{cr,y}$:

$$\alpha_h = M_h/M_s = 0$$

$$C_{my} = 0,90 + 0,10 * \alpha_h = 0,90 + 0,0 = 0,90$$

Součinitel C_{mLT} se určí pro stejný průběh momentů, jaký byl uvažován pro výpočet M_{cr} . Pro zjednodušené lineární průběh momentů platí:

$$C_{mLT} = 0,6 + 0,4\psi \geq 0,4$$

$$C_{mLT} = 0,6 + 0,4 * 0 = 0,6$$

kde ψ je poměr krajních momentů ($-1 \leq \psi \leq 1$)

Interakční součinitele k_{yy} , k_{zy} se určí pro pruty, které jsou náchylné ke zkoucení, a pro třídu průřezu 1.

$$k_{yy} = \min \left\{ \frac{C_{my} \left(1 + (\bar{\lambda}_y - 0,2) \frac{N_{Ed}}{\chi_y * N_{Rk} / \gamma_{M1}} \right)}{C_{my} \left(1 + 0,8 \frac{N_{Ed}}{\chi_y * N_{Rk} / \gamma_{M1}} \right)} \right\} = \min \left\{ \frac{0,90 \left(1 + (1,509 - 0,2) \frac{209,33}{0,339 * 11250 * 235/1,0} \right)}{0,90 \left(1 + 0,8 \frac{209,33}{0,339 * 11250 * 235/1,0} \right)} \right\} = \min \left\{ \frac{1,175}{1,068} \right\} = 1,068$$

Pro $\bar{\lambda}_z = > :$

$$k_{zy} = \max \left\{ \frac{1 - \frac{0,1 \bar{\lambda}_z}{C_{mLT} - 0,25} \left(\frac{N_{Ed}}{\chi_y * N_{Rk} / \gamma_{M1}} \right)}{1 - \frac{0,1}{C_{mLT} - 0,25} \left(\frac{N_{Ed}}{\chi_y * N_{Rk} / \gamma_{M1}} \right)} \right\} = \max \left\{ \frac{1 - \frac{0,1 * 1,28}{0,6 - 0,25} \left(\frac{209,33}{0,339 * 11250 * 235/1,0} \right)}{1 - \frac{0,1}{0,6 - 0,25} \left(\frac{209,33}{0,339 * 11250 * 235/1,0} \right)} \right\} = \max \left\{ \frac{0,927}{0,943} \right\} = 0,943$$

Podmínky spolehlivosti:

$$\frac{N_{Ed}}{\chi_y * N_{Rk}} + k_{yy} \frac{M_{y,Ed}}{\chi_{LT} * M_{y,Rk}} = \frac{209,33}{0,339 * 11250 * 235/1,0} + 1,0 \frac{145,6}{0,993 * 1383000 * 235/1,0} = \\ = 0,234 + 0,48 = 0,715 < 1$$

$$\frac{N_{Ed}}{\chi_z * N_{Rk}} + k_{zy} \frac{M_{y,Ed}}{\chi_{LT} * M_{y,Rk}} = \frac{209,33}{0,397 * 11250 * 235/1,0} + 0,95 \frac{145,6}{0,993 * 1383000 * 235/1,0} =$$

$$= 0,199 + 0,43 = 0,625 < 1$$

Sloup na vzpěr s ohybem vyhoví



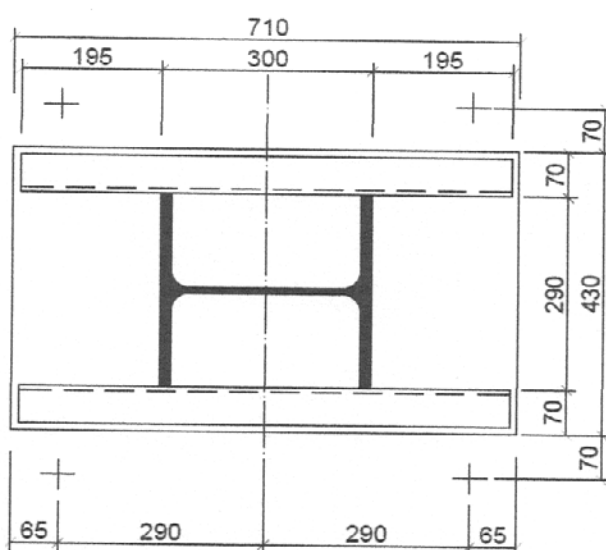
13. Patka sloupu

Patka je vložená. Posoudí se na 2 kombinace zatížení:

a) kombinaci s největším momentem a současně působící velkou tlakovou silou

b) kombinace s největším poměrem M_{Ed}/N_{Ed} , případně tahovou normálovou silou

| | Levý sloup | | | Pravý sloup | | |
|-----|----------------|----------------|----------|----------------|----------------|----------|
| | $V_{Ed} = R_y$ | $N_{Ed} = R_z$ | M_{Ed} | $V_{Ed} = R_y$ | $N_{Ed} = R_z$ | M_{Ed} |
| | kN | kN | kNm | kN | kN | kNm |
| CO1 | 22,01 | 209,33 | 78,49 | 15,94 | 212,5 | 92,31 |
| CO2 | 38,33 | 150,44 | 145,6 | 24,93 | 155,71 | 139,07 |
| CO3 | 38,83 | 56,26 | 150,1 | 24,43 | 61,54 | 134,58 |
| CO4 | 20,57 | 61,53 | 42,6 | 20,57 | 61,53 | 42,6 |



Geometrie:

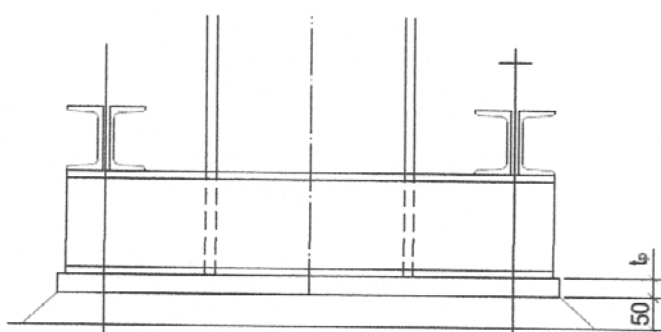
Geometrie ocelové patky:

| | |
|----------|-------------------|
| a [mm] | 710 |
| b [mm] | 430 |
| t_p [mm] | 30 ...patní plech |
| r_t [mm] | 290 |

Beton C16/20 f_{ck} [MPa] 16

γ_c [-] 1,5

Výška podlití má být větší než 0,1 násobek menšího z půdorysných rozměrů patky, tj.
43 Volíme 50 mm.



Rozměry betonové patky:
půdorysně:

| | |
|------------------|------|
| a_c [mm] | 2000 |
| b_c [mm] | 1200 |
| výška: h [mm] | 720 |

Započitatelné rozměry betonové patky

$$a_1 = \min(a_c, 3a, a + h) = \min(2000, 3 * 710, 710 + 720) = 1430 \text{ mm}$$

$$b_1 = \min(b_c, 3b, b + h) = \min(1200, 3 * 430, 430 + 720) = 1150 \text{ mm}$$

Statický výpočet

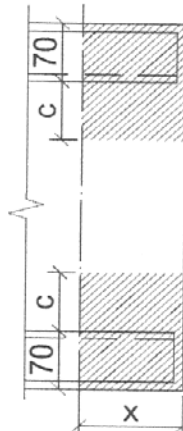


Součinitel koncentrace napětí

$$k_j = \sqrt{\frac{a_1 * b_1}{a * b}} = \sqrt{\frac{1430 * 1150}{710 * 430}} = 2,32$$

Návrhová pevnost betonu

$$f_{jd} = \frac{2}{3} \frac{k_j * f_{ck}}{\gamma_c} = \frac{2 * 2,32 * 16}{3 * 1,5} = 16,51 \text{ MPa}$$



Přesah desky

$$c = t_p \sqrt{\frac{f_{yd}}{3f_{jd}}} = 30 \sqrt{\frac{235}{3 * 16,5}} = 65,35 \text{ mm}$$

Účinná šířka patního plechu (viz obr.)

$$b_{eff} = 2 * 70 + 2 * c = 2 * 70 + 2 * 65,35 = 270,7 \text{ mm}$$

| | | CO1 | CO2 | CO3 | CO4 |
|--------------------------|-----|--------|--------|---------------|-------|
| M_{Ed} | kNm | 62,30 | 145,60 | 150,10 | 42,60 |
| N_{Ed} | kN | 209,33 | 150,44 | 56,26 | 61,53 |
| e | mm | 298 | 968 | 2668 | 692 |
| x₁ | mm | 1246 | 1237 | 1236 | 1275 |
| x₂ = x | mm | 44 | 53 | 54 | 15 |
| N_c | kN | 197,47 | 235,35 | 242,95 | 66,82 |
| T | kN | -11,86 | 84,91 | 186,69 | 5,29 |

Veličiny uvedené v tabulce:

- excentricita působiště normálové síly

$$e = \frac{M_{Ed}}{N_{Ed}}$$

- x je délka tlačené oblasti pod patním plechem, určí se z momentové podmínky rovnováhy k působišti šroubů, viz obr. :

$$N_{Ed}(e + r_1) = N_c \left(r_1 + \frac{a}{2} - \frac{x}{2} \right)$$

kde $N_c = b_{eff} x f_{jd}$

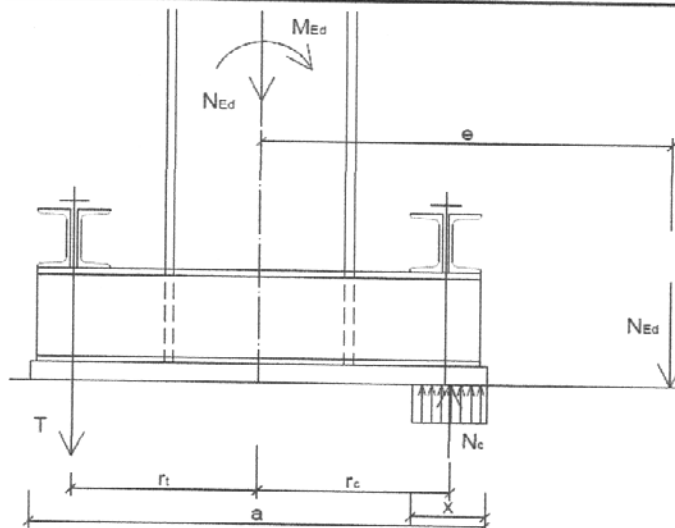
Z těchto dvou rovnic se získá kvadratická rovnice pro x:

$$b_{eff} f_{jd} x^2 - b_{eff} f_{jd} (2r_t + a)x + 2N_{Ed}(e + r_t) = 0$$

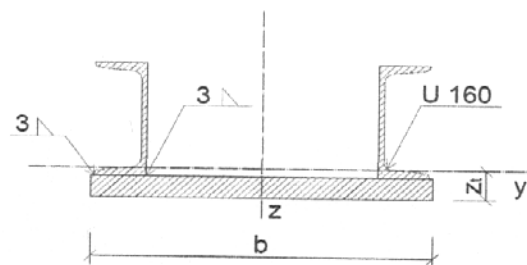
x_1, x_2 jsou kořeny kvadratické rovnice, fyzikální smysl má kořen x_2

- Síla do kotevních šroubů vyplýne ze svislé podmínky rovnováhy:

$$T = N_c - N_{Ed}$$



13.1. Průřez patky



Patní plech:

Výztuhy 2x U160 A 30 x 430 mm

$$I_y = 1,9E+07 \text{ mm}^4$$

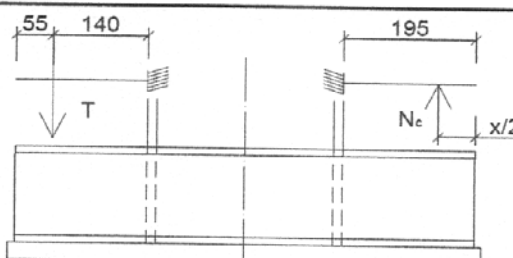
$$A_{vz} = 2520 \text{ mm}^2$$

Svařený průřez:

$$A = 30 * 430 + 4800 = 17700 \text{ mm}^2$$

$$z_T = \frac{\sum A_j z_j}{A} = \frac{30 * 430 * 15 + 4800 * (80 + 30)}{17700} = 40,76 \text{ mm}$$

$$I_y = \frac{430 * 30^3}{12} + 30 * 430 * (40,76 - 15)^2 + 19 * 10^6 + 4800 * (80 + 30 - 40,76) = 5,10E+07 \text{ mm}^4$$



Průřez patky působí jak konzola namáhaná silou ve šroubech T nebo silou mezi betonem a ocelí N_c, viz obrázek. Posoudí se na kombinaci ohybu a snyku:

- tlačená strana patky - rozhoduje CO3

$$M_p = N_c \left(b_{eff} - \frac{x}{2} \right) = 242 (271 - 27) = 60,40 \text{ kNm}$$

$$V_p = N_c = 242,95 \text{ kN}$$

- tažená strana patky - rozhoduje CO3

$$M_l = T * 0,14 = 186,69 * 0,14 = 26,14 \text{ kNm}$$

$$V_l = T = 186,69 \text{ kN}$$



Protože průřez není symetrický okolo osy y, není možné použít zjednodušený vztah. Výpočet s využitím plastických únosností by byl pracný a proto průřez posoudím pružně.

$$W_{y,h} = \frac{51,01 * 10^6}{160 + 30 - 40,76} = 342003,69 \text{ mm}^3$$

$$W_{y,d} = \frac{51,01 * 10^6}{40,76} = 1252117,5 \text{ mm}^3$$

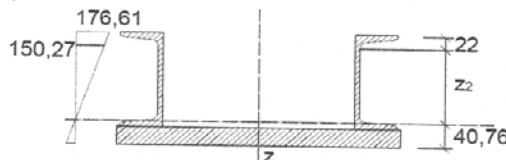
$$\sigma_{h,max} = \frac{M_{max}}{W_{y,h}} = \frac{60,40}{342003} = 176,61 \text{ MPa} < f_{yd} = 235 \text{ MPa}$$

$$\tau_{max} \cong \frac{V_{max}}{A_{vz}} = \frac{242,95}{2520} = 96,41 \text{ MPa} < \frac{235}{\sqrt{3}} = 135,7 \text{ MPa}$$

Protože 96,41 MPa je větší než $0,5 * 135,7$ MPa je nutné posoudit kombinaci M + V.

$$\sigma_2 = \frac{M_{max}}{I_y} Z_2 = \frac{60,40}{51,01 * 10^6} * (190 - 22 - 40,76) = 150,27 \text{ MPa}$$

$$\sqrt{\sigma_2^2 + 3 \tau^2} = \sqrt{150,27^2 + 3 * 96,41^2} = 224,6 \text{ MPa} < 235 \text{ MPa}$$



Průřez patky s výztuhami vyhoví

13.2. Připojení podélných výztuh k patnímu plechu

Návrh: Koutové svary a = 3 mm, dva svary na jednu výztuhu U160

Svary jsou namáhány podélným smykem silou V_p od ohybu průřezu patky (viz výše) a současně do patního plechu přenášejí reakce sloupku M_{Ed} , N_{Ed} a V_{Ed} . Posouzení je třeba provést v lící sloupu, kde se projeví vliv síly V_p (řez 1-1), a na konci patky, kde je větší vliv momentu M_{Ed} (řez 2-2)- Rozhoduje levý sloup při CO3, kde působí největší síla V_p a současně největší moment M_{Ed} :

| | |
|----------------|--------|
| N_{Ed} [kN] | 56,26 |
| M_{Ed} [kNm] | 150,10 |
| V_{Ed} [kN] | 38,83 |
| V_p [kN] | 242,95 |

Napětí ve svarech:

$$\tau_{||} = \frac{V_{Ed}}{A_{we}} + \frac{V_p S_{f,y}}{I_y 4 a_{we}}$$

$$\sigma_{we} = \frac{N_{Ed}}{A_{we}} + \frac{M_{Ed}}{I_y} x_i$$

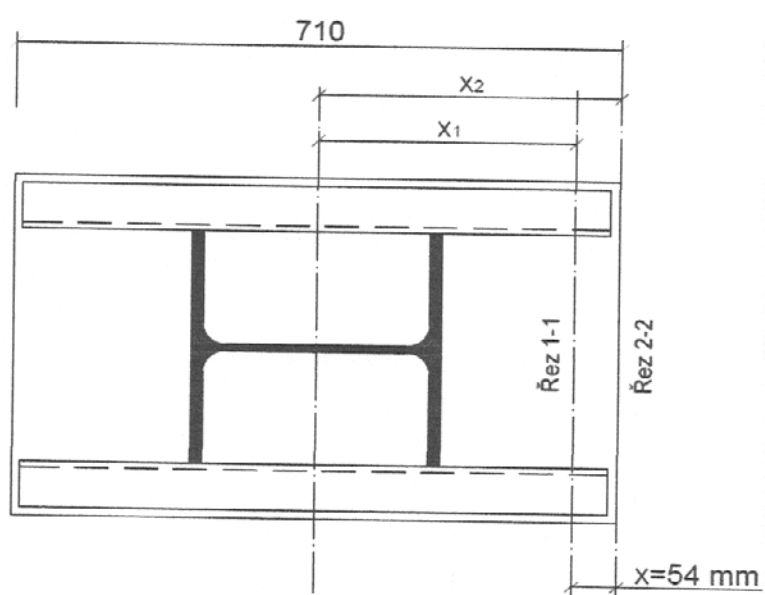
$$\tau_{\perp} = \sigma_{\perp} = \sigma_{we}/\sqrt{2}$$

kde $A_{we} = 4 * 3 * 680 =$

$$I_{we} = \frac{4 * 3}{12} * 680^3 =$$

$$8160 \text{ mm}^2$$

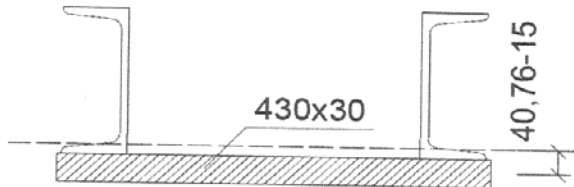
$$314432000 \text{ mm}^4$$



Statický výpočet



statický moment k rovině svaru



$$S_{f,y} = 430 * 30 * (40,76 - 15) =$$

$$332338,98$$

Řez 1 - 1

$$\tau_{\parallel} = \frac{V_{Ed}}{A_{we}} + \frac{V_p S_{f,y}}{I_y^4 a_{we}} = \frac{38,83}{8160} + \frac{242,9 * 332338,98}{51,07 * 10^6 * 4 * 2} = 83,86 \text{ MPa}$$

$$\sigma_{we} = \frac{N_{Ed}}{A_{we}} + \frac{M_{Ed}}{I_{we}} x_i = \frac{56,26}{8160} + \frac{150,1 * 10^6}{314432000} (355 - 54) = 186,91 \text{ MPa}$$

$$\tau_{\perp} = \sigma_{\perp} = \frac{\sigma_{we}}{\sqrt{2}} = \frac{186,91}{\sqrt{2}} = 132,17 \text{ MPa}$$

$$\sqrt{\sigma_{\perp}^2 + 3(\tau_{\perp}^2 + \tau_{\parallel}^2)} = \sqrt{132,17^2 + 3(132,17^2 + 83,86^2)} = 301,61 \text{ MPa}$$

$$\leq \frac{f_u}{\beta_w \gamma_{M2}} = \frac{360}{0,8 * 1,25} = 360 \text{ MPa}$$

Řez 2 - 2

$$\tau_{\parallel} = \frac{V_{Ed}}{A_{we}} + 0 = \frac{38,83}{8160} = 4,76 \text{ MPa}$$

$$\sigma_{we} = \frac{N_{Ed}}{A_{we}} + \frac{M_{Ed}}{I_y} x_i = \frac{56,26}{8160} + \frac{150,1 * 10^6}{314432000} (355) = 216,94 \text{ MPa}$$

$$\tau_{\perp} = \sigma_{\perp} = \frac{\sigma_{we}}{\sqrt{2}} = \frac{216,94}{\sqrt{2}} = 153,40 \text{ MPa}$$

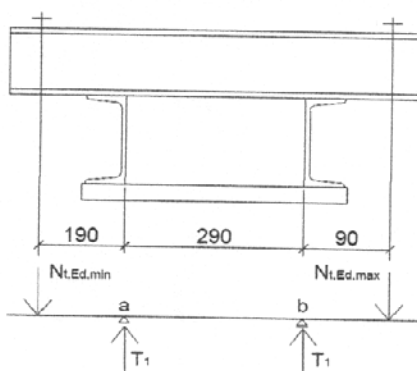
$$\sqrt{\sigma_{\perp}^2 + 3(\tau_{\perp}^2 + \tau_{\parallel}^2)} = \sqrt{153,40^2 + 3(153,40^2 + 4,76^2)} = 306,91 \text{ MPa}$$

$$\leq \frac{f_u}{\beta_w \gamma_{M2}} = \frac{360}{0,8 * 1,25} = 360 \text{ MPa}$$

Svary podélných výztuh k patnímu plechu vyhoví.

13.3. Kotevní šrouby

Při určení sil do jednoho šroubu musím vzít v úvahu toleranci osazení šroubu, kterou uvažuji +/- 50 mm. Největší sílu do šroubu N_t, Ed, max určím z momentové podmínky k působišti síly N_t, Ed, min . Rozhoduje kombinace s největší silou do kotevních šroubů T - CO3



$$T_1 = \frac{T_{max}}{2} = \frac{186,7}{2} = 93,35 \text{ kN}$$

Statický výpočet



Určení působiště síly Nt, Ed,min z momentové podmínky rovnováhy:

$$N_{t,Ed,max} = \frac{93,4 * (190 + 480)}{560} = 109,7 \text{ kN}$$

$$N_{t,Ed,min} = 186,7 - 109,7 = 76,9 \text{ kN}$$

Návrh: M30 As = 561 mm², průměr dříku D = 32 mm
 porušení v místě řezaného závitu: ... rozhoduje

$$F_{t,Rd} = 0,85 \frac{0,9 A_s f_u}{\gamma_{M2}} = 0,85 * \frac{0,9 * 561 * 360}{1,25} = 123,6 \text{ kN}$$

$$F_{t,Rd} = \frac{A_f y}{\gamma_{M0}} = \frac{803,8 * 235}{1,0} = 188,9 \text{ kN}$$

13.4. Kotevní příčník

Statické schéma kotevního příčníku je patrné ze statického schématu zatížení kotevních šroubů.

$$M_{a,d} = 186,7 * 0,09 = 9,88 \text{ kNm}$$

$$V_{a,d} = 186,7 \text{ kN}$$

$$M_{b,d} = 76,9 * 0,19 = 14,62 \text{ kNm}$$

$$V_{b,d} = 76,9 \text{ kN}$$

| | | |
|------------------------|--------------------------------------|-------|
| <u>Návrh : 2x U 80</u> | W _{pl,y} [mm ³] | 63600 |
| | A _{v,z} [mm ²] | 980 |

Posouzení:

$$V_{pl,Rd} = \frac{A_{v,z} f_{yd}}{\sqrt{3}} = \frac{980 * 235}{\sqrt{3}} = 132,964 \text{ kN}$$

$$M_{pl,Rd} = W_{pl,y} * f_{yd} = 63600 * 234 = 14,946 > M_{Ed,max} = 13,8 \text{ kNm}$$

Průřez a:

$$\rho = \left(\frac{2V_{a,d}}{V_{pl,Rd}} - 1 \right)^2 = \left(\frac{2 * 186,7}{132,9} - 1 \right)^2 = 0,157$$

$$M_{V,Rd} = \left(W_{pl} - \frac{\rho A_v^2}{4 t_w} \right) = \left(63600 - \frac{0,157 * 980^2}{4 * 6} \right) = 55,14 \text{ kNm}$$

$$\rho = \left(\frac{2V_{b,d}}{V_{pl,Rd}} - 1 \right)^2 = \left(\frac{2 * 76,9}{132,9} - 1 \right)^2 = 0,025$$

$$M_{V,Rd} = \left(W_{pl} - \frac{\rho A_v^2}{4 t_w} \right) = \left(63600 - \frac{0,025 * 980^2}{4 * 6} \right) = 63,10 \text{ kNm}$$



13.5. Přenos vodorovné posouvací síly do betonové patky

Rozhodující je kombinace zatížení s největší vodorovnou reakcí při nejmenší svislé tlakové síle ve spáře mezi ocelí a betonem. Rozhoduje tedy CO4, budu posuzovat reakce levého sloupu (tab.):

$$R_{y,Ed} [\text{kN}] \quad 20,57 \quad (\text{vodorovná reakce})$$

$$N_c [\text{kN}] \quad 66,82 \quad \text{Tlaková síla v spáře mezi ocelí a betonem - viz tab.}$$

Nejdříve posoudím, zda se posouvací síla nepřenese třením mezi patním plechem a betonem (součinitel tření $\mu = 0,2$).

$$V_{Ed}' = \mu N_c = 0,2 * 66,82 = \quad 13,36 \text{ kN} < R_{y,Ed} = 20,57 \text{ kN}$$

Tření není dostatečné.

Do tlakové síly ve spáře mezi ocelí a betonem mohu započítat i vliv utažení kotevních šroubů. Předepíšeme předepnutí šroubů při utažení alespoň na sílu $0,1 * A_s * f_{yd}$.

Potom mohu brát v úvahu:

$$N_c' = N_c + 0,1 * A_s f_{yd} = 66,82 + 0,1 * 527,34 = \quad 119,55521 \text{ kN}$$

$$V_{Ed}' = 0,2 * 119,55 = 23,91 \text{ kN} > R_{y,Ed} = 20,57 \text{ kN}$$

Pro přenos vodorovné reakce není třeba navrhnut zarázka.

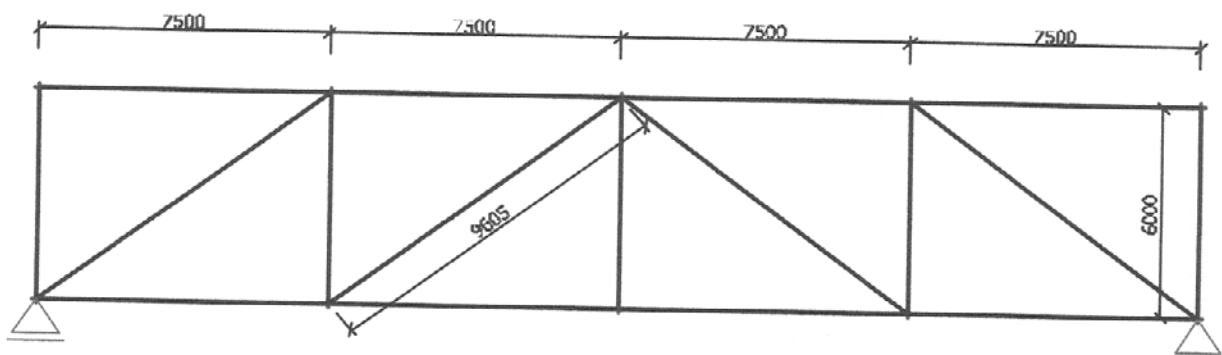


14. Ztužení haly II.

14.1. Příčné ztužidlo ve střešní rovině

14.1.1. Geometrie, zatížení a vnitřní síly

Ve střeše jsou navržena 2 příčná ztužidla u štítů haly. Jednomu ztužidlu přisoudím maximální zatížení sáním větru. Druhé ztužidlo nadimenzujuji stejně a rezervu přisoudím na zatížení třením větru. U zatížení od maximálního tlaku větru ověřím zda tlaková síla do vaznice nezpůsobí její vybočení.



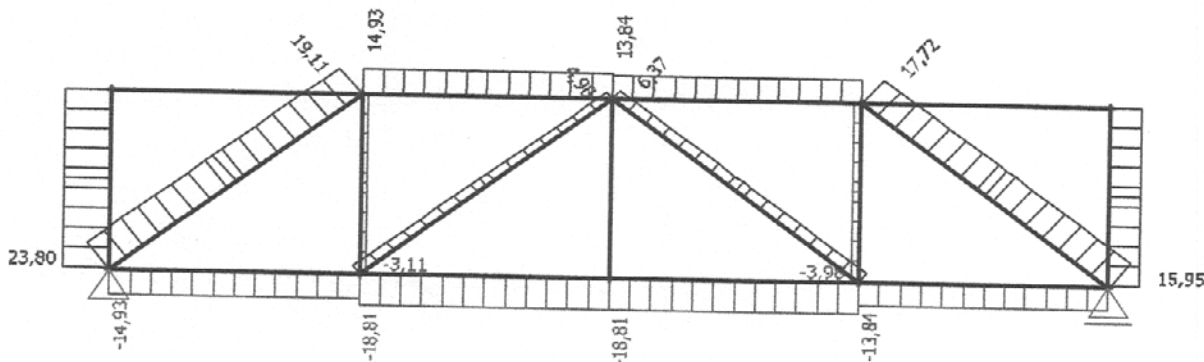
Síly do uzlů v příhradové konstrukci odpovídají silám od sloupků štítové stěny.
Geometrie štítové stěny je patrná z kapitoly 15. První pole je zatíženo oblastí A a zbytek polí je zatíženo oblastí B. Následuje výpočet jednotlivých sil:
Sání:

$$W_{1,Ed} = 0,94 * 1,5 * \frac{7,5}{2} * \frac{9}{2} = 23,8 \text{ kN}$$

$$W_{2,Ed} = (0,94 * 1,5 * \frac{7,5}{2} + 0,63 * 1,5 * 7,5/2) * \frac{2}{2} = 8,83 \text{ kN}$$

$$W_{3,4,Ed} = 0,63 * 1,5 * 7,5 * \frac{2}{2} = 7,09 \text{ kN}$$

$$W_{5,Ed} = 0,63 * 1,5 * \frac{7,5}{2} * \frac{9}{2} = 15,95 \text{ kN}$$



14.1.2. Vnitřní síly - sání

Reakce [kN]

35,74 (tah)

Diagonála [kN]

19,11 (tah)

Pás Nmax [kN]

18,81

... DK vazník - nerozhodující

Svislice [kN]

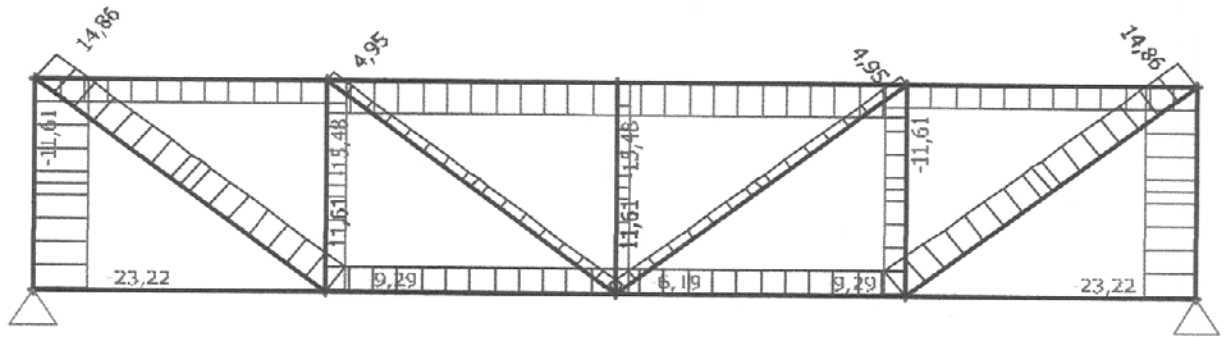
3,11 (tlak)



Maximální tlak větru

$$W_{1,5,Ed} = 0,55 * 1,5 * \frac{7,5}{2} * \frac{9}{2} = 13,93 \text{ kN}$$

$$W_{2,3,4,Ed} = 0,55 * 1,5 * 7,5 * \frac{2}{2} = 6,19 \text{ kN}$$



14.1.3. Vnitřní síly - Tlak

Reakce [kN] 23,22 (tlak)

Diagonála [kN] 14,86 (tah)

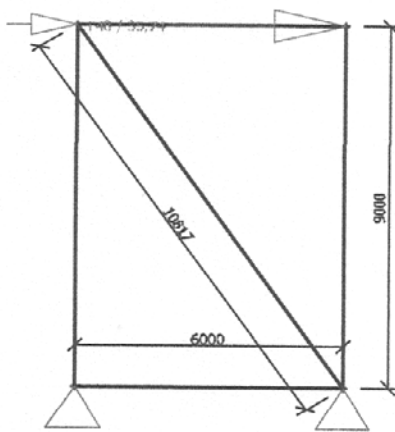
Pás Nmax [kN] 15,48 ... DK vazník - nerozhodující

Svislice [kN] 23,22 (tlak)

Max Tah v diagonále je 19,11 kN. Navrhoji systém táhel DETAN - S460 s průměrem 16mm.
NRd = 70,5 kN. Menší průměr nelze zvolit, protože nesplňuje podmínu výrobce na maximální délku. Viz přílohy str.

14.2. Podélné ztužení Hala II

14.2.1. Schéma a zatízení



Zatízení větrem na štíty od podélného větru

Návětrná strana při max. Tlaku větru - $F_{1,Ed} = 23,22 \text{ kN}$ (max. Tlak)

Závětrná strana při max. Sání větru $F_{2,Ed} = 35,74 \text{ kN}$ (max. Tah)

Zatízení vlivem rámových imperfekcí

Největší síla ve sloupu od zatízení bez vlivu větru (KZ5) - $N_{Ed} = 209,33 \text{ kN}$

Statický výpočet



Součinitele pro vliv výšky a počtu sloupů a počtu podlaží na jednu ztužidlo:

$$\alpha_h = \frac{2}{\sqrt{h}} = \frac{2}{\sqrt{9}} = 0,66, \text{ pro } \alpha_h \geq \frac{2}{3} \text{ platí } \alpha_h = \frac{2}{3}$$

$$\alpha_m = \sqrt{0,5 + (1 + \frac{1}{m})} = \sqrt{0,5 + (1 + \frac{1}{9})} = 0,782$$

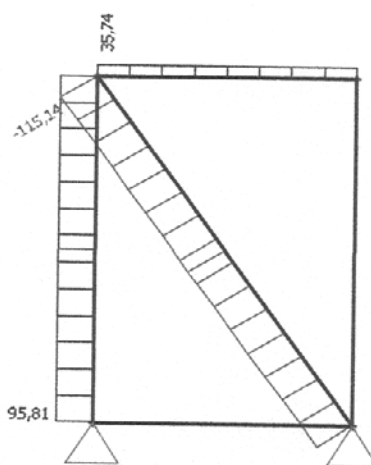
Ekvivalentní počáteční natočení sloupů

$$\phi = \phi_0 * \alpha_h * \alpha_m = \frac{2}{3} * 0,782 * \frac{1}{200} = \frac{391}{150\,000}$$

Ztužidlo přenáší vodorovnou sílu z podélné stěny haly I. Ekvivalentní vodorovná síla ze všech sloupů je tedy:

$$H_\phi = \phi \sum N = \frac{391}{150\,000} * 9 * 209,33 = 4,91 \text{ kN}$$

Pro max. zatížení větrem tedy platí: $N_{ed,max} = 115,14 \text{ kN}$



14.2.2. Posouzení:

$$L_{cr} = 10,82 \text{ m}$$

Návrh TR 127 x 12,5 A = 4496 mm^2

$$I = 7460000 \text{ mm}^4$$

Pružná kritická síla:

$$N_{cr} = \frac{\pi^2 EI_z}{L_{cr,z}^2} = \frac{\pi^2 210\,000 * 74,6 * 10^5}{10\,820^2} = 132,1 \text{ kN}$$

Poměrná štíhlost:

$$\bar{\lambda} = \sqrt{\frac{A * f_y}{N_{cr,z}}} = \sqrt{\frac{4496 * 235}{132,1 * 10^3}} = 2,829$$

Součinitel vzpěrnosti:

$$\chi = 0,116 \text{ pro křivku vzpěrné pevnosti a}$$

Vzpěrná tlaková únosnost

$$N_{b,Rd} = \chi * A * f_{yd} = 0,116 * 4496 * 235 = 122,6 \text{ kN} > 115,14 \text{ kN}$$

Profil TR 127 x 12,5 na vzpěr vyhoví



15. Štírová stěna Hala II.

15.1. Zjistění rozhodujícího sloupu

Všechny sloupky v této štírové stěně mají totožnou délku a to 2 metry.

Rozhodující bude první sloupek který je zatížen spojitým zatížením 5,8575 kN/m.

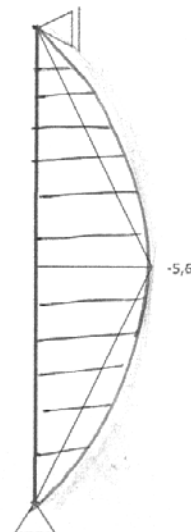
Výběr rozhodujícího sloupu podle MSP

$$\delta_{lim,1} = \frac{L_1}{300} = \frac{2\ 000}{300} = 6,66\ mm$$

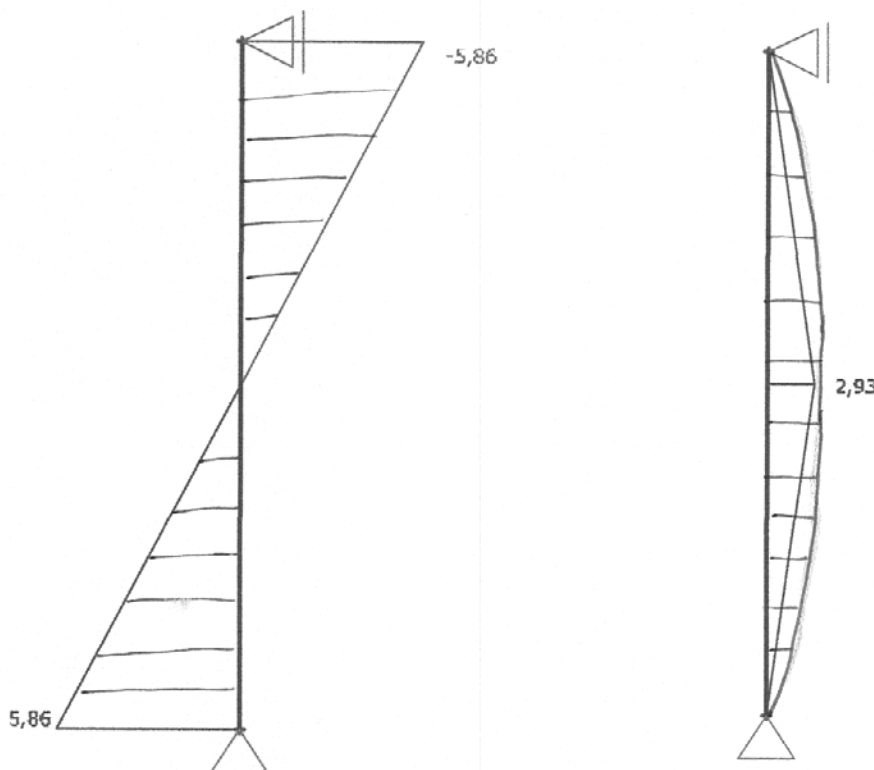
Volím proto průřez 80:

pro ten vychází maximální průhyb 2,9 mm.

Tento průřez tedy na průhyb bezpečně vyhoví.



15.2. Vnitřní síly





15.3. Posouzení

$$W_{pl,min} = \frac{M_{max}}{f_{y,d}} = \frac{2,93 \cdot 10^6}{355} = 8253,5 \text{ mm}^3$$

Profil U80

$$W_{pl,g} = 31,8 \cdot 10^3 \text{ mm}^3$$

$$\begin{aligned} M_{pl,d} &= W_{pl,g} \cdot f_{y,d} = 31,8 \cdot 10^3 \cdot 355 = 11,29 \cdot 10^6 \\ &= 11,29 \text{ kNm} \end{aligned}$$

$$M_{pl,d} = 11,3 \text{ kNm} > 2,93 = M_{Ed}$$

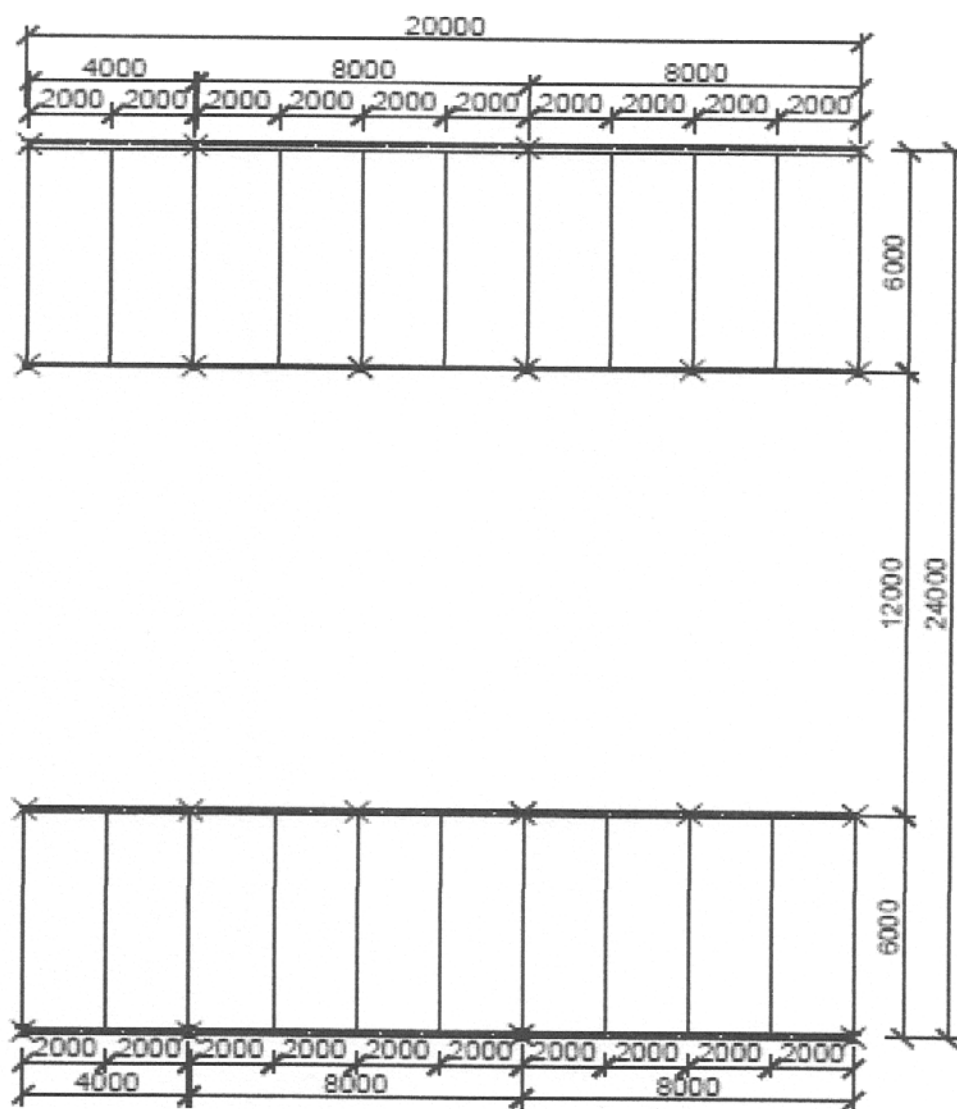


16. Výpočet vestavby

Vestavba se nachází v zadní ocelové hale. Tato vestavba je navržena jako dvoupatrová a bude sloužit jako zázemí pro divadelní potřeby a kanceláře. Půdorysné schéma, příčný i podélný řez jsou patrné z obrázku. Konstrukční výška podlaží je 2,5 m. V příčném směru má vestavba jeden trakt o délce 6 m. V podélném směru jsou 3 pole s rozměry 4+8+8 m, celková délka je tedy 20 m.

Strop přízemí je vytvořen monolitickou betonovou deskou, betonovanou do ztraceného bednění z trapézového plechu. Deska je podepřena stropnicemi s roztečí 2 m. Všechny stropní nosníky jsou napojeny kloubově a jsou spřaženy s betonovou deskou pomocí přivařených spřáhovacích trnů. Stropnice i průvlaky budou při betonáži podepřeny. Strop druhého patra je také vytvořen jako monolitická betonová deska, ale její zatížení bude pouze výjimečné.

Dispoziční výkres a detaily patek a přípojů budou součástí výkresové dokumentace.





16.1. Výpočet zatížení

Jelikož se jedná o vestavbu nebudu brát v úvahu zatížení sněhem a větrem. Bude se posuzovat pouze na zatížení od vlastní tíhy a od užitného zatížení. Pro posuzování plechů je nutné určit odděleně zatížení v montážním a provozním stádiu. Jelikož jsou stropnice i průvlak při montáži podepřeny mohu je posuzovat pouze v provozním stádiu.

a) Montážní stádium

| Stálé | $g_k [\text{kN/m}^2]$ | $\gamma_G [-]$ | $g_d [\text{kN/m}^2]$ |
|-------------------------|-----------------------|----------------|-----------------------|
| betonová deska | 2,26 | 1,35 | 3,051 |
| trapézový plech (odhad) | 0,1 | 1,35 | 0,135 |
| celkem | 2,36 | 1,35 | 3,186 |

Betonová deska: tíha čerstvého betonu je 26 kN/m^3 .

$$\text{srovnávací tloušťka: } t_{deska} = 70 + 50 \frac{54 + 30,5}{250} = 87 \text{ mm}$$

$$0,087 \text{ m} * 26 \text{ kN/m}^3 = 2,26 \text{ kN/m}^2$$

| Proměnné | $q_k [\text{kN/m}^2]$ | $\gamma_Q [-]$ | $q_d [\text{kN/m}^2]$ |
|---|-----------------------|----------------|-----------------------|
| rovnoměrné | 0,75 | 1,5 | 1,125 |
| zvěšené na čtverci $3 \times 3 \text{ m}$ | 1,5 | 1,5 | 2,25 |

b) Provozní stádium

| Stálé | $g_k [\text{kN/m}^2]$ | $\gamma_G [-]$ | $g_d [\text{kN/m}^2]$ |
|---|-----------------------|----------------|-----------------------|
| nášlapná vrstva tl. 60 mm | 1,2 | 1,35 | 1,62 |
| betonová deska: $0,087 \text{ m} * 25 \text{ kN/m}^2$ | 2,18 | 1,35 | 2,943 |
| trapézový plech (odhad) | 0,1 | 1,35 | 0,135 |
| podhled | 0,15 | 1,35 | 0,2025 |
| celkem: | 3,63 | 1,35 | 4,9005 |

| Proměnné | $q_k [\text{kN/m}^2]$ | $\gamma_Q [-]$ | $q_d [\text{kN/m}^2]$ |
|---|-----------------------|----------------|-----------------------|
| užitné zatížení | 2,5 | 1,5 | 3,75 |
| přemístitelné příčky s vlastní tíhou mezi 0,1 kN/m a 0,2 kN/m | 0,8 | 1,5 | 1,2 |
| celkem: | 3,3 | 1,5 | 4,95 |

c) Provozní stádium - "střecha"

| Stálé | $g_k [\text{kN/m}^2]$ | $\gamma_G [-]$ | $g_d [\text{kN/m}^2]$ |
|---|-----------------------|----------------|-----------------------|
| betonová deska: $0,087 \text{ m} * 25 \text{ kN/m}^2$ | 2,18 | 1,35 | 2,943 |
| trapézový plech (odhad) | 0,1 | 1,35 | 0,135 |
| podhled | 0,15 | 1,35 | 0,2025 |
| celkem: | 2,43 | 1,35 | 3,2805 |

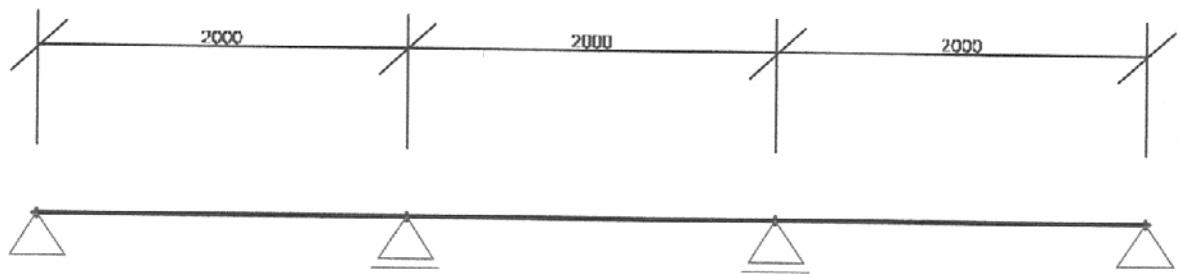
| Proměnné | $q_k [\text{kN/m}^2]$ | $\gamma_Q [-]$ | $q_d [\text{kN/m}^2]$ |
|-----------------|-----------------------|----------------|-----------------------|
| užitné zatížení | 1 | 1,5 | 1,5 |
| celkem: | 1 | 1,5 | 1,5 |



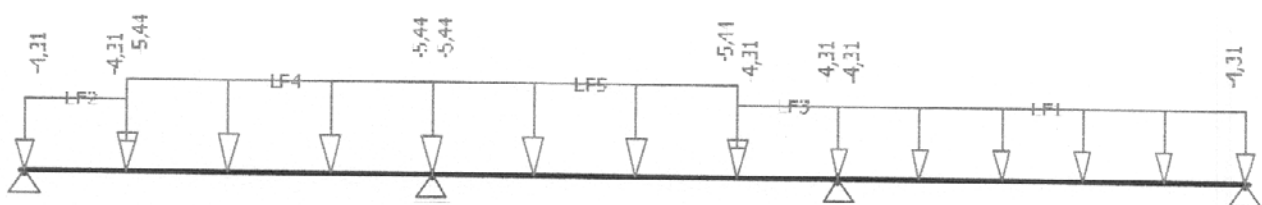
16.2. Stropní konstrukce

16.2.1. Trapézové plechy

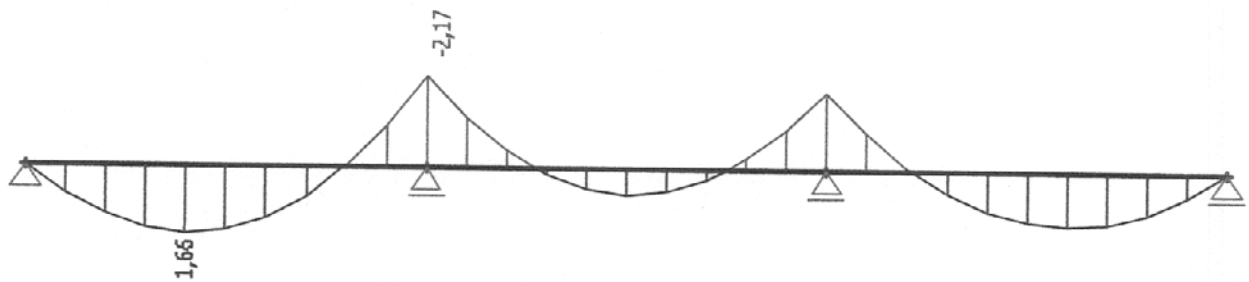
Statické schéma



Trapézový plech je navržen jako spojitý nosník o třech polích pro přenos zatížení v montážním stádiu. Rozpětí pole odpovídá vzdálenosti stropnic.



Ohybový moment



Potřebný průřezový modul pro TR plech z oceli S320

$$(f_{yd} = f_y / \gamma_{M1} = 320 / 1,0 = 320 \text{ MPa})$$

$$W_{min} = \frac{M_{Ed}}{f_{yd}} = \frac{2,17 * 10^6}{320} = 6781 \text{ mm}^3/\text{m}$$

Návrh: TR 50/250/0,75 mm ocel S320GD

| | |
|------------------------------------|--------|
| m [kg/m ²] | 7,55 |
| $W_{eff,min}$ [mm ³ /m] | 8030 |
| $I_{eff,min}$ [mm ⁴ /m] | 212000 |

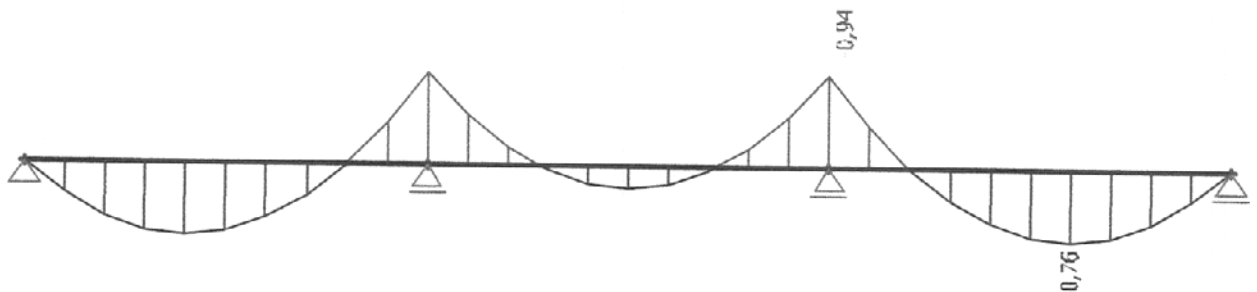
Statický výpočet



Posouzení plechu
MSÚ - momentová únosnost

$$M_{eff,Rd} = W_{eff} * f_{yc} = 8\,030 * 320 = 2,57 * 10^6 \text{ Nmm/m} = 2,57 \text{ kNm/m}$$

MSP - průhyb
Průhyb se určí pouze od stálého zatížení.



$$\delta = \frac{1}{E I_{eff}} \left(\frac{5}{384} g_k L^4 + \frac{1}{16} M_{b,k} L^2 \right) = \frac{1}{210\,000 * 212\,000} *$$

$$* \left(\frac{5}{384} 2,36 * 2000^4 - \frac{1}{16} 0,94 * 10^6 * 2000^2 \right) = 5,77 \text{ mm}$$

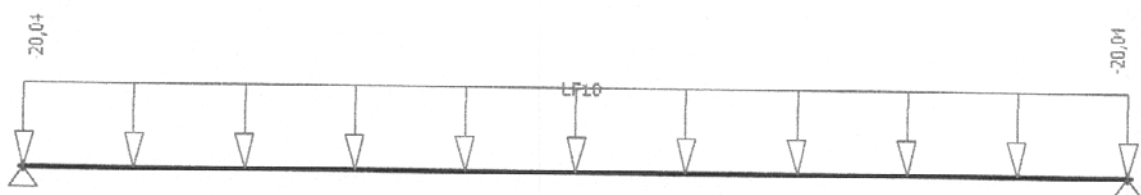
$$\delta = 5,77 \text{ mm} \leq \frac{t_{deská}}{10} = \frac{87}{10} = 8,7 \text{ mm}$$

Není třeba uvažovat rybníkový efekt, trapézový plech vyhoví.

16.2.2. Stropnice

Stropnice je připevněna kloubově k průvlaku. Návrh a posouzení je uvedeno pro běžnou (vnitřní) stropnici s rozpětím 6 m. Stropnice je při betonáži podepřena.

Statické schéma



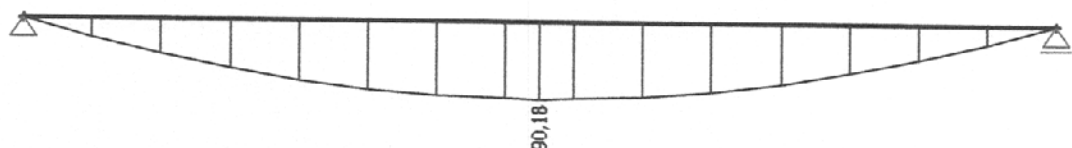
16.2.2.1. Zatížení a vnitřní síly

Výpočet zatížení viz strana

$$g_d + q_d = (4,90 + 4,95) * 2,0 + 0,34 = 20,04 \text{ kN/m}$$

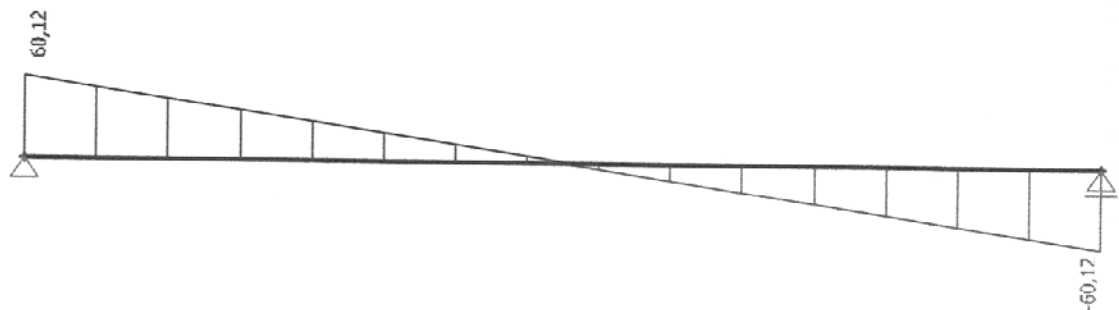
Vnitřní síly

$$M_{Ed} = \frac{1}{8} f L^2 = \frac{1}{8} 20,04 * 6^2 = 90,18 \text{ kNm}$$





$$V_{Ed} = \frac{1}{2} f L = \frac{1}{2} * 20,04 * 6 = 60,12 \text{ kN}$$



Potřebný průřezový modul pro ocel S355 pokud by moment měl přenést samotný ocelový profil.

$$W_{min} = \frac{M_{Ed}}{f_{yd}} = \frac{90,12 * 10^6}{355} = 253 * 10^3 \text{ mm}^3$$

| | | | | |
|--------------------------------------|----------|---------|---|--|
| Návrh: IPE 160 | m [kg/m] | 15,8 | - | Skutečná tíha profilu je menší než odhad, nebudu tedy přepočítávat zatížení. |
| A [mm ²] | | 2009 | | |
| W _{pl,y} [mm ³] | | 123900 | | |
| I _y [mm ⁴] | | 8690000 | | |
| A _{vz} [mm ²] | | 966 | | |

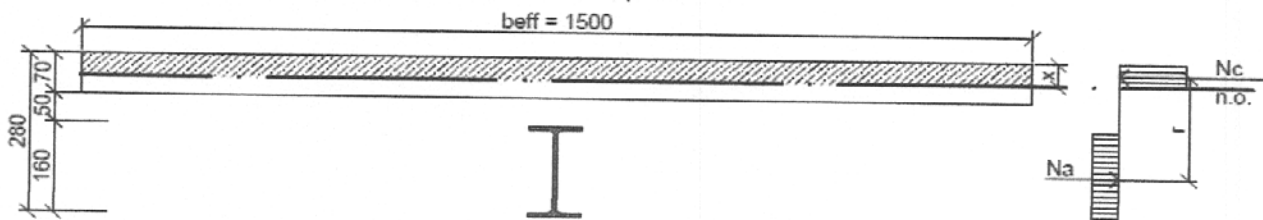
16.2.2.2. Posouzení stropnice

MSÚ

Posuzuje se:

- momentová únosnost
- smyková únosnost
- spřažení

Plastická ohybová únosnost ocelobetonového průřezu



Účinná šířka desky:

$$b_{eff} = 2b_{e1} = L/4 = 6000/4 = 1500 \text{ mm}$$

$b_{eff} < B = 2000 \text{ mm}$, proto platí $b_{eff} = 1500 \text{ mm}$

Beton C25/30 f_{ck} [MPa] 25

$$f_{cd} = 0,85 \frac{f_{ck}}{\gamma_c} = 0,85 \frac{25}{1,5} = 14,17 \text{ MPa}$$

Statický výpočet



Předpoklad : neutrální osa leží v betonové desce (viz obr.).

Rovnováha vnitřních sil:

$$N_a = N_c$$

$$A_a * f_{yd} = x * b_{eff} * f_{cd}$$

$$2009 * 355 = x * 1500 * 14,2$$

$$x = \frac{2009 * 355}{1500 * 14,2} = 33,5 \text{ mm} < 70 \text{ mm} \quad \dots \text{předpoklad splněn}$$

Výpočet momentové únosnosti

$$r = \frac{160}{2} + 50 + 70 - \frac{33,5}{2} = 183,33 \text{ mm}$$

$$M_{pl,Rd} = N_a * r = N_c * r = 2009 * 355 * 183,33 = 130,7 * 10^6 \text{ Nmm}$$

$$M_{pl,Rd} = 130,7 * 10^6 \text{ Nm} = 130,7 \text{ kNm} > M_{Ed} = 90,18 \text{ kNm}$$

Smyková únosnost

$$V_{pl,Rd} = A_{vz} \frac{f_{yd}}{\sqrt{3}} = 966 * 355 / \sqrt{3} = 198,0 * 10^3 \text{ N} = 198,9 \text{ kN} \gg V_{Ed} = 60,12 \text{ kN}$$

Profil IPE 160 na únosnost vyhoví

16.2.2.3. Spřažení: přivařený trn 19/100

Únosnost jednoho trnu:

$$P_{Rd,1} = 0,8 f_u \frac{\pi d^2}{4} \frac{1}{\gamma_v} = 0,8 * 360 * \frac{\pi * 19^2}{4} \frac{1}{1,25} = 65\,325 \text{ N}$$

$$P_{Rd,2} = 0,29 \alpha d^2 \sqrt{f_{ck} E_{cm}} \frac{1}{\gamma_v} = 0,29 * 1 * 19^2 \sqrt{25 * 31000} \frac{1}{1,25} = 73\,730 \text{ N}$$

kde $\alpha = 1$ pro $h_{sc} > 4 d$ $\frac{h_{sc}}{d} = \frac{100}{19} = 5,3 > 4$

E_{cm} je sečnový modul pružnosti betonu

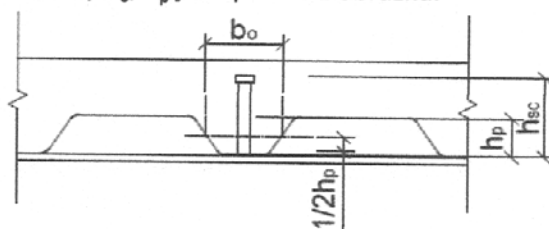
Je zapotřebí redukovat únosnost trnu součinitelem k_t , protože se trn nachází v žebrové desce.

$$k_t = \frac{0,7}{\sqrt{n_r}} \frac{b_0}{h_p} \left(\frac{h_{sc}}{h_p} - 1 \right) = \frac{0,7}{\sqrt{1}} \frac{84,5}{50} \left(\frac{100}{50} - 1 \right) = 1,18$$

kde n_r je počet trnů v žebru

h_{sc} výška trnu,

rozměry b_0 , h_p jsou patrné z obrázku.



Při uvážení pouze jednoho trnu $d \leq 20 \text{ mm}$ v každé vlně se pro trny přivařené přes plech tl. menší nebo rovné 1 mm omezuje hodnota $k_t \leq 0,85$.

Statický výpočet



Únosnost trnu v žebru $P_{Rd} = 0,85 * 65,3 = 55,5 \text{ kN}$

Síla na spřažení na jedné polovině nosníku (viz obr.):

$$F_{cf} = N_C = N_A = 2009 * 355 = 713,2 * 10^3 N = 713 \text{ kN}$$

Počet potřebných trnů na jedné polovině nosníku:

$$n_f = \frac{F_{cf}}{P_{Rd}} = \frac{713}{55,5} = 12,9 \Rightarrow 13 \text{ trnů}$$

Trny lze umístit pouze do žeber trapézového plechu. Na polovinu nosníku lze tedy umístit $3000/250 = 12$ trnů.

Jelikož lze umístit méně trnů, než kolik je třeba pro úplné spřažení posoudím na částečné spřažení.

Plastická momentová únosnost samotného IPE profilu se stanoví z následujícího vztahu:

$$M_{a,pl,Rd} = W_{pl,y} * f_y = 123\,900 * 355 = 44,0 * 10^6 \text{ Nmm} = 44,0 \text{ kNm}$$

Při neúplném spřažení je třeba přenést následující sílu

$$F_C = \frac{M_{Ed} - M_{a,pl,Rd}}{M_{pl,Rd} - M_{a,pl,Rd}} F_{cf} = \frac{90,18 - 44,0}{130,7 - 44,0} * 713 = 379,9 \text{ kN}$$

$$n_f = \frac{F_C}{P_{Rd}} = \frac{379,9}{55,5} = 6,85 \Rightarrow 7 \text{ trnů}$$

Výsledný počet trnů je menší než počet žeber.

Navržen spřahovací trn 19/100 do každého žebráku.

16.2.2.4. Posouzení - MSP

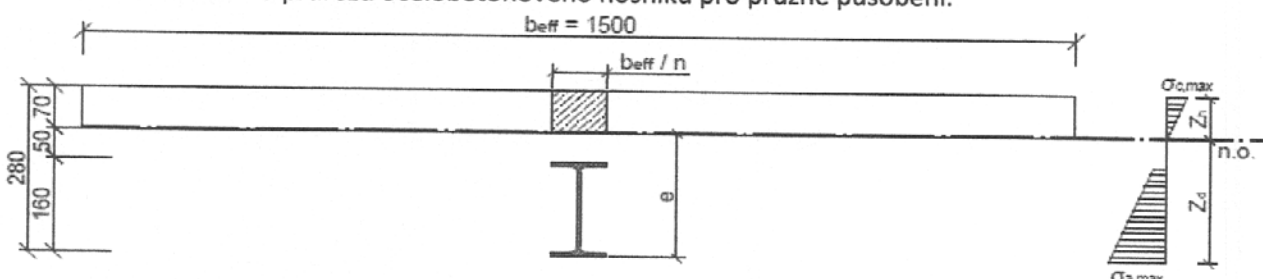
Posoudí se:

- a) pružné posouzení nosníku při provozním zatížení (součinitel zatížení) $\gamma_G = \gamma_Q \Rightarrow 1,0$
- b) průhyb

Vnitřní síly:

$$M_{Ek} = \frac{1}{8} f_k L^2 = \frac{1}{8} * 14,11 * 6^2 = 63,49 \text{ kNm}$$

Určení ideálního průřezu ocelobetonového nosníku pro pružné působení.



Modul pružnosti betonu s vlivem dotvarování a smršťování betonu lze určit přibližně jako:

$$E_c' = \frac{E_{cm}}{2} = \frac{31\,000}{2} = 15\,500 \text{ MPa}$$

Pracovní součinitel (poměr modulů pružnosti oceli a betonu)

$$n = \frac{E_a}{E_c'} = \frac{210\,000}{15\,500} = 13,55$$

Statický výpočet



Plocha ideálního průřezu

$$A_i = 2009 + 70 * \frac{1500}{13,55} = 9758 \text{ mm}^2$$

Těžiště ideálního průřezu

$$e = \frac{2009 * 160/2 + 70 * 1500/13,55 * (160 + 50 + 70/2)}{9758} = 211,0 \text{ mm}$$

Neutrální osa prochází betonovou deskou.

Moment setrvačnosti ideálního průřezu

$$I_i = 8,693 * 10^6 + 2009 * (211 - 80)^2 + \\ + \frac{1}{13,55} \left(\frac{1500 * 70^3}{12} + 1500 * 70 * (211 - 160 - 50 - 70/2)^2 \right) = 55,29 * 10^6 \text{ mm}^4$$

Největší napětí v ocelovém profilu je v jeho spodních vláknech

$$\sigma_{a,max} = \frac{M_{Ek}}{I_i} z_d = \frac{63,49 * 10^6}{55,29 * 10^6} * 211 = 242,3 \text{ MPa} \leq f_y = 355 \text{ MPa}$$

Největší napětí v betonové desce:

$$\sigma_{c,max} = \frac{M_{Ek}}{n * I_i} z_h = \frac{63,49 * 10^6}{13,55 * 55,29 * 10^6} * (280 - 211) = 5,85 \text{ MPa}$$

$$5,85 \text{ MPa} \leq 0,85 f_{ck} = 0,85 * 25 = 21,25 \text{ MPa}$$

Nosník při provozním zatížení působí pružně.

Celkový průhyb nesmí narušit vzhled objektu. Ověřím tedy pouze hodnotu průhybu od proměnného zatížení.

$$\delta_2 = \frac{5}{384} \frac{q_p L^4}{EI_i} = \frac{5}{384} \frac{(3,3 * 10^{-3} * 2,0 * 10^3) * 6000^4}{210000 * 55,29 * 10^6} = 9,59 \text{ mm}$$

$$9,59 \text{ mm} < \frac{L}{250} = \frac{6000}{250} = 24 \text{ mm}$$

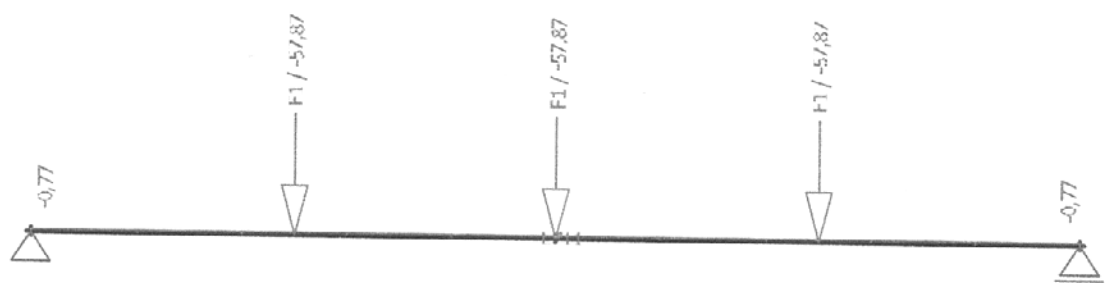
Průhyb vyhoví

Profil IPE 160 vyhoví



16.2.3. Průvlak - délky 8 metrů na vnější straně

Navrhoji nejdelší průvlak. Všechny průvlaky budou zatíženy stejnou silou.
Statické schéma + zatížení



16.2.3.1. Zatížení a vnitřní síly

Při návrhu prvků stropní desky lze redukovat užitné zatížení stejného původu redukčním součinitelem α_A :

dohledat v OK 2 zatizeni cvut praha 2011

$$\alpha_A = \frac{5}{7} \psi_0 + \frac{A_0}{A} = \frac{5}{7} 0,7 + \frac{10}{3 * 8} = 0,916$$

$$0,6 < \alpha_A < 1,0$$

kde:

A - zatěžovací plocha

A_0 - referenční plocha 10 m^2

ψ_0 - kombinační součinitel je pro kancelářské plochy roven 0,7

Reakce z připojených stropnic:

$$F_{Ek} = ((3,63 + 2,5 * 0,916 + 0,8) * 2 + 0,16) * \frac{6}{2} = 40,8 \text{ kN}$$

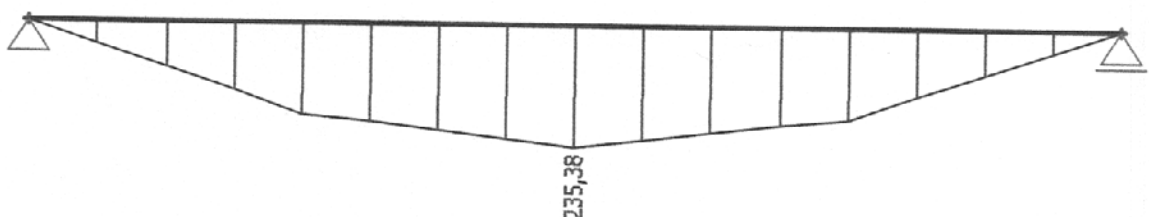
$$F_{Ed} = ((4,9 + 3,75 * 0,916 + 1,2) * 2 + 0,22) * \frac{6}{2} = 57,87 \text{ kN}$$

Vlastní tíha průvlaku (IPE 360):

$$g_k = 0,571 \text{ kN/m}$$

$$g_d = 0,571 * 1,35 = 0,771 \text{ kN/m}$$

Ohybový moment



$$M_{Ed} = 237,65 \text{ kNm}$$

Potřebný průřezový modul pro ocel S355 za předpokladu, že by samotný ocelový profil měl přenést moment M_{Ed} .

$$W_{min} = \frac{M_{Ed}}{f_{yd}} = \frac{237,65 * 10^6}{355} = 669\,437 \text{ mm}^3$$



Vzhledem k průhybu volím profil IPE 360. Tento profil má větší W_y než W_{min} proto nebudu posuzovat spřažení, protože zatížení momentem přenese profil samotný.

| | | |
|-----------------------|---|----------------|
| Návrh: IPE 360 | m [kg/m] | 57,1 |
| | A [mm²] | 7273 |
| | W_{pl,y}[mm³] | 1019000 |
| | I_y [mm⁴] | 1,6E+08 |
| | A_{vz} [mm²] | 3514 |

16.2.3.2. Posouzení průvlaku

MSÚ

Posuzuje se:

- momentová únosnost
- smyková únosnost

Momentová únosnost

$$M_{pl,Rd} = W_{pl,y} \frac{f_{yd}}{\gamma_{M1}} = 1\,019\,000 * \frac{355}{1,0} = 361,7 * 10^3 N = 361,75 kN \gg M_{Ed} = 237,7 kN$$

Smyková únosnost

$$V_{pl,Rd} = A_{vz} \frac{f_{yd}}{\sqrt{3}} = 3514 * \frac{355}{\sqrt{3}} = 679,65 * 10^3 N = 680 kN \gg V_{Ed} = 89,89 kN$$

Profil IPE 360 na únosnost vyhoví

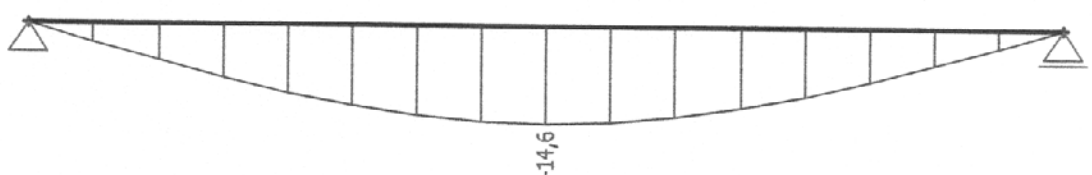
16.2.3.3. Posouzení - MSP

Posoudí se:

- a) průhyb

Celkový průhyb nesmí narušit vzhled objektu. Ověřím tedy pouze hodnotu průhybu od proměnného zatížení.

$$F_{qk} = ((2,5 * 0,916 + 0,8) * 2) * \frac{6}{2} = 18,54 kN$$



$\delta_2 = 14,6 \text{ mm viz obr.}$

$$14,6 \text{ mm} < \frac{L}{400} = \frac{8\,000}{400} = 20 \text{ mm}$$

Průhyb vyhoví

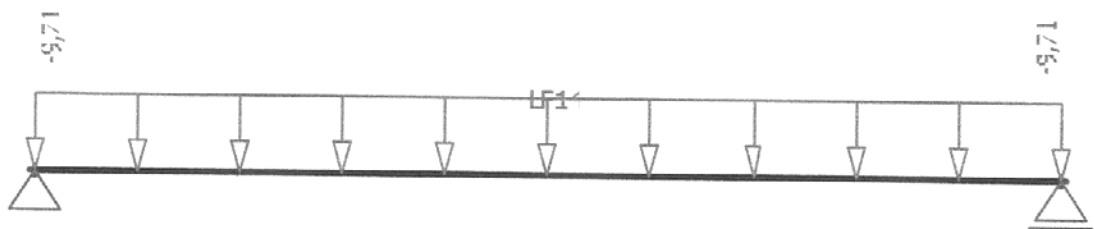
Profil IPE 360 vyhoví



16.2.4. Stropnice - prvního patra

Stropnice je připevněna kloubově k průvlaku. Návrh a posouzení je uvedeno pro běžnou (vnitřní) stropnici s rozpětím 6 m. Stropnice je při betonáži podepřena.

Statické schéma + zatížení

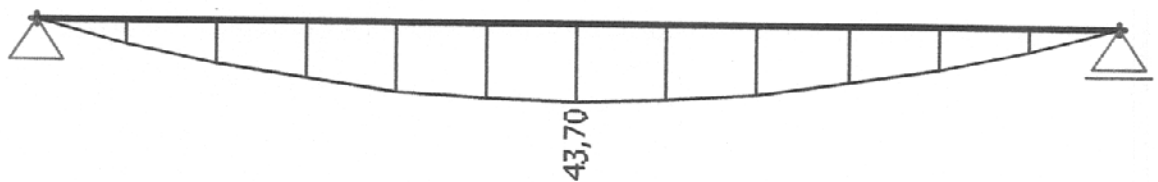


Výpočet zatížení viz strana

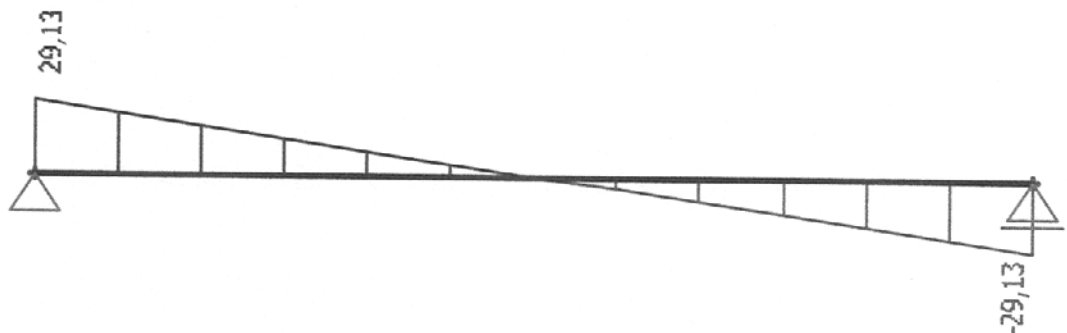
$$g_d + q_d = (3,28 + 1,5) * 2,0 + 0,15 = 9,71 \text{ kN/m}$$

16.2.4.1. Zatížení a vnitřní síly

$$M_{Ed} = \frac{1}{8} f L^2 = \frac{1}{8} * 9,71 * 6^2 = 43,7 \text{ kNm}$$



$$V_{Ed} = \frac{1}{2} f L = \frac{1}{2} * 9,71 * 6 = 29,13 \text{ kN}$$



Potřebný průřezový modul pro ocel S355 pokud by moment měl přenést samotný ocelový profil.

$$W_{min} = \frac{M_{Ed}}{f_{yd}} = \frac{43,7 * 10^6}{355} = 123,084 * 10^3 \text{ mm}^3$$

| | | |
|----------------|--------------------------------------|---------|
| Návrh: IPE 100 | m [kg/m] | 8,1 |
| | A [mm ²] | 1032 |
| | W _{pl,y} [mm ³] | 39410 |
| | I _y [mm ⁴] | 1710000 |
| | A _{vz} [mm ²] | 509 |



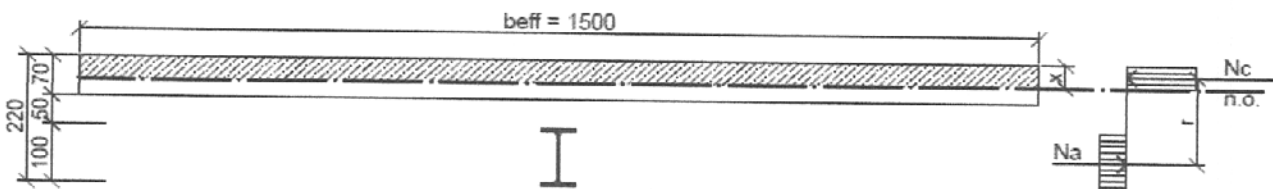
16.2.4.2. Posouzení stropnice

MSÚ

Posuzuje se:

- momentová únosnost
- smyková únosnost
- spřažení

Plastická ohybová únosnost ocelobetonového průřezu



Účinná šířka desky:

$$b_{eff} = 2b_{e1} = L/4 = 6000/4 = 1500 \text{ mm}$$

$$b_{eff} < B = 2000 \text{ mm}, \text{proto platí } b_{eff} = 1500 \text{ mm}$$

Beton C25/30 $f_{ck} [\text{MPa}]$ 25

$$f_{cd} = 0,85 \frac{f_{ck}}{\gamma_c} = 0,85 \frac{25}{1,5} = 14,17 \text{ MPa}$$

Předpoklad : neutrální osa leží v betonové desce (viz obr.).

Rovnováha vnitřních sil:

$$N_a = N_c$$

$$A_a * f_{yd} = x * b_{eff} * f_{cd}$$

$$1032 * 355 = x * 1500 * 14,2$$

$$x = \frac{1032 * 355}{1500 * 14,2} = 17,24 \text{ mm} < 70 \text{ mm} \quad \dots \text{předpoklad splněn}$$

Výpočet momentové únosnosti

$$r = \frac{100}{2} + 50 + 70 - \frac{17,24}{2} = 161,38 \text{ mm}$$

$$M_{pl,Rd} = N_a * r = N_c * r = 1032 * 355 * 161,38 = 59,123 * 10^6 \text{ Nmm}$$

$$M_{pl,Rd} = 59,123 * 10^6 \text{ Nm} = 59,1 \text{ kNm} > M_{Ed} = 43,70 \text{ kNm}$$

Smyková únosnost

$$V_{pl,Rd} = A_{vz} \frac{f_{yd}}{\sqrt{3}} = 509 * 355 / \sqrt{3} = 104,32 * 10^3 \text{ N} = 104,3 \text{ kN} \gg V_{Ed} = 29,13 \text{ kN}$$

Profil IPE 100 na únosnost vyhoví



16.2.4.3. Spřažení: přivařený trn 19/100

Únosnost jednoho trnu:

$$P_{Rd,1} = 0,8 f_u \frac{\pi d^2}{4} \frac{1}{\gamma_v} = 0,8 * 360 * \frac{\pi * 16^2}{4} \frac{1}{1,25} = 46\,323\text{ N}$$

$$P_{Rd,2} = 0,29 \alpha d^2 \sqrt{f_{ck} E_{cm}} \frac{1}{\gamma_v} = 0,29 * 1 * 16^2 \sqrt{25 * 31000} \frac{1}{1,25} = 52\,285\text{ N}$$

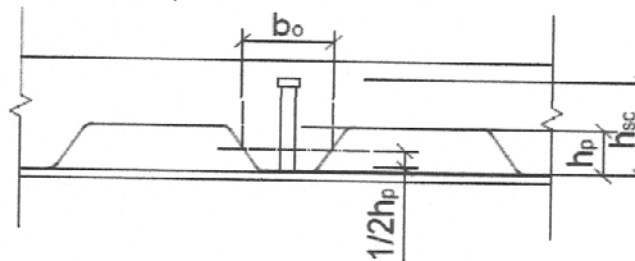
kde $\alpha = 1$ pro $h_{SC} > 4 d$ $\frac{h_{SC}}{d} = \frac{100}{16} = 6,25 > 4$

E_{cm} je sečnový modul pružnosti betonu

Je zapotřebí redukovat únosnost trnu součinitelem k_t , protože se trn nachází v žebrové desce.

$$k_t = \frac{0,7}{\sqrt{n_r}} \frac{b_0}{h_p} \left(\frac{h_{SC}}{h_p} - 1 \right) = \frac{0,7}{\sqrt{1}} \frac{84,5}{50} \left(\frac{100}{50} - 1 \right) = 1,18$$

kde n_r je počet trnů v žebru
 h_{SC} výška trnu,
 rozměry b_0 , h_p jsou patrné z obrázku.



Při uvážení pouze jednoho trnu $d \leq 20\text{ mm}$ v každé vlně se pro trny přivařené přes plech tl. menší nebo rovné 1 mm omezuje hodnota $k_t \leq 0,85$.

Únosnost trnu v žebru $P_{Rd} = 0,85 * 46,3 = 39,37\text{ kN}$

Síla na spřažení na jedné polovině nosníku (viz obr.):

$$F_{cf} = N_C = N_A = 1032 * 355 = 366,4 * 10^3\text{ N} = 366\text{ kN}$$

Počet potřebných trnů na jedné polovině nosníku:

$$n_f = \frac{F_{cf}}{P_{Rd}} = \frac{366}{39,37} = 9,3 \Rightarrow 10 \text{ trnů}$$

Trny lze umístit pouze do žeber trapézového plechu. Na polovinu nosníku lze tedy umístit $3000/250 = 12$ trnů.

Navrhoji tedy trn 16/100 do každého žebra. Stropnice bude navržena s rezervou. Při tomto návrhu spřažený nosník vyhoví.

Navržen spřažovací trn 16/100 do každého žebara.



16.2.4.4. Posouzení - MSP

Posoudí se:

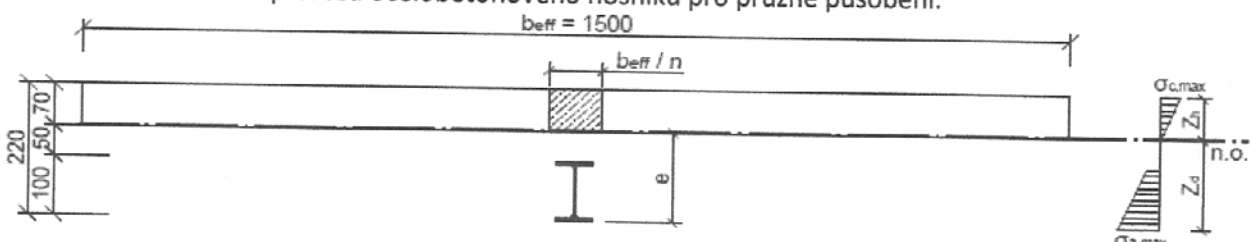
- a) pružné posouzení nosníku při provozním zatížení (součinitel zatížení)
- b) průhyb

$$\gamma_G = \gamma_Q \Rightarrow 1,0$$

Vnitřní síly:

$$M_{Ek} = \frac{1}{8} f_k L^2 = \frac{1}{8} * 6,98 * 6^2 = 31,41 \text{ kNm}$$

Určení ideálního průřezu ocelobetonového nosníku pro pružné působení.



Modul pružnosti betonu s vlivem dotvarování a smršťování betonu lze určit přibližně jako:

$$E'_c = \frac{E_{cm}}{2} = \frac{31\,000}{2} = 15\,500 \text{ MPa}$$

Pracovní součinitel (poměr modulů pružnosti oceli a betonu)

$$n = \frac{E_a}{E'_c} = \frac{210\,000}{15\,500} = 13,55$$

Plocha ideálního průřezu

$$A_i = 1032 + 70 * \frac{1500}{13,55} = 8\,781 \text{ mm}^2$$

Těžiště ideálního průřezu

$$e = \frac{1032 * 100/2 + 70 * 1500/13,55 * (100 + 50 + 70/2)}{8\,878} = 169,1 \text{ mm}$$

Neutrální osa prochází betonovou deskou.

Moment setrvačnosti ideálního průřezu

$$I_i = 1,71 * 10^6 + 1032 * (169 - 50)^2 + \\ + \frac{1}{13,55} \left(\frac{1500 * 70^3}{12} + 1500 * 70 * (169 - 100 - 50 - 70/2)^2 \right) = 21,47 * 10^6 \text{ mm}^4$$

Největší napětí v ocelovém profilu je v jeho spodních vláknech

$$\sigma_{a,max} = \frac{M_{Ek}}{I_i} z_d = \frac{31,41 * 10^6}{21,47 * 10^6} * 169 = 247,4 \text{ MPa} \leq f_y = 355 \text{ MPa}$$

Největší napětí v betonové desce:

$$\sigma_{c,max} = \frac{M_{Ek}}{n * I_i} z_h = \frac{31,41 * 10^6}{13,55 * 21,47 * 10^6} * (220 - 169) = 5,49 \text{ MPa}$$

$$5,49 \text{ MPa} \leq 0,85 f_{ck} = 0,85 * 25 = 21,25 \text{ MPa}$$

Nosník při provozním zatížení působí pružně.



Celkový průhyb nesmí narušit vzhled objektu. Ověřím tedy pouze hodnotu průhybu od proměnného zatížení.

$$\delta_2 = \frac{5}{384} \frac{q_p L^4}{EI_i} = \frac{5}{384} \frac{(1 * 10^{-3} * 2,0 * 10^3) * 6000^4}{210\,000 * 21,48 * 10^6} = 7,48 \text{ mm}$$

$$7,48 \text{ mm} < \frac{L}{250} = \frac{6000}{250} = 24 \text{ mm}$$

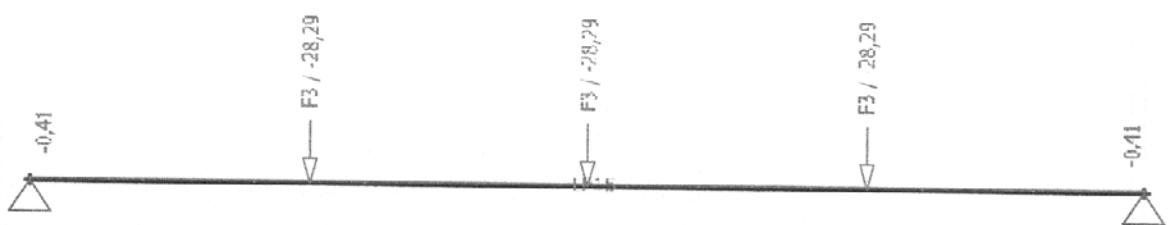
Průhyb vyhoví

Profil IPE 100 vyhoví

16.2.5. Průvlak - délka 8 metrů, vnější, druhé patro

Navrhoji nejdelší průvlak. Všechny průvlaky budou zatíženy stejnou silou.

Statické schéma + zatížení



16.2.5.1. Zatížení a vnitřní síly

Při návrhu prvků stropní desky lze redukovat užitné zatížení stejného původu redukčním součinitelem α_A :

dohledat v OK 2 zatizeni cvut praha 2011

$$\alpha_A = \frac{5}{7} \psi_0 + \frac{A_0}{A} = \frac{5}{7} 0,7 + \frac{10}{3 * 8} = 0,916$$

$$0,6 < \alpha_A < 1,0$$

kde:

A - zatěžovací plocha

A_0 - referenční plocha 10 m^2

ψ_0 - kombinační součinitel je pro kancelářské plochy roven 0,7

Reakce z připojených stropnic:

$$F_{Ek} = ((2,43 + 1 * 0,916) * 2 + 0,081) * \frac{6}{2} = 20,319 \text{ kN}$$

$$F_{Ed} = ((3,28 + 1,5 * 0,916) * 2 + 0,122) * \frac{6}{2} = 28,29 \text{ kN}$$

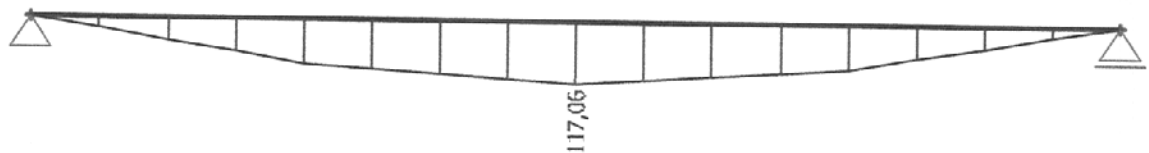
Vlastní tíha průvlaku (IPE 240):

$$g_k = 0,307 \text{ kN/m}$$

$$g_d = 0,307 * 1,35 = 0,415 \text{ kN/m}$$



Ohybový moment



$$M_{Ed} = 117,06 \text{ kNm}$$

Potřebný průřezový modul pro ocel S355 za předpokladu, že by samotný ocelový profil měl přenést moment M_{Ed} .

$$W_{min} = \frac{M_{Ed}}{f_{yd}} = \frac{117,06 * 10^6}{355} = 329\,746 \text{ mm}^3$$

Vzhledem k průhybu volím profil IPE 240. Tento profil má větší W_y než W_{min} proto nebudu posuzovat spřažení, protože zatížení momentem přenese profil samotný.

| | | |
|-----------------------|--------------------------|---------|
| Návrh: IPE 240 | $m [\text{kg}/\text{m}]$ | 30,7 |
| | $A [\text{mm}^2]$ | 3912 |
| | $W_{pl,y} [\text{mm}^3]$ | 366600 |
| | $I_y [\text{mm}^4]$ | 3,9E+07 |
| | $A_{vz} [\text{mm}^2]$ | 1914 |

16.2.5.2. Posouzení průvlaku

MSÚ

Posuzuje se:

- momentová únosnost
- smyková únosnost

Momentová únosnost

$$M_{pl,Rd} = W_{pl,y} \frac{f_{yd}}{\gamma_{M1}} = 366\,600 * \frac{355}{1,0} = 130,1 * 10^3 \text{ Nm} = 130,1 \text{ kNm} \gg M_{Ed} = 117 \text{ kNm}$$

Smyková únosnost

$$V_{pl,Rd} = A_{vz} \frac{f_{yd}}{\sqrt{3}} = 1914 * \frac{355}{\sqrt{3}} = 392,3 * 10^3 \text{ N} = 392 \text{ kN} \gg V_{Ed} = 44,38 \text{ kN}$$

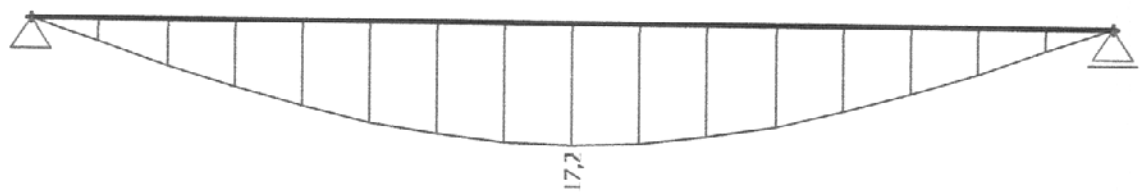
Profil IPE 240 na únosnost vyhoví



16.2.5.3. Posouzení - MSP

Posoudí se:

a) průhyb



Celkový průhyb nesmí narušit vzhled objektu. Ověřím tedy pouze hodnotu průhybu od proměnného zatížení.

$$F_{qk} = ((1 * 0,916) * 2) * \frac{6}{2} = 5,496 \text{ kN}$$

$\delta_2 = 17,2 \text{ mm viz obr.}$

$$17,2 \text{ mm} < \frac{L}{400} = \frac{8000}{400} = 20 \text{ mm}$$

Průhyb vychoví

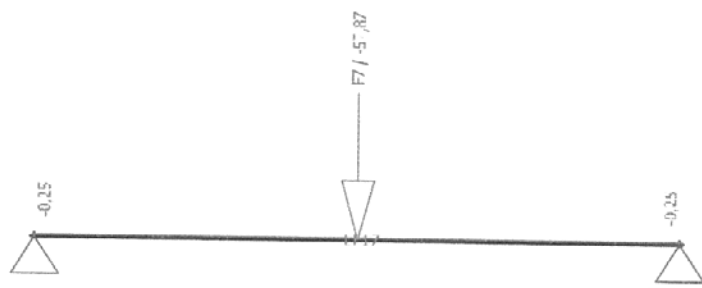
Profil IPE 240 vychoví



16.2.6. Průvlak na rozpětí 4 metrů - přízemí

Navrhoji nejkratší průvlak. Všechny průvlaky budou zatíženy stejnou silou.

Statické schéma + zatížení



16.2.6.1. Zatížení

Při návrhu prvků stropní desky lze redukovat užitné zatížení stejného původu redukčním součinitelem α_A :

viz [2]

$$\alpha_A = \frac{5}{7} \psi_0 + \frac{A_0}{A} = \frac{5}{7} 0,7 + \frac{10}{3 * 8} = 0,916$$

$$0,6 < \alpha_A < 1,0$$

kde:

A - zatěžovací plocha

A_0 - referenční plocha 10 m^2

ψ_0 - kombinační součinitel je pro kancelářské plochy roven 0,7

Reakce z připojených stropnic:

$$F_{Ek} = ((3,63 + 2,5 * 0,916 + 0,8) * 2 + 0,16) * \frac{6}{2} = 40,8 \text{ kN}$$

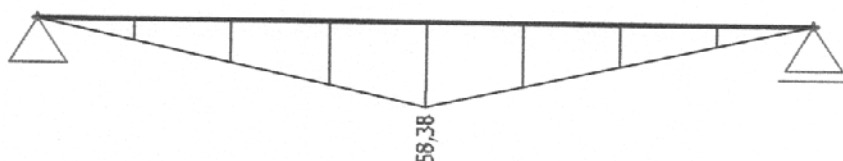
$$F_{Ed} = ((4,9 + 3,75 * 0,916 + 1,2) * 2 + 0,22) * \frac{6}{2} = 57,87 \text{ kN}$$

Vlastní tíha průvlaku (IPE 180):

$$g_k = 0,188 \text{ kN/m}$$

$$g_d = 0,188 * 1,35 = 0,254 \text{ kN/m}$$

Ohybový moment



$$M_{Ed} = 58,38 \text{ kNm}$$

Potřebný průřezový modul pro ocel S355 za předpokladu, že by samotný ocelový profil měl přenést moment M_{Ed} .

$$W_{min} = \frac{M_{Ed}}{f_{yd}} = \frac{58,38 * 10^6}{355} = 164\,451 \text{ mm}^3$$



Vzhledem k průhybu volím profil IPE 360. Tento profil má větší W_y než W_{min} proto nebudu posuzovat spřažení, protože zatížení momentem přenese profil samotný.

| | | |
|-----------------------|--|----------------|
| Návrh: IPE 180 | m [kg/m] | 18,8 |
| | A [mm²] | 2395 |
| | W_{pl,y} [mm³] | 166400 |
| | I_y [mm⁴] | 1,3E+07 |
| | A_{vz} [mm²] | 1125 |

16.2.6.2. Posouzení průvlaku

MSÚ

Posuzuje se:

- momentová únosnost
- smyková únosnost

Momentová únosnost

$$M_{pl,Rd} = W_{pl,y} \frac{f_{yd}}{\gamma_{M1}} = 166\,400 * \frac{355}{1,0} = 59,072 * 10^3 N = 59,07 kN \gg M_{Ed} = 58,38 kN$$

Smyková únosnost

$$V_{pl,Rd} = A_{vz} \frac{f_{yd}}{\sqrt{3}} = 2395 * \frac{355}{\sqrt{3}} = 230,58 * 10^3 N = 231 kN \gg V_{Ed} = 29,44 kN$$

Profil IPE 180 na únosnost vyhoví

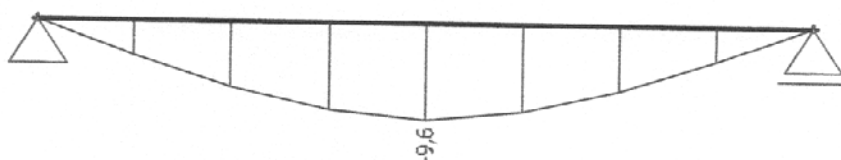
16.2.6.3. Posouzení - MSP

Posoudí se:

- a) průhyb

Celkový průhyb nesmí narušit vzhled objektu. Ověřím tedy pouze hodnotu průhybu od proměnného zatížení.

$$F_{qk} = ((2,5 * 0,916 + 0,8) * 2) * \frac{6}{2} = 18,54 kN$$



$$\delta_2 = 9,6 \text{ mm viz obr.}$$

$$9,6 \text{ mm} < \frac{L}{400} = \frac{4\,000}{400} = 10 \text{ mm}$$

Průhyb vyhoví

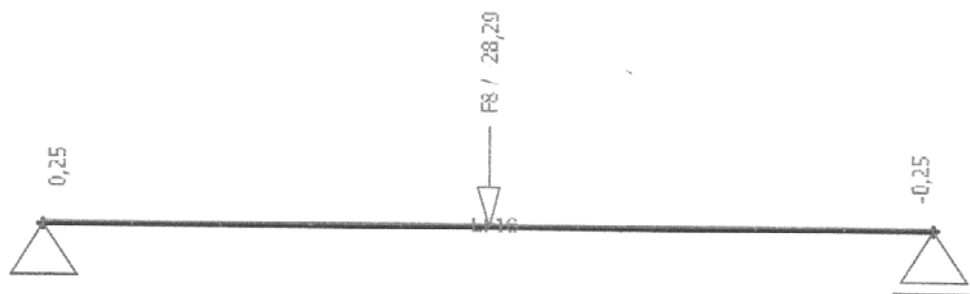
Profil IPE 180 vyhoví



16.2.7. Průvlak na rozpětí 4 metrů - druhé patro

Navrhoji nejkratší průvlak. Všechny průvlaky budou zatíženy stejnou silou.

Statické schéma + zatížení



16.2.7.1. Zatížení a vnitřní síly

Při návrhu prvků stropní desky lze redukovat užitné zatížení stejného původu redukčním součinitelem α_A : viz [2]

$$\alpha_A = \frac{5}{7}\psi_0 + \frac{A_0}{A} = \frac{5}{7}0,7 + \frac{10}{3*8} = 0,916$$

$$0,6 < \alpha_A < 1,0$$

kde:

A - zatěžovací plocha

A_0 - referenční plocha 10 m^2

ψ_0 - kombinační součinitel je pro kancelářské plochy roven 0,7

Reakce z připojených stropnic:

$$F_{Ek} = ((2,43 + 1 * 0,916) * 2 + 0,081) * \frac{6}{2} = 20,319 \text{ kN}$$

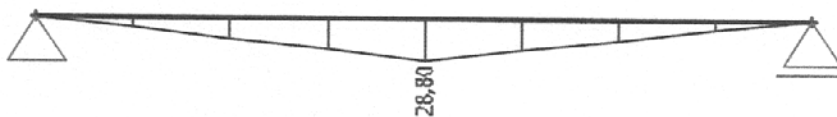
$$F_{Ed} = ((3,28 + 1,5 * 0,916) * 2 + 0,122) * \frac{6}{2} = 28,29 \text{ kN}$$

Vlastní tíha průvlaku (IPE 140):

$$g_k = 0,129 \text{ kN/m}$$

$$g_d = 0,129 * 1,35 = 0,254 \text{ kN/m}$$

Ohybový moment



$$M_{Ed} = 28,80 \text{ kNm}$$

Potřebný průřezový modul pro ocel S355 za předpokladu, že by samotný ocelový profil měl přenést moment M_{Ed} .

$$W_{min} = \frac{M_{Ed}}{f_{yd}} = \frac{28,80 * 10^6}{355} = 81\,127 \text{ mm}^3$$

Statický výpočet



Vzhledem k průhybu volím profil IPE 140. Tento profil má větší W_y než W_{min} proto nebudu posuzovat spřažení, protože zatížení momentem přenese profil samotný.

| | | |
|----------------|--------------------------------------|---------|
| Návrh: IPE 140 | m [kg/m] | 12,9 |
| | A [mm ²] | 1643 |
| | W _{pl,y} [mm ³] | 88340 |
| | I _y [mm ⁴] | 5412000 |
| | A _{vz} [mm ²] | 764 |

16.2.7.2. Posouzení průvlaku

MSÚ

Posuzuje se:

- momentová únosnost
- smyková únosnost

Momentová únosnost

$$M_{pl,Rd} = W_{pl,y} \frac{f_{yd}}{\gamma_{M1}} = 88\ 340 * \frac{355}{1,0} = 31,36 * 10^3 N = 31,36 kN \gg M_{Ed} = 28,8 kN$$

Smyková únosnost

$$V_{pl,Rd} = A_{vz} \frac{f_{yd}}{\sqrt{3}} = 764 * \frac{355}{\sqrt{3}} = 156,59 * 10^3 N = 157 kN \gg V_{Ed} = 14,65 kN$$

Profil IPE 140 na únosnost vyhoví

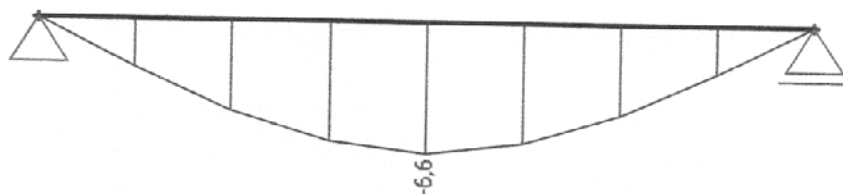
16.2.7.3. Posouzení - MSP

Posoudí se:

a) průhyb

Celkový průhyb nesmí narušit vzhled objektu. Ověřím tedy pouze hodnotu průhybu od proměnného zatížení.

$$F_{qk} = ((2,5 * 0,916 + 0,8) * 2) * \frac{6}{2} = 18,54 kN$$



$$\delta_2 = 6,6 \text{ mm viz obr.}$$

$$6,6 \text{ mm} < \frac{L}{400} = \frac{4\ 000}{400} = 10 \text{ mm}$$

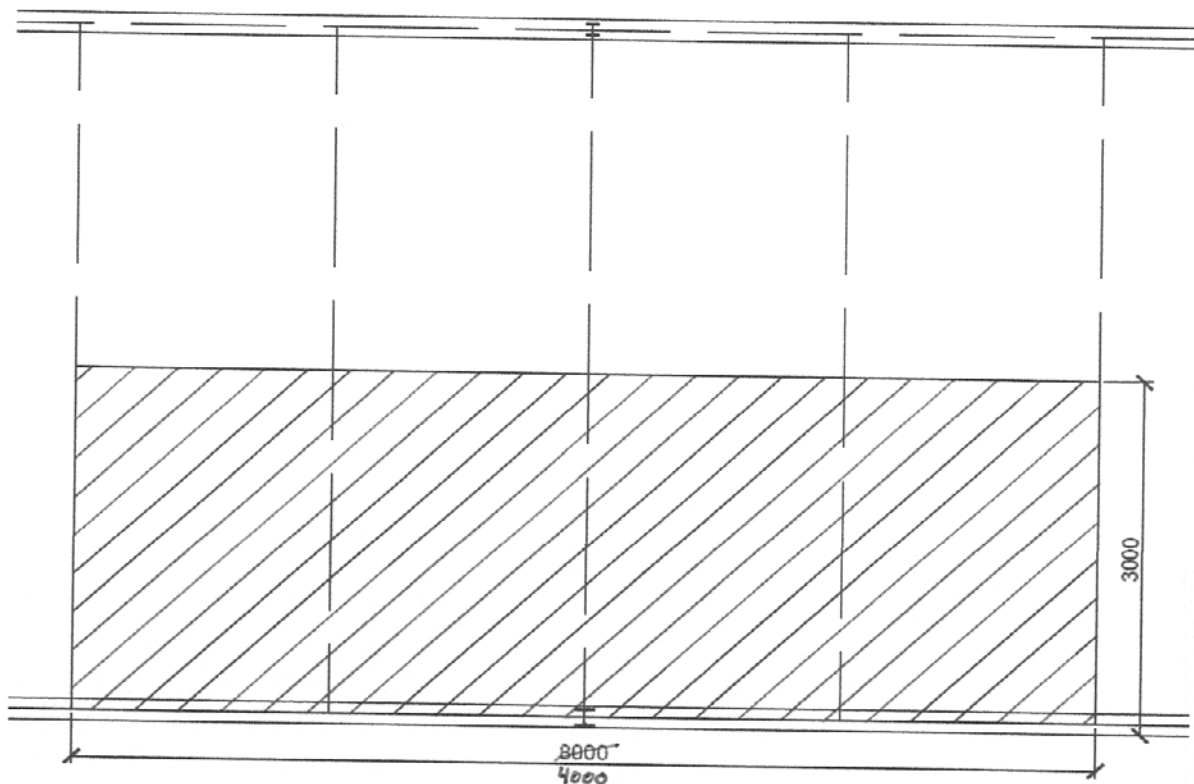
Průhyb vyhoví

Profil IPE 140 vyhoví



16.3. Sloup

Sloup bude navržen s konstantním průřezem po celé výšce. Návrhové síly jsou malé a proto nemá cenu navrhovat změnu průřezu.



Zatížení sloupu

$$\text{Maximální zatěžovací plocha } A = \frac{4}{8} * 3 = \frac{12}{24} m^2$$

Statický výpočet



16.3.1. Výpočet zatížení na sloup

a) Strop prvního podlaží

| Stálé | | F_{Ek} [kN] | γ_G [-] | F_{Ed} [kN] |
|--------------------------|--|---------------|----------------|---------------|
| Tíha stropu viz str. | $3,63 \text{ kN/m}^2 * 12 \text{ m}^2$ | 43,56 | 1,35 | 58,81 |
| Tíha stropnice - IPE 160 | $0,16 \text{ kN/m} * 3 \text{ m} * 3$ | 1,44 | 1,35 | 1,94 |
| Tíha průvlaku - IPE 180 | $0,188 \text{ kN/m} * 8 \text{ m}$ | 0,752 | 1,35 | 1,02 |
| celkem: | | 45,752 | 1,35 | 61,77 |

| Proměnné | | F_{Ek} [kN] | γ_G [-] | F_{Ed} [kN] |
|----------------------|---------------------------------------|---------------|----------------|---------------|
| užitné zatížení | $2,5 \text{ kN/m}^2 * 12 \text{ m}^2$ | 30 | 1,5 | 45 |
| přemístitelné příčky | $0,8 \text{ kN/m}^2 * 12 \text{ m}^2$ | 9,6 | 1,5 | 14,4 |
| celkem: | | 39,6 | 1,5 | 59,4 |

b) Strop posledního podlaží

| Stálé | | F_{Ek} [kN] | γ_G [-] | F_{Ed} [kN] |
|-------------------------|--|---------------|----------------|---------------|
| Tíha stropu viz str. | $2,43 \text{ kN/m}^2 * 12 \text{ m}^2$ | 29,16 | 1,35 | 39,37 |
| Tíha stropnice-IPE 100 | $0,081 \text{ kN/m} * 3 \text{ m} * 3$ | 0,729 | 1,35 | 0,98 |
| Tíha průvlaku - IPE 140 | $0,129 \text{ kN/m} * 4 \text{ m}$ | 0,516 | 1,35 | 0,70 |
| celkem: | | 30,41 | 1,35 | 41,05 |

| Proměnné | | F_{Ek} [kN] | γ_G [-] | F_{Ed} [kN] |
|-----------------|---------------------------------------|---------------|----------------|---------------|
| užitné zatížení | $1,0 \text{ kN/m}^2 * 12 \text{ m}^2$ | 12 | 1,5 | 18 |
| celkem: | | 12 | 1,5 | 18 |

Sloupy jsou namáhány centrickým tlakem.

Návrhová síla do spodní části sloupu:

$$N_{Ed,1} = 61,77 + 59,4 + 41,05 + 18 = 180,21 \text{ kN}$$

Návrh sloupu

Návrh průřezu 1: HEA 140

Minimální návrh sloupu 140 kvůli napojení IPE 180

m [kg] 24,7

A [mm²] 3142

I_y [mm⁴] 1E+07

I_z [mm⁴] 3893000

S355, pro tlak třída 1

16.3.2. Posouzení:

Vzpěrné délky:

$$L_{cr,y} = L_{cr,z} = 2,7 \text{ m}$$

Je zřejmé, že při stejných vzpěrných délkách k oboum osám bude rozhodující vybočení k ose z (menší moment setrvačnosti).

Pružná kritická síla:

$$N_{cr,z} = \frac{\pi^2 EI_z}{L_{cr,z}^2} = \frac{\pi^2 210\,000 * 38,93 * 10^5}{2700^2} = 1107 \text{ kN}$$

Statický výpočet



Poměrná štíhlosť:

$$\overline{\lambda_z} = \sqrt{\frac{A * f_y}{N_{cr,z}}} = \sqrt{\frac{3142 * 355}{1107 * 10^3}} = 1,004$$

$$\overline{\lambda_z} = 1,0$$

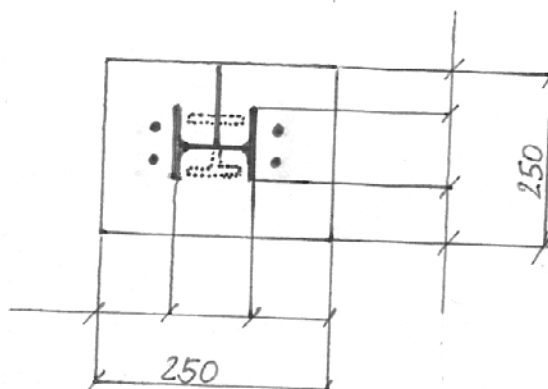
Součinitel vzpěrnosti:

$$\chi_z = 0,540 \text{ pro křivku vzpěrné pevnosti c}$$

Vzpěrná tlaková únosnost

$$N_{b,Rd} = \chi * A * f_{yd} = 0,54 * 3142 * 355 = 602,3 \text{ kN}$$

16.4. Patka Sloupu



Patky skeletu jsou navrženy jako kloubové z nevyzkuženého patního plechu a přenášejí pouze svislé zatížení. Kotvení šrouby jsou navrženy

Betonová patka má rozměry $a_c=m \times a_b=m \times h=m$

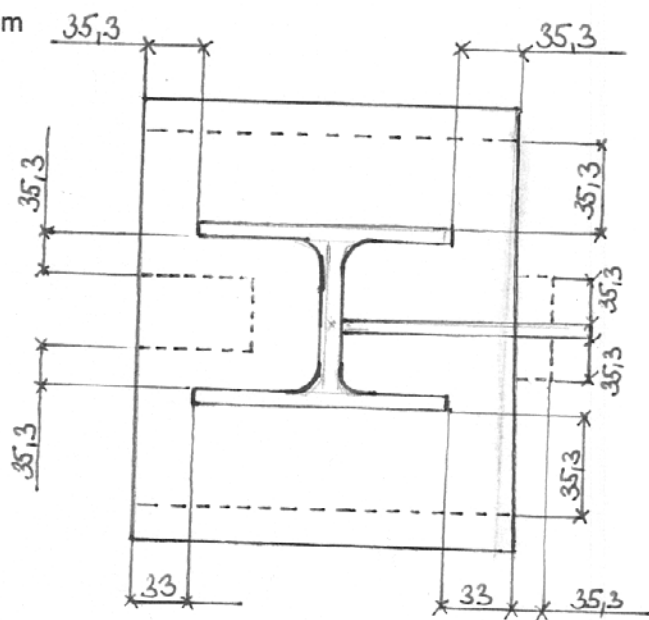
Započitatelné rozměry betonové patky

Součinitel kontrakce napětí

$$k_j = \sqrt{\frac{a_1 * b_1}{a_0 * b_0}} = \sqrt{\frac{420 * 420}{140 * 140}} = 3$$

Návrhová pevnost betonu

$$f_{jd} = \frac{\beta_j * k_j * f_{ck}}{\gamma_c} = \frac{2/3 * 3 * 16}{1,5} = 21,33$$



Statický výpočet



Účinná šířka patní desky

$$c = t_p \sqrt{\frac{f_{yd}}{3f_{jd}}} = 15 * \sqrt{\frac{355}{2 * 21,33}} = 35,33 \text{ mm}$$

Účinná plocha patní desky se stanoví rozšířením profilu o účinnou šířku patní desky. V mém případě účinná šířka nepřesahuje rozměr ocelové desky a proto ji započítám plně.

$$A_{eff} = 27\ 552 \text{ mm}^2$$

$$N_{Rd} = A_{eff} * f_{jd} = 27\ 552 * 21,33 = 587,7 \text{ kN} > 365,98 \text{ kN}$$

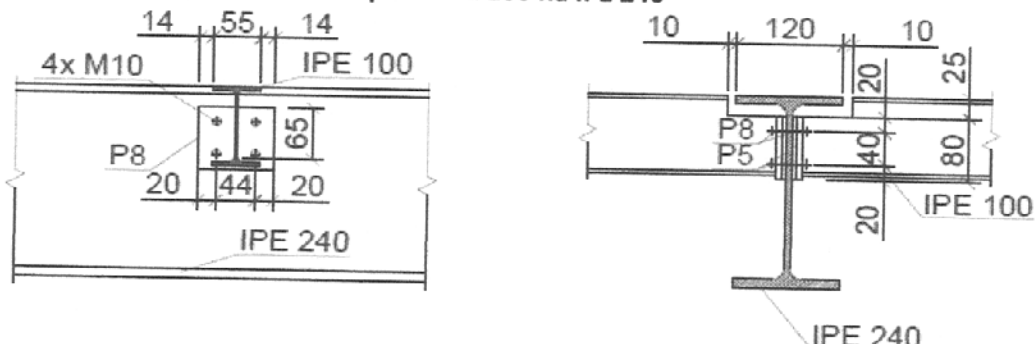
Patka vyhoví.



16.5. Přípoje stropních nosníků

Všechny přípoje jsou provedeny s čelní deskou a nepřenáší moment, použity jsou šrouby jakosti 5.6. Z hlediska montáže navrhoji pod čelní desku nenosnou podložku z plechu P5.

16.5.1. Přípoj stropnice na průvlak-Druhé patro IPE 100 na IPE 240



Reakce z navržené stropnice: $R_{Ed} = 29,13 \text{ kN}$

16.5.1.1. Návrh šroubů: M10 5.6

Únosnost šroubu na stříh: $F_{v,Rd} = 13,9 \text{ kN}$ závit po celé délce šroubu

Únosnost šroubu na otlačení: $F_{b,Rd} = 20,9 \text{ kN}$ pro $t = 10 \text{ mm}$, S355, dop. Rozteče
- Uvedené únosnosti šroubů jsou převzaty z tabulek [4].

Potřebný počet šroubů

$$\text{- stříh} \quad \frac{R_{Ed}}{F_{v,Rd}} = \frac{29,13}{13,9} = 2,096$$

- otlačení čelní deska tl. 8 mm, zatížena jednou stropnicí
stojina průvlaku tl. 6,2 mm, zatížená jednou stropnicí ... Rozhoduje

$$\frac{R_{Ed}}{F_{b,Rd}} = \frac{29,13}{0,62 * 20,9} = 2,248$$

Návrh: 4 šrouby M10 5.6.

16.5.1.2. Návrh svaru: koutový svar $2 \times a = 3 \text{ mm}$, délka $L_{we} = 60 \text{ mm}$

(svar uvažuji pouze na stojině)

Návrhová pevnost $f_{vw,d} = \frac{f_u}{\sqrt{3} * \beta_w * \gamma_{M2}} = \frac{510}{\sqrt{3} * 0,9 * 1,25} = 261,73 \text{ MPa}$

Únosnost svaru

$$F_{w,Rd} = 2a L_{we} f_{vw,d} = 2 * 3 * 60 * 261,7 = 94,22 \text{ MPa}$$

Smyková únosnost oslabeného průřezu stropnice

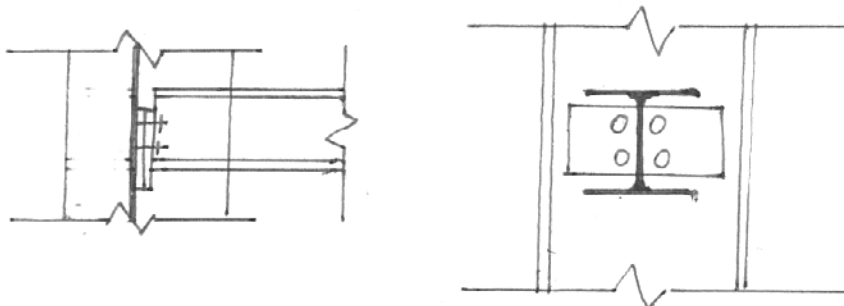
$$A_{vz} = t_w L_{we} = 4,1 * 60 = 307,5 \text{ mm}^2$$

$$V_{pl,Rd} = A_{vz} f_{yd} / \sqrt{3} = 308 * \frac{355}{\sqrt{3}} = 63,02 \text{ kN}$$

Navržený přípoj vyhoví.



16.5.2. Přípoj stropnice na sloup - Druhé patro IPE 100 na HEA 140 a na HEA 280



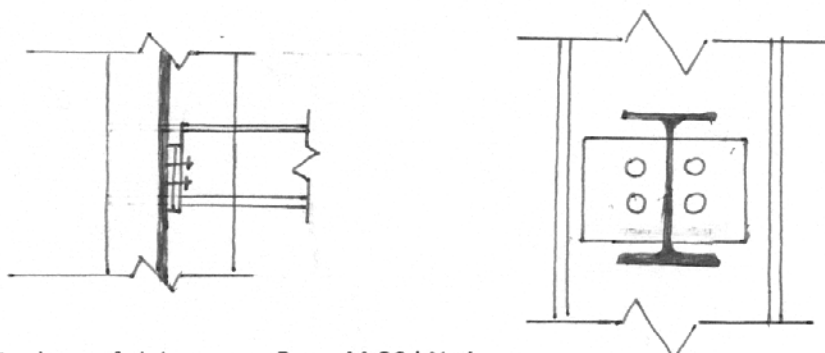
Přípoj navrhoji stejně jako přípoj stropnice na průvlak. Při posouzení se liší pouze únosnost šroubu na otlačení stojiny sloupu:

Tloušťka stojiny HEA 100 $t_w = 5,0 \text{ mm}$

$$\frac{R_{Ed}}{F_{b,Rd}} = \frac{29,13}{0,5 * 20,9} = 2,788$$

Návrh: 4 šrouby M10 5.6.

16.5.3. Přípoj průvlaku na sloup - Druhé patro IPE 360 na HEA 140



Reakce průvlaku: $R_{Ed} = 44,38 \text{ kN}$ viz str.

16.5.3.1. Návrh šroubů: M12 5.6

Únosnost šroubu na stříh: $F_{v,Rd} = 24,28 \text{ kN}$ závit po celé délce šroubu

Únosnost šroubu na otlačení: $F_{b,Rd} = 54,6 \text{ kN}$ pro $t=10 \text{ mm}$, S355, dop. Rozteč
- Uvedené únosnosti šroubů jsou převzaty z tabulek [4].

Potřebný počet šroubů

$$\text{- stříh} \quad \frac{R_{Ed}}{F_{v,Rd}} = \frac{44,38}{24,28} = 1,828$$

- otlačení čelní deska tl. 8 mm, zatížena jednou stropnicí
pásnice sloupu tl. 8,0 mm, zatížená jednou stropnicí

$$\frac{R_{Ed}}{F_{b,Rd}} = \frac{44,38}{0,8 * 54,6} = 1,016$$

Návrh: 4 šrouby M12 5.6.

Statický výpočet



16.5.3.2. Návrh svaru: koutový svar 2 x a = 3 mm, délka L_{we} = 95 mm (svar uvažuji pouze na stojině)

Návrhová pevnost $f_{vw,d} = \frac{f_u}{\sqrt{3} * \beta_w * \gamma_{M2}} = \frac{510}{\sqrt{3} * 0,9 * 1,25} = 261,73 \text{ MPa}$

Únosnost svaru

$$F_{w,Rd} = 2 a L_{we} f_{vw,d} = 2 * 3 * 95 * 261,7 = 149,19 \text{ kN}$$

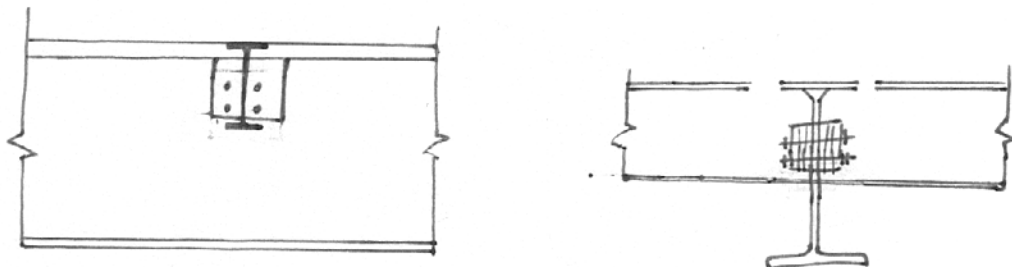
Smyková únosnost oslabeného průřezu stropnice

$$A_{vz} = t_w L_{we} = 6,2 * 95 = 589 \text{ mm}^2$$

$$V_{pl,Rd} = A_{vz} f_{yd} / \sqrt{3} = 589 * \frac{355}{\sqrt{3}} = 120,72 \text{ kN}$$

Navržený přípoj vyhoví.

16.5.4. Přípoj stropnice na průvlak- První patro IPE 160 na IPE 360



Reakce z navržené stropnice: R_{Ed} = 60,12 kN

16.5.4.1. Návrh šroubů: M12 5.6

Únosnost šroubu na stříh: F_{v,Rd} = 20,2 kN závit po celé délce šroubu

Únosnost šroubu na otlačení: F_{b,Rd} = 54,6 kN pro t = 10 mm, S355, dop. Rozteče
- Uvedené únosnosti šroubů jsou převzaty z tabulek [4].

ště.

Potřebný počet šroubů

$$\text{- stříh} \quad \frac{R_{Ed}}{F_{v,Rd}} = \frac{60,12}{20,2} = 2,976$$

- otlačení čelní deska tl. 8 mm, zatížena jednou stropnicí
stojina průvlaku tl. 8,0 mm, zatížená jednou stropnicí

$$\frac{R_{Ed}}{F_{b,Rd}} = \frac{60,12}{0,8 * 54,6} = 1,376$$

Návrh: 4 šrouby M12 5.6.

Statický výpočet



16.5.4.2. Návrh svaru: koutový svar 2 x a = 3 mm, délka L_{we} = 95 mm

(svar uvažují pouze na stojině)

$$\text{Návrhová pevnost} \quad f_{vw,d} = \frac{f_u}{\sqrt{3} * \beta_w * \gamma_{M2}} = \frac{510}{\sqrt{3} * 0,9 * 1,25} = 261,73 \text{ MPa}$$

Únosnost svaru

$$F_{w,Rd} = 2 a L_{we} f_{vw,d} = 2 * 3 * 130 * 261,7 = 149,19 \text{ kN}$$

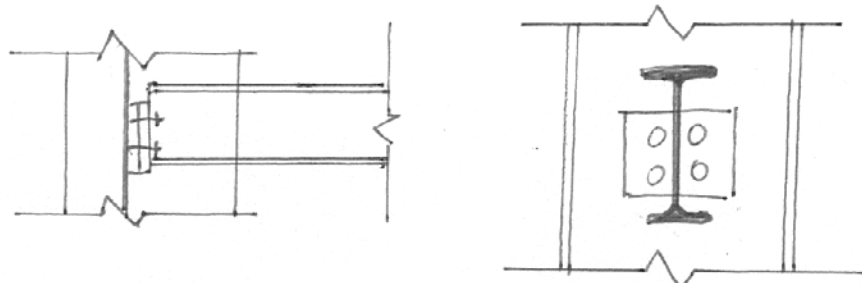
Smyková únosnost oslabeného průřezu stropnice

$$A_{vz} = t_w L_{we} = 5 * 130 = 475 \text{ mm}^2$$

$$V_{pl,Rd} = A_{vz} f_{yd} / \sqrt{3} = 650 * \frac{355}{\sqrt{3}} = 97,36 \text{ kN}$$

Navržený přípoj vyhoví.

16.5.5. Přípoj stropnice na sloup - První patro IPE 160 na HEA 100



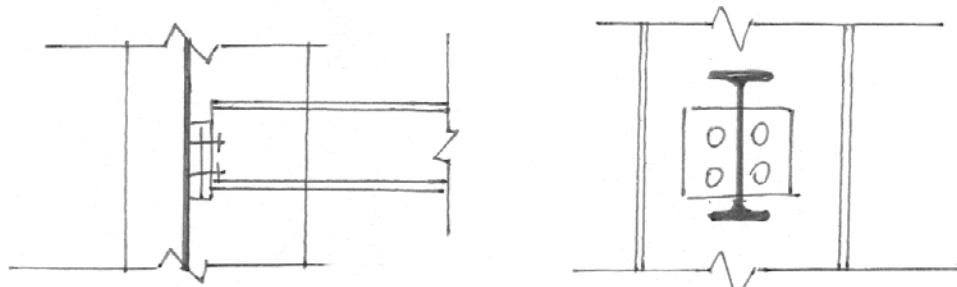
Přípoj navrhoji stejně jako přípoj stropnice na průvlak. Při posouzení se liší pouze únosnost šroubu na otlačení stojiny sloupu:

Tloušťka stojiny HEA 100 t_w = 5,0 mm

$$\frac{R_{Ed}}{F_{b,Rd}} = \frac{60,12}{0,5 * 54,6} = 2,202$$

Návrh: 4 šrouby M12 5.6.

16.5.6. Přípoj průvlaku na sloup - První patro IPE 180 na HEA 140 + na HEA 280



Reakce průvlaku: R_{Ed} = 89,89 kN viz str.

16.5.6.1. Návrh šroubů: M12 5.6

Únosnost šroubu na stříh: F_{v,Rd} = 24,28 kN závit po celé délce šroubu

Únosnost šroubu na otlačení: F_{b,Rd} = 54,6 kN pro t= 10 mm, S355, dop. Rozteče
- Uvedené únosnosti šroubů jsou převzaty z tabulek [4].

Statický výpočet



Potřebný počet šroubů

- stříh $\frac{R_{Ed}}{F_{v,Rd}} = \frac{89,89}{24,28} = 3,702$

- otlačení čelní deska tl. 8 mm, zatížena jednou stropnicí
pásnice sloupu tl. 8,0 mm, zatížená jednou stropnicí ... Rozhoduje

$$\frac{R_{Ed}}{F_{b,Rd}} = \frac{89,89}{0,8 * 54,6} = 2,058$$

Návrh: 4 šrouby M12 5.6.

16.5.6.2. Návrh svaru: koutový svar $2 \times a = 3$ mm, délka $L_{we} = 95$ mm

(svar uvažuji pouze na stojině)

Návrhová pevnost $f_{vw,d} = \frac{f_u}{\sqrt{3} * \beta_w * \gamma_{M2}} = \frac{510}{\sqrt{3} * 0,9 * 1,25} = 261,73 \text{ MPa}$

Únosnost svaru

$$F_{w,Rd} = 2 a L_{we} f_{vw,d} = 2 * 3 * 95 * 261,7 = 149,19 \text{ kN}$$

Smyková únosnost oslabeného průřezu stropnice

$$A_{vz} = t_w L_{we} = 3 * 95 = 589 \text{ mm}^2$$

$$V_{pl,Rd} = A_{vz} f_{yd} / \sqrt{3} = 589 * \frac{355}{\sqrt{3}} = 120,72 \text{ kN}$$

Navržený přípoj vyhoví.



17. Sloup - Hala III.

17.1. Předběžný odhad profilu sloupu

$$w_{k,mean} = \frac{(w_1 + w_2)}{2} = \frac{0,55 * 8 + 0,23 * 8}{2} = 3,12 \text{ kNm}^{\wedge} - 1$$

$$\frac{w_{k,mean} * H^4}{8 * EI_y} \leq \frac{H}{150}$$

$$I_y \geq \frac{150 * w_{k,mean} * H^3}{8 * E} \geq \frac{150 * 3,12 * 7600^3}{8 * 210\,000} = 122,29 * 10^6 \text{ mm}^4$$

| | | |
|-----------------------|-----------------------------------|-----------|
| Návrh sloupu: HEA 280 | A[mm ²] | 9726 |
| | I _y [mm ⁴] | 136700000 |

17.2. Mezní stav použitelnosti

$$\delta_{lim} = \frac{h}{150} = 51 \text{ mm} \quad \delta_1 = 46,3 \text{ mm} \dots \text{viz přílohy obr} - 26$$

17.3. Mezní stav únosnosti

Vnitřní síly z rozhodující kombinace

M_{Ed} [kNm] 139,85

N_{Ed} [kNm] 374 ... v patce : zatížení hala I. + přítížení od vestavby

V_{Ed} [kN] 44,2 ... v patce

Návrh: Profil HEA 280

Ocel S235

F_{yd}[MPa]

235

A [mm²] 9726

A_{v,z} [mm²] 3174

I_y [mm⁴] 136700000

W_{pl,y} [mm³] 1112000

W_{el,y} [mm³] 1013000

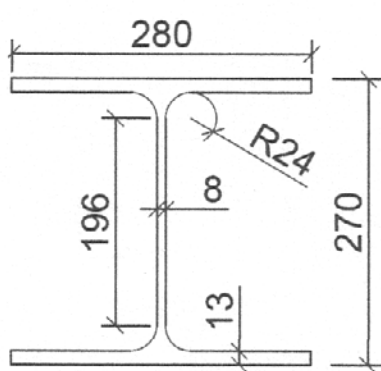
i_y [mm] 119

i_z [mm⁴] 47630000

i_t [mm] 70

I_w [mm⁶] 621000

7,854E+11



17.3.1. Posouzení

O únosnosti rozhoduje stabilita prutu. Vliv smyku lze zanedbat.

Vzpěrné délky:

Vzpěrná délka v rovině rámu $L_{cr,y} = 2 * 7,6 = 15,2 \text{ m}$ (sloup působí jako konzola)

Vzpěrná délka z roviny rámu $L_{cr,z} = 2,55 \text{ m}$ (vzdálenost paždíků)

Štíhlosti

→ poměrná štíhlost

$$\lambda_y = \frac{L_{cr,y}}{i_y} = \frac{15200}{119} = 127,7$$

$$\bar{\lambda}_y = \frac{\lambda_y}{\lambda_1} = \frac{127}{93,9} = 1,36$$

Statický výpočet



$$\lambda_z = \frac{L_{cr,z}}{i_z} = \frac{2550}{70} = 36,4$$

$$\bar{\lambda}_z = \frac{\lambda_z}{\lambda_1} = \frac{36,4}{93,9} = 0,388$$

$$\lambda_1 = 93,9 * \sqrt{\frac{235}{f_y}} = 93,9$$

Součinitele vzpěrnosti:

$$\chi_y = \chi_{min} = 0,438 \quad \text{pro křivku vzpěrné pevnosti b (podle[4])}$$

$$\chi_z = \chi_{min} = 0,93 \quad \text{pro křivku vzpěrné pevnosti c (podle[4])}$$

Určení kritického momentu M_{cr}

$L = 7600$ mm (výška sloupu, protože tlačená pásnice je v příčném směru podepřena v patce a ve vrcholu)

$k_z = 1,0$ (na obou koncích úseku prutu o délce L je možné natočení průřezu okolo y menší tuhosti z)

$k_w = 1,0$ (nebráněno deplanaci, v uložení vazníku je deplanace volná)

Průběh momentu po délce prutu si zjednodušeně představíme jako trojúhelníkový. Z [5], tab. 1.4 je pro $k_z = 1,0$

$$C_{1,0} = 1,77$$

$$C_{1,1} = 1,85$$

Výpočet (podle postupu v normě [9]):

$$\kappa_{wt} = \frac{\pi}{k_w * L} \sqrt{\frac{EI_w}{GI_t}} = \frac{\pi}{0,7 * 7600} \sqrt{\frac{210000 * 785 * 10^9}{81000 * 621 * 10^3}} = 1,069 \gg 1,0$$

$$C_1 = C_{1,0} + (C_{1,1} - C_{1,0}) * \kappa_{wt} = 1,77 + (1,85 - 1,77) * 1,0 = 1,85 \leq C_{1,1} = 1,85$$

$$\mu_{cr} = \frac{C_1}{k_z} \sqrt{1 + \kappa_{wt}^2} = \frac{1,85}{1,0} \sqrt{1 + 1^2} = 2,616$$

$$M_{cr} = \mu_{cr} \frac{\pi \sqrt{EI_y * GI_t}}{L} = 2,616 \frac{\pi \sqrt{210000 * 1367 * 621 * 10^8}}{7600} = 1299,0 \text{ kNm}$$

Poměrná štíhlost (pro průřez třídy 1 nebo 2 s plastickým průřezovým modulem)

$$\bar{\lambda}_{LT} = \sqrt{\frac{W_{pl,y} * f_y}{M_{cr}}} = \sqrt{\frac{1112 * 10^3 * 235}{1299 * 10^6}} = 0,201$$

Součinitel klopení χ_{LT} pro křivku vzpěrené pevnosti a (válcovaný nosník, $h/b < 2$):

$$\chi_{LT} = 0,999$$

Interakce tlaku s ohybem

Vliv osové síly na zvětšení ohybového momentu a vliv tvaru momentové plochy

Při geometrickém vyjádření vzpěrné délky konzoly leží bod veknutí v polovině vzpěrné délky. Tvar momentu pro určení součinitele C_{my} tedy odpovídá obrázku:

Statický výpočet



Součinitel C_{my} se určí pro výše uvedený průběh momentů na délce $L_{cr,y}$:

$$\alpha_h = M_h/M_s = 0$$

$$C_{my} = 0,90 + 0,10 * \alpha_h = 0,90 + 0,0 = 0,90$$

Součinitel C_{mLT} se určí pro stejný průběh momentů, jaký byl uvažován pro výpočet M_{cr} .

Pro zjednodušeně lineární průběh momentů platí:

$$C_{mLT} = 0,6 + 0,4\psi \geq 0,4$$

$$C_{mLT} = 0,6 + 0,4 * 0 = 0,6$$

kde ψ je poměr krajních momentů ($-1 \leq \psi \leq 1$)

Interakční součinitele k_{yy} , k_{zy} se určí pro pruty, které jsou náchylné ke zkoucení, a pro třídu průřezu 1.

$$k_{yy} = \min \left\{ \frac{C_{my} \left(1 + (\bar{\lambda}_y - 0,2) \frac{N_{Ed}}{\chi_y * N_{Rk} / \gamma_{M1}} \right)}{C_{my} \left(1 + 0,8 \frac{N_{Ed}}{\chi_y * N_{Rk} / \gamma_{M1}} \right)} \right\} = \min \left\{ \frac{0,90 \left(1 + (1,36 - 0,2) \frac{374}{0,438 * 9726 * 235/1,0} \right)}{0,90 \left(1 + 0,8 \frac{374}{0,438 * 9726 * 235/1,0} \right)} \right\} = \min \left\{ \frac{0,754}{0,799} \right\} = 0,754$$

Pro $\bar{\lambda}_z = > :$

$$k_{zy} = \max \left\{ \frac{1 - \frac{0,1\bar{\lambda}_z}{C_{mLT} - 0,25} \left(\frac{N_{Ed}}{\chi_y * N_{Rk} / \gamma_{M1}} \right)}{1 - \frac{0,1}{C_{mLT} - 0,25} \left(\frac{N_{Ed}}{\chi_y * N_{Rk} / \gamma_{M1}} \right)} \right\} = \max \left\{ \frac{1 - \frac{0,1 * 0,388}{0,6 - 0,25} \left(\frac{374}{0,438 * 9726 * 235/1,0} \right)}{1 - \frac{0,1}{0,6 - 0,25} \left(\frac{374}{0,438 * 9726 * 235/1,0} \right)} \right\} = \max \left\{ \frac{1,007}{1,019} \right\} = 1,019$$

Podmínky spolehlivosti:

$$\frac{N_{Ed}}{\chi_y * N_{Rk}} + k_{yy} \frac{M_{y,Ed}}{\chi_{LT} * M_{y,Rk}} = \frac{374}{0,438 * 9726 * 235/1,0} + 0,754 \frac{139,85}{0,99 * 1112 * 10^3 * 235/1,0} = \\ = 0,374 + 0,404 = 0,778 < 1$$

$$\frac{N_{Ed}}{\chi_z * N_{Rk}} + k_{zy} \frac{M_{y,Ed}}{\chi_{LT} * M_{y,Rk}} = \frac{3744}{0,93 * 9726 * 235/1,0} + 1,019 \frac{139,85}{0,99 * 1112 * 10^3 * 235/1,0} = \\ = 0,176 + 0,536 = 0,712 < 1$$



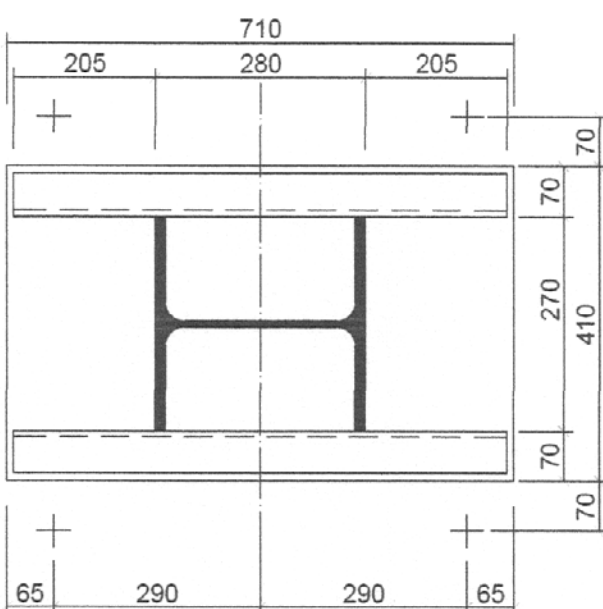
18. Patka sloupu - Hala I.

Patka je veknutá. Posoudí se na 2 kombinace zatížení:

a) kombinaci s největším momentem a současně působící velkou tlakovou silou

b) kombinace s největším poměrem M_{Ed}/N_{Ed} , případně tahovou normálovou silou

| | Levý sloup | | | Pravý sloup | | |
|-----|----------------|----------------|----------|----------------|----------------|----------|
| | $V_{ed} = R_y$ | $N_{ed} = R_z$ | M_{ed} | $V_{ed} = R_y$ | $N_{ed} = R_z$ | M_{ed} |
| | kN | kN | kNm | kN | kN | kNm |
| CO1 | 25,2 | 495,13 | 78,26 | 17,76 | 500,95 | 75,85 |
| CO2 | 44,2 | 374,16 | 139,85 | 27,4 | 383,86 | 117,01 |
| CO3 | 45,53 | 273,23 | 144,7 | 26,26 | 282,92 | 112,16 |
| CO4 | 34,6 | 273,94 | 50,4 | 34,6 | 273,94 | 50,4 |



Geometrie:

Geometrie ocelové patky:

a [mm] 710

b [mm] 410

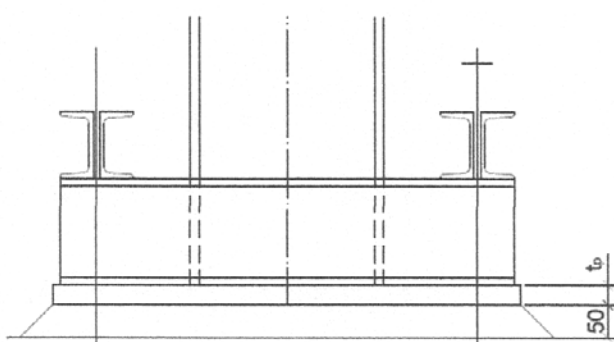
t_p [mm] 30 ...patní plech

r_t [mm] 290

Beton C16/20 f_{ck} [MPa] 16

γ_c [-] 1,5

Výška podlití má být větší než 0,1 násobek menšího z půdorysných rozměrů patky, tj.
41 Volíme 50 mm.



Rozměry betonové patky:

půdorysně:

a_c [mm] 2000

b_c [mm] 1200

výška:

h [mm] 900

Započitatelné rozměry betonové patky

$$a_1 = \min(a_c, 3a, a + h) = \min(2000, 3 * 710, 710 + 900) = 1610 \text{ mm}$$

$$b_1 = \min(b_c, 3b, b + h) = \min(1200, 3 * 410, 410 + 900) = 1200 \text{ mm}$$

Statický výpočet

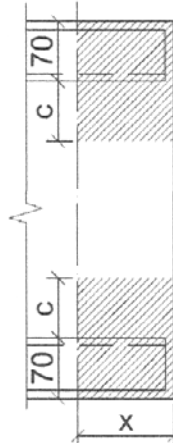


Součinitel koncentrace napětí

$$k_j = \sqrt{\frac{a_1 * b_1}{a * b}} = \sqrt{\frac{1610 * 1200}{710 * 410}} = 2,57$$

Návrhová pevnost betonu

$$f_{jd} = \frac{2}{3} \frac{k_j * f_{ck}}{\gamma_c} = \frac{2 * 2,36 * 16}{3 * 1,5} = 18,32 \text{ MPa}$$



Přesah desky

$$c = t_p \sqrt{\frac{f_{yd}}{3f_{jd}}} = 30 \sqrt{\frac{235}{3 * 16,75}} = 62,03 \text{ mm}$$

Účinná šířka patního plechu (viz obr.)

$$b_{eff} = 2 * 70 + 2 * c = 2 * 70 + 2 * 62,03 = 264,1 \text{ mm}$$

| | | CO1 | CO2 | CO3 | CO4 |
|-----------|-----|--------|---------|--------|---------|
| M_{Ed} | kNm | 62,30 | 139,85 | 144,70 | 50,40 |
| N_{Ed} | kN | 209,33 | 374,16 | 273,23 | 273,94 |
| e | mm | 298 | 374 | 530 | 184 |
| x_1 | mm | 1249 | 1244 | 1242 | 1274 |
| $x_2 = x$ | mm | 41 | 46 | 48 | 16 |
| N_c | kN | 196,92 | 224,93 | 233,04 | 79,14 |
| T | kN | -12,41 | -149,23 | -40,19 | -194,80 |

Ve všech šroubech vychází pouze tlak

Veličiny uvedené v tabulce:

- excentricita působiště normálové síly

$$e = \frac{M_{Ed}}{N_{Ed}}$$

- x je délka tlačené oblasti pod patním plechem, určí se z momentové podmínky rovnováhy k působišti šroubů, viz obr. :

$$N_{Ed}(e + r_1) = N_c \left(r_1 + \frac{a}{2} - \frac{x}{2} \right)$$

kde $N_c = b_{eff} x f_{jd}$

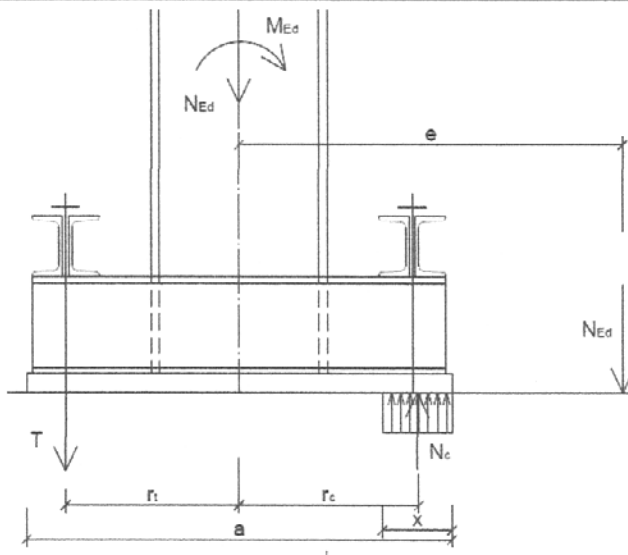
Z těchto dvou rovnic se získá kvadratická rovnice pro x :

$$b_{eff} f_{jd} x^2 - b_{eff} f_{jd} (2r_t + a)x + 2N_{Ed}(e + r_t) = 0$$

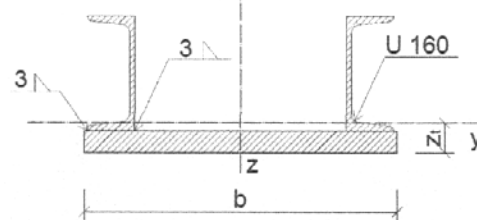
x_1, x_2 jsou kořeny kvadratické rovnice, fyzikální smysl má kořen x_2

- Síla do kotevních šroubů vyplýne ze svislé podmínky rovnováhy:

$$T = N_c - N_{Ed}$$



18.1. Průřez patky



Patní plech:

Výzduhy 2x U160 A 4800 mm²

I_y 1,9E+07 mm⁴

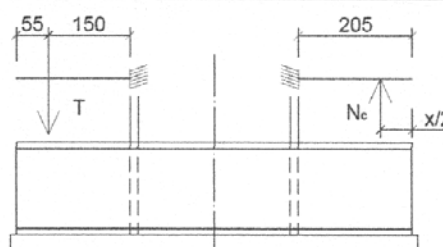
A_{vz} 2520 mm²

Svařený průřez:

$$A = 30 * 410 + 4800 = 17100 \text{ mm}^2$$

$$z_T = \frac{\sum A_j z_j}{A} = \frac{30 * 410 * 15 + 4800 * (80 + 30)}{17100} = 41,67 \text{ mm}$$

$$I_y = \frac{30^3 * 410}{12} + 30 * 410 * (41,67 - 15^2) + 2 * 9,25 * 10^6 + 4800 * (160/2 + 30 - 41,67)^2 = 5,06E+07 \text{ mm}^4$$



Průřez patky působí jak konzola namáhaná silou ve šroubech T nebo silou mezi betonem a ocelí N_c, viz obrázek. Posoudí se na kombinaci ohybu a smyku:

- tlačená strana patky - rozhoduje CO3

$$M_p = N_c \left(b_{eff} - \frac{x}{2} \right) = 233,7 \left(264,1 - \frac{48}{2} \right) = 56,80 \text{ kNm}$$

$$V_p = N_c = 233,04 \text{ kN}$$

- "tažená" strana patky - cele patka pouze tlačená

$$M_l = T * 0,155 = -12,42 * 0,155 = -1,92 \text{ kNm}$$

$$V_l = T = -12,41 \text{ kN} \quad \text{str. 110}$$

Statický výpočet



Protože průřez není symetrický okolo osy y , není možné použít zjednodušený vztah. Výpočet s využitím plastických únosností by byl pracný a proto průřez posoudím pružně.

$$W_{y,h} = \frac{5,06 * 10^7}{160 + 30 - 41,67} = 341005,62 \text{ mm}^3$$

$$W_{y,d} = \frac{5,06 * 10^7}{41,67} = 1213980 \text{ mm}^3$$

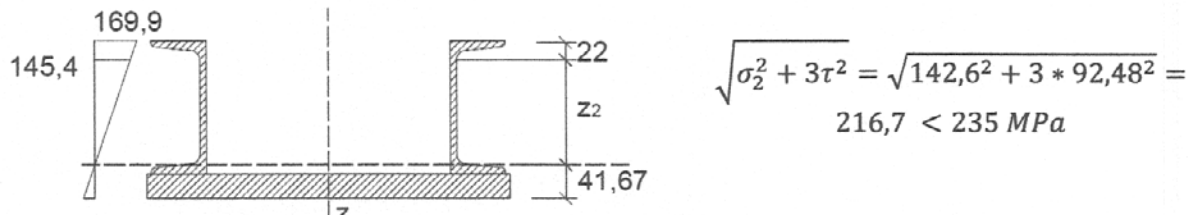
$$\sigma_{h,max} = \frac{M_{max}}{W_{y,h}} = \frac{56,8 * 10^6}{341006} = 166,56 \text{ MPa} < f_{yd} = 235 \text{ MPa}$$

$$\tau_{max} \cong \frac{V_{max}}{A_{vz}} = \frac{233,71}{2520} = 92,48 \text{ MPa} < \frac{235}{\sqrt{3}} = 135,7 \text{ MPa}$$

Protože $92,48 \text{ MPa}$ je větší než $0,5 * 135,7 \text{ MPa}$ je potřeba posoudit kombinaci M + V.

Normálové napětí v bodě 2 (viz obrázek průřezu)

$$\sigma_2 = \frac{M_{max}}{I_y} Z_2 = \frac{56,8 * 10^6}{5,06 * 10^7} (190 - 41,67 - 22) = 142,6 \text{ MPa}$$

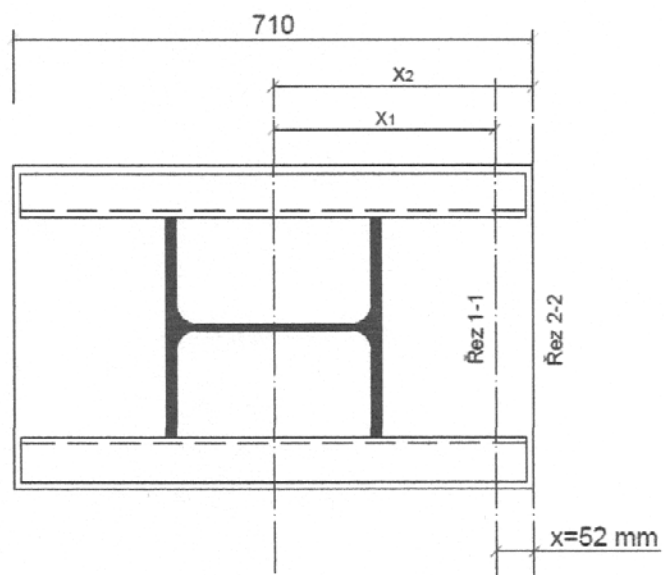


18.2. Připojení podélných výztuh k patnímu plechu

Návrh: Koutové svary $a = 3 \text{ mm}$, dva svary na jednu výztuhu U160

Svary jsou namáhány podélným smykem silou V_p od ohybu průřezu patky (viz výše) a současně do patního plechu přenášejí reakce sloupku M_{Ed} , N_{Ed} a V_{Ed} . Posouzení je třeba provést v líci sloupu, kde se projeví vliv síly V_p (řez 1-1), a na konci patky, kde je větší vliv momentu M_{Ed} (řez 2-2)- Rozhoduje levý sloup při CO1, kde působí největší síla V_p a současně největší moment M_{Ed} :

| | |
|----------------|---------|
| N_{Ed} [kN] | -273,23 |
| M_{Ed} [kNm] | 144,70 |
| V_{Ed} [kN] | 45,53 |
| V_p [kN] | 233,04 |



Napětí ve svarech:

$$\tau_{||} = \frac{V_{Ed}}{A_{we}} + \frac{V_p S_{f,y}}{I_y 4 a_{we}}$$

$$\sigma_{we} = \frac{N_{Ed}}{A_{we}} + \frac{M_{Ed}}{I_y} x_i$$

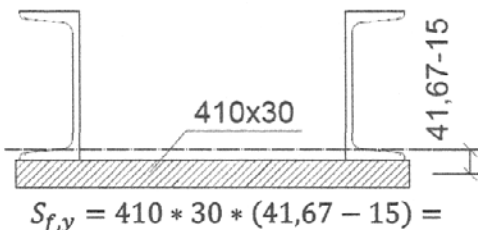
$$\tau_{\perp} = \sigma_{\perp} = \sigma_{we} / \sqrt{2}$$

kde $A_{we} = 4 * 3 * 690 = 8280 \text{ mm}^2$

$$I_{we} = \frac{4 * 3}{12} * 690^3 = 328509000 \text{ mm}^4$$



statický moment k rovině svaru



$$S_{f,y} = 410 * 30 * (41,67 - 15) = 328000 \text{ mm}^3$$

Řez 1 - 1

$$\tau_{\parallel} = \frac{V_{Ed}}{A_{we}} + \frac{V_p S_{f,y}}{I_y 4 a_{we}} = \frac{45,53}{8280} + \frac{233710 * 328000}{5,06 * 10^7 * 4 * 3} = 131,43 \text{ MPa}$$

$$\sigma_{we} = \frac{N_{Ed}}{A_{we}} + \frac{M_{Ed}}{I_{we}} x_i = \frac{273,03}{8280} + \frac{144,7}{328,5 * 10^6} * 658 = 166,46 \text{ MPa}$$

$$\tau_{\perp} = \sigma_{\perp} = \frac{\sigma_{we}}{\sqrt{2}} = 166,46 / \sqrt{2} = 117,71 \text{ MPa}$$

$$\sqrt{\sigma_{\perp}^2 + 3(\tau_{\perp}^2 + \tau_{\parallel}^2)} = \sqrt{117,71^2 + 3(117,71^2 + 131,43^2)} = 327,48 \text{ MPa}$$

$$= \frac{f_u}{\beta_w \gamma_{M2}} = \frac{360}{0,8 * 1,25} = 360 \text{ MPa}$$

Řez 2 - 2

$$\tau_{\parallel} = \frac{V_{Ed}}{A_{we}} + 0 = \frac{45,53}{8280} = 5,50 \text{ MPa}$$

$$\sigma_{we} = \frac{N_{Ed}}{A_{we}} + \frac{M_{Ed}}{I_y} x_i = \frac{273,03}{8280} + \frac{144,7}{328,5 * 10^6} * 355 = 226,81 \text{ MPa}$$

$$\tau_{\perp} = \sigma_{\perp} = \frac{\sigma_{we}}{\sqrt{2}} = \frac{226,81}{\sqrt{2}} = 160,38 \text{ MPa}$$

$$\sqrt{\sigma_{\perp}^2 + 3(\tau_{\perp}^2 + \tau_{\parallel}^2)} = \sqrt{160,38^2 + 3(160,38^2 + 5,5^2)} = 320,90 \text{ MPa}$$

$$\leq \frac{f_u}{\beta_w \gamma_{M2}} = \frac{360}{0,8 * 1,25} = 360 \text{ MPa}$$

Svary podélných výztuh k patnímu plechu vyhoví.

18.3. Kotevní šrouby

Při určení sil do jednoho šroubu musíme vzít v úvahu toleranci osazení šroubu, kterou uvažujeme +/- 50 mm. Největší sílu do šroubu N_t, Ed, max určíme z momentové podmínky k působení síly N_t, Ed, min . Rozhoduje kombinace s největší silou do kotevních šroubů T - CO3

Jelikož jsou kotevní šrouby namáhaný pouze tlakem navrhoji konstrukčně nejmenší možné lepené kotvy do betonu od firmy Hilti. Technické listy od výrobce vkládám do přílohy.

Rozhodující bude namáhání ve smyku - V_{ed} 45,51 kN

Smykové namáhání na jeden šroub je tedy = 11,3775 kN

Návrh kotevního šroubu HIT-V M12 ... viz Příloha 6

$T_{max} = 1/2 T$ -6,20 kN



Určení působiště síly $N_{t,Ed,min}$ z momentové podmínky rovnováhy:

$$N_{t,Ed,max} = \frac{-6,2 * (190 + 460)}{560} = -7,2 kN$$

$$N_{t,Ed,min} = -12,41 + 7,2 = -5,21 kN$$

18.4. Kotevní příčník

Statické schéma kotevního příčníku je patrné ze statického schématu zatížení kotevních šroubů.

$$M_{a,d} = 7,2 * 0,09 = 0,65 kNm$$

$$V_{a,d} = 7,2 kN$$

$$M_{b,d} = 5,21 * 0,19 = 0,99 kNm$$

$$V_{b,d} = 5,21 kN$$

| | | |
|------------------------|--------------------------|-------|
| Návrh : 2x U 80 | $W_{pl,y} [\text{mm}^3]$ | 31800 |
| | $A_{v,z} [\text{mm}^2]$ | 980 |

Posouzení:

$$V_{pl,Rd} = \frac{A_{v,z} * f_{yd}}{\sqrt{3}} = \frac{980 * 235}{\sqrt{3}} = 132,96 \text{ kN}$$

$$M_{pl,Rd} = W_{pl,y} * f_{yd} = 31800 * 235 = 7,47 > M_{Ed,max} = 0,99 \text{ kNm}$$

Průřez a:

$$\rho = \left(\frac{2V_{a,d}}{V_{pl,Rd}} - 1 \right)^2 = \left(\frac{2 * 7,2}{132,96} - 1 \right)^2 = 1,22$$

$$M_{V,Rd} = \left(W_{pl} - \frac{\rho A_v^2}{4t_w} \right) = \left(31800 - \frac{1,22 * 980^2}{4 * 6} \right) = 10,73 \text{ kNm}$$

$> M_{Ed,max} = 0,99 \text{ kNm}$

Průřez b:

$$\rho = \left(\frac{2V_{b,d}}{V_{pl,Rd}} - 1 \right)^2 = \left(\frac{2 * 5,21}{132,96} - 1 \right)^2 = 1,16$$

$$M_{V,Rd} = \left(W_{pl} - \frac{\rho A_v^2}{4t_w} \right) = \left(31800 - \frac{1,163 * 980^2}{4 * 6} \right) = 11,86 \text{ kNm}$$

$> M_{Ed,max} = 0,99 \text{ kNm}$



18.5. Přenos vodorovné posouvací síly do betonové patky

Rozhodující je kombinace zatížení s největší vodorovnou reakcí při nejmenší svislé tlakové síle ve spáře mezi ocelí a betonem. Rozhoduje tedy CO4, budu posuzovat reakce levého sloupu (tab.):

$$R_{y,Ed} [\text{kN}] \quad 34,6 \quad (\text{vodorovná reakce})$$

$$N_c [\text{kN}] \quad 79,14 \quad \text{Tlaková síla v spáře mezi ocelí a betonem - viz tab.}$$

Nejdříve posoudím, zda se posouvací síla nepřenese třením mezi patním plechem a betonem (součinitel tření $\mu = 0,2$).

$$V_{Ed}' = \mu N_c = 0,2 * 79,14 = \quad 15,83 \text{ kN} < R_{y,Ed} = 34,6 \text{ kN}$$

Tření není dostatečné.

Do tlakové síly ve spáře mezi ocelí a betonem mohu započítat i vliv utažení kotevních šroubů. Předepříme předepnutí šroubů při utažení alespoň na sílu $0,3 * A_s * f_{yd}$.

Potom mohu brát v úvahu:

$$N_c' = N_c + 0,3 * A_s f_{yd} = 79,14 + 0,3 * 31,89 = \quad 111,04 \text{ kN}$$

$$V_{Ed}' = 0,2 * 111,04 = 22,2 \text{ kN} > R_{y,Ed} = 34,6 \text{ kN} \quad \text{neplatí}$$

Pro přenos vodorovné reakce je třeba navrhnout zarážku.



Svislice ztužidla

Ověření vzpěrné únosnosti - v úvodním posouzení normálová síla není zanesena ale bude nutno ji ověřit protože budou vaznice přenášet část síly od větru

Vzpěrná únosnost

$L_{cr,y}$ [m]

4 je potřeba vložit táhla na l/2

$$\lambda_y = \frac{L_{cr,y}}{i_y} = 54,05$$

$$\lambda_z = \frac{L_{cr,z}}{i_z} = 190,48$$

$$\lambda_1 = 93,9 * \varepsilon = 93,9 * 1 = 93,9$$

$$\bar{\lambda}_z = \frac{\lambda_z}{\lambda_1} = 2,029$$

$$\bar{\lambda}_y = \frac{\lambda_y}{\lambda_1} = 0,576$$

Křivky vzpěrné pevnosti

...viz. Tabulka z ocelových tabulek - vložit do prílohy

$$\frac{h}{b} = 2, \quad t_f \leq 40 \text{ mm}$$

$$\begin{array}{lll} y-y & a \Rightarrow & \alpha_y = 0,217 \\ z-z & b \Rightarrow & \alpha_z = 0,849 \end{array}$$

$$\emptyset_y = 0,5 [1 + \alpha_y * (\bar{\lambda}_y - 0,2) + \lambda_y^2] = 0,7064483$$

$$\emptyset_z = 0,5 [1 + \alpha_z * (\bar{\lambda}_z - 0,2) + \lambda_z^2] = 3,3336054$$

$$\chi_y = \frac{1}{\phi_y + \sqrt{\phi_y^2 + \bar{\lambda}_y^2}} = 0,618$$

$$\chi_z = \frac{1}{\phi_z + \sqrt{\phi_z^2 + \bar{\lambda}_z^2}} = 0,138$$

$$\chi = \min \{\chi_y, \chi_z\} = 0,138$$

$$N_{B,Rd} = \chi * \frac{A * fy}{\gamma_{M0}} = 77,620 \text{ kN} > 43,31 \text{ kN}$$

Literatura

- [1] Vraný T., Jandera M., Eliášová M. : Ocelové konstrukce 2. Cvičení, ČVUT Praha, 2011, ISBN 978-80-01-04368-4
- [2] Studnička J., Holický M., Marková J. : Ocelové konstrukce 2 – zatížení, ČVUT Praha, 2011 ISBN 978-80-01-05815-2
- [3] Vraný T., Wald F.: Ocelové konstrukce – Tabulky, ČVUT Praha, 2009, ISBN 978-80-01-03140-7
- [4] Kuklík P., Kuklíková A., Mikeš K., Dřevěné konstrukce 1 – Cvičení, ČVUT Praha, 2008, ISBN 978-80-01-03980-9
- [5] WALD, František. Základy navrhování ocelových konstrukcí podle ČSN EN 1993-1-1 a ČSN EN 1993-1-8. Ostrava: Česká asociace ocelových konstrukcí, 2010. ISBN 978-80-904535-0-0.
- [6] ČSN EN 1991-1-1, Eurokód 1: Zatížení konstrukcí – Část 1-1: Obecná zatížení – Objemové tíhy, vlastní tíha a užitná zatížení pozemních staveb
- [7] ČSN EN 1991-1-3, Eurokód 1: Zatížení konstrukcí – Část 1-3: Obecná zatížení – zatížení sněhem
- [8] ČSN EN 1991-1-4, Eurokód 1: Zatížení konstrukcí – Část 1-4: Obecná zatížení – zatížení větrem
- [9] ČSN EN 1993-1-1, Eurokód 3: Navrhování ocelových konstrukcí - Část 1-1: Obecná pravidla a pravidla pro pozemní stavby

ČESKÉ VYSOKÉ UČENÍ TECHNICKÉ V PRAZE

Fakulta stavební



DIPLOMOVÁ PRÁCE
PŘÍLOHY

2017

Bc. Petrás Michal

ČESKÉ VYSOKÉ UČENÍ TECHNICKÉ V PRAZE

Fakulta stavební



DIPLOMOVÁ PRÁCE

PŘÍLOHA 1 – Výstupy z programu SCIA Engineer

2017

Bc. Petrás Michal

Obsah

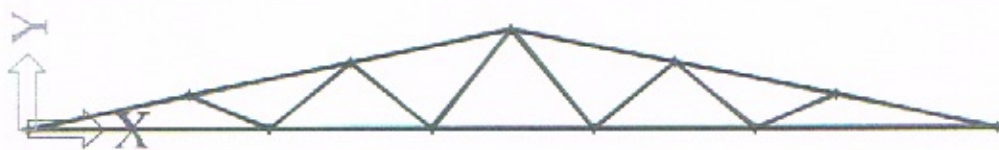
| | |
|--|----|
| Varianta geometrie vazníku..... | 3 |
| Varianta 1 | 3 |
| Varianta 2 | 3 |
| Varianta 3 | 4 |
| Varianta 4 | 5 |
| Vazník Hala I. a III. – Ocel..... | 6 |
| Průhyb od návrhového zatížení..... | 8 |
| Sloup – Hala I. a III. | 8 |
| CO1 – $G_{\max} + S_{\max} + \psi W_{\text{příčný}}$ | 8 |
| CO2 – $G_{\max} + \psi S_{\max} + W_{\text{příčný}}$ | 9 |
| CO3 – $G_{\min} + W_{\text{příčný}}$ | 10 |
| CO4 – 1 – $G_{\min} + W_{\text{podélný}}$ | 11 |
| CO4 – 2 – $G_{\min} + W_{\text{podélný}}$ | 13 |
| MSP – rozhoduje KZ3..... | 14 |
| Ztužení haly I. a III..... | 14 |
| Zatížení | 14 |
| Vnitřní síly..... | 15 |
| Štitová stěna..... | 15 |
| MSP – výběr kritického sloupu | 15 |
| Kombinace G + S..... | 16 |
| Kombinace Gmin + W | 16 |
| Příčné ztužení ve štítu | 17 |
| Vnitřní síly na ztužidla..... | 17 |
| Střešní panel..... | 18 |
| Vnitřní síly..... | 18 |
| MSP – průhyb nosníku..... | 18 |
| Vaznice | 19 |
| Vnitřní síly..... | 19 |
| Vazník Dřevo-ocel..... | 19 |
| Normálové síly | 19 |
| Vnitřní síly od vlastní tíhy | 20 |
| Ocelový sloup – vazník DK – OK | 20 |
| CO1 | 20 |
| CO2 | 21 |

| | |
|-----------|----|
| CO3 | 22 |
| CO4 | 23 |

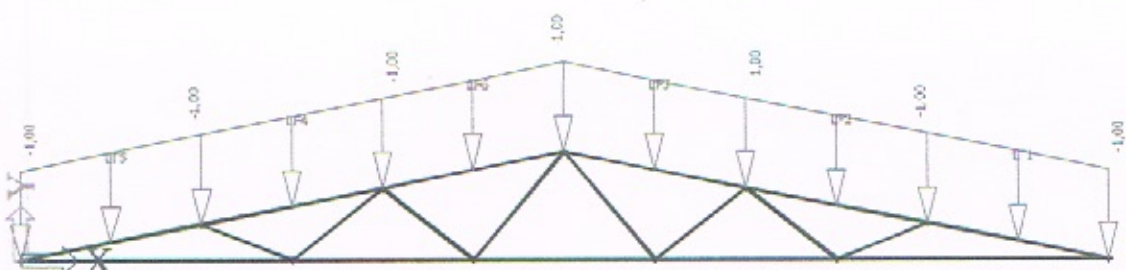
Varianty geometrie vazníku

Varianta 1

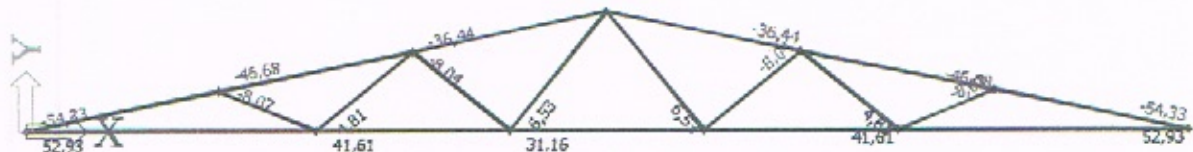
Obrázek 1 - Geometrie



Obrázek 2 - Jednotkové zatížení [kN/m]

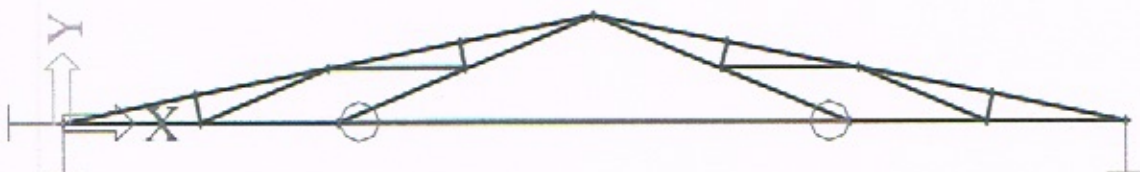


Obrázek 3 - N [kN]

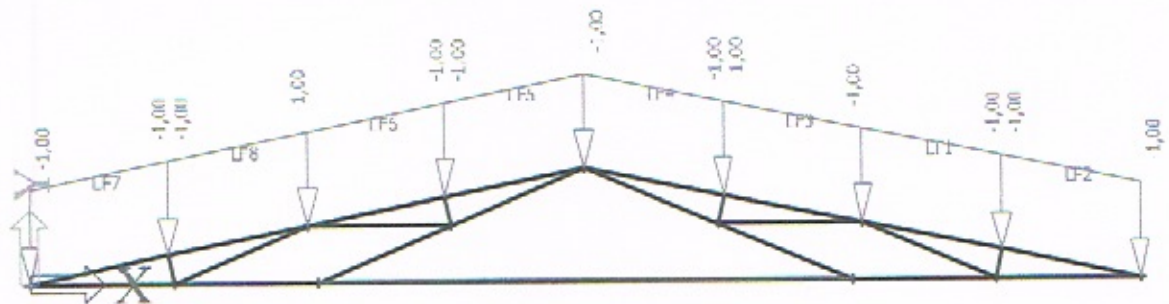


Varianta 2

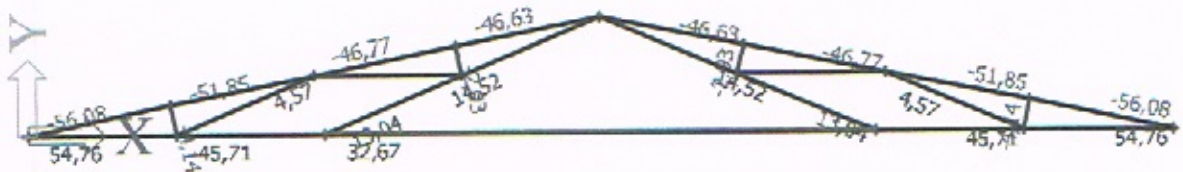
Obrázek 4- Geometrie



Obrázek 5 - Jednotkové zatížení [kN/m]

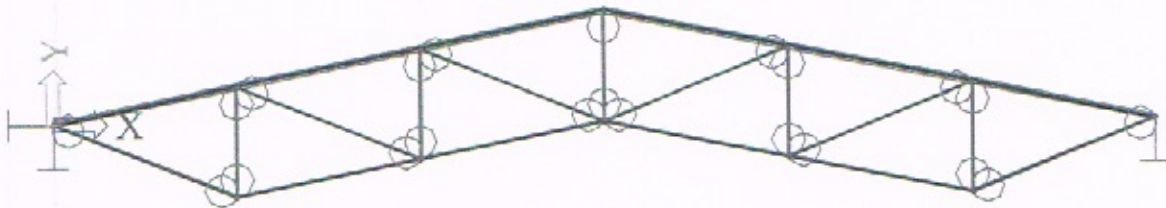


Obrázek 6 - N [kN]

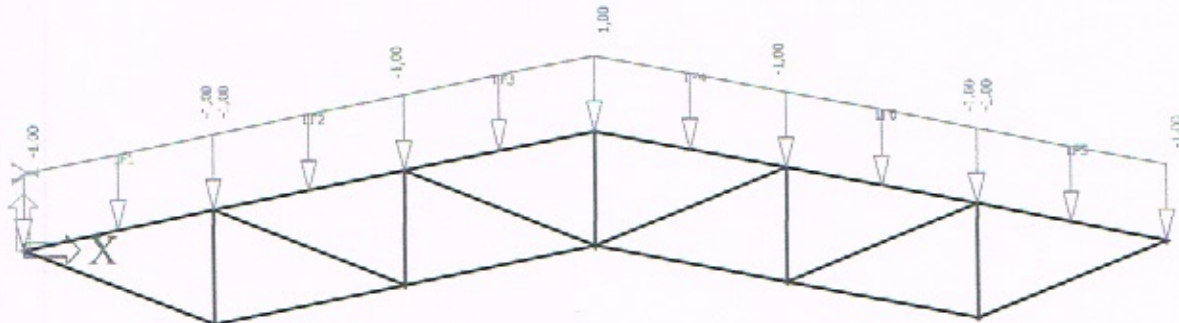


Varianta 3

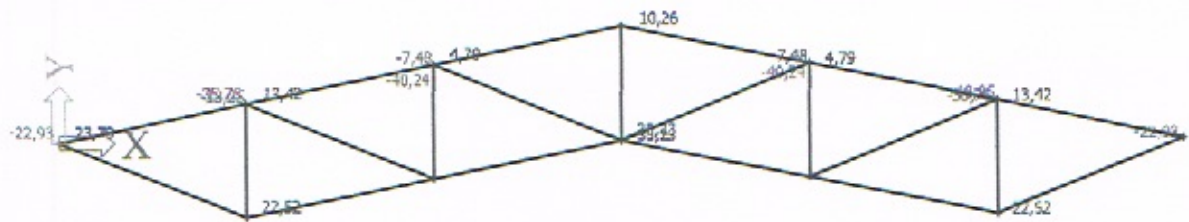
Obrázek 7- Geometrie



Obrázek 8 - Jednotkové zatížení [kN/m]

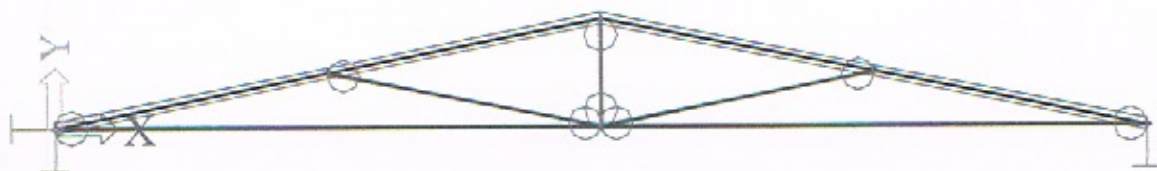


Obrázek 9 - N [kN]

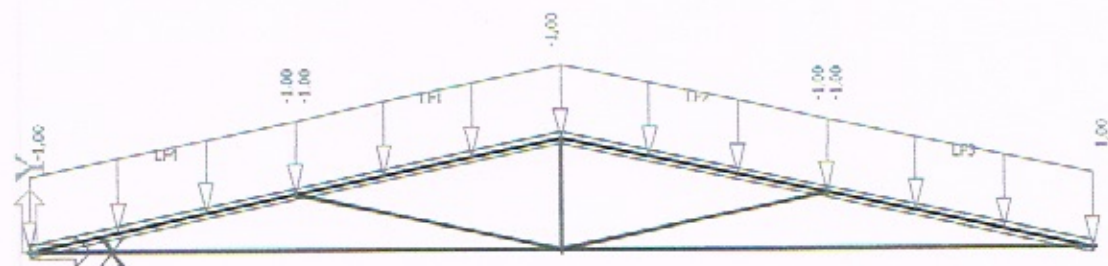


Varianta 4

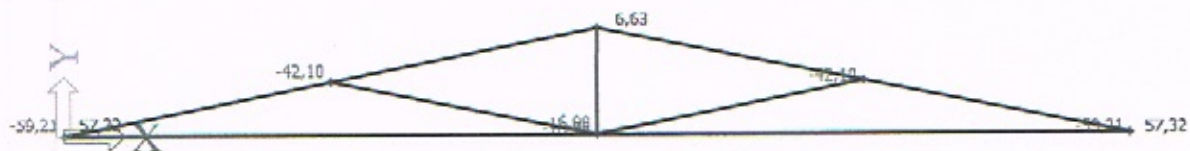
Obrázek 10- Geometrie



Obrázek 11 - Jednotkové zatížení [kN/m]



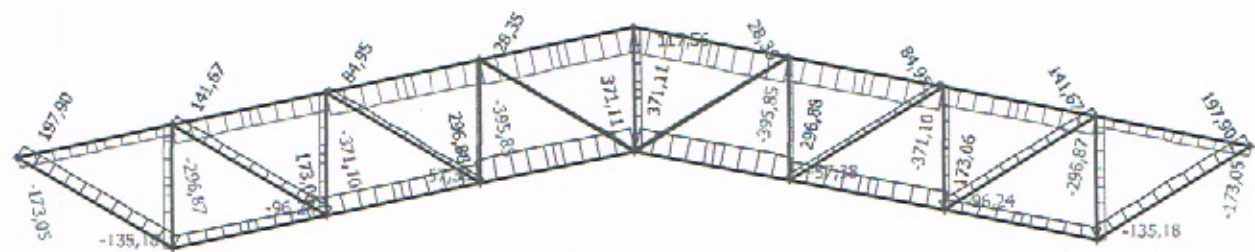
Obrázek 12 - N [kN]



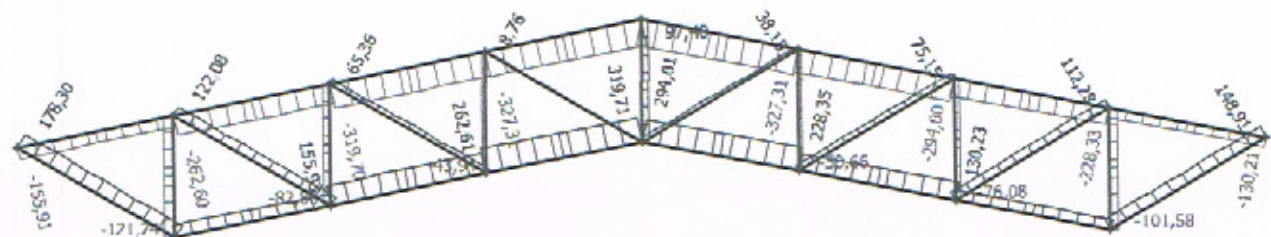
Vazník Hala I. a III. – Ocel

Normálové síly na vazníku

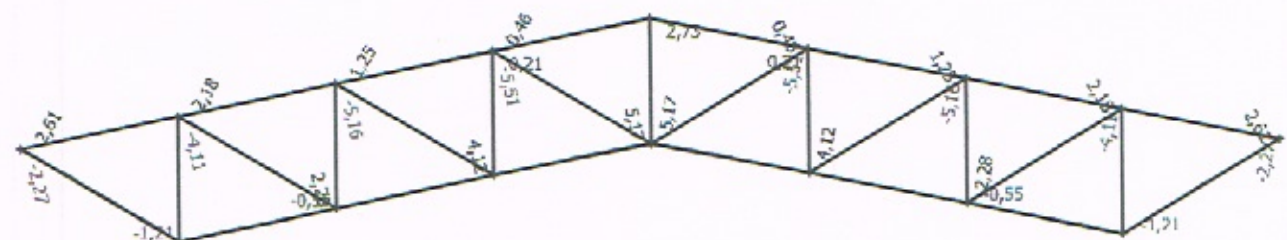
Obrázek 13 - CO1 -



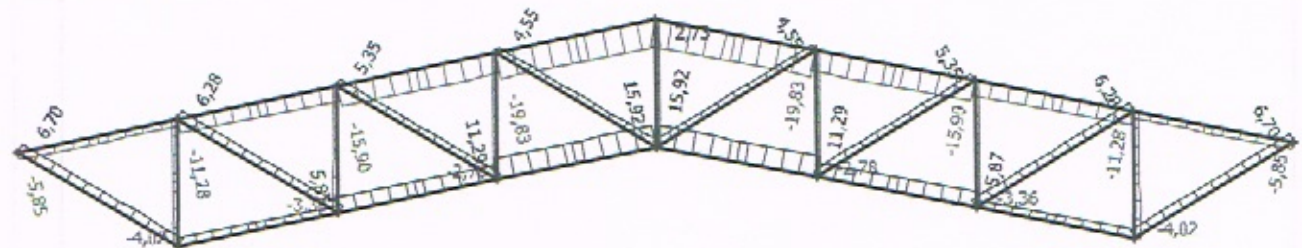
Obrázek 14 - CO2 -



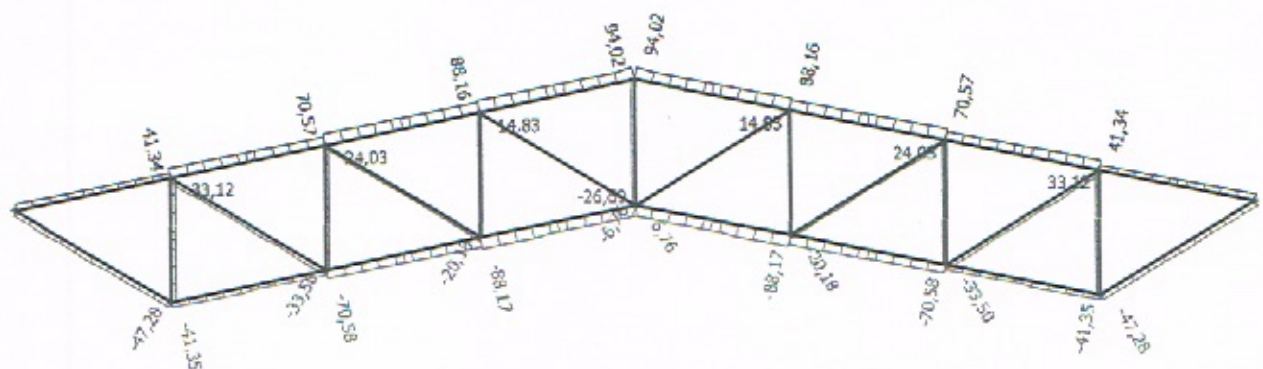
Obrázek 15 - CO3 -



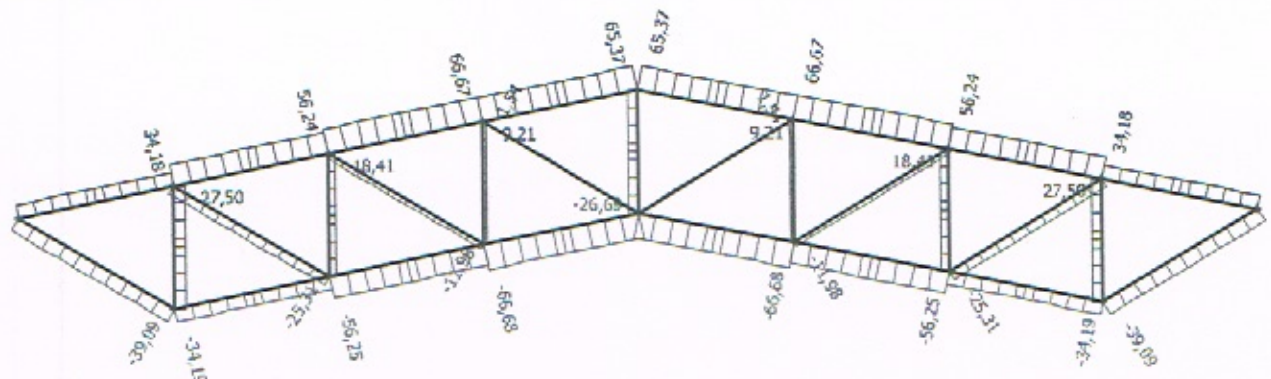
Obrázek 16 - CO4 -



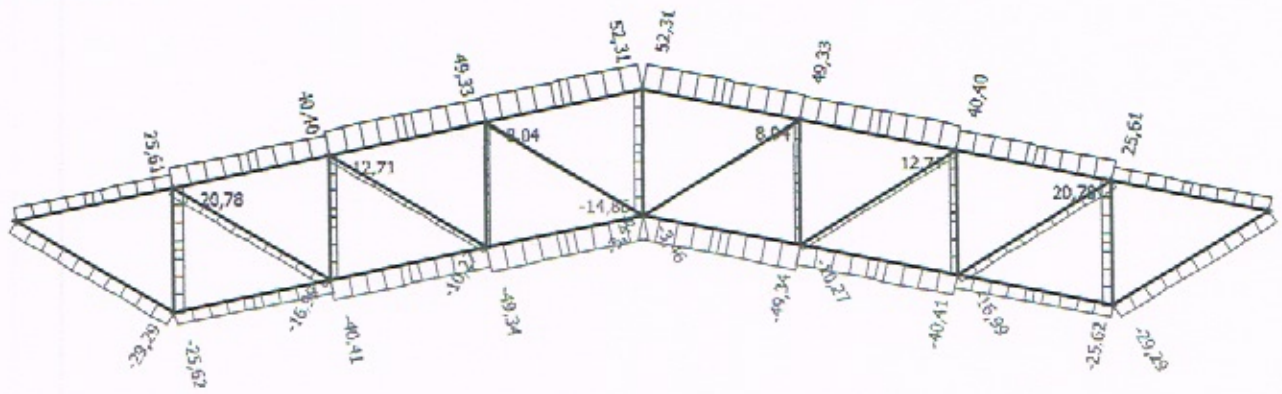
Obrázek 17 - CO5 -



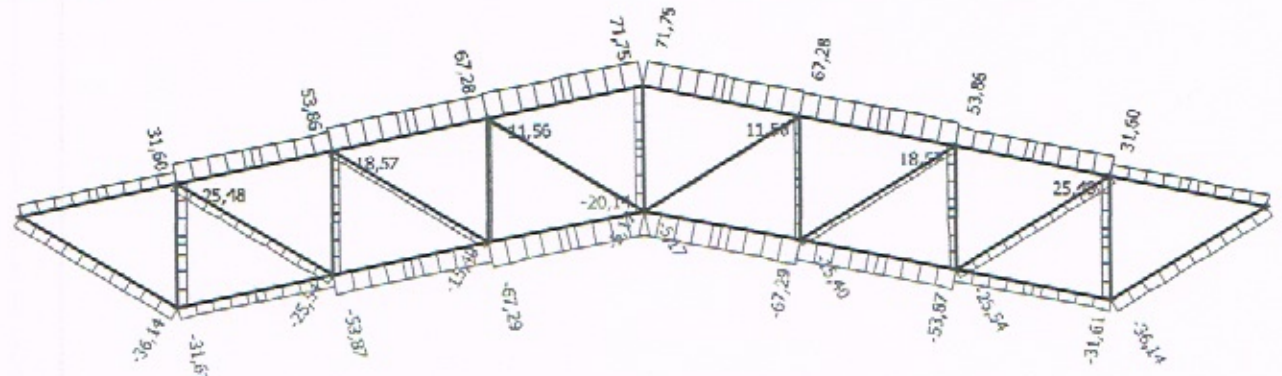
Obrázek 18 - CO6 -



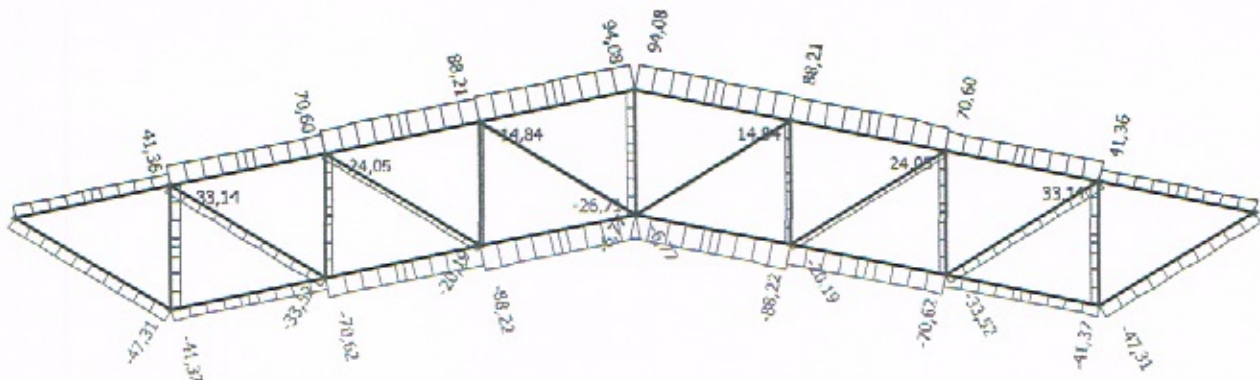
Obrázek 19 - CO7 -



Obrázek 20 - CO8 -

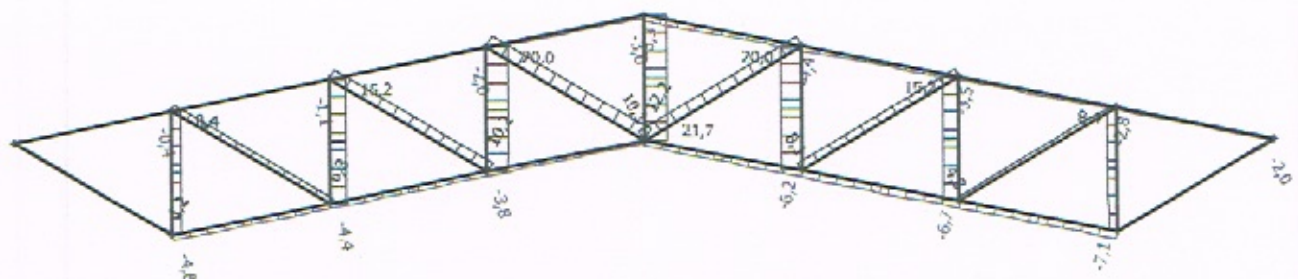


Obrázek 21 - CO9 -



Průhyb od návrhového zatížení

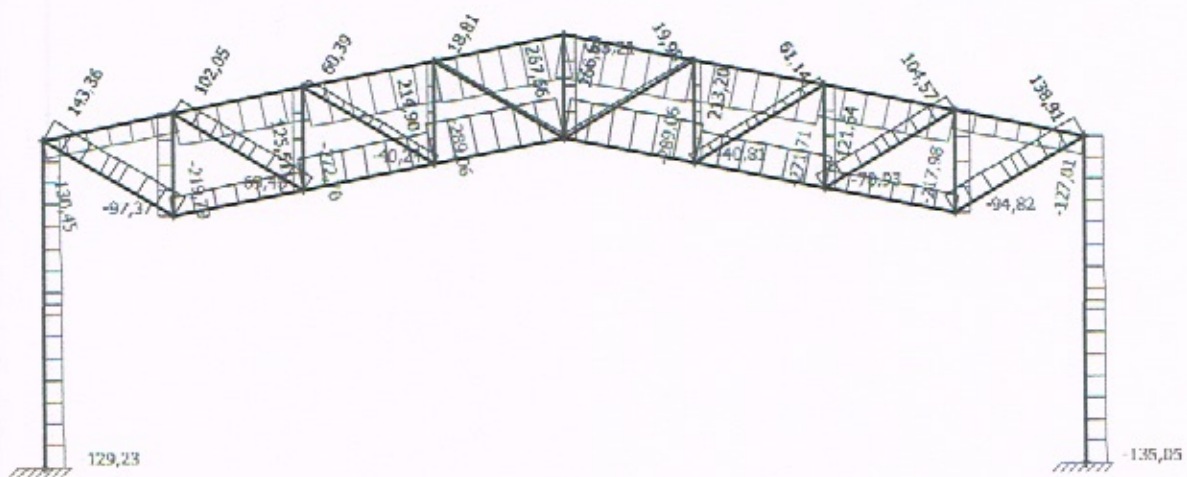
Obrázek 22 - MSP



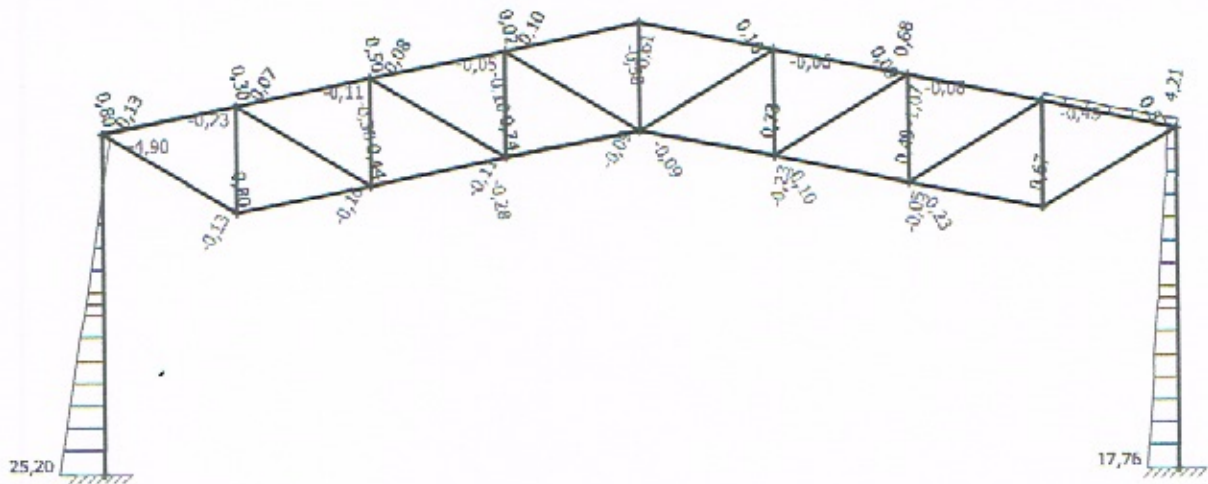
Sloup – Hala I. a III.

CO1 – $G_{\max} + S_{\max} + \psi W_{\text{přičný}}$

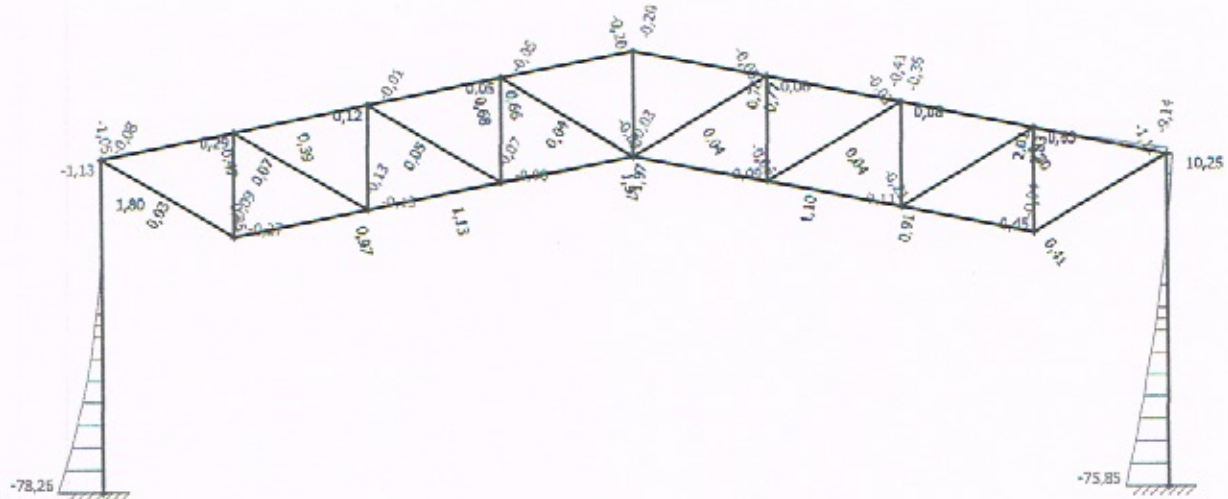
Obrázek 23 - $N [kN]$



Obrázek 24 - V [kN]

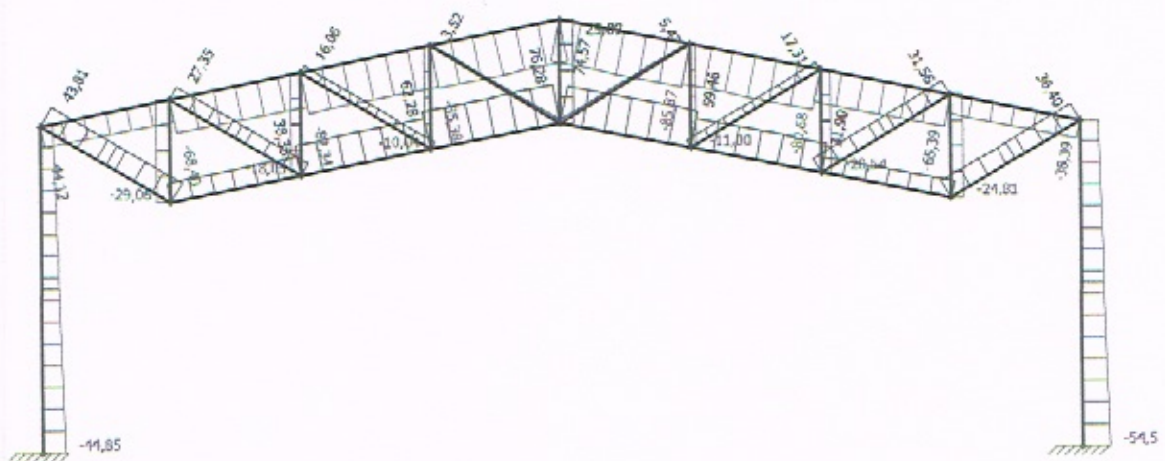


Obrázek 25 - M [kNm]

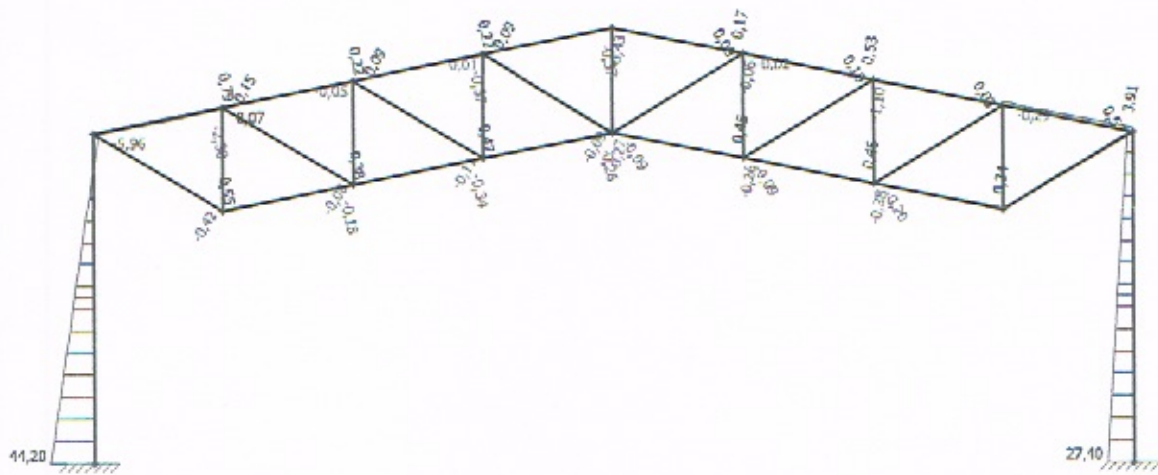


$$CO_2 - G_{\max} + \psi S_{\max} + W_{\text{příčný}}$$

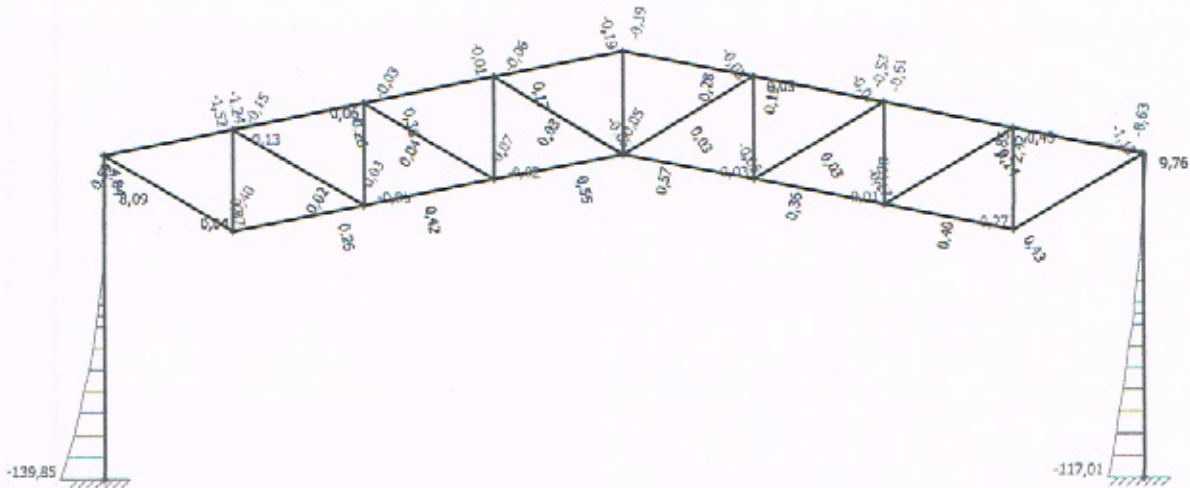
Obrázek 26 - N [kN]



Obrázek 27 - V [kN]

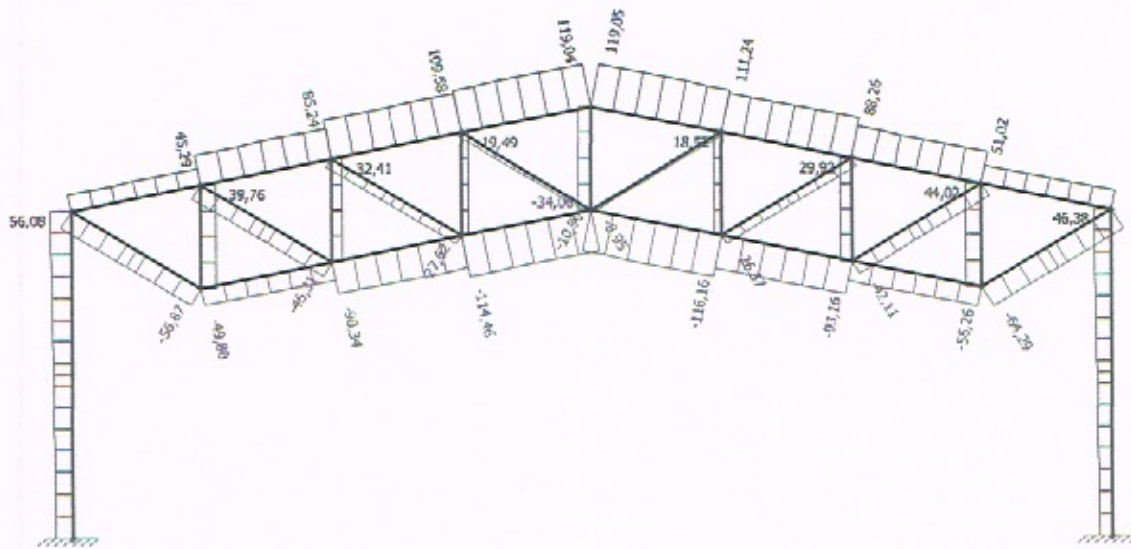


Obrázek 28 - M [kNm]

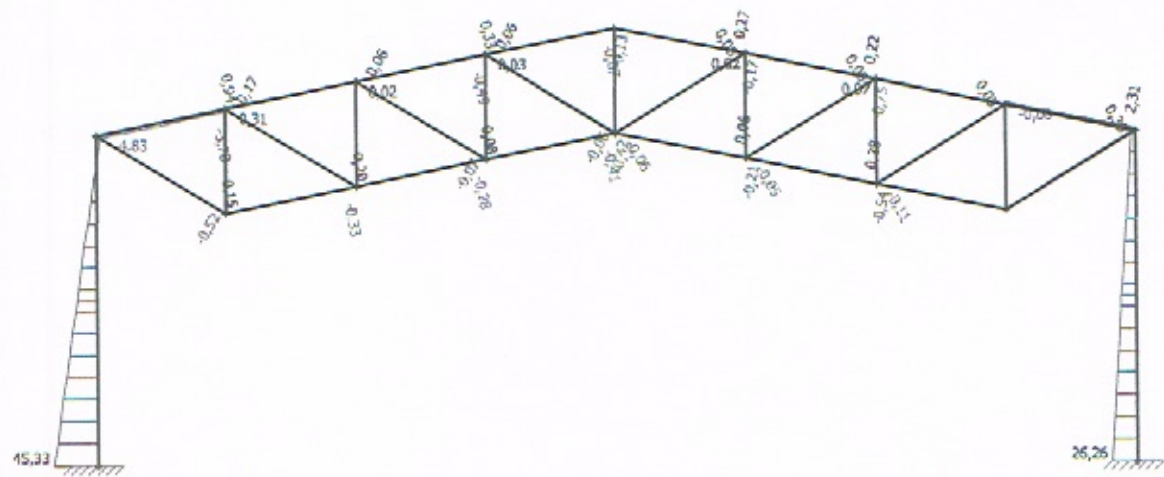


CO3 - $G_{\min} + W_{\text{přčný}}$

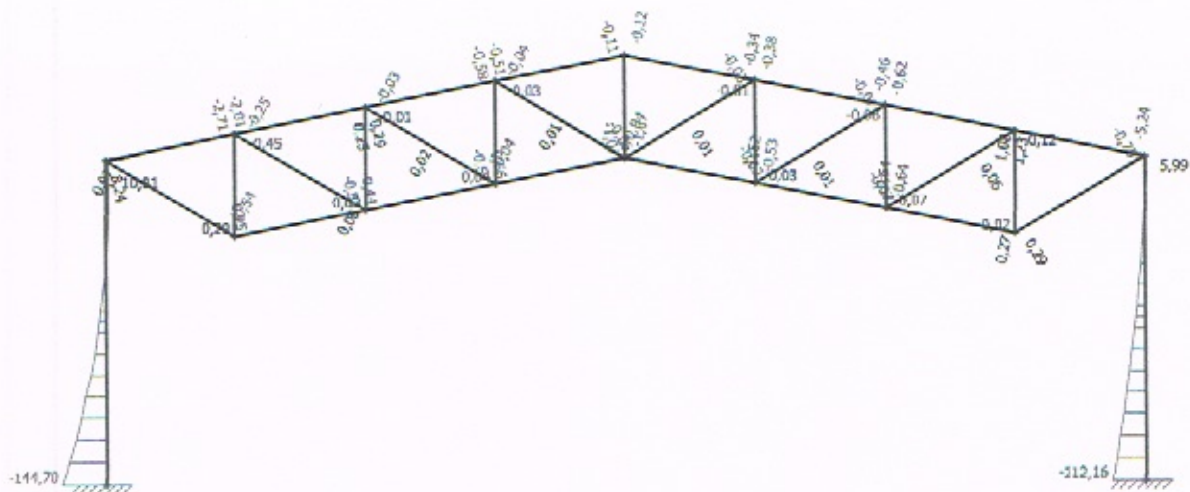
Obrázek 29 - N [kN]



Obrázek 30 - V [kN]

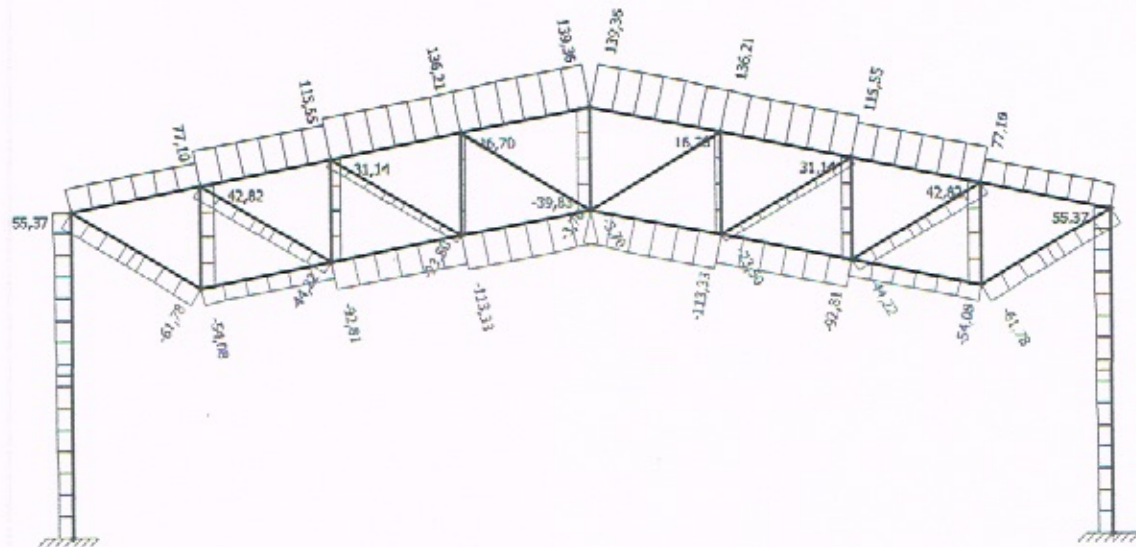


Obrázek 31 - M [kNm]

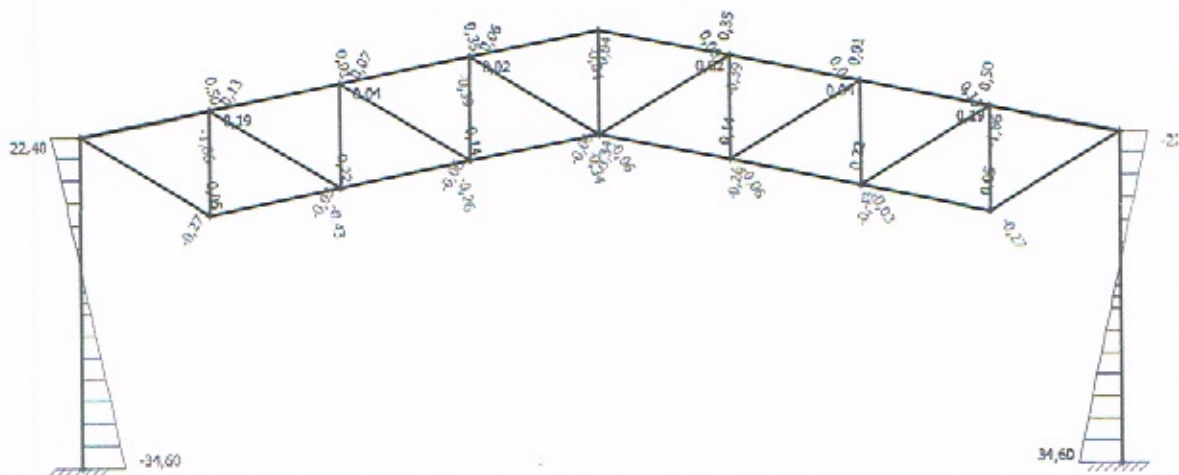


CO4 – 1 – $G_{\min} + W_{\text{podélný}}$

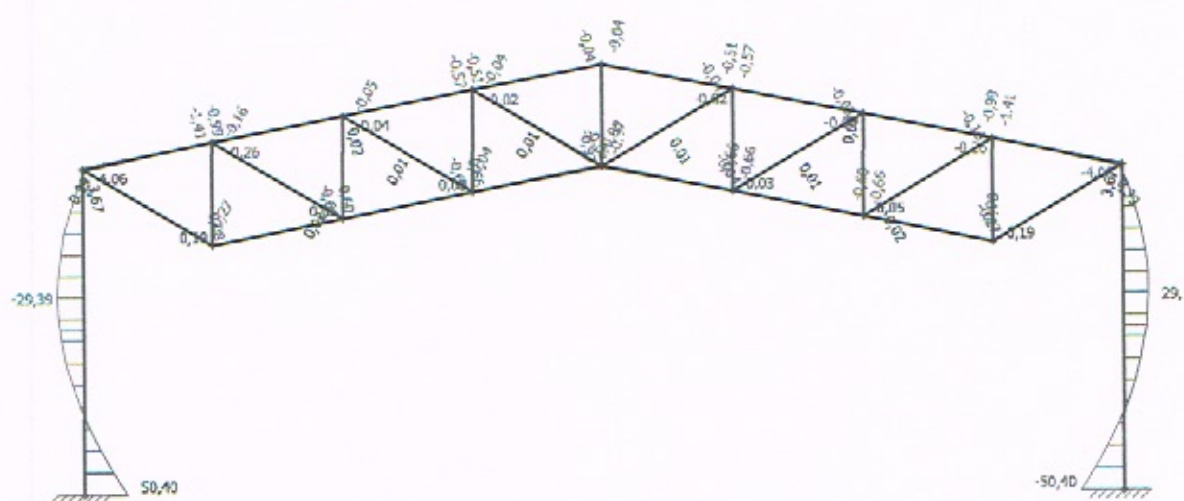
Obrázek 32 - N [kN]



Obrázek 33 - V [kN]

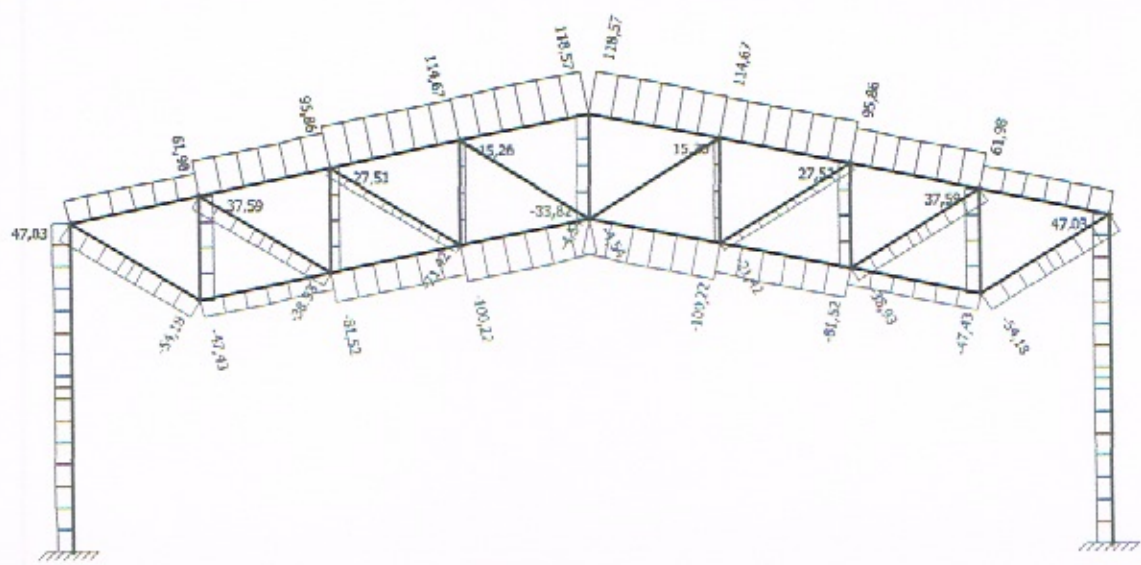


Obrázek 34 - M [kNm]

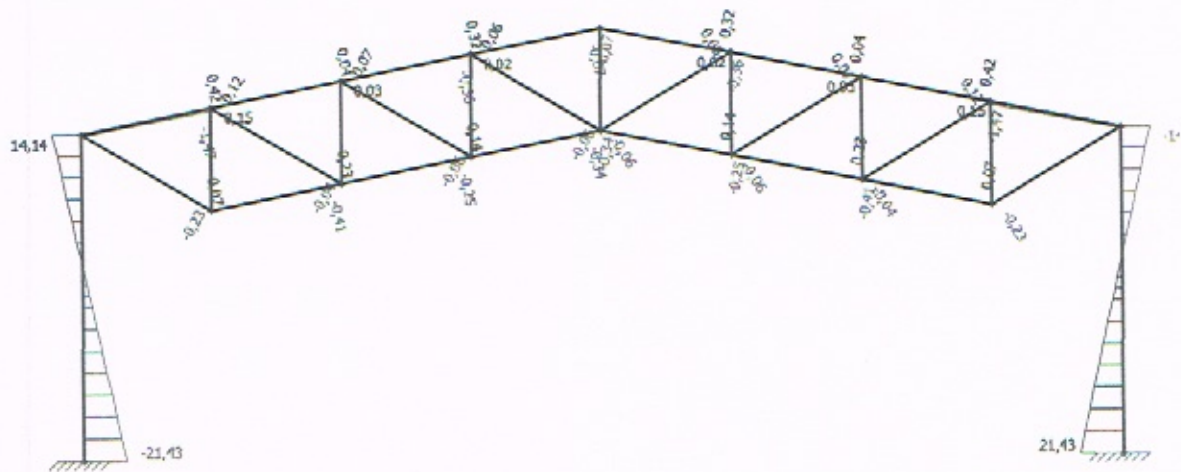


CO4 – 2 – G_{min} + W_{podélný}

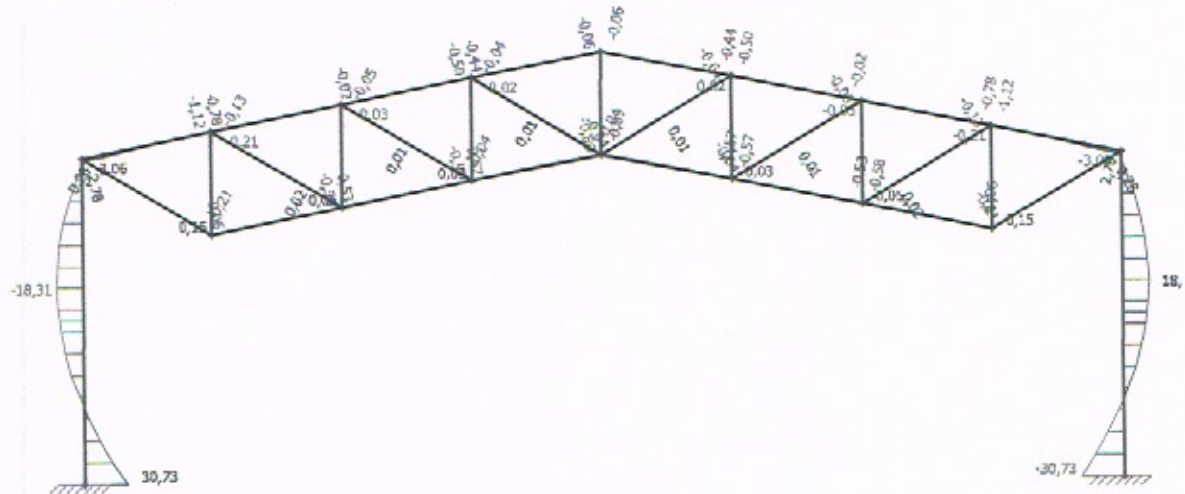
Obrázek 35 - N [kN]



Obrázek 36 - V [kN]



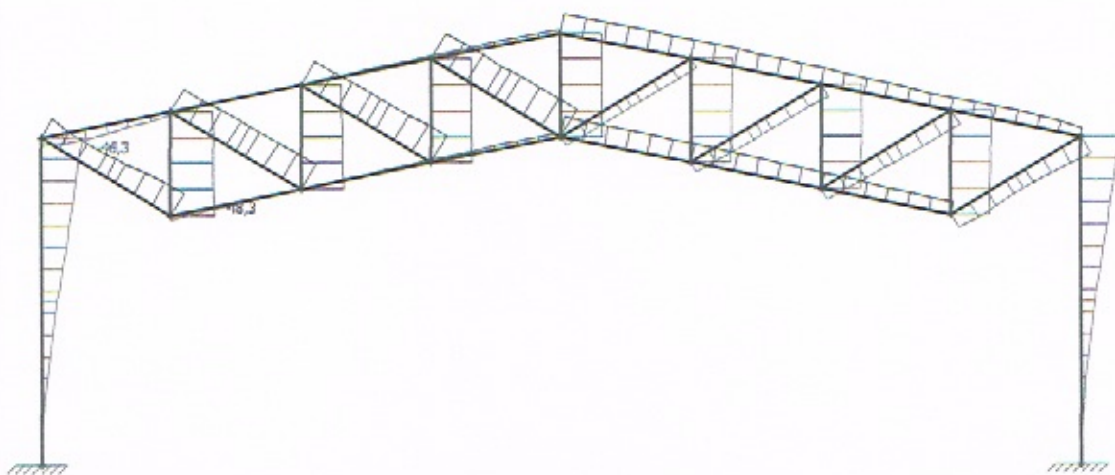
Obrázek 37 - M [kNm]



MSP – rozhoduje KZ3

Návrhové hodnoty

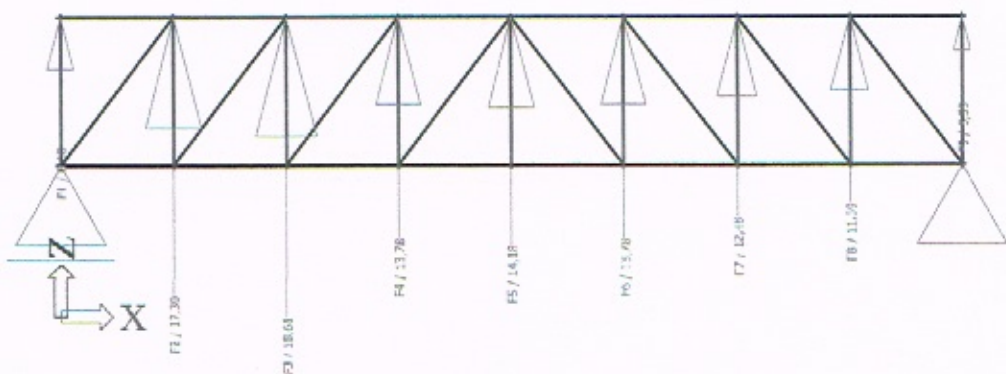
Obrázek 38 - MSP [mm]



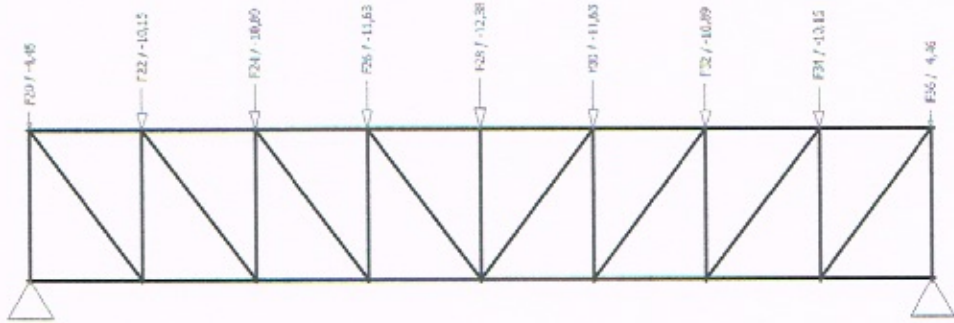
Ztužení haly I. a III.

Zatížení

Obrázek 39 - max. Sání

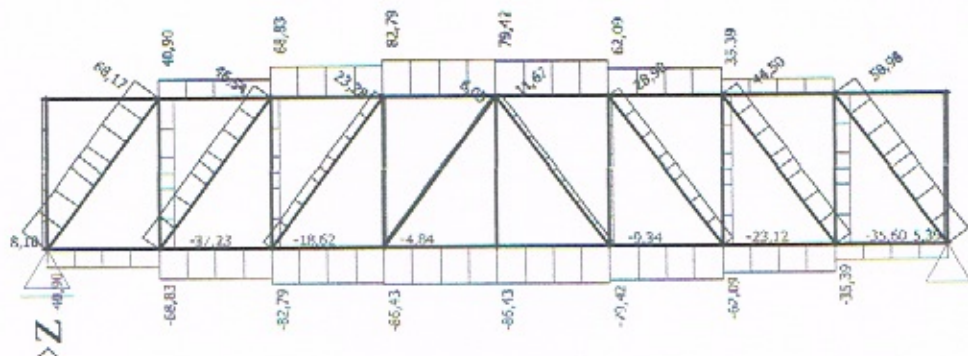


Obrázek 40 - max. tlak

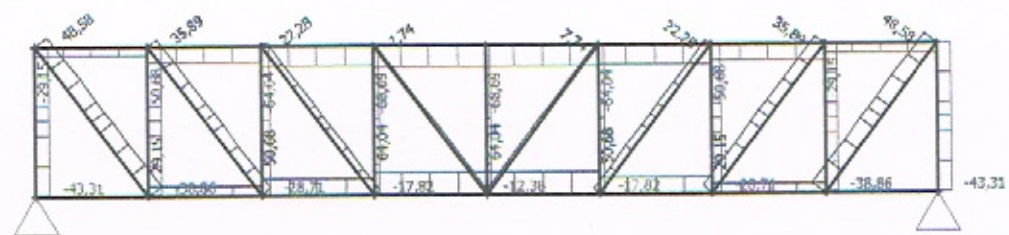


Vnitřní síly

Obrázek 41 - N [kN]



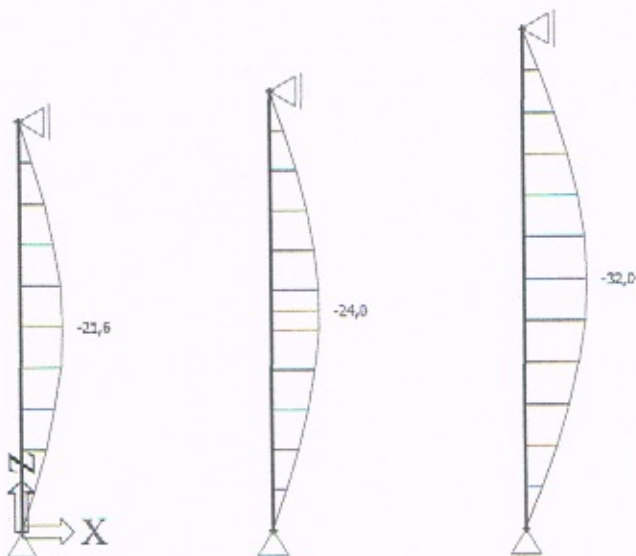
Obrázek 42 - N [kN]



Štitová stěna

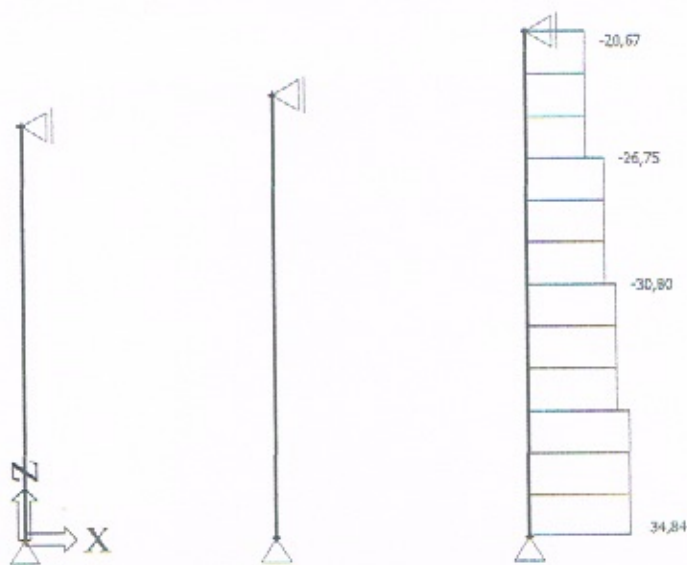
MSP – výběr kritického sloupku

Obrázek 43 - MSP [mm]



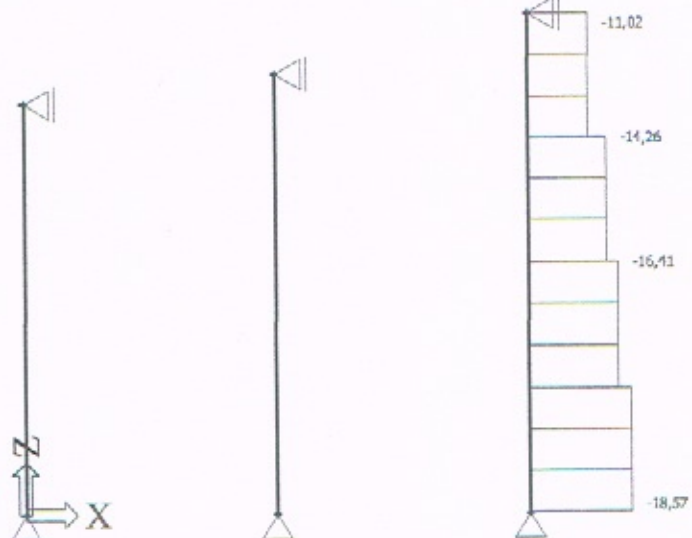
Kombinace G + S

Obrázek 44 - N [kN]

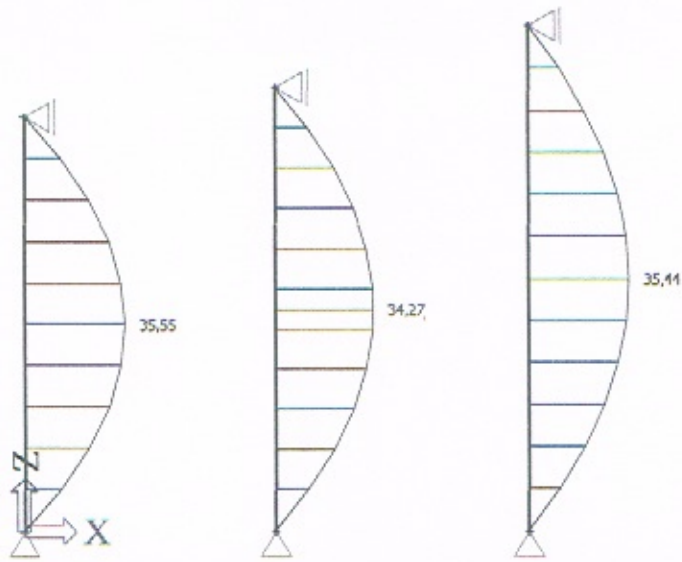


Kombinace Gmin + W

Obrázek 45 - N [kN]



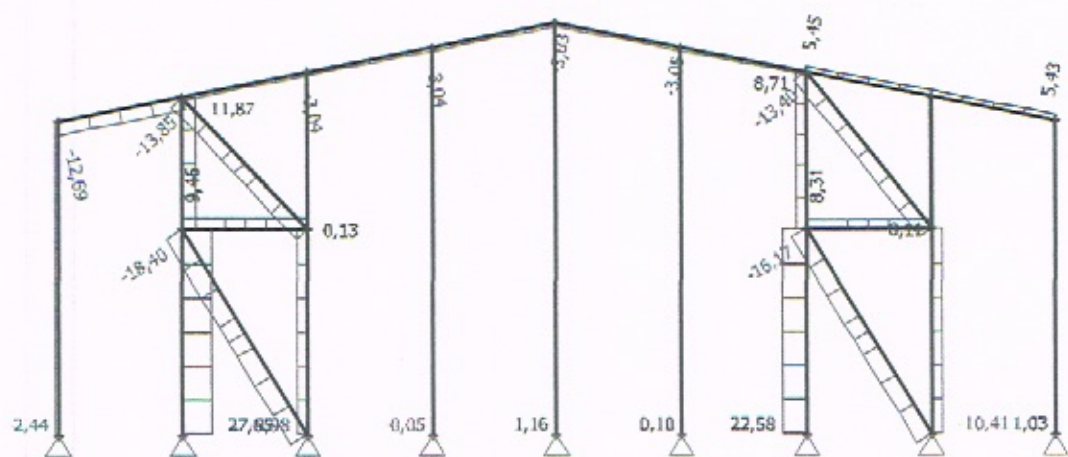
Obrázek 46 - M [kNm]



Příčné ztužení ve štítu

Vnitřní síly na ztužidla

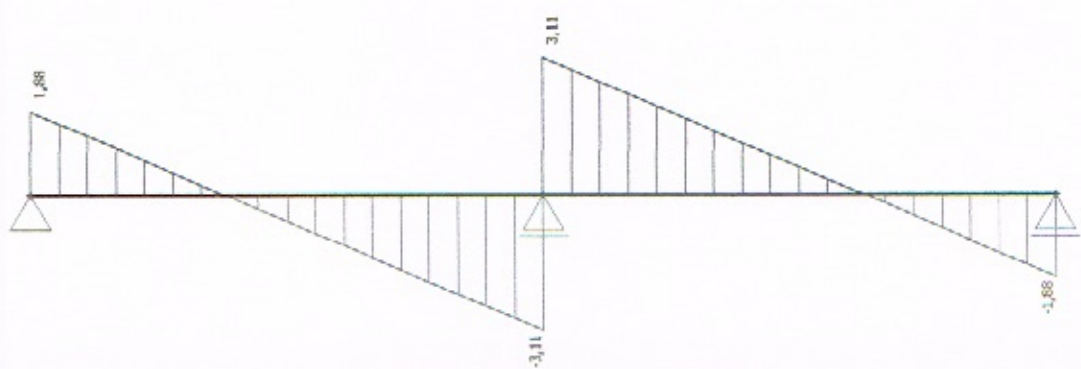
Obrázek 47 - N [kN]



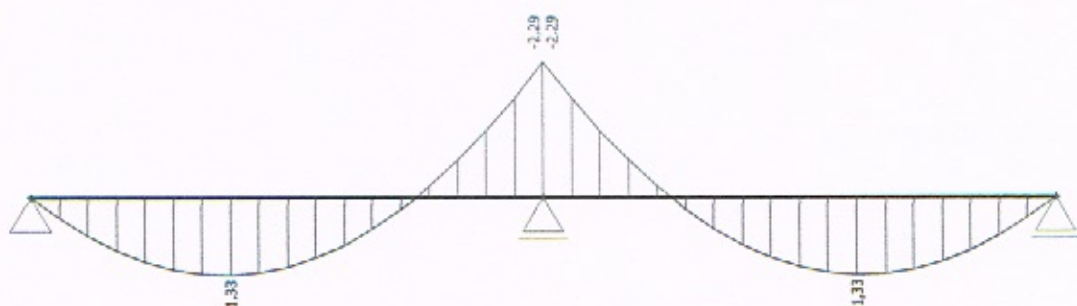
Střešní panel

Vnitřní sily

Obrázek 48 - V [kN]

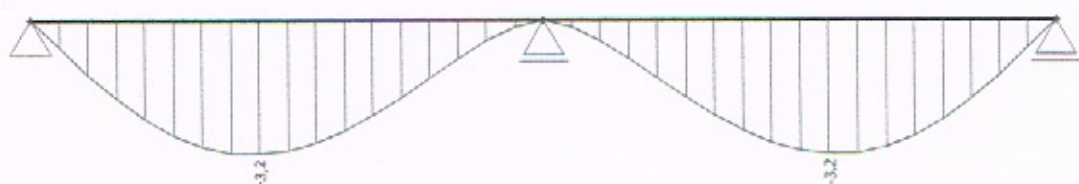


Obrázek 49 - M [kNm]



MSP – průhyb nosníku

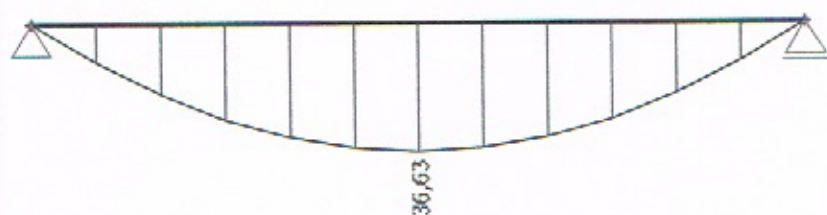
Obrázek 50 - Průhyb [mm]



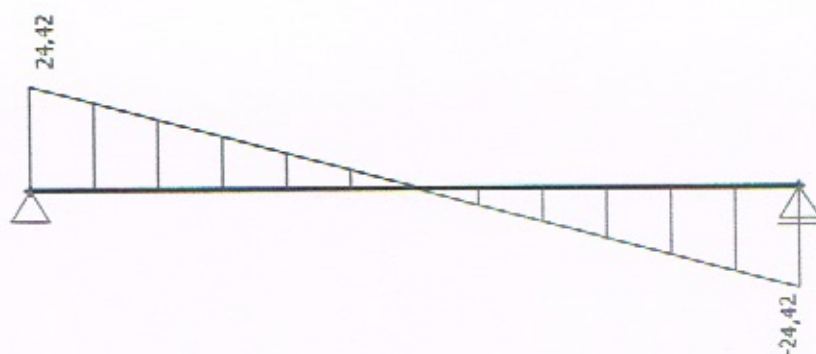
Vaznice

Vnitřní síly

Obrázek 51 - M [kNm]



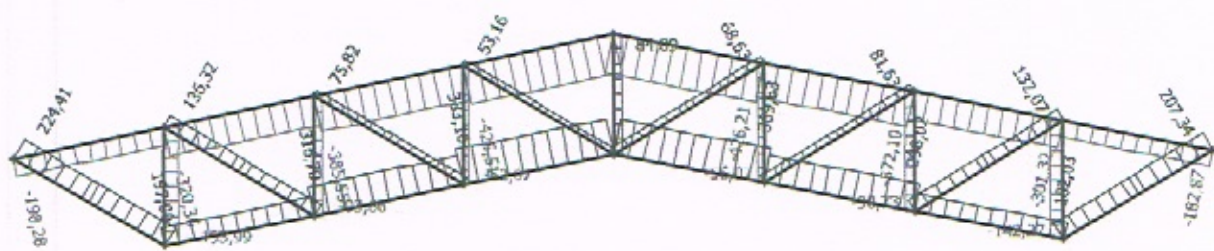
Obrázek 52 - V [kN]



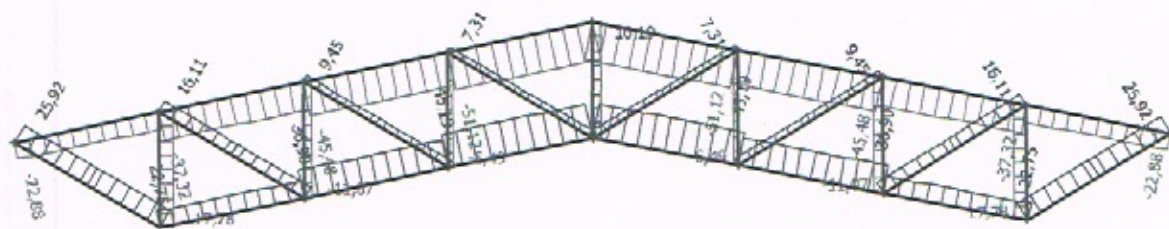
Vazník Dřevo-ocel

Normálové síly

Obrázek 53 - N [kN] - kombinace G+0,5S

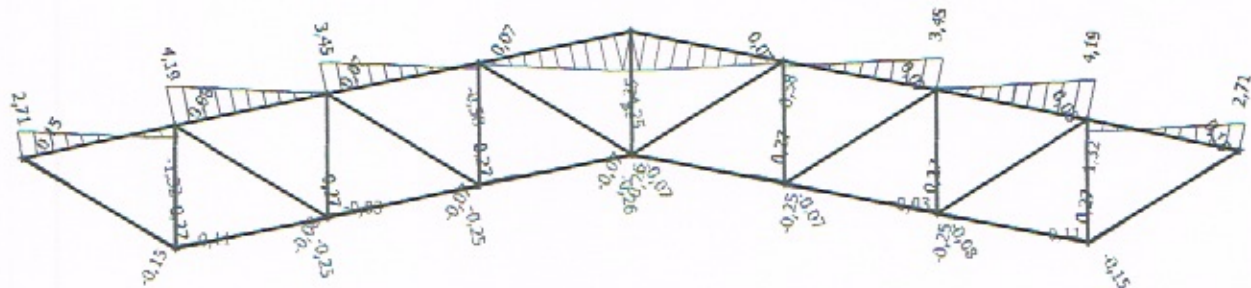


Obrázek 54 - N [kN] - kombinace Gmin + Wsání

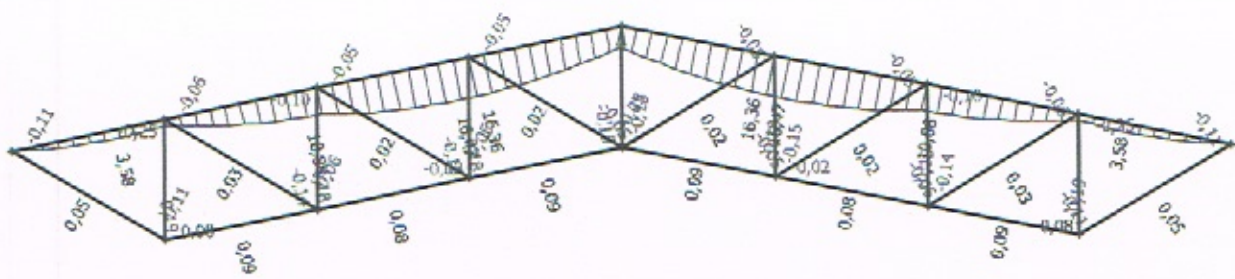


Vnitřní síly od vlastní tíhy

Obrázek 55 - V [kN]



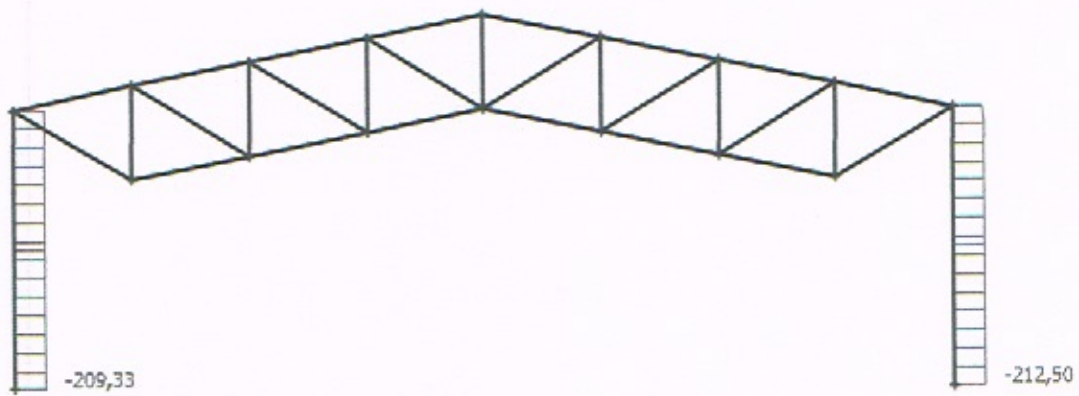
Obrázek 56 - M [kNm]



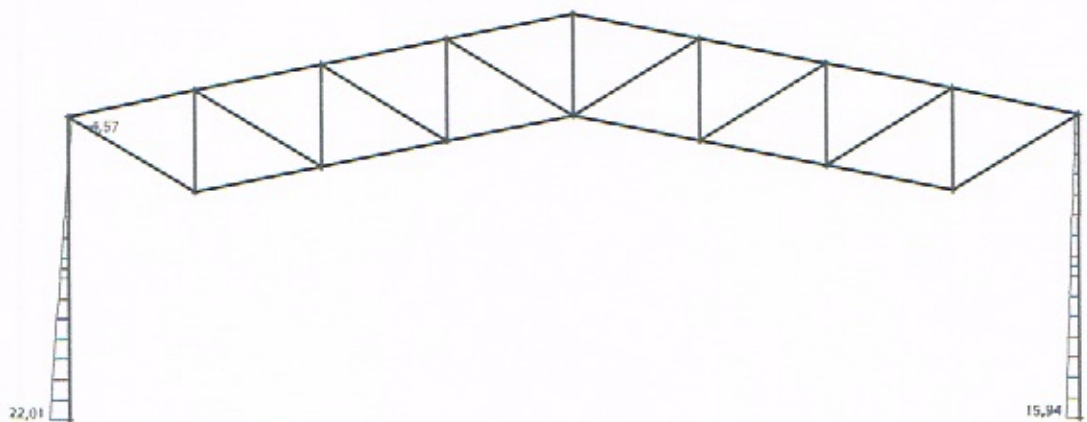
Ocelový sloup – vazník DK – OK

CO1

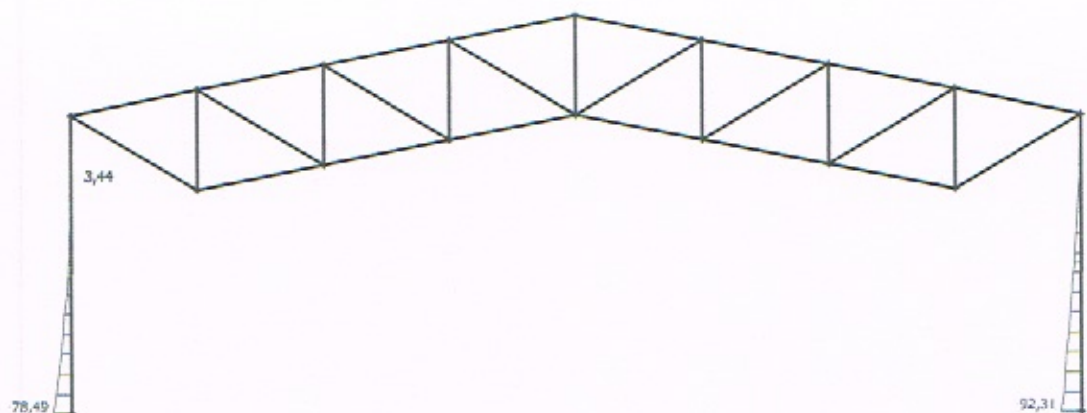
Obrázek 57 - N [kN]



Obrázek 58 - V [kN]

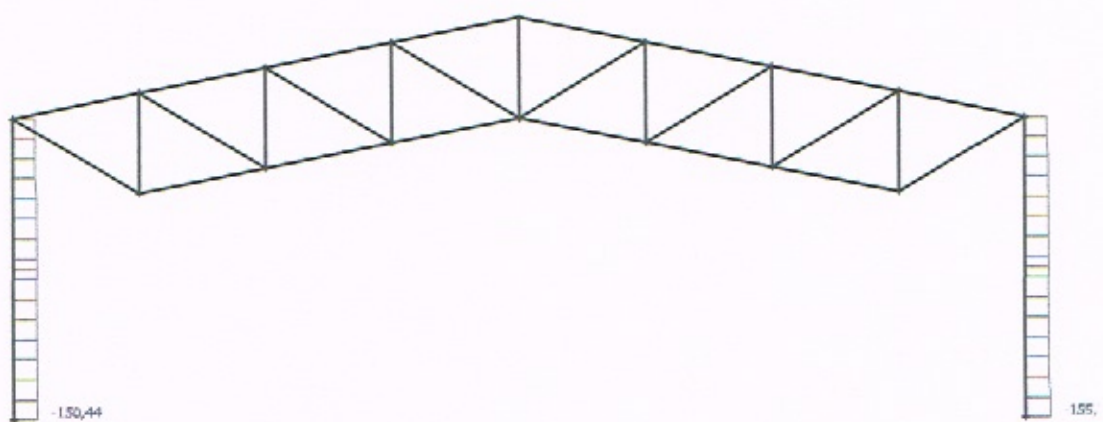


Obrázek 59 - M [kNm]

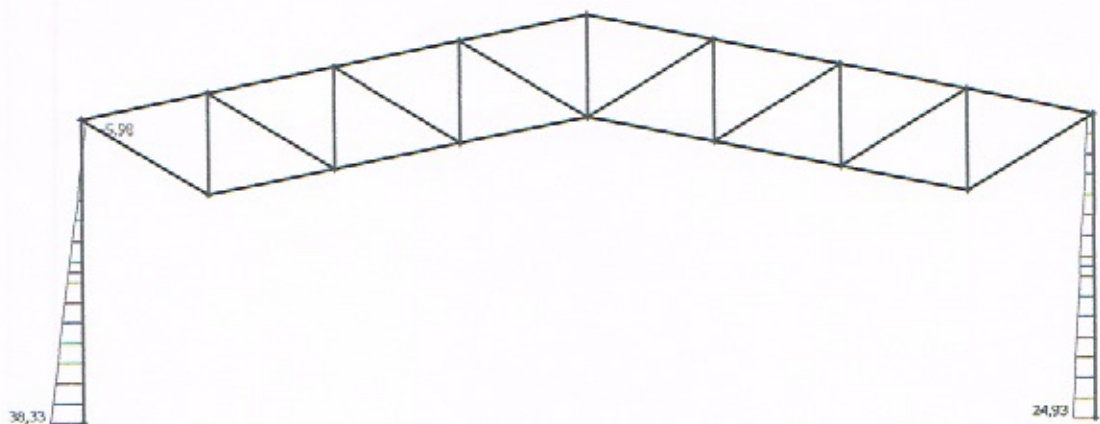


CO2

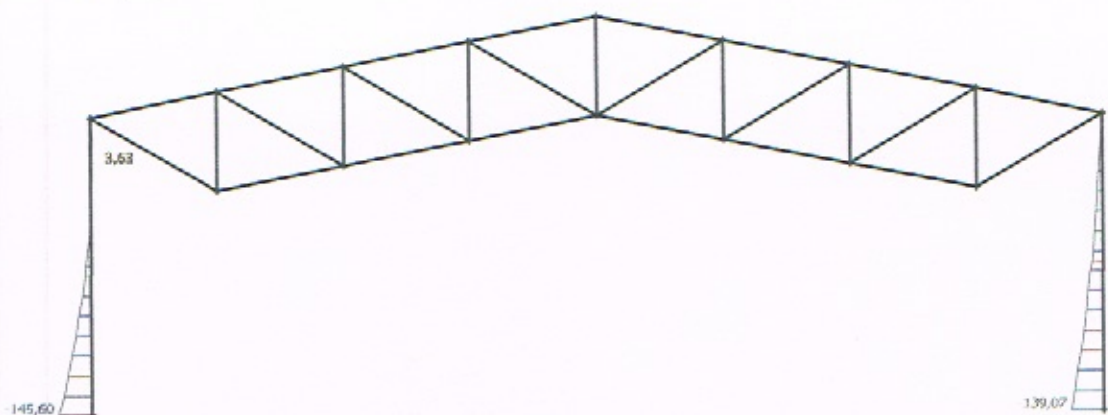
Obrázek 60 - N [kN]



Obrázek 61 - V [kN]

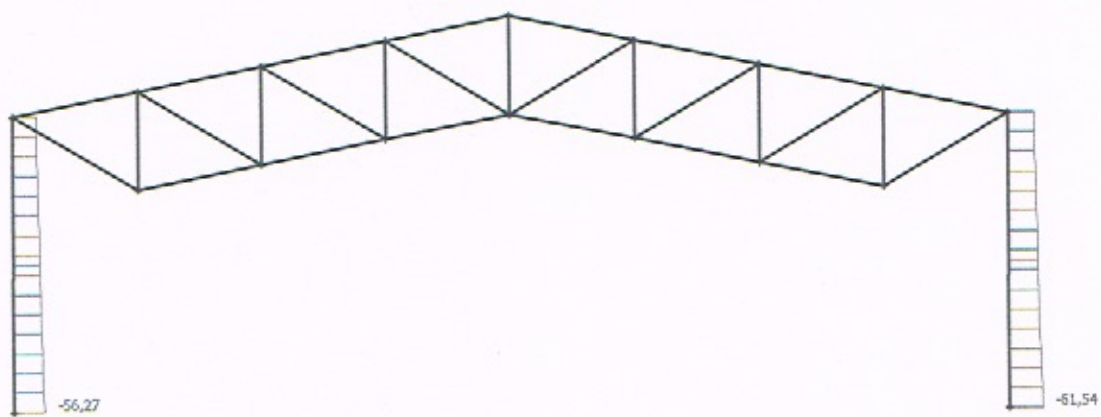


Obrázek 62 - M [kNm]

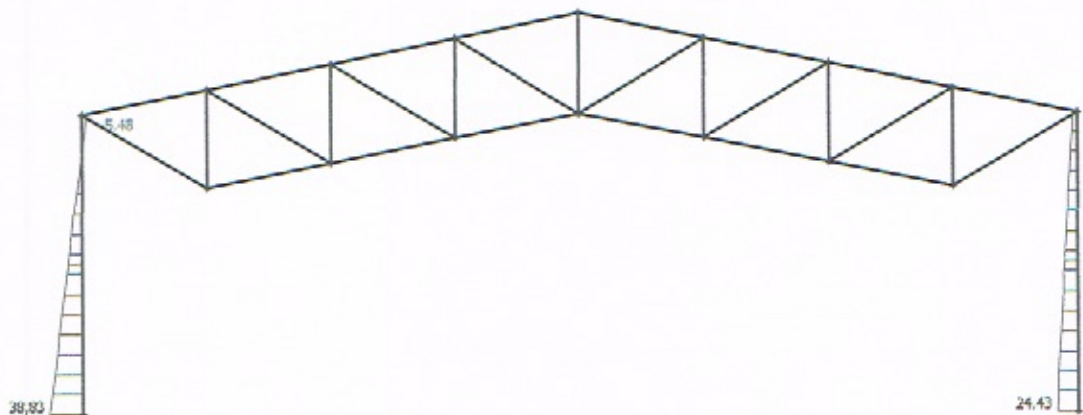


CO3

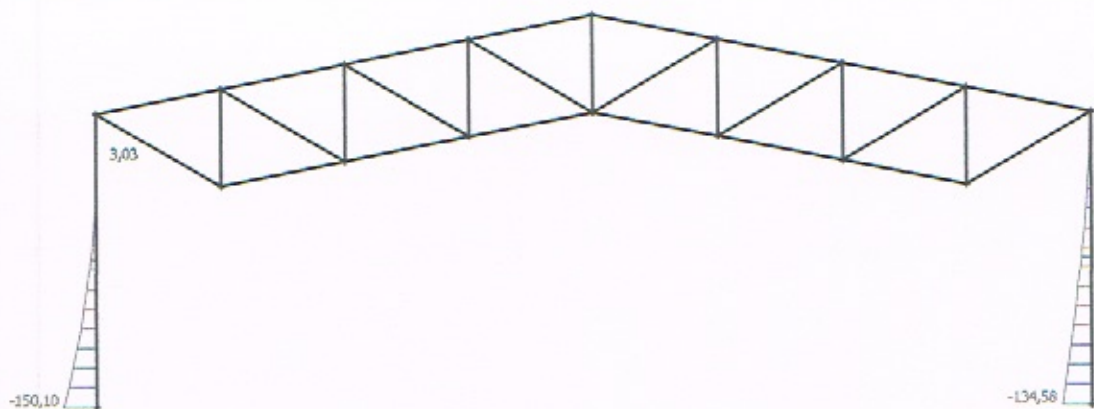
Obrázek 63 - N [kN]



Obrázek 64 - V [kN]

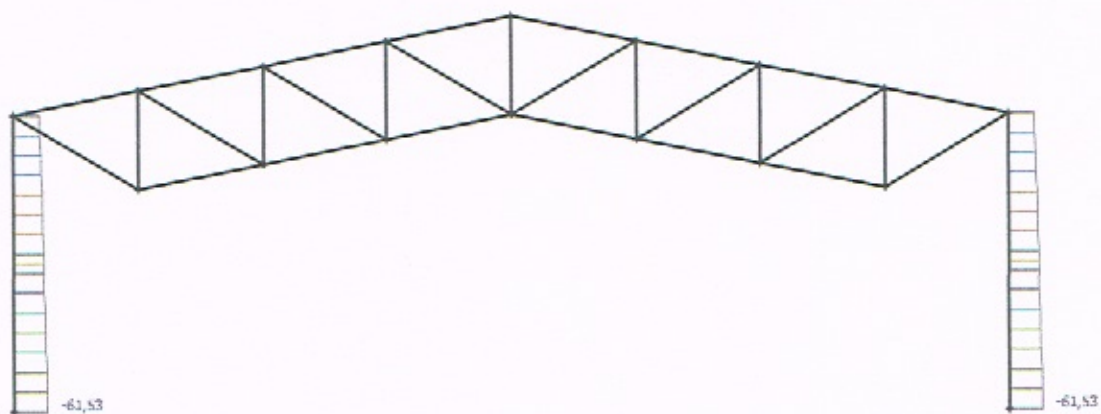


Obrázek 65 - M [kNm]

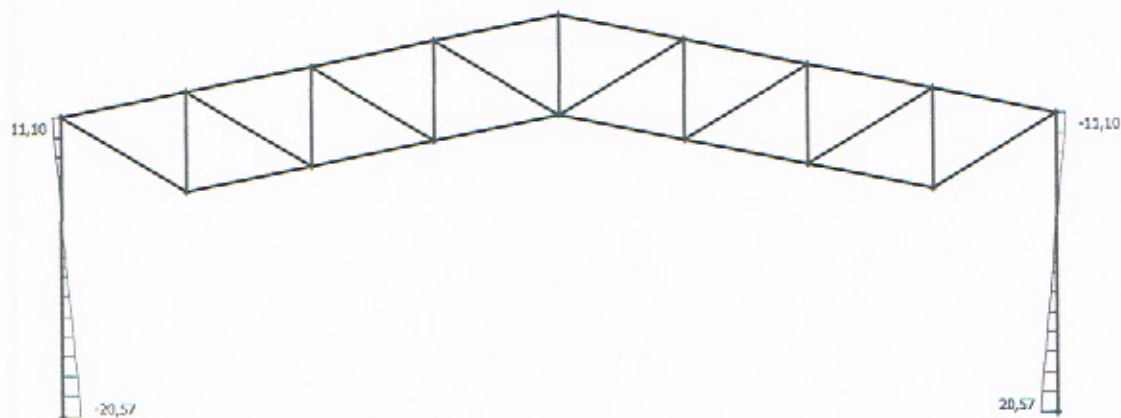


CO4

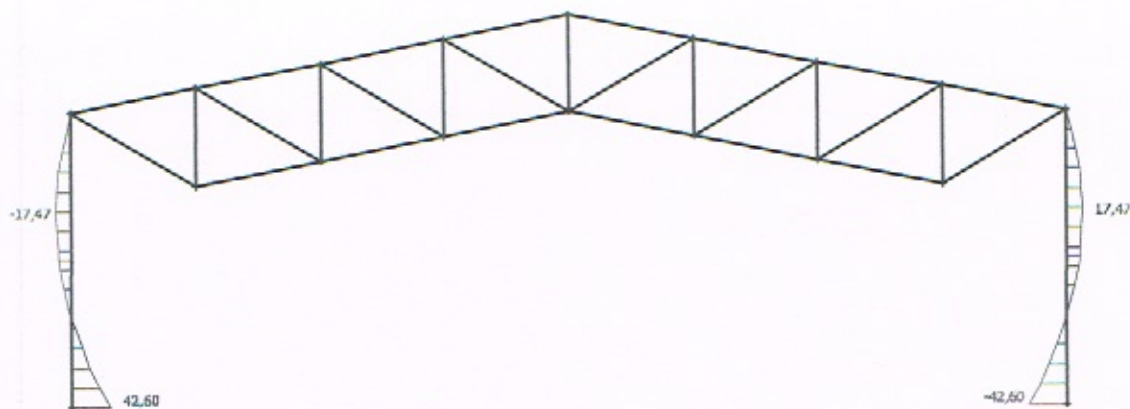
Obrázek 66 - N [kN]



Obrázek 67 - V [kN]



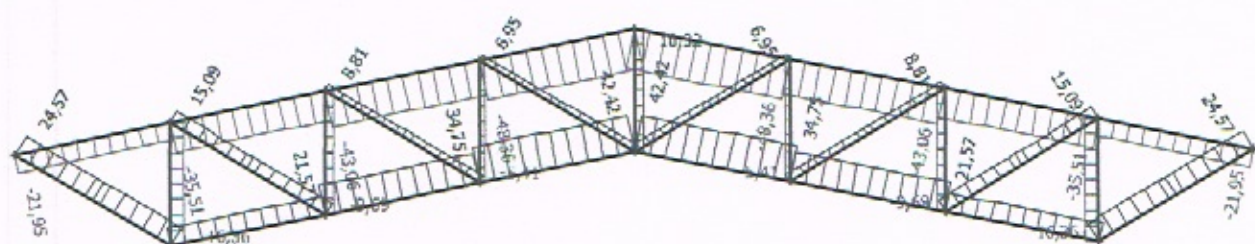
Obrázek 68 - M [kNm]



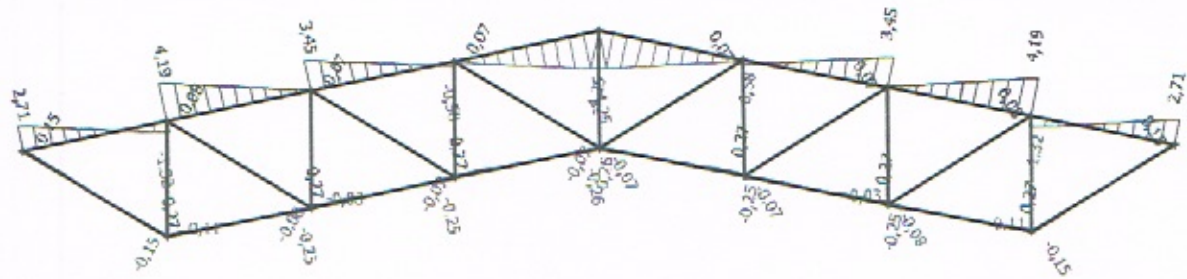
Vazník DK – OK

Zatížení od vlastní tíhy

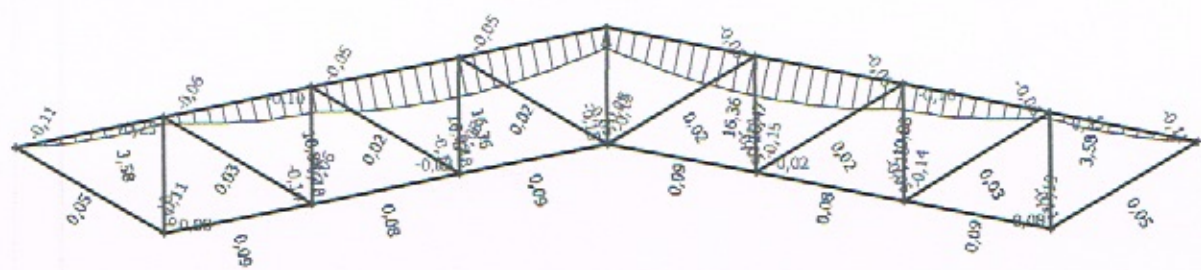
Obrázek 69 - N [kN]



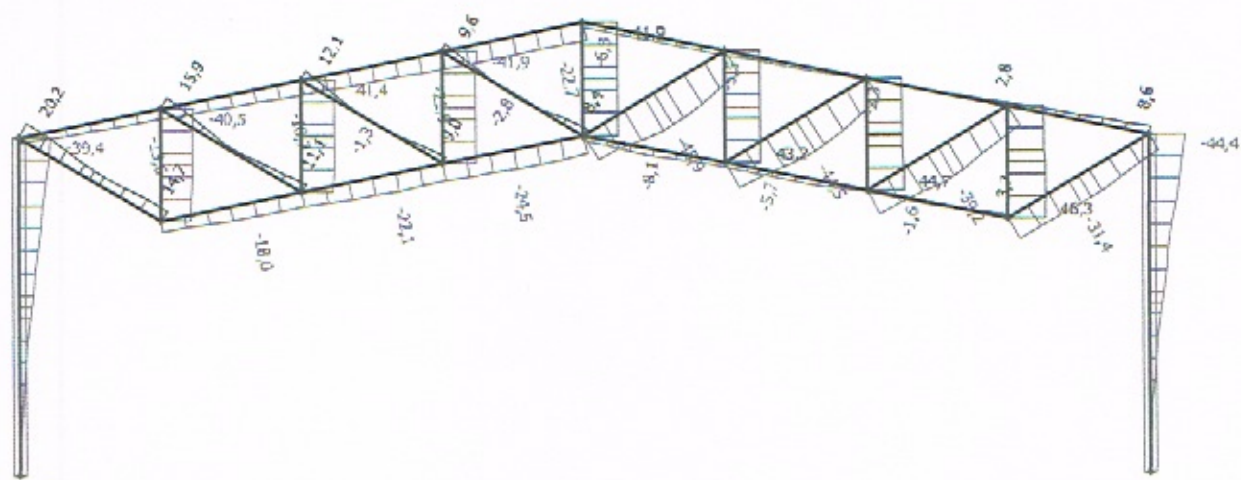
Obrázek 70 - V [kN]



Obrázek 71 - M [kNm]

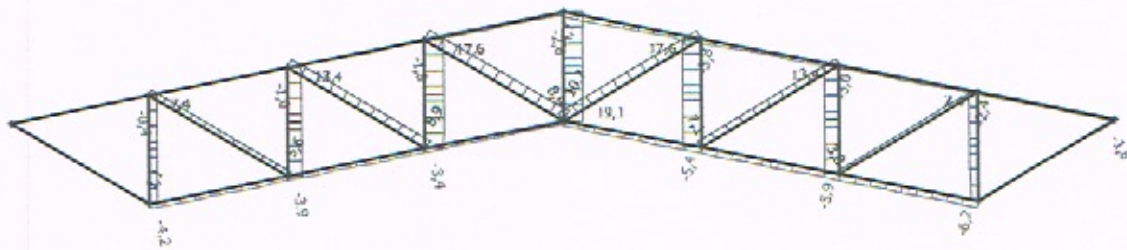


Obrázek 72 - maximalní posun -[mm]

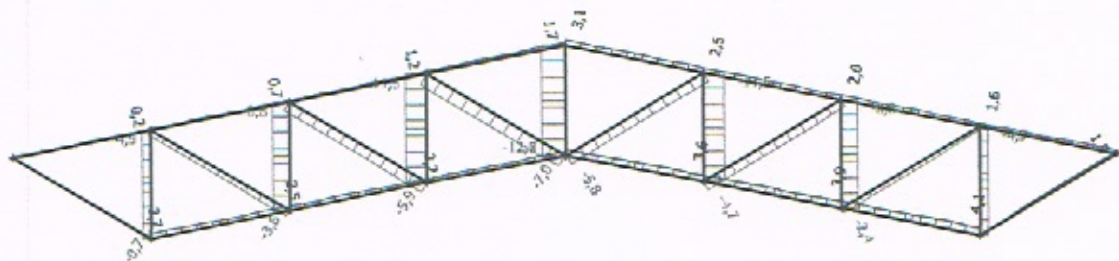


Ad1) Průhyb ocelového vazníku

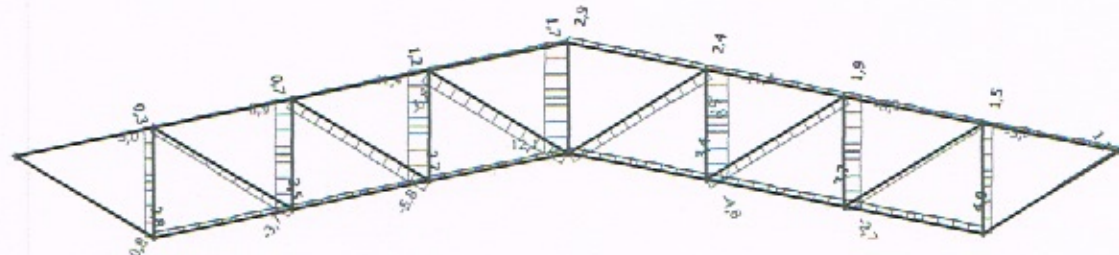
Obrázek 73 - průhyb od sněhu [mm]



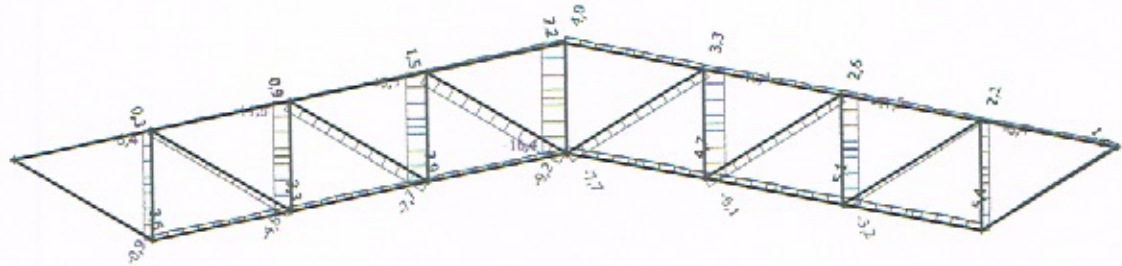
Obrázek 74 - průhyb od větru h [mm]



Obrázek 75 - průhyb od větru f+h [mm]



Obrázek 76 - průhyb vitr g+h [mm]



Seznam obrázků

- Obrázek 1 - Geometrie
- Obrázek 2 - Jednotkové zatížení [kN/m]
- Obrázek 3 - N [kN]
- Obrázek 4- Geometrie
- Obrázek 5 - Jednotkové zatížení [kN/m]
- Obrázek 6 - N [kN]
- Obrázek 7- Geometrie
- Obrázek 8 - Jednotkové zatížení [kN/m]
- Obrázek 9 - N [kN]
- Obrázek 10- Geometrie
- Obrázek 11 - Jednotkové zatížení [kN/m]
- Obrázek 12 - N [kN]
- Obrázek 13 - CO1 -
- Obrázek 14 - CO2 -
- Obrázek 15 - CO3 -
- Obrázek 16 - CO4 -
- Obrázek 17 - CO5 -
- Obrázek 18 - CO6 -
- Obrázek 19 - CO7 -
- Obrázek 20 - CO8 -
- Obrázek 21 - CO9 -
- Obrázek 22 – MSP
- Obrázek 23 - N [kN]
- Obrázek 24 - V [kN]
- Obrázek 25 - M [kNm]
- Obrázek 26 - N [kN]
- Obrázek 27 - V [kN]
- Obrázek 28 - M [kNm]
- Obrázek 29 - N [kN]
- Obrázek 30 - V [kN]
- Obrázek 31 - M [kNm]
- Obrázek 32 - N [kN]
- Obrázek 33 - V [kN]
- Obrázek 34 - M [kNm]
- Obrázek 35 - N [kN]
- Obrázek 36 - V [kN]
- Obrázek 37 - M [kNm]
- Obrázek 38 - MSP [mm]
- Obrázek 39 - max. Sání
- Obrázek 40 - max. tlak
- Obrázek 41 - N [kN]
- Obrázek 42 - N [kN]
- Obrázek 43 - MSP [mm]
- Obrázek 44 - N [kN]
- Obrázek 45 - N [kN]
- Obrázek 46 - M [kNm]

Obrázek 47 - N [kN]
Obrázek 48 - V [kN]
Obrázek 49 - M [kNm]
Obrázek 50 - Průhyb [mm]
Obrázek 51 - M [kNm]
Obrázek 52 - V [kN]
Obrázek 53 - N [kN] - kombinace G+0,5S
Obrázek 54 - N [kN] - kombinace Gmin + Wsání
Obrázek 55 - V [kN]
Obrázek 56 - M[kNm]
Obrázek 57 - N [kN]
Obrázek 58 - V [kN]
Obrázek 59 - M [kNm]
Obrázek 60 - N [kN]
Obrázek 61 - V [kN]
Obrázek 62 - M [kNm]
Obrázek 63 - N [kN]
Obrázek 64 - V [kN]
Obrázek 65 - M [kNm]
Obrázek 66 - N [kN]
Obrázek 67 - V [kN]
Obrázek 68 - M [kNm]
Obrázek 69 - N [kN]
Obrázek 70 - V [kN]
Obrázek 71 - M [kNm]
Obrázek 72 - maximalní posun -[mm]
Obrázek 73 - průhyb od sněhu [mm]
Obrázek 74 - průhyb od větru h [mm]
Obrázek 75 - průhyb od větru f+h [mm]
Obrázek 76 - průhyb vítr g+h [mm]

ČESKÉ VYSOKÉ UČENÍ TECHNICKÉ V PRAZE

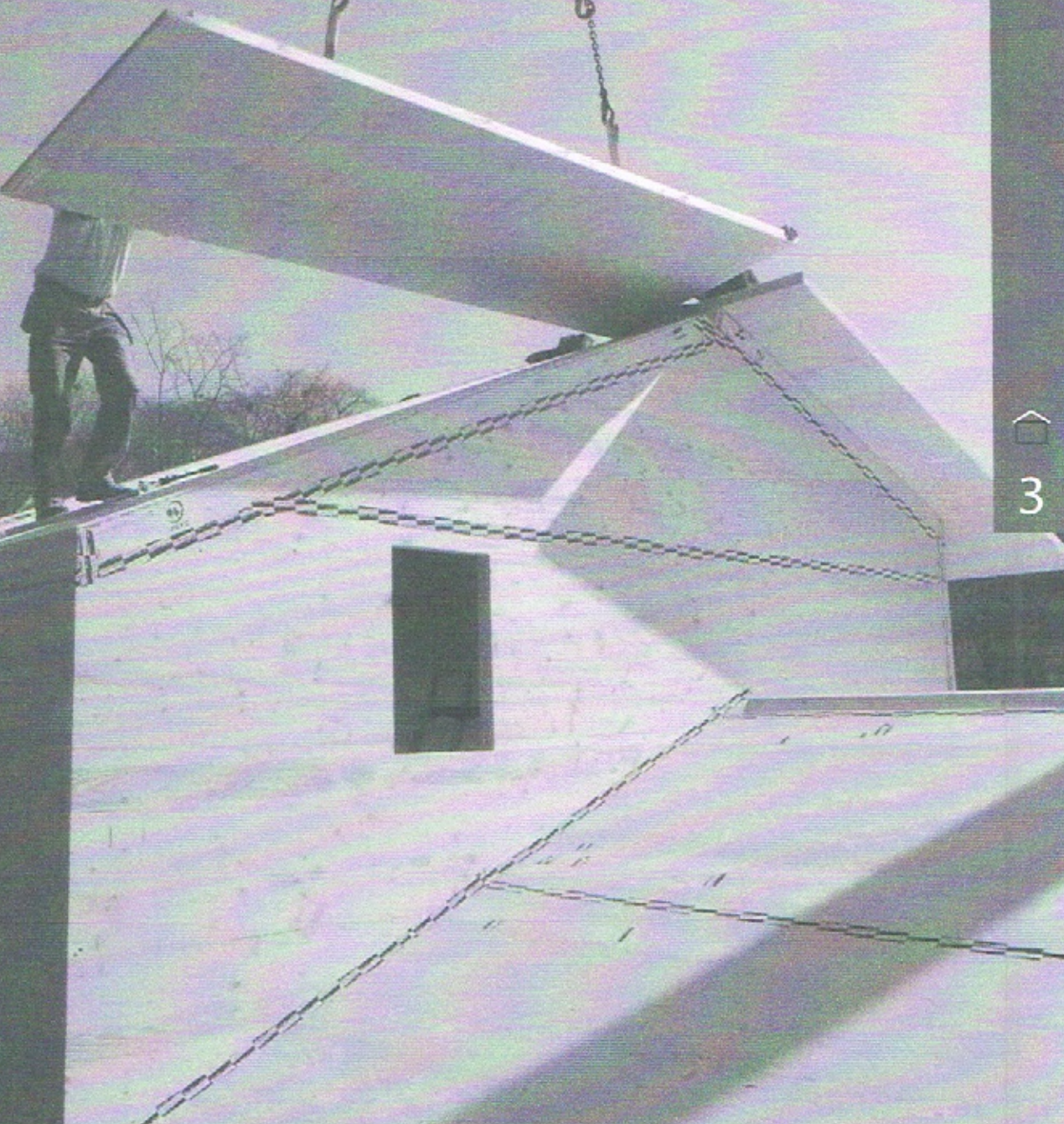
Fakulta stavební



DIPLOMOVÁ PRÁCE
PŘÍLOHA 2 – Střešní panely Novatop

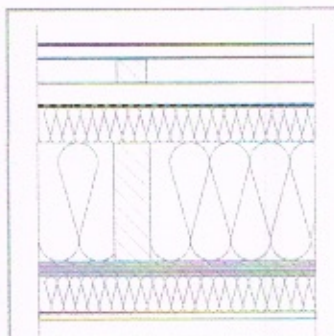
2017

Bc. Petrás Michal



3

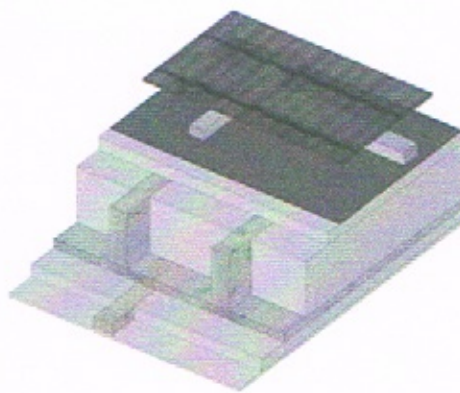
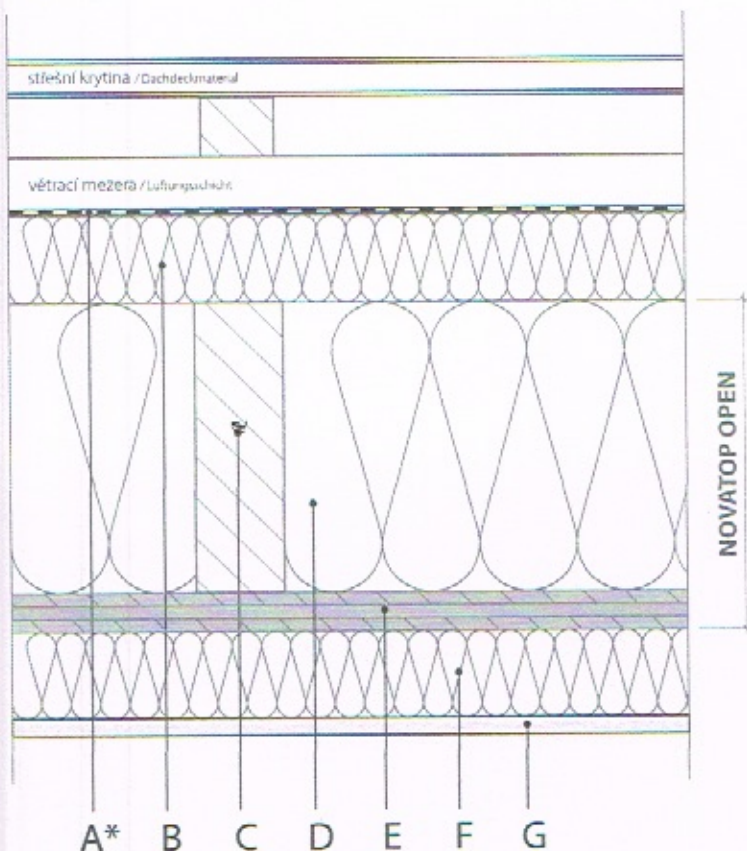
CZ Střechy
D Dächer



www.novatop-system.com

NOVATOP

SKLADBA STŘECHY / Dachaufbau



* DIFUZNÍ FÓLII LZE NAHRADIT NAPŘÍKLAD DIFUZNÍ DŘEVOVLÁKNITOU DESKOU (DHF, DFP)
 / Diffusionsfolie kann zum Beispiel durch Diffusionsholzfaserplatte (DHF, DFP) ersetzt werden

| Rozměr [mm] / Dimension | | 1 | 2 | 3 | 4 | 5 | 6 | 7 | 8 |
|---|--|----------|----------|----------|--------------|------|---------|------|----------|
| Difuz. střešní fólie (sd = cca 0,02 m) / Diffusionsdachfolie | A | ✓ | ✓ | ✓ | ✓ | ✓ | ✓ | ✓ | ✓ |
| Steico Therm ($\lambda = 0,041 \text{ W/mK}$, $q = 160 \text{ kg/m}^3$) | B | | | 40 | 40 | 60 | 80 | 120 | 160 |
| NOVATOP OPEN | C KVH (BSH, DUO, TRIO) | 200 | 200 | 200 | 200 | 240 | 240 | 240 | 280 |
| | D Steico Flex ($\lambda = 0,040 \text{ W/mK}$, $q = 50 \text{ kg/m}^3$) | 200 | 200 | 200 | 200 | 240 | 240 | 240 | 280 |
| | E Spodní deska / Unterplatte | 27 | 27 | 27 | 27 | 27 | 27 | 27 | 27 |
| Minerální izolace ($\lambda = 0,040 \text{ W/mK}$, $q=50 \text{ kg/m}^3$) / Mineraldämmung | F | | 40 | | 40 | | 40 | 80 | 120 |
| Sádrovláknitá deska (FERMACELL) / Gipfaserplatte | G | | 12 | | 12 | | 12 | 12 | 12 |
| Celková tloušťka konstrukce / Gesamstärke der Konstruktion | Σ | 227 | 279 | 267 | 319 | 327 | 399 | 479 | 599 |
| Požární odolnost (stanovenno výpočtem) / Feuerwiderstand (bestimmt durch Berechnung) | REI [min] | 30 | 45 | 30 | 45 | 30 | 45 | 45 | 45 |
| Součinitel prostupu tepla / Wärmedurchgangszahl | U [W/m²K] | 0,24 | 0,20 | 0,19 | 0,16 | 0,15 | 0,13 | 0,10 | 0,08 |
| Užití konstrukce / Konstruktionsverwendung | | standard | standard | standard | standard TOR | NED | NOVATOP | PASW | PASW TOR |

POZNÁMKA: Použití tétoho skladbu je nutné individuálně posoudit z hlediska stavební fyziky.

ANMERKUNG: Anwendung dieser Strukturen ist notwendig individuell aus Sicht der Bauphysik zu beurteilen.

ŠIKMÁ A PULTOVÁ STŘECHA – NOVATOP OPEN
 Steil- und Pultdach – NOVATOP OPEN

R 300

NOVATOP OPEN – PRO STROPY A STŘECHY

TYPY PROVEDENÍ

Tloušťka SWP: 27 mm (9/9/9), 19 mm (6/7/6).

Celkové výšky: 227 mm, 247 mm, 267 mm a jiné

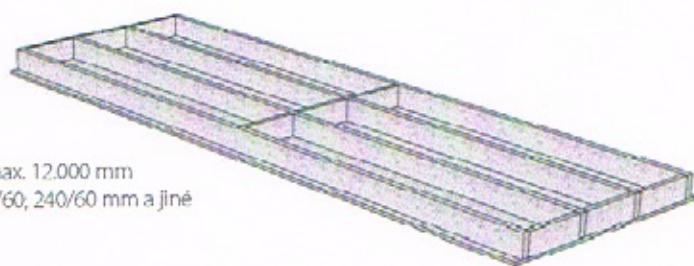
Šířky: 1030, 2090, 2450, max. 2450 mm

Délky: dle projektové dokumentace, standardně 6.000, max. 12.000 mm

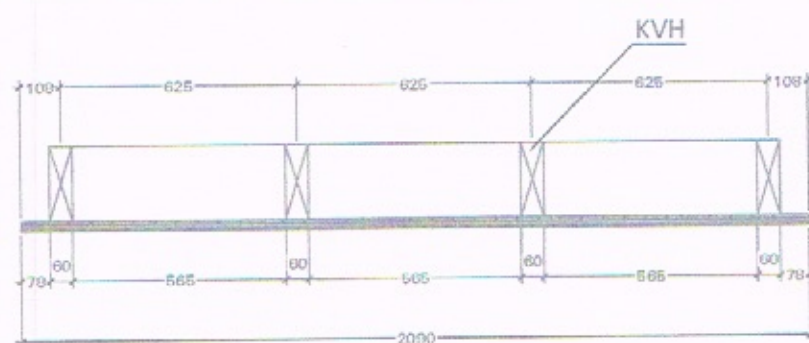
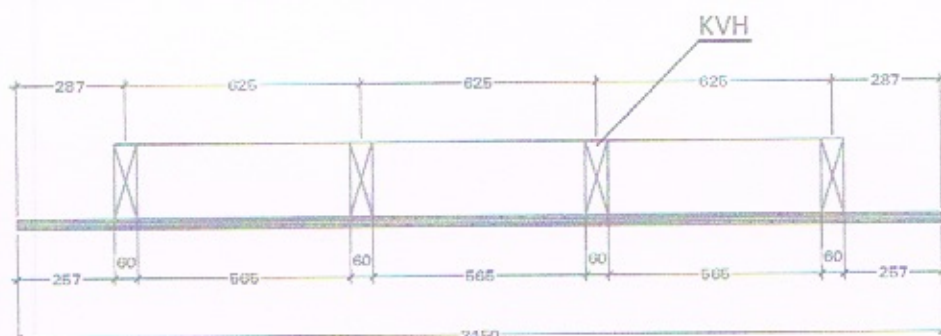
Rozměry KVH (DUO,TRIO,BSH, I-nosníky): 200/60; 220/60; 240/60 mm a jiné

Maximální formát: 12.000 x 2.450 mm

Prodloužení desky SWP s cinkovaným spojem.

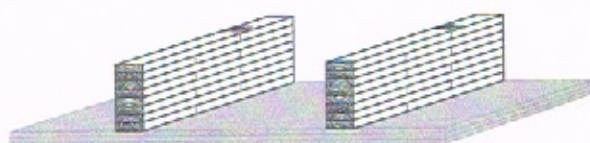
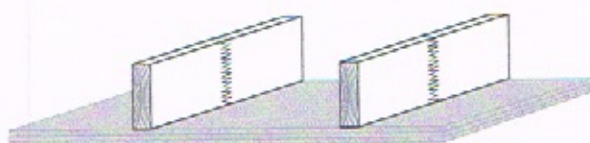


Standardní osová rozteč KVH (DUO, TRIO, BSH, I nosník): 625 mm, ostatní podle statického posouzení.



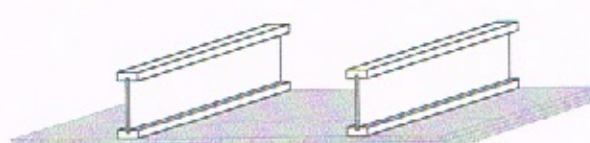
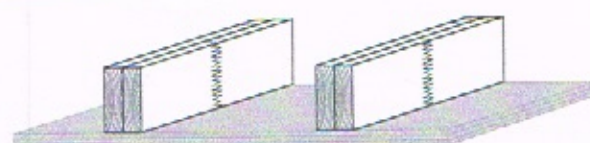
KVH

BSH



DUO (TRIO)

I nosník



ČESKÉ VYSOKÉ UČENÍ TECHNICKÉ V PRAZE

Fakulta stavební



DIPLOMOVÁ PRÁCE

**PŘÍLOHA 3 – Posudek střešního panelu Novatop
v programu TEPLA**

2017

Bc. Petrás Michal

KOMPLEXNÍ POSOUZENÍ SKLADBY STAVEBNÍ KONSTRUKCE Z HLEDISKA ŠÍŘENÍ TEPLA A VODNÍ PÁRY

podle EN ISO 13788, EN ISO 6946, ČSN 730540 a STN 730540

Teplo 2014 EDU

Název úlohy :

Zpracovatel : Michal

Zakázka :

Datum : 3.12.2016

Typ hodnocené konstrukce : Střecha jednoplášťová

Korekce součinitele prostupu dU : 0.000 W/m²K

Skladba konstrukce (od interiéru) :

| Číslo | Název | D [m] | Lambda [W/(m.K)] | c [J/(kg.K)] | Ro [kg/m ³] | Mi [-] | Ma [kg/m ²] |
|-------|-----------------|--------|------------------|--------------|-------------------------|-----------|-------------------------|
| 1 | Ocel korozivzd | 0,0030 | 17,0000 | 460,0 | 7900,0 | 1000000,0 | 0,0000 |
| 2 | Pěnový polysty | 0,3000 | 0,0510 | 1270,0 | 10,0 | 40,0 | 0,0000 |
| 3 | Al folie 1 | 0,0000 | 204,0000 | 870,0 | 2700,0 | 500000,0 | 0,0000 |
| 4 | Dřevo měkké (t) | 0,0240 | 0,1800 | 2510,0 | 400,0 | 157,0 | 0,0000 |

Poznámka: D je tloušťka vrstvy, Lambda je návrhová hodnota tepelné vodivosti vrstvy, C je měrná tepelná kapacita vrstvy, Ro je objemová hmotnost vrstvy, Mi je faktor difúzního odporu vrstvy a Ma je počáteční zabudovaná vlhkost ve vrstvě.

| Číslo | Kompletní název vrstvy | Interní výpočet tep. vodivosti |
|-------|------------------------------------|--------------------------------|
| 1 | Ocel korozivzdorná | --- |
| 2 | Pěnový polystyren 1 (do roku 2003) | --- |
| 3 | Al folie 1 | --- |
| 4 | Dřevo měkké (tok kolmo k vláknům) | --- |

Okrajové podmínky výpočtu :

Tepelný odpor při přestupu tepla v interiéru Rsi : 0.10 m²K/W

 dto pro výpočet vnitřní povrchové teploty Rsi : 0.25 m²K/W

Tepelný odpor při přestupu tepla v exteriéru Rse : 0.04 m²K/W

 dto pro výpočet vnitřní povrchové teploty Rse : 0.04 m²K/W

Návrhová venkovní teplota Te : -13.0 C

Návrhová teplota vnitřního vzduchu Tai : 20.6 C

Návrhová relativní vlhkost venkovního vzduchu RHe : 84.0 %

Návrhová relativní vlhkost vnitřního vzduchu RHi : 55.0 %

| Měsíc | Délka [dny] | Tai [C] | RHi [%] | PI [Pa] | Te [C] | RHe [%] | Pe [Pa] |
|-------|-------------|---------|---------|---------|--------|---------|---------|
| 1 | 31 | 20.6 | 55.1 | 1336.3 | -4.4 | 81.2 | 342.9 |
| 2 | 28 | 20.6 | 57.3 | 1389.6 | -2.9 | 80.8 | 387.4 |
| 3 | 31 | 20.6 | 58.8 | 1426.0 | 1.0 | 79.5 | 521.8 |
| 4 | 30 | 20.6 | 60.7 | 1472.1 | 5.7 | 77.5 | 709.4 |
| 5 | 31 | 20.6 | 64.9 | 1573.9 | 10.7 | 74.5 | 958.1 |
| 6 | 30 | 20.6 | 68.7 | 1666.1 | 13.9 | 72.0 | 1142.9 |
| 7 | 31 | 20.6 | 70.8 | 1717.0 | 15.5 | 70.4 | 1239.1 |
| 8 | 31 | 20.6 | 70.1 | 1700.0 | 15.0 | 70.9 | 1208.4 |
| 9 | 30 | 20.6 | 65.6 | 1590.9 | 11.3 | 74.1 | 991.8 |
| 10 | 31 | 20.6 | 61.0 | 1479.4 | 6.3 | 77.1 | 735.7 |
| 11 | 30 | 20.6 | 58.8 | 1426.0 | 0.9 | 79.5 | 518.1 |
| 12 | 31 | 20.6 | 57.7 | 1399.3 | -2.6 | 80.7 | 396.8 |

Poznámka: Tai, RHi a PI jsou prům. měsíční parametry vnitřního vzduchu (teplota, relativní vlhkost a částečný tlak vodní páry) a Te, RHe a Pe jsou prům. měsíční parametry v prostředí na vnější straně konstrukce (teplota, relativní vlhkost a částečný tlak vodní páry).

Průměrná měsíční venkovní teplota Te byla v souladu s EN ISO 13788 snížena o 2 C

(orientační zohlednění výměny tepla sáláním mezi střechou a oblohou).

Pro vnitřní prostředí byla uplatněna přirážka k vnitřní relativní vlhkosti : 5.0 %

Výchozí měsíc výpočtu bilance se stanovuje výpočtem podle EN ISO 13788.

Počet hodnocených let : 1

Tepelný odpor a součinitel prostupu tepla podle EN ISO 6946:

Tepelný odpor konstrukce R : 6.016 m²K/W

Součinitel prostupu tepla konstrukce U : 0.162 W/m²K

Součinitel prostupu zabudované kce U,kc : 0.18 / 0.21 / 0.26 / 0.36 W/m²K

Uvedené orientační hodnoty platí pro různou kvalitu řešení tep. mostů vyjádřenou přibližnou přirážkou podle poznámek k čl. B.9.2 v ČSN 730540-4.

Difuzní odpor a tepelně akumulační vlastnosti:

Difuzní odpor konstrukce ZpT : 1.6E+0013 m/s

Teplotní útlum konstrukce Ny* podle EN ISO 13786 : 63.8

Fázový posun teplotního kmitu Psi* podle EN ISO 13786 : 2.1 h

Teplota vnitřního povrchu a teplotní faktor podle ČSN 730540 a EN ISO 13788:

Vnitřní povrchová teplota v návrhových podmínkách Tsi,p : 19.27 C

Teplotní faktor v návrhových podmínkách f,Rsi,p : 0.960

| Číslo měsice | Minimální požadované hodnoty při max. rel. vlhkosti na vnitřním povrchu: | | | | Vypočtené hodnoty | | |
|--------------|--|---------|----------|---------|-------------------|-------|---------|
| | 80% | | 100% | | Tsi,C | f,Rsi | RHsi[%] |
| | Tsi,m[C] | f,Rsi,m | Tsi,m[C] | f,Rsi,m | | | |
| 1 | 14.7 | 0.763 | 11.3 | 0.627 | 19.6 | 0.960 | 58.6 |
| 2 | 15.3 | 0.774 | 11.9 | 0.628 | 19.7 | 0.960 | 60.7 |
| 3 | 15.7 | 0.750 | 12.3 | 0.574 | 19.8 | 0.960 | 61.7 |
| 4 | 16.2 | 0.704 | 12.7 | 0.473 | 20.0 | 0.960 | 63.0 |
| 5 | 17.2 | 0.662 | 13.8 | 0.310 | 20.2 | 0.960 | 66.5 |
| 6 | 18.2 | 0.635 | 14.6 | 0.112 | 20.3 | 0.960 | 69.8 |
| 7 | 18.6 | 0.614 | 15.1 | ----- | 20.4 | 0.960 | 71.7 |
| 8 | 18.5 | 0.620 | 15.0 | ----- | 20.4 | 0.960 | 71.1 |
| 9 | 17.4 | 0.658 | 13.9 | 0.283 | 20.2 | 0.960 | 67.1 |
| 10 | 16.3 | 0.697 | 12.8 | 0.456 | 20.0 | 0.960 | 63.2 |
| 11 | 15.7 | 0.751 | 12.3 | 0.577 | 19.8 | 0.960 | 61.7 |
| 12 | 15.4 | 0.776 | 12.0 | 0.628 | 19.7 | 0.960 | 61.1 |

Poznámka: RHsi je relativní vlhkost na vnitřním povrchu, Tsi je vnitřní povrchová teplota a f,Rsi je teplotní faktor.

Difúze vodní páry v návrh. podmínkách a bilance vodní páry podle ČSN 730540: (bez vlivu zabudované vlhkosti a sluneční radiace)

Průběh teplot a částečných tlaků vodní páry v návrhových okrajových podmínkách:

| rozhraní: | 1 | 1-2 | 2-3 | 3-4 | e |
|-------------|------|------|-------|-------|-------|
| theta [C]: | 20.1 | 20.1 | -12.1 | -12.1 | -12.8 |
| p [Pa]: | 1334 | 182 | 177 | 168 | 166 |
| p,sat [Pa]: | 2345 | 2345 | 216 | 216 | 202 |

Poznámka: theta je teplota na rozhraní vrstev, p je předpokládaný částečný tlak vodní páry na rozhraní vrstev a p,sat je částečný tlak nasycené vodní páry na rozhraní vrstev.

Při venkovní návrhové teplotě nedochází v konstrukci ke kondenzaci vodní páry.

Množství difundující vodní páry Gd : 7.679E-0011 kg/(m².s)

Bilance zkondenzované a vypařené vodní páry podle EN ISO 13788:

Roční cyklus č. 1

V konstrukci nedochází během modelového roku ke kondenzaci vodní páry.

Poznámka: Hodnocení difuze vodní páry bylo provedeno pro předpoklad 1D šíření vodní páry převažující skladbou konstrukce. Pro konstrukce s výraznými systematickými tepelnými mosty je výsledek výpočtu jen orientační. Přesnější výsledky lze získat s pomocí 2D analýzy.

ČESKÉ VYSOKÉ UČENÍ TECHNICKÉ V PRAZE

Fakulta stavební



DIPLOMOVÁ PRÁCE

PŘÍLOHA 4 – Střešní panely a stěnové panely
Kingspan

2017

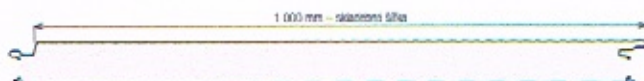
Bc. Petrás Michal

Tabulky únosnosti

KS1000 AWP

Stěnový panel KS1000 AWP 150 – kotvení ve skrytém spoji

plech vnější/vnitřní 0,6/0,4 mm, profilace M/Q, S280GD podle ČSN EN 14509



| TLAK | | | | | | | | | | | |
|------------------------------------|-----------------|------------------------------------|-------|------|------|------|------|------|------|--|----------------------|
| systém | barevná skupina | charakteristické proměnné zatížení | | | | | | | | | [kN/m ²] |
| | | 0,25 | 0,50 | 0,75 | 1,00 | 1,25 | 1,50 | 1,75 | 2,00 | | |
| prostý nosník ▲ ▲ | I., II., III. | 40 | 46 | 62 | 76 | 88 | 99 | 108 | 118 | Význam hodnot v tabulce: | |
| | | 13,36 | 10,58 | 8,64 | 7,48 | 6,69 | 6,11 | 5,66 | 5,29 | AA min. šířka krajní podpory [mm] | |
| spojitý nosník o 2 polích ▲ ▲ ▲ | I. | 40 | 40 | 40 | 51 | 63 | 74 | 85 | 95 | X,XX max. rozpon [m] | |
| | | 9,27 | 7,14 | 6,19 | 5,62 | 5,22 | 4,93 | 4,67 | 4,45 | BB min. šířka střední podpory [mm] | |
| | II. | 60 | 60 | 75 | 101 | 126 | 149 | 170 | 189 | Příklady začlenění odstínu do skupiny: | |
| | | 9,27 | 7,14 | 6,19 | 5,62 | 5,22 | 4,93 | 4,67 | 4,45 | I. barevná skupina RAL 1015, 7035, 9002, 9010 | |
| | III. | 40 | 40 | 40 | 51 | 63 | 74 | 85 | 95 | II. barevná skupina RAL 9006, 9007 | |
| | | 60 | 60 | 75 | 101 | 126 | 149 | 170 | 189 | III. barevná skupina RAL 8004, 3009, 5010, 6020, 7018, 3000 | |
| spojitý nosník o 3 polích ▲ ▲ ▲ | I. | 40 | 40 | 48 | 60 | 71 | 81 | 91 | 100 | Přípustná deformace: | |
| | | 12,13 | 8,71 | 7,20 | 6,30 | 5,70 | 5,26 | 4,91 | 4,64 | – pro krátkodobé zatížení L/200 | |
| | II. | 60 | 67 | 95 | 120 | 142 | 162 | 182 | 200 | – pro dlouhodobé zatížení L/100 | |
| | | 12,13 | 8,71 | 7,20 | 6,30 | 5,70 | 5,26 | 4,91 | 4,64 | kde L je vzdálenost mezi podporami | |
| | III. | 40 | 40 | 48 | 60 | 71 | 81 | 91 | 100 | | |
| | | 60 | 67 | 95 | 120 | 142 | 162 | 182 | 200 | | |

| SÁNÍ | | | | | | | | | | | |
|------------------------------------|-----------------|------------------------------------|------|------|------|------|------|------|------|--|----------------------|
| systém | barevná skupina | charakteristické proměnné zatížení | | | | | | | | | [kN/m ²] |
| | | 0,25 | 0,50 | 0,75 | 1,00 | 1,25 | 1,50 | 1,75 | 2,00 | | |
| prostý nosník ▲ ▲ | I. | 11,64 | 7,64 | 5,10 | 3,82 | 3,06 | 2,55 | 2,19 | 1,91 | Význam hodnot v tabulce: | |
| | II. | 11,64 | 7,64 | 5,10 | 3,82 | 3,06 | 2,55 | 2,19 | 1,91 | X,XX max. rozpon [m] | |
| spojitý nosník o 2 polích ▲ ▲ ▲ | III. | 11,64 | 7,64 | 5,10 | 3,82 | 3,06 | 2,55 | 2,19 | 1,91 | Příklady začlenění odstínu do skupiny: | |
| | | 11,34 | 5,36 | 3,53 | 2,69 | 2,21 | 1,89 | 1,66 | 1,48 | I. barevná skupina RAL 1015, 7035, 9002, 9010 | |
| | I. | 10,92 | 4,96 | 3,28 | 2,47 | 2,04 | 1,76 | 1,55 | 1,39 | II. barevná skupina RAL 9006, 9007 | |
| | | 10,21 | 4,28 | 2,65 | 2,11 | 1,80 | 1,57 | 1,40 | 1,27 | III. barevná skupina RAL 8004, 3009, 5010, 6020, 7016, 3000 | |
| | II. | 11,64 | 6,62 | 4,32 | 3,19 | 2,34 | 1,84 | 1,54 | 1,34 | Přípustná deformace: | |
| | | 11,64 | 6,47 | 4,17 | 3,05 | 2,34 | 1,84 | 1,54 | 1,34 | – pro krátkodobé zatížení L/200 | |
| | III. | 11,64 | 6,22 | 3,92 | 2,83 | 2,22 | 1,84 | 1,54 | 1,34 | – pro dlouhodobé zatížení L/100 | |
| kde L je vzdálenost mezi podporami | | | | | | | | | | | |

Minimální šířka krajní podpory je 40 mm, minimální šířka střední podpory je 60 mm, nevyplývá-li z tabulek pro zatížení v délku šířka větší.

Pozn.: Uvedené rozpony jsou vypočteny pro případ upěvnení panelu ve skrytém spoji pomocí 2 šroubů s roztažkou Z15 a v místě každé podpory.

Tabulka platí pro běžná proměnná klimatická zatížení (typicky zatížení větrem dle ČSN EN 1991-1-4). Pro jiné typy profilací, jiné tloušťky povrchových plášťů a pro jiné požadavky zatížení (dlouhodobé zatížení, zatížení stálým teplotním gradientem v chladidlních apod.) kontaktujte technické oddělení pro konkrétní statické posouzení. Výpočty jsou provdoveny v souladu s ČSN EN 14509. Hodnoty mezních zatížení uvedené v tabulkách porovnávejte s charakteristickými hodnotami zatížení. Výpočty berou v úvahu vlastní hmotnost panelů. Možné chyby a opomíjení vyhrazujeme. Můžete prosím na paměti, že tato tabulka nenahrnuje statický výpočet.

Tabulky únosnosti

KS1000 RW

Střešní panel KS1000 RW 160
plech vnější/vnitřní 0,5 / 0,4 mm S280GD podle ČSN EN 14509



| Systém | Skupina barev | charakteristické proměnné zatížení sněhem [MN/m ²] | | | | | | | | | | | | hodnota zatížení | | | | | | |
|---|---------------|--|------|------|------|------|------|------|------|------|------|------|------|------------------|------|------|------|------|------|------|
| | | 1,25 | 1,50 | 1,75 | 2,00 | 2,25 | 2,50 | 2,75 | 3,00 | 3,25 | 3,50 | 3,75 | 4,00 | 4,25 | 4,50 | 4,75 | 5,00 | | | |
| Frostý nosník | 0,25 | 0,50 | 0,75 | 1,00 | 1,25 | 1,50 | 1,75 | 2,00 | 2,25 | 2,50 | 2,75 | 3,00 | 3,25 | 3,50 | 3,75 | 4,00 | 4,25 | 4,50 | 4,75 | 5,00 |
| | 40 | 40 | 43 | 47 | 49 | 50 | 50 | 50 | 50 | 50 | 50 | 50 | 50 | 50 | 50 | 50 | 50 | 50 | 50 | 50 |
| I (f) | 9,04 | 7,74 | 6,27 | 5,26 | 4,50 | 3,90 | 3,39 | 2,96 | 2,58 | 2,26 | 1,98 | 1,76 | 1,58 | 1,44 | 1,32 | 1,22 | 1,14 | 1,07 | 1,01 | 0,97 |
| | 40 | 40 | 40 | 40 | 40 | 40 | 40 | 40 | 40 | 40 | 40 | 40 | 40 | 40 | 40 | 40 | 40 | 40 | 40 | 40 |
| Spojitý nosník o 2 polich | 6,88 | 4,87 | 3,85 | 3,23 | 2,80 | 2,50 | 2,26 | 2,03 | 1,93 | 1,80 | 1,70 | 1,61 | 1,53 | 1,44 | 1,32 | 1,22 | 1,14 | 1,07 | 1,01 | 0,97 |
| | 60 | 60 | 60 | 60 | 61 | 61 | 64 | 67 | 70 | 72 | 74 | 77 | 79 | 81 | 82 | 81 | 79 | 79 | 78 | 78 |
| III (f) | 6,88 | 4,87 | 3,85 | 3,23 | 2,80 | 2,50 | 2,26 | 2,03 | 1,93 | 1,80 | 1,70 | 1,61 | 1,53 | 1,44 | 1,32 | 1,22 | 1,14 | 1,07 | 1,01 | 0,97 |
| | 60 | 60 | 60 | 60 | 60 | 61 | 64 | 67 | 70 | 72 | 74 | 77 | 79 | 81 | 82 | 81 | 79 | 79 | 78 | 78 |
| Spojitý nosník o 3 a více polich | 7,76 | 5,44 | 4,27 | 3,56 | 3,08 | 2,73 | 2,47 | 2,26 | 2,10 | 1,96 | 1,84 | 1,75 | 1,58 | 1,44 | 1,32 | 1,22 | 1,14 | 1,07 | 1,01 | 0,97 |
| | 60 | 60 | 60 | 63 | 63 | 67 | 70 | 73 | 76 | 78 | 81 | 83 | 86 | 84 | 82 | 81 | 79 | 79 | 78 | 78 |
| III (f) | 7,76 | 5,44 | 4,27 | 3,56 | 3,08 | 2,73 | 2,47 | 2,26 | 2,10 | 1,96 | 1,84 | 1,75 | 1,58 | 1,44 | 1,32 | 1,22 | 1,14 | 1,07 | 1,01 | 0,97 |
| | 60 | 60 | 60 | 63 | 63 | 67 | 70 | 73 | 76 | 78 | 81 | 83 | 86 | 84 | 82 | 81 | 79 | 79 | 78 | 78 |

baňková skupina (zatížení dle odstínu v RAL)

(f) - přípustná deformace pro krátkodobé zatížení L/200,
pro dlouhotrvající L/100, kde L je rozpětí mezi podporami

AA - mín. šířka krajní podpora;

XX - max. rozpon

BB - min. šířka střední podpory

Tabulka platí pro běžná proměnná klimatická zatížení. Příjmy požadavcích (dlouhotdobá zatížení, tepelné zatížení v chladných apod.) je třeba provést zvláštní výpočet.
(f) - přípustná deformace pro krátkodobé zatížení L/200, pro dlouhotrvající L/100, kde L je rozpětí mezi podporami
Výpočty jsou provedeny v souladu s ČSN EN 14509. Hochodlouhý mezník zatížení u tabulkách porovnávejte s charakteristikou systém hodnotami zatížení. Výpočty berou v úvahu vlastní hmotnost panelu. Možné chyby a opomíjení vyhrazeny. Můžete prosím na paměti, že tato tabulka navrhovázuje statický výpočet.

Tabulky únosnosti

KS1000 RW

Střešní panel KS1000 RW 160
plech vnější/vnitřní 0,5 / 0,4 mm S280GD podle ČSN EN 14509



160

hodnota
zatížení

| System | Skupina barev | charakteristické proměnné zatížení, SÁNÍ větru [kN/m ²] | | | | | | | | | |
|----------------------------------|----------------|---|---------------------|---------------------|-----------|--|--|--|--|--|--|
| Spojitý nosník o 2 polich | I (f) | 0,25 0,50 0,75 1,00 1,25 1,50 1,75 2,00 2,25 2,50 2,75 3,00 | 3,25 3,50 3,75 4,00 | 4,25 4,50 4,75 5,00 | | | | | | | |
| Prostý nosník | I, II, III (f) | 9,49 8,58 7,50 6,66 6,07 5,51 5,08 4,74 4,46 4,23 4,03 3,85 | 3,70 3,57 3,45 3,33 | 3,24 3,14 3,04 2,94 | | | | | | | |
| | II (f) | 11,08 7,39 4,97 3,86 3,21 2,78 2,47 2,24 2,05 1,89 1,76 1,66 | 1,56 1,48 1,41 | 1,34 1,29 1,24 1,19 | 1,15 | | | | | | |
| | III (f) | 11,08 6,78 4,56 3,56 2,98 2,60 2,32 2,11 1,94 1,80 1,68 1,58 | 1,50 1,42 1,36 | 1,30 1,25 1,20 1,16 | 1,12 | | | | | | |
| | I (f) | 13,48 8,80 5,84 4,45 3,64 3,10 2,72 2,44 2,22 2,04 1,90 1,78 | 1,67 1,58 1,50 | 1,44 1,38 1,32 | 1,27 1,23 | | | | | | |
| Spojitý nosník o 3 a více polich | II (f) | 13,48 8,38 5,54 4,21 3,44 2,94 2,58 2,32 2,12 1,95 1,82 1,70 | 1,61 1,61 1,53 1,45 | 1,39 1,33 1,28 | 1,24 1,19 | | | | | | |
| | III (f) | 13,48 7,72 5,06 3,84 3,15 2,70 2,38 2,15 1,97 1,83 1,71 1,61 | 1,52 1,45 1,38 | 1,32 1,27 1,23 | 1,18 1,15 | | | | | | |

Minimální šířka krajní podpory je 40 mm, minimální šířka střední podpory je 60 mm, navýplývalí z tažůvek pro zatížení v tlaku šířka větší.

barevná skupina (zatížení dle odstavu v RAL)
(f) – přípustná deformace pro krátkodobé zatížení L/200,
pro dlouhodobé L/100, kde L je rozpětí mezi podporami

max. rozpora

Tabulka platí pro běžná proměnná klimatická zatížení. Při jiných požadavcích (dlouhodobá zatížení, tepelné zatížení v chladných apod.) je třeba provést zvláštní výpočet.
Výpočty jsou provedeny v souladu s ČSN EN 14509. Hodnoty mezních zatížení uvedené v tabulkách porovnávají se s charakteristickými hodnotami zatížení. Výpočty barou v úvahu vlastní hmotnost panelu. Možna chyb a opomenutí vyrazeny. Mějte prosím na paměti, že tato tabulka nahrazuje staroucký výpočet.

ČESKÉ VYSOKÉ UČENÍ TECHNICKÉ V PRAZE

Fakulta stavební



DIPLOMOVÁ PRÁCE

PŘÍLOHA 5 – Systém táhel Detan - Halfen

2017

Bc. Petrás Michal

DETAN STABSYSTEME

Zugstabsystem DETAN-S460, Europäische Technische Zulassung ETA-05/0207

| Systembauteile – Werkstoffe und Ausführungen | | Zugstab – <i>tahlō</i> | | Gabelstück | | Muffen, Kontermuttern | | Kreisscheibe | |
|--|-----------|------------------------|---------|---------------|---------|-----------------------|---------|---------------|--|
| System - Ø d _s [mm] | Werkstoff | 10 - 12 | 16 - 95 | 10 - 12 | 16 - 95 | G20 Mn5+QT | 10 - 95 | 10 - 95 | |
| Ausführung | FV | feuerverzinkt | | feuerverzinkt | | feuerverzinkt | | feuerverzinkt | |
| | WB | walzblank | | feuerverzinkt | | feuerverzinkt | | feuerverzinkt | |

| Tragfähigkeiten, System- und lieferbare Stablängen; Material: Stahl Festigkeitsklasse S355 (Ø d _s 10-12) bzw. S460N | | | | | | | | | | | | | | | | |
|--|------|-------|-------|-------|-------|-------|-------|-------|-------|-------|-------|-------|-------|-------|-------|-------|
| System - Ø d _s [mm] | 10 | 12 | 16 | 20 | 24 | 27 | 30 | 36 | 42 | 48 | 52 | 56 | 60 | 76 | 85 | 95 |
| Bemessungswerte Tragfähigkeit | | | | | | | | | | | | | | | | |
| Tragfähigkeit N _{R,d} [kN] ① | 21,3 | 30,94 | 70,5 | 110,2 | 158,6 | 206,7 | 252,3 | 367,5 | 504,4 | 662,9 | 791,0 | 913,5 | 1063 | 1750 | 2227 | 2823 |
| Lieferbare minimale Systemlänge L [mm] | | | | | | | | | | | | | | | | |
| walzblank, feuerverz. | 250 | 310 | 360 | 440 | 520 | 560 | 600 | 700 | 810 | 940 | 990 | 1050 | 1160 | 1480 | 1640 | 1810 |
| Lieferbare maximale Systemlänge L mit einem Stab [mm] ② | | | | | | | | | | | | | | | | |
| walzblank, feuerverz. | 6060 | 6070 | 12080 | 12100 | 12120 | 12140 | 12140 | 12170 | 12220 | 12260 | 12270 | 12290 | 12320 | 15430 | 15480 | 15530 |
| Lieferbare maximale Stablänge [mm] | | | | | | | | | | | | | | | | |
| walzblank, feuerverz. | 6000 | | | | 12000 | | | | 15000 | | | | | | | |

Die Teilsicherheitsbeiwerte für oben stehende Tabelle wurden gemäß ETA-Zulassung 05/0207 mit $\gamma_{M1} = 1,1$ und $\gamma_{M2} = 1,25$ angenommen.

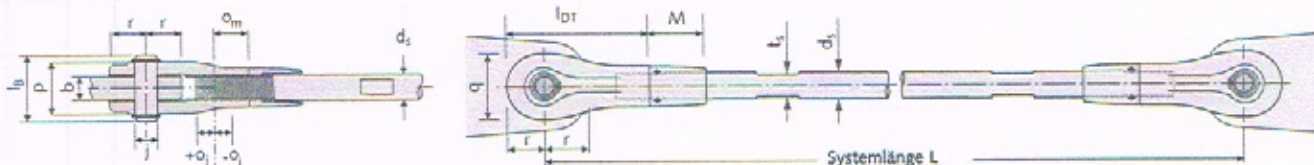
Sollten andere Teilsicherheitsbeiwerte gelten, sind die Traglasten anhand der ETA-Zulassung 05/0207, Kapitel 2.1.3 zu ermitteln.

① N_{R,d}: Designlast gem. Typenprüfung S-WUE/060382 auf Basis der ETA-Zulassung 05/0207.

② Größere Systemlängen L aus mehreren Stäben mit Verbindungsmuffen möglich.

③ Schlüsselfläche ab 700 mm Stablänge möglich.

Gabelstück



| Systemmaße [mm]; Werkstoffe: siehe Tabelle oben | | | | | | | | | | | | | | | | | |
|---|-----------------|--|------|-------|-------|-------|-------|-------|-------|-------|-------|-------|-------|-------|-------|-------|--------|
| System - Ø | d _s | 10 | 12 | 16 | 20 | 24 | 27 | 30 | 36 | 42 | 48 | 52 | 56 | 60 | 76 ③ | 85 ③ | 95 ③ |
| Gabellänge | l _{DT} | 60 | 73 | 89 | 110 | 133 | 147 | 160 | 192 | 225 | 265 | 285 | 305 | 335 | 460 | 520 | 580 |
| Bolzenlänge | l _B | 28 | 32 | 44 | 52 | 60 | 65 | 72 | 84 | 97 | 111 | 119 | 130 | 139 | 180 | 202 | 229 |
| Gabelbreite | p | 20 | 24 | 33 | 40 | 46 | 51 | 57 | 68 | 79 | 90 | 98 | 107 | 116 | 146 | 166 | 189 |
| Gabelhöhe | q | 26 | 31 | 41 | 51 | 61 | 69 | 75 | 90 | 105 | 119 | 125 | 137 | 146 | 196 | 216 | 236 |
| Einschraubtiefe | o _m | 15,0 | 18,5 | 22,5 | 27,0 | 34,0 | 37,5 | 42,5 | 51,0 | 55,0 | 62,5 | 70,5 | 77,5 | 85,0 | 115 | 130 | 155 |
| Einschr.-Justiermaß | o _j | 5,0 | 6,5 | 7,5 | 8,0 | 11,0 | 12,5 | 12,5 | 14,0 | 15,0 | 17,5 | 20,0 | 22,5 | 25,0 | 39 | 45 | 60 |
| Länge Kontermutter | M | 24,5 | 37,0 | 41,0 | 50,0 | 58,0 | 63,0 | 64,0 | 72,0 | 83,0 | 91,0 | 98,0 | 105 | 112 | 148 | 165 | 205 |
| Schlüsselweite t _s | | | | | | | | | | | | | | | | | |
| Zugstabmontage | | 8 | 10 | 14 | 18 | 21 | 24 | 27 | 32 | 36 | 41 | 46 | 50 | 55 | 90/6 | 90/6 | 155/6 |
| Montage Kontermutter | | Schonbackenzange verwenden | | 25-28 | 30-32 | 34-36 | 40-42 | 45-50 | 52-55 | 68-75 | 68-75 | 80-90 | 80-90 | 80-90 | 155/8 | 155/8 | 230/10 |
| Randabstand | r | mit Hakenschlüssel | | | | | | | | | | | | | | | |
| Bohrung Ø | j | → siehe Tabelle Anschlussblech-Maße Seite 13 | | | | | | | | | | | | | | | |
| Dicke Anschlussblech | b | | | | | | | | | | | | | | | | |

③ Lieferzeit auf Anfrage

Korrosionsschutz: Stabgewinde feuerverzinkt, Gabelstücke mit Gewindestopfen verschlossen; siehe auch → Dichtungssystem Seite 20

④ Bei Benutzung eines Kettenspanners statt Hakenschlüssels, empfehlen wir die Oberfläche mit geeigneter Unterlagen zu schützen (betrifft auch die Muffen).

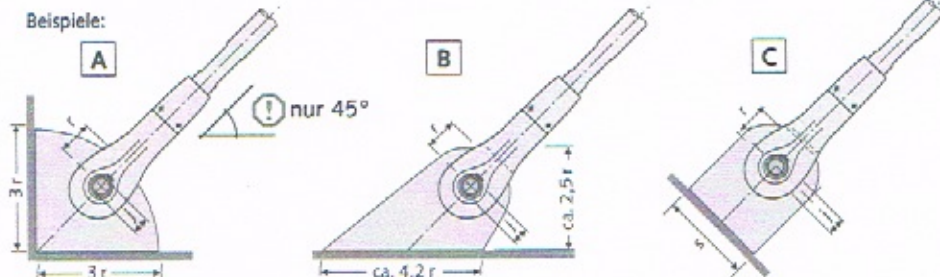
DETAN STABSYSTEME

Zugstabsystem DETAN-S460, Europäische Technische Zulassung ETA-05/0207

Anschlussbleche

Bei Einhaltung der in der Tabelle angegebenen Abmessungen ist die Krafteinleitung vom System in das Anschlussblech nachgewiesen. Die Bleche sind nicht im Lieferumfang enthalten.

Beispiele:

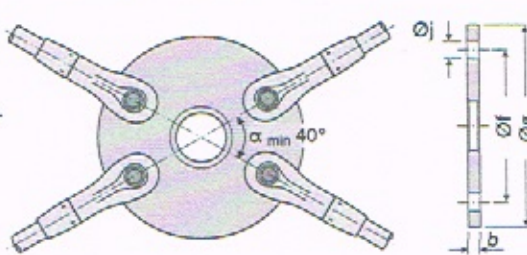


! Hinweis: A nur bei gleichzeitiger Verwendung der Kreisscheibe unter 45° montierbar, s. Seite 19.

| Maße [mm]; Material – Mindestgüten für Ø 10 - 12: Stahl Festigkeitsklasse S235JR, für Ø 16 - 95: Stahl Festigkeitsklasse S355J2 | | | | | | | | | | | | | | | | | |
|---|----------------|-----|------|------|------|------|------|------|------|-----|-----|-----|-----|-----|-----|-----|-----|
| System - Ø | d _S | 10 | 12 | 16 | 20 | 24 | 27 | 30 | 36 | 42 | 48 | 52 | 56 | 60 | 76 | 85 | 95 |
| Dicke Anschlussblech | b | 8 | 10 | 15 | 18 | 20 | 22 | 25 | 30 | 35 | 40 | 45 | 50 | 55 | 65 | 75 | 85 |
| Bohrung | Ø f | 9,5 | 11,5 | 15,5 | 19,5 | 23,5 | 26,5 | 29,5 | 33,5 | 41 | 47 | 49 | 53 | 57 | 76 | 86 | 96 |
| Lochposition | r | 15 | 18 | 24 | 29 | 35 | 39 | 43 | 51 | 60 | 70 | 76 | 83 | 88 | 129 | 149 | 159 |
| Mindestbreite | s | 28 | 33 | 40 | 51 | 64 | 73 | 80 | 94 | 113 | 129 | 142 | 151 | 161 | 216 | 240 | 270 |

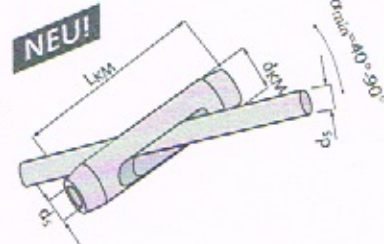
Auskreuzungen

Variante 1:
Kreisscheibe Standard
K40 (kleinster Anschlusswinkel $\alpha_{\min} = 40^\circ$)



Beispiel: Kreisscheibe mit 4 Zugstäben (max. 8 Zugstabanschlüsse möglich)

Variante 2:
Kreuzmuffe (Anschlusswinkel $\alpha = 40^\circ - 90^\circ$)



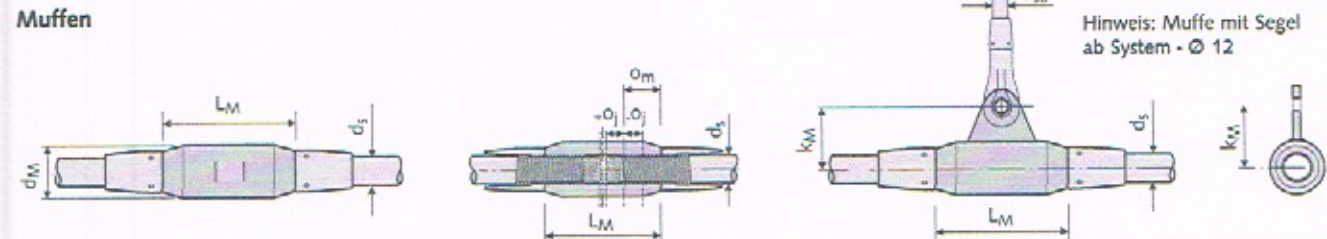
Kreisscheibe: Maße [mm]; Werkstoff: Stahl Festigkeitsklasse S355J2, feuerverzinkt

| System - Ø | d _S | 10 | 12 | 16 | 20 | 24 | 27 | 30 | 36 | 42 | 48 | 52 | 56 | 60 | 76 | 85 | 95 |
|------------------------|----------------|-----|-----|-----|-----|-----|-----|-----|-----|-----|-----|-----|-----|-----|-----|------|------|
| Lochkreisdurchmesser | Ø f | 90 | 110 | 140 | 180 | 210 | 240 | 260 | 310 | 360 | 420 | 450 | 490 | 520 | 702 | 777 | 832 |
| Kreisscheibe Außen - Ø | g | 120 | 146 | 186 | 238 | 280 | 318 | 346 | 412 | 480 | 558 | 600 | 652 | 692 | 960 | 1075 | 1150 |

Kreuzmuffe: Maße [mm]; Werkstoff: Stahl Festigkeitsklasse S355J2, feuerverzinkt

| Systemdurchmesser | d _S | 10 | 12 | 16 | 20 | 24 | 27 | 30 | 36 | 42 | 48 | 52 | 56 | 60 | 76 | 85 | 95 |
|-------------------|----------------|-----|-----|-----|-----|-----|-----|-----|-----|-----|-----|-----|-----|-----|-----|-----|-----|
| Muffenlänge | L _M | 100 | 120 | 142 | 166 | 200 | 222 | 242 | 284 | 310 | 348 | 400 | 440 | 478 | 631 | 710 | 830 |
| Muffen - Ø | d _M | 20 | 24 | 32 | 39 | 46 | 52 | 57 | 70 | 80 | 93 | 101 | 112 | 120 | 154 | 173 | 194 |

Muffen



Hinweis: Muffe mit Segel ab System - Ø 12

Maße [mm]; Werkstoff: Stahl Festigkeitsklasse S355J2, feuerverzinkt

| System - Ø | d _S | 10 | 12 | 16 | 20 | 24 | 27 | 30 | 36 | 42 | 48 | 52 | 56 | 60 | 76 | 85 | 95 |
|----------------------|-----------------|------|------|------|------|------|------|------|------|------|------|-------|-------|-------|---------------------|-------|-------|
| Muffenlänge | L _M | 40 | 50 | 62 | 78 | 94 | 104 | 120 | 140 | 158 | 180 | 195 | 210 | 245 | 328 | 370 | 450 |
| Muffen - Ø | d _M | 20 | 22 | 28 | 35 | 42 | 47 | 53 | 64 | 75 | 87 | 93 | 98 | 104 | 155 | 180 | 195 |
| Einschraubtiefe | o _m | 15,0 | 18,5 | 22,5 | 27,0 | 34,0 | 37,5 | 42,5 | 51,0 | 55,0 | 62,5 | 70,5 | 77,5 | 85,0 | 115 | 130 | 155 |
| Einschr.-Justiermaß | o _j | 5,0 | 6,5 | 7,5 | 8,0 | 11,0 | 12,5 | 12,5 | 14,0 | 15,0 | 17,5 | 20,0 | 22,5 | 25,0 | 39 | 45 | 60 |
| Abhänger, Syst. - Ø | d _{sa} | - | 10 | 10 | 10 | 10 | 10 | 10 | 10 | 10 | 12 | 12 | 12 | 12 | 12 | 16 | 16 |
| Abst. Aufhängeboh. | k _M | - | 28,0 | 31,0 | 44,5 | 48,0 | 50,5 | 57,5 | 72,0 | 86,5 | 98,5 | 111,5 | 124,5 | 137,0 | 140,0 | 150,0 | 157,5 |
| Größe Hakenschlüssel | - | - | - | - | - | - | - | - | - | - | - | - | - | - | 155/8 230/10 230/10 | - | |

DETAN STABSYSTEME

Zugstabsystem DETAN-E aus nichtrostendem Stahl, Europäische Technische Zulassung ETA-11/0311

| Systembauteile – Werkstoffe und Ausführungen | | | | | |
|--|-----------|--------------|---------------------------|-----------------------------|----------------|
| | Zugstab ① | Gabelstück ② | Muffen ③, Kontermuttern ④ | Bolzen ⑤, Sicherungsringe ⑥ | Kreisscheibe ⑦ |
| System - Ø d_s [mm] | 6 - 30 | 6 - 30 | 6 - 30 | 6 - 30 | 6 - 30 |
| Werkstoff | Edelstahl | Edelstahl | Edelstahl | Edelstahl | Edelstahl |
| Ausführung | poliert | poliert | poliert | poliert | poliert |

① Sicherungsringe gemäß DIN 471, Edelstahl 1.4568
 ② Werkstoff Edelstahl, Festigkeitsklasse S460

③ Werkstoff Edelstahl, Festigkeitsklasse S355
 ④ Werkstoff Edelstahl, Festigkeitsklasse S235

Edelstahl gem. ETA 11/0311, Anlage 2 entspricht Korrosionswiderstandsklasse III der Zulassung Z-30.3-6.

Hinweis: Der Einsatz von DETAN-E ist hinsichtlich der Korrosionsbelastung bei unterschiedlichen Umgebungsbedingungen vom Planer in jedem Einzelfall zu prüfen.

| Tragfähigkeiten, System – und lieferbare Stablängen; Material: Edelstahl | | | | | | | | | |
|--|------|-------|-------|-------|-------|-------|-------|-------|-------|
| System - Ø d_s [mm] | 6 | 8 | 10 | 12 | 16 | 20 | 24 | 27 | 30 |
| Bemessungswerte Tragfähigkeit | | | | | | | | | |
| Tragfähigkeit N_{Rd} [kN] ⑧ | 9,42 | 17,13 | 27,14 | 39,44 | 73,32 | 114,6 | 165,0 | 215,0 | 262,4 |
| Lieferbare minimale Systemlänge L [mm] | | | | | | | | | |
| poliert | 190 | 210 | 250 | 310 | 360 | 440 | 520 | 560 | 600 |
| Lieferbare maximale Systemlänge L mit einem Stab [mm] ⑨ | | | | | | | | | |
| poliert | 3040 | 6050 | 6060 | 6070 | 6080 | 6100 | 6120 | 6140 | 6140 |
| Lieferbare maximale Stablänge [mm] | | | | | | | | | |
| poliert | 3000 | | | | 6000 | | | | |

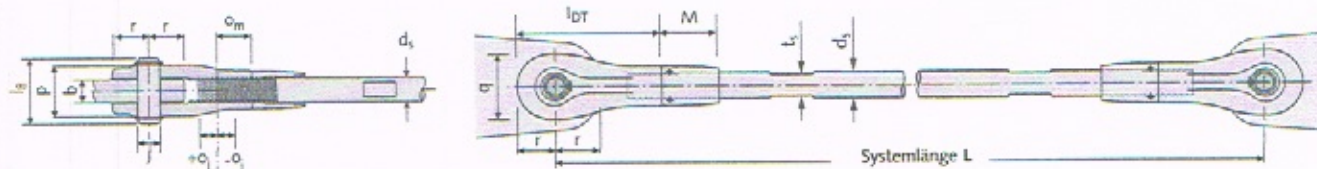
Der Teilsicherheitsbeiwert für oben stehende Tabelle wurde gemäß ETA-Zulassung 11/0311 mit $\gamma_{M1} = 1,1$ und $\gamma_{M2} = 1,25$ angenommen.

Sollten andere Sicherheitsbeiwerte gelten, sind die Traglasten anhand der ETA-Zulassung 11/0311 zu ermitteln.

⑧ N_{Rd} : Designlast gem. Typenprüfung S-WUE/120315 DETAN-E auf Basis der ETA-Zulassung 11/0311.

⑨ Größere Systemlängen L aus mehreren Stäben mit Verbindungsmuffe möglich.

Gabelstück



| Systemmaße [mm]; Werkstoffe: siehe Tabelle oben | | | | | | | | | | |
|---|----------|----------------------------|------|------|------|---------|---------|---------|---------|---------|
| System - Ø | d_s | 6 | 8 | 10 | 12 | 16 | 20 | 24 | 27 | 30 |
| Gabellänge | L_{DT} | 42 | 50 | 60 | 73 | 89 | 110 | 133 | 147 | 160 |
| Gabelbreite | l_g | 18 | 22 | 28 | 32 | 42 | 50 | 58 | 63 | 70 |
| Gabelhöhe | p | 12 | 16 | 21 | 24 | 33 | 40 | 46 | 51 | 57 |
| Einschraubtiefe | o_m | 10,5 | 12,5 | 15,0 | 18,5 | 22,5 | 27,0 | 34,0 | 37,5 | 42,5 |
| Einschr.-Justiermaß | o_j | 4,5 | 4,5 | 5,0 | 6,5 | 7,5 | 8,0 | 11,0 | 12,5 | 12,5 |
| Länge Kontermutter | M | 17,5 | 20,0 | 24,5 | 37,0 | 41,0 | 50,0 | 58,0 | 63,0 | 64,0 |
| Zugstabmontage: Schlüsselweite | t_s | 5 | 6 | 8 | 10 | 14 | 18 | 21 | 24 | 27 |
| Montage Kontermutter Größe Hakenschlüssel | | Schonbackenzange verwenden | | | | 25 - 28 | 30 - 32 | 34 - 36 | 40 - 42 | 45 - 50 |
| Randabstand | r | | | | | | | | | |
| Bohrung Ø | j | | | | | | | | | |
| Dicke Anschlussblech | b | | | | | | | | | |

→ siehe Tabelle Anschlussblech-Maße, Seite 15

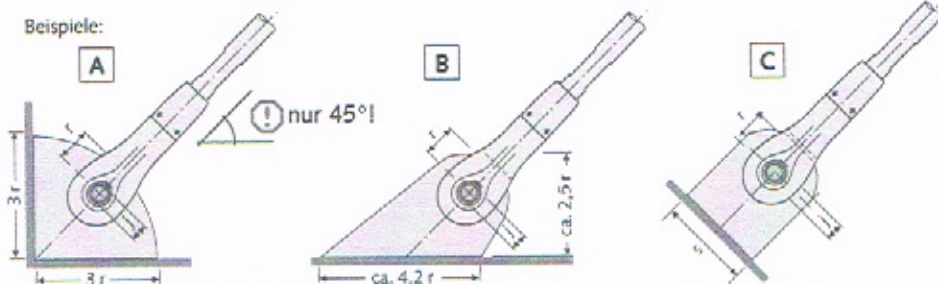
DETAN STABSYSTEME

Zugstabsystem DETAN-E aus nichtrostendem Stahl, Europäische Technische Zulassung ETA-11/0311

Anschlussbleche

Bei Einhaltung der in der Tabelle angegebenen Abmessungen ist die Krafteinleitung vom System in das Anschlussblech nachgewiesen. Die Bleche sind nicht im Lieferumfang enthalten.

Beispiele:



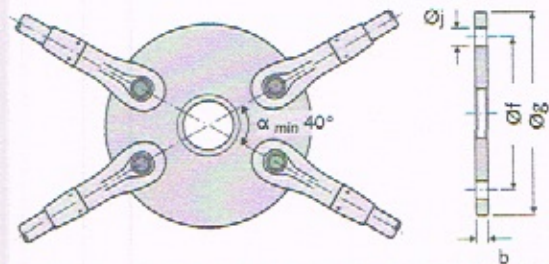
Hinweis: A nur bei gleichzeitiger Verwendung der Kreisscheibe unter 45° montierbar, s. Seite 19.

Maße [mm]; Material-Mindestgüten: Edelstahl, Festigkeitsklasse S235

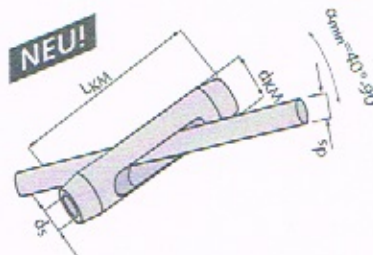
| System - Ø | d _S | 6 | 8 | 10 | 12 | 16 | 20 | 24 | 27 | 30 |
|----------------------|----------------|-----|-----|-----|------|------|------|------|------|------|
| Dicke Anschlussblech | b | 6 | 8 | 10 | 12 | 16 | 20 | 22 | 25 | 30 |
| Bohrung | Ø j | 6,5 | 7,5 | 9,5 | 11,5 | 14,5 | 18,5 | 21,5 | 24,5 | 26,5 |
| Lochposition | r | 9 | 12 | 15 | 18 | 24 | 29 | 35 | 39 | 43 |
| Mindestbreite | s | 17 | 21 | 26 | 31 | 41 | 51 | 61 | 69 | 75 |

Auskreuzungen

Variante 1: Kreisscheibe Standard 40 (kleinster Anschlusswinkel $\alpha_{\min} = 40^\circ$) Beispiel: Kreisscheibe mit 4 Zugstäben (max. 8 Zugstabanschlüsse möglich)



Variante 2: Kreuzmuffe
(Anschlusswinkel $\alpha = 40^\circ - 90^\circ$)



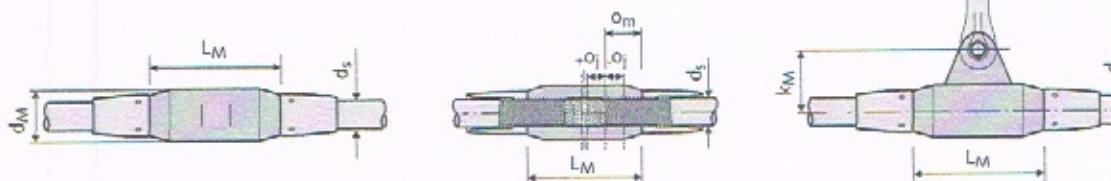
Kreisscheibe:
Maße [mm]; Werkstoff: Edelstahl, Festigkeitsklasse S235

| System - Ø | d _S | 6 | 8 | 10 | 12 | 16 | 20 | 24 | 27 | 30 |
|------------------------|----------------|----|----|-----|-----|-----|-----|-----|-----|-----|
| Lochkreis - Ø | f | 55 | 75 | 90 | 110 | 140 | 180 | 210 | 240 | 260 |
| Kreisscheibe Außen - Ø | g | 73 | 99 | 120 | 146 | 186 | 238 | 280 | 318 | 346 |

Kreuzmuffe:
Maße [mm]; Werkstoff: Edelstahl, Festigkeitsklasse S355

| System Ø | d _S | 6 | 8 | 10 | 12 | 16 | 20 | 24 | 27 | 30 |
|-----------------------------|-----------------|----|----|-----|-----|-----|-----|-----|-----|-----|
| Muffenlänge L _{KM} | d _{KM} | 70 | 85 | 100 | 120 | 142 | 166 | 200 | 222 | 242 |
| Muffen - Ø | d _{KM} | 14 | 17 | 20 | 24 | 32 | 39 | 46 | 52 | 57 |

Muffen



Maße [mm]; Werkstoff: Edelstahl, Festigkeitsklasse S355

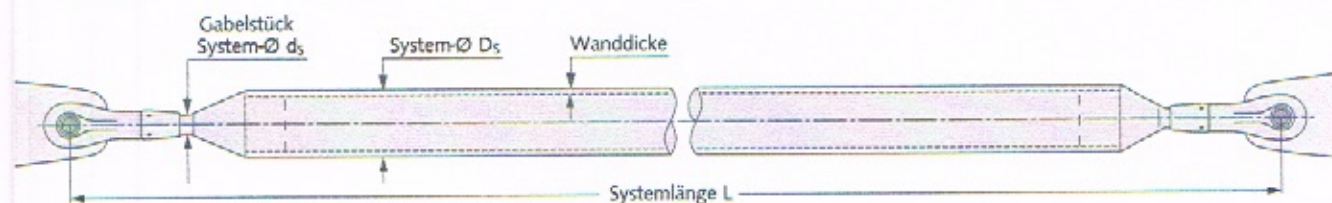
| System - Ø | d _S | 6 | 8 | 10 | 12 | 16 | 20 | 24 | 27 | 30 |
|---------------------|-----------------|------|------|------|------|------|------|------|------|------|
| Muffenlänge | L _M | 34 | 40 | 40 | 50 | 62 | 78 | 94 | 104 | 120 |
| Muffen - Ø | d _M | 12 | 15 | 20 | 22 | 28 | 35 | 42 | 47 | 53 |
| Einschraubtiefe | o _m | 10,5 | 12,5 | 15,0 | 18,5 | 22,5 | 27,0 | 34,0 | 37,5 | 42,5 |
| Einschr.-Justiermaß | o _j | 4,5 | 4,5 | 5,0 | 6,5 | 7,5 | 8,0 | 11,0 | 12,5 | 12,5 |
| Abhänger, Syst. - Ø | d _{sa} | - | - | - | 6 | 6 | 8 | 8 | 10 | 10 |
| Abst. Aufhängebohr. | k _M | - | - | - | 27,5 | 33,0 | 37,0 | 44,0 | 50,5 | 57,5 |

DETAN STABSYSTEME

Lieferprogramm Übersicht: DETAN Druckstabsystem

DETAN Druckstab

Als Ergänzung zum DETAN Zugstabsystem bietet HALFEN auch Druckstäbe, die sich technisch wie optisch perfekt in das System einfügen. Druckstäbe bestehen aus Rohren mit großem Durchmesser, die an den Enden konisch reduziert sind, so dass standardmäßige DETAN Gabelstücke angeschlossen werden können.



Bestellbeispiel: Druckstabsystem, DETAN-S355, $D_s = 42 \text{ mm}$, $L = 2000 \text{ mm FV}$; Gabelkopf $d_s = 16 \text{ mm}$

| Rohrquerschnitte – Beispiele / empfohlene Auswahl | | | | | | | |
|---|------|------|------|------|------|-------|-------|
| System - Ø D_s [mm] | 42 | 54 | 60 | 76 | 89 | 114 | 139 |
| Rohrdurchmesser [mm] | 42,4 | 54,0 | 60,3 | 76,1 | 88,9 | 114,3 | 139,7 |
| Wanddicke [mm] | 2,6 | 2,6 | 2,9 | 2,9 | 3,2 | 3,6 | 4,0 |

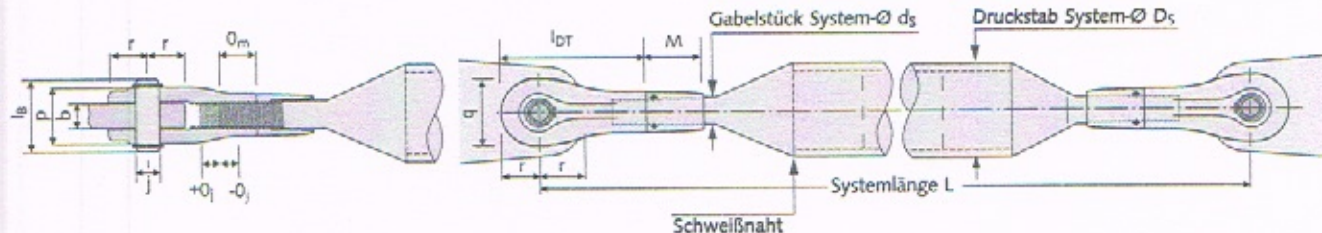
Weitere im Handel erhältliche Rohrquerschnitte sind ebenfalls verfügbar.

Bitte sprechen Sie uns an.



Eine statische Bemessung der Druckrohre ist in jedem Einzelfall notwendig. Sie kann mit der kostenfrei verfügbaren DETAN-Software durchgeführt werden. Wir unterstützen Sie gerne. Alternativ ist eine Anfrage mit Skizze, Systemmaßen und Nachweis der Tragfähigkeit möglich.

Systembauteile und Werkstoffe



Alle Gabelstück-Systemmaße und Abmessungen der Anschlussbleche → Seiten 12 - 13 (Stahl), 14 - 15 (Edelstahl)

Druckstabsysteme in Stahl

| System - Ø D_s [mm] | Druckstab | Gabelstück | Kontermuttern |
|-----------------------|----------------------------|---------------|----------------|
| | 42 - 139 bzw. gemäß Statik | gemäß Statik | wie Gabelstück |
| Werkstoff | S355J2 | G20 Mn5-QT | S235JR |
| FV | feuerverzinkt | feuerverzinkt | feuerverzinkt |
| WB | walzblank | feuerverzinkt | feuerverzinkt |

Druckstabsysteme in Edelstahl

| System - Ø D_s [mm] | Druckstab | Gabelstück | Kontermuttern |
|-----------------------|----------------------------|--------------|----------------|
| | 42 - 139 bzw. gemäß Statik | gemäß Statik | wie Gabelstück |
| Werkstoff | S235 | S460 | S235 |
| Ausführung | Edelstahl Ø | Edelstahl Ø | Edelstahl Ø |

Ø Edelstahl entspricht Korrosionswiderstandsklasse III der Zulassung Z-30.3-6.

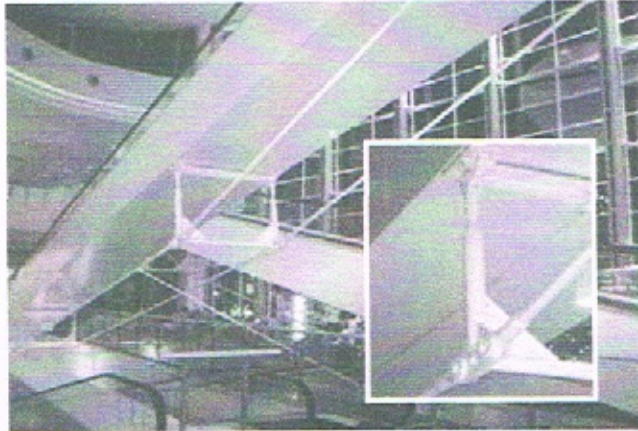
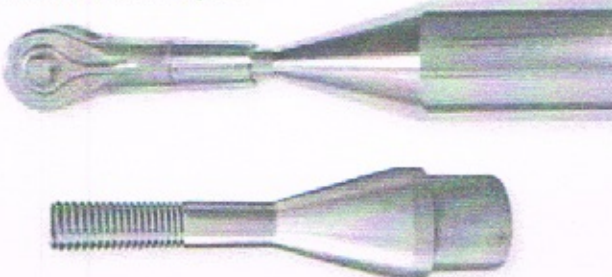
Hinweis: Der Einsatz von DETAN-E ist hinsichtlich der Korrosionsbelastung bei unterschiedlichen Umgebungsbedingungen vom Planer in jedem Einzelfall zu prüfen.

DETAN STABSYSTEME

DETAN Druckstabsystem

System Zusammenbau

- Justage der Länge an den Gabelstücken
- Konus (Drehteil) ist in das Rohr gesteckt und rundum verschweißt
- Ausführung mit mindestens einem Gabelstück ist als Sonderteil möglich



Duplex-Beschichtungen

Individuelles Design: Pulverbeschichtung

Durch eine schützende Pulverbeschichtung können zwei Funktionen erfüllt werden: Architektonische Gestaltung durch Farbgebung und Erhöhung des Korrosionsschutzes. Gerne beraten wir Sie diesbezüglich. Die Beschichtungen werden dann durch zertifizierte Fachfirmen vorgenommen.

Duplex-Beschichtung (Feuerverzinkung + Anstrich oder Pulverbeschichtung) nach EN ISO 12944-5.



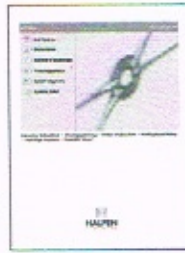
Einbau- und Sicherheitshinweise

Wichtige Einbau- und Sicherheitshinweise siehe Seite 19.

Weitere Hinweise zum Einbau der DETAN Stabsysteme sind der Montageanleitung INST_DT zu entnehmen.



Eine Montageanleitung steht unter diesem QR-code zur Verfügung.
www.halfen.com/produkte/stabsysteme/detan-stabstsystem/produktinformationen



Ein Video der Installation steht unter diesem QR-code zu Verfügung.
www.halfen.com/service/videos



Brandschutz

Brandschutzklassifizierung für Zugstabsysteme. Gerne beraten wir Sie persönlich bei Fragen hinsichtlich der jeweiligen Brandschutzklassifizierung. Neu mit DIBt Zulassung: Auf dem Markt existiert nun ein Hersteller mit reaktivem Brandschutzsystem auf Stahlzuggliedern mit Kreisprofil.



HALFEN Technische Beratungen

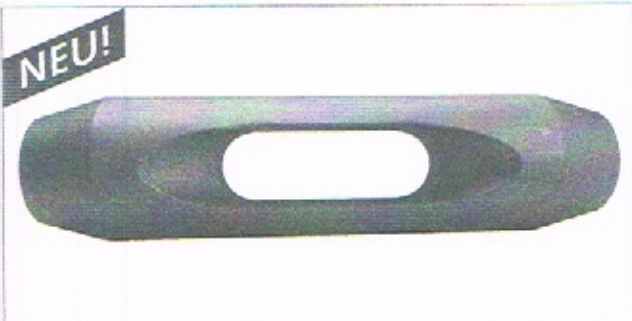
Weitere Informationen zum Thema Brandschutz bekommen Sie direkt bei HALFEN.



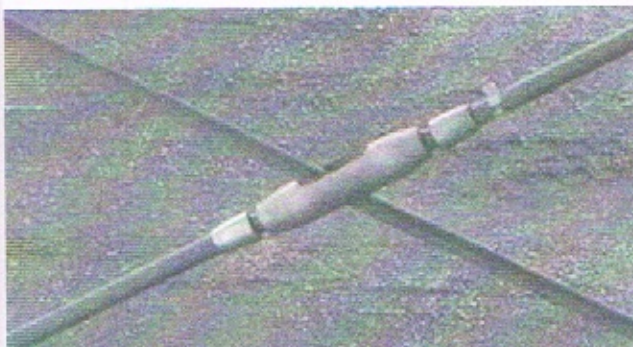
DETAN STABSYSTEME

DETAN - Kreuzmuffen und Druckstäbe

DETAN Kreuzmuffen



Kreuzmuffe für minimalen Auskreuzungswinkel von 40°



Auskreuzung mit Kreuzmuffe

DETAN Kreuzmuffen stellen eine Alternative zur Kreisscheibe dar. Die neue Kreuzmuffe ist nun uneingeschränkt auch für kleine Auskreuzungswinkel geeignet. Genau wie bei der Kreisscheibe sind nun Winkel ab 40° zwischen zwei Stäben möglich. Die Kreuzmuffe ersetzt alternativ eine Kreisscheibe mit 4 Anschlussgabelstücken. In beiden Fällen wird die gleiche Tragfähigkeit gewährleistet. Ebenso wie die Kreisscheibe gibt es diese Variante in zwei Ausführungen:

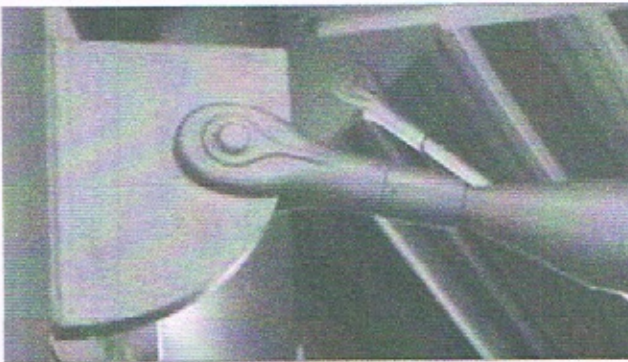
- feuerverzinkter Stahl
- Edelstahl.

DETAN Kreuzmuffen sind formschön und ermöglichen das berührungslose Kreuzen der Zugstäbe in einer Ebene. Weitere Vorteile sind geringe Kosten und die einfache Montage.

DETAN Druckstäbe



Abstützung zwischen äußeren Stahlstützen und innen liegenden Stahlträger



Verbindung Druckstabsystem an Anschlussblech

DETAN ist ein intelligentes System zur Kombination von Zug- und Druckstäben. Als Ergänzung zum DETAN Zugstabsystem bietet HALFEN auch Druckstäbe an, die sich technisch wie optisch perfekt in das System einfügen. Wie bei den Zugstäben wird durch den konischen Übergang an den Stabenden, durch die DETAN Gabelstücke und die DETAN Mutter das Design des Systems konsequent fortgesetzt. Das Konzept ist deshalb so überzeugend, da die DETAN Gabelstücke sowohl Zug- als auch Druckkräfte übertragen. Eine Kombination ist aus diesem Grunde technisch sinnvoll.

Wie DETAN-S460 und DETAN-E Zugstäbe sind auch die Druckstäbe in Stahl und Edelstahl lieferbar. Zusätzlich zu den vorhandenen Lagerrohren bietet HALFEN auch andere Abmessungen und Sonderlösungen an.

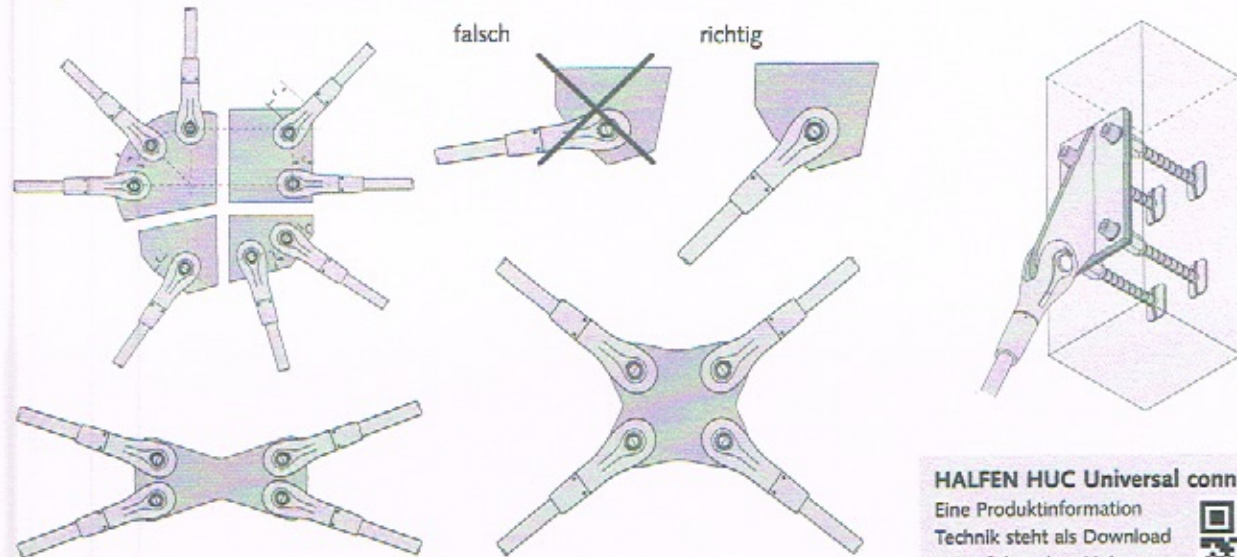
Die Druckstabsysteme werden mit Standardgabelköpfen und Muttern von HALFEN vormontiert.

DETAN STABSYSTEME

Anschlussblechkonstruktionen und Einbau

Beispiele – Anschlussblechkonstruktionen

Beispiele von Anschlussblechkonstruktionen



Die hier gezeigten Anschlussblechkonstruktionen stellen Sonderlösungen dar, wie die Form dieses Details aussehen kann. Anschlussbleche sind keine Standardkonstruktionen. Angebote werden gemäß individueller Fertigungszeichnungen erstellt.

HALFEN HUC Universal connection

Eine Produktinformation
Technik steht als Download
unter folgendem Link
zur Verfügung:



[www.halfen.com/Produkte/Bewehrungstechnik/
HUC Universal connection](http://www.halfen.com/Produkte/Bewehrungstechnik/HUC%20Universal%20connection)

Einbau- und Sicherheitshinweise

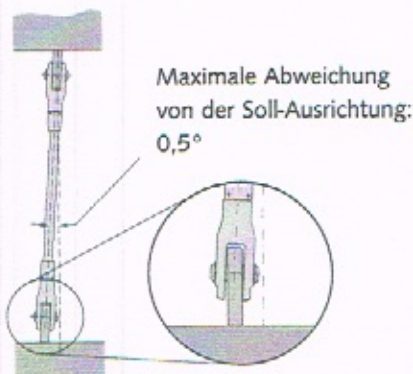


Abb. 1

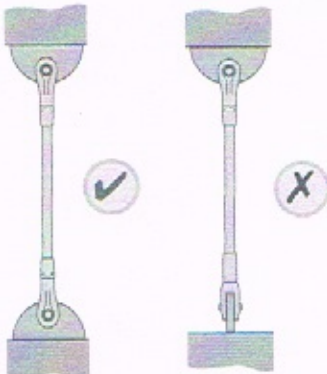


Abb. 2a

Abb. 2b

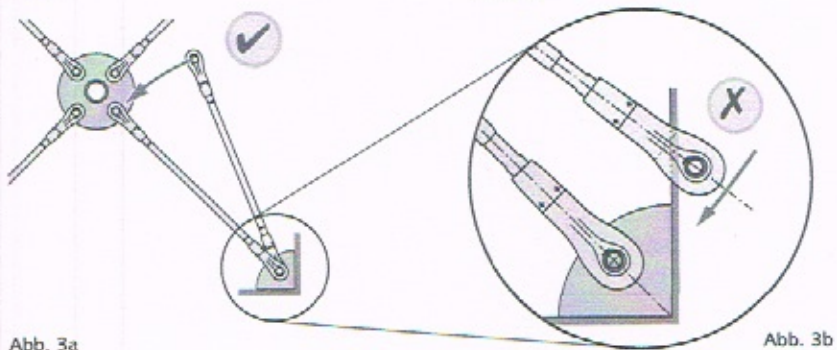


Abb. 3a

Gegenüberliegende Anschlussbleche müssen **richtig ausgerichtet** (Abb. 1) und in einer Ebene (Abb. 2a) angeordnet sein, so dass die Einleitung von Biegekräften ausgeschlossen ist. Um die Montierbarkeit sicherzustellen, muss das Gabelstück seitlich einschwenkbar sein. Diese Voraussetzung ist nicht immer gewährleistet (Abb. 3b). In diesen Fällen muss eine Kreisscheibe angeordnet werden. Diese ermöglicht dann den einwandfreien Montageablauf (Abb. 3a).

! Alle Bauteile der Stabsysteme sind vor der Montage auf einwandfreie Beschaffenheit zu kontrollieren. Beschädigte Bauteile dürfen nicht verwendet werden.

! Weitere Informationen können der Montageanleitung INST_DT entnommen werden (siehe Seite 17).

ČESKÉ VYSOKÉ UČENÍ TECHNICKÉ V PRAZE

Fakulta stavební



DIPLOMOVÁ PRÁCE

PŘÍLOHA 6 – Lepené kotvy do betonu HIT-RE 500 -
HILTI

2017

Bc. Petrás Michal

HIT-RE 500 pro lepené kotvy do betonu

Dvoukomponentní lepicí hmota na bázi epoxidové pryskyřice pro těžké kotvení s kotevními šrouby HIT-V, HAS, závitovými pouzdry HIS-N a pro dodatečné vlepování výztuží do betonu

Základní materiál:

■ Beton

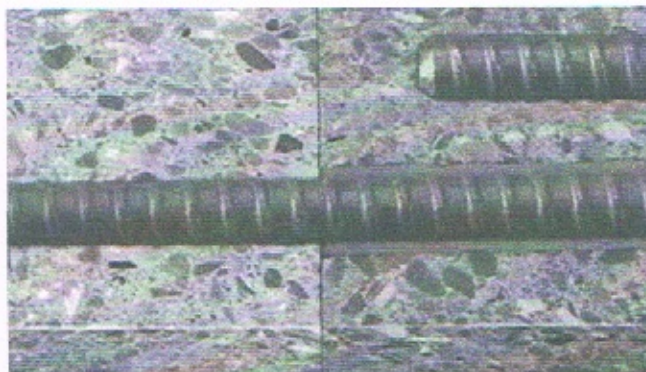
Použití:

- Kotvení nosných ocelových konstrukcí, sloupů
- Schodiště, zábradlí, bezpečnostní bariéry
- Dodatečné vlepování výztuží
- Spráhování nosných konstrukcí
- Kotvení v otvorech vrtaných diamantem

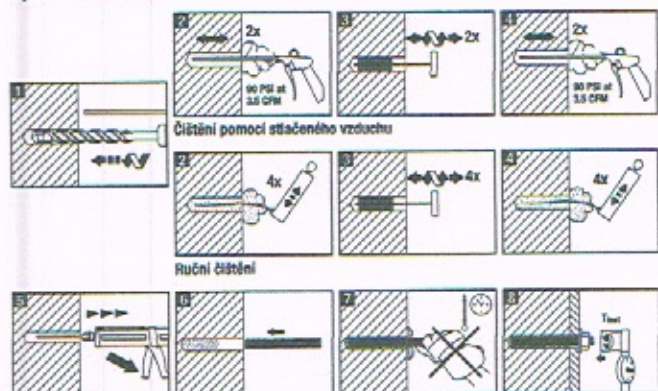


Výhody:

- Lepicí hmota s řadou technických certifikací a s jednou z nejvyšších únosností na trhu
- Snadné vytlačování i při nízkých teplotách
- Malé osové a okrajové vzdálenosti
- Možnost kotvení v otvorech vrtaných diamantovými korunkami
- Možnost dodatečného vlepování výztuží ve shodě s ETA a EC2
- Neobsahuje nebezpečné chemické látky, splňuje zdravotní a bezpečnostní požadavky pro použití, skladování a přepravu
- Sladěný kompletní HIT Profi systém pro správné kotvení



Způsob osazení



Doby zpracování a vytvrzení:

| Teplota °C | Teoričt doba pro zpracování | Teoričt doba pro vytvrzení |
|------------|-----------------------------|----------------------------|
| 5 | 2,5 h | 72 h |
| 10 | 2 h | 48 h |
| 15 | 1,5 h | 24 h |
| 20 | 30 min | 12 h |
| 30 | 20 min | 8 h |
| 40 | 12 min | 4 h |



HIT-RE 500 lepicí hmota

Označení

| Označení | Objem balení (ml) | Objednací množství (ks) | Č. výrobku |
|------------------------|-------------------|-------------------------|------------|
| HIT-RE 500 | 330 | 1 | 426 676* |
| HIT-RE 500 + Hilti box | 330 | 20 | 2021 273* |
| HIT-RE 500 + Hilti box | 500 | 10 | 2021 274* |
| HIT-RE 500 + Hilti box | 500 | 20 | 2021 275* |
| HIT-RE 500 | 1 400 | 1 | 426 671* |



HIT-RE M směšovač

Označení

| Označení | Objednací množství (ks) | Č. výrobku |
|----------|-------------------------|------------|
| HIT-RE M | 1 | 337 111 |

* 330, 500 a 1 400 ml balení obsahuje 1 x statický směšovač



Vytlačovací přístroje
jsou uvedeny na str. 319



Technická data pro použití s kotevním šroubem HIT-V

| Výtaž z ETA osvědčení | ETA 04/0027 | | | | | | | |
|-----------------------------------|-------------------------------|-----|------|------|------|------|------|-------|
| Základní materiál | Beton bez trhlin C20/25 (B25) | | | | | | | |
| | M8 | M10 | M12 | M16 | M20 | M24 | M27 | M30 |
| Průměr vrtání | d ₀ (mm) | 10 | 12 | 14 | 18 | 24 | 28 | 35 |
| Efektivní kotevní hloubka | h _{ef} (mm) | 80 | 90 | 110 | 125 | 170 | 210 | 270 |
| Dovolené namáhání v tahu | N _{res} (kN) | 8,6 | 13,8 | 19,8 | 24,0 | 38,1 | 52,3 | 63,9 |
| Dovolené namáhání ve smyku | V _{rec} (kN) | 5,1 | 8,6 | 12,0 | 22,3 | 34,9 | 50,3 | 65,7 |
| Okrayová vzdálenost | c _{trap} (mm) | 180 | 205 | 250 | 285 | 385 | 475 | 545 |
| Osová vzdálenost | s _{trap} (mm) | 360 | 410 | 500 | 570 | 770 | 950 | 1090 |
| Minimální okrajová vzdálenost | c _{min} (mm) | 40 | 50 | 60 | 80 | 100 | 120 | 150 |
| Minimální osová vzdálenost | s _{min} (mm) | 40 | 50 | 60 | 80 | 100 | 120 | 150 |
| Minimální tloušťka betonu | h _{min} (mm) | 110 | 120 | 140 | 165 | 220 | 270 | 300 |
| Maximální utahovací moment | T _{max} (Nm) | 10 | 20 | 40 | 80 | 150 | 200 | 270 |
| Orientečná spotřeba kotvíci hmoty | (ml) | 4,4 | 6,4 | 9,5 | 15,1 | 41,8 | 63,3 | 67,2 |
| | | | | | | | | 122,3 |

Podmínky platnosti: Hodnoty dovoleného namáhání jsou platné pro jednu samostatnou kotvu bez vlivu okrajových vzdáleností. Max. dlouhodobá provozní teplota 24°C, max. krátkodobá provozní teplota 40°C. Příklepem vrtaný otvor v suchém nebo vlněkém betonu. Kotevní šroub HIT-V – kvalita oceli 5.8. Tloušťka betonu ≥ 2 h_{ef}.
Pro podrobnější informace použijte Fastening Technology Manual nebo Hilti PROFIS Anchor navrhovač software.

Technická data pro dodatečně vlepovanou nosnou výztuž dle EC2

| Výtaž z ETA osvědčení | ETA 08/0105 | Kotvení *** | | | Přesah **** | |
|-----------------------|-------------|---------------------|-----------------------------|---|---|--|
| | | Průměr výztuže [mm] | Průměr vrtaného otvoru [mm] | Návrhová kotevní délka l _{be} [mm] | Návrhové únosnosti N _{rd} [kN] | Návrhová délka přesahu l _e [mm] |
| 8 | 12 (10)* | | | 113** | 6,56 | 200** |
| | | | | 200 | 11,57 | 320 |
| | | | | 378 | 21,87 | 378 |
| | | | | 142** | 10,24 | 200** |
| 10 | 14 (12)* | | | 300 | 21,67 | 300 |
| | | | | 473 | 34,13 | 473 |
| | | | | 170** | 14,74 | 200** |
| 12 | 16 (14)* | | | 360 | 31,19 | 360 |
| | | | | 567 | 49,13 | 567 |
| | | | | 198** | 20,09 | 210** |
| 14 | 18 | | | 420 | 42,50 | 420 |
| | | | | 662 | 66,96 | 662 |
| | | | | 227 | 26,22 | 240** |
| 16 | 20 | | | 480 | 55,48 | 480 |
| | | | | 756 | 87,39 | 756 |
| | | | | 255 | 33,13 | 270** |
| 18 | 22 | | | 540 | 70,10 | 540 |
| | | | | 851 | 110,48 | 851 |
| | | | | 284** | 40,96 | 300** |
| 20 | 25 | | | 600 | 86,66 | 600 |
| | | | | 945 | 136,52 | 945 |
| | | | | 312** | 49,57 | 330** |
| 22 | 28 | | | 660 | 104,88 | 660 |
| | | | | 1040 | 165,27 | 1040 |
| | | | | 340** | 58,96 | 360** |
| 24 | 32 | | | 720 | 124,75 | 720 |
| | | | | 1134 | 196,48 | 1134 |
| | | | | 354** | 64,04 | 375** |
| 25 | 32 | | | 750 | 135,52 | 750 |
| | | | | 1181 | 213,48 | 1181 |

* pro maximální délku kotevního otvoru 250 mm

** hodnoty odpovídající minimální kotevní délce

*** žebříková výztuž fy,k=500 N/mm², Beton C20/25, α₁=α₂=α₃=α₄=1,0

**** žebříková výztuž fy,k=500 N/mm², Beton C20/25, α₁=α₂=α₃=α₄=1,0

HAS-TZ kotevní šrouby

Dodáváno včetně šestihranné matky a podložky

Materiál: ocel 8.8 galvanicky pozinkovaná min. 5 µm,
nerezová ocel A4 (1.4401), nerezová ocel min. 6 % Mo



| Max. výška upovědní t_u (mm) | Délka šroubu (mm) | Osažovací hloubka (mm) | \varnothing vrtáku d_1 (mm) | Baleno ks | Označení | Č. výroku HAS-TZ galv. pozink | Č. výroku HAS-RTZ nerez A4 | Č. výroku HAS-HCR-TZ HCR - 6% Mo |
|-----------------------------------|----------------------|---------------------------|------------------------------------|-----------|---------------------|-------------------------------|----------------------------|----------------------------------|
| 15 | 124 | 90 | 12 | 10 | HAS-TZ M 10/75/15 | 310 018* | 310 019* | 336 269** |
| 30 | 139 | 90 | 12 | 10 | HAS-TZ M 10/75/30 | 308 383* | 308 391* | 336 270** |
| 50 | 159 | 90 | 12 | 10 | HAS-TZ M 10/75/50 | 308 384* | 308 392* | 336 271** |
| 25 | 158 | 110 | 14 | 10 | HAS-TZ M 12/95/25 | 308 385* | 308 393* | 336 272** |
| 50 | 183 | 110 | 14 | 10 | HAS-TZ M 12/95/50 | 308 386* | 308 394* | 336 273** |
| 100 | 233 | 110 | 14 | 10 | HAS-TZ M 12/95/100 | 308 387* | 308 395* | 336 274** |
| 30 | 181 | 105 | 18 | 5 | HAS-TZ M 16/105/30 | 308 388* | 308 396* | 336 275** |
| 60 | 211 | 105 | 18 | 5 | HAS-TZ M 16/105/60 | 308 389* | 308 397* | 336 276** |
| 100 | 251 | 105 | 18 | 5 | HAS-TZ M 16/105/100 | 308 390* | 308 398* | 336 277** |
| 30 | 201 | 125 | 18 | 5 | HAS-TZ M 16/125/30 | 332 519* | 332 522* | 336 278** |
| 60 | 231 | 125 | 18 | 5 | HAS-TZ M 16/125/60 | 332 520* | 332 523* | 336 279** |
| 100 | 271 | 125 | 18 | 5 | HAS-TZ M 16/125/100 | 332 521* | 332 524* | 336 280** |
| 40 | 269 | 170 | 25 | 4 | HAS-TZ M 20/170/40 | 335 943* | 335 944* | 335 945** |

* Termín dodání nutno konzultovat

** Pouze na speciální zakázku

HIT-V kotevní šroub

Dodáváno včetně šestihranné matky a podložky

Materiál: galvanická pozink 5.8. resp. 8.8., nerezová ocel A4



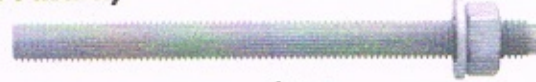
| Závit | Užitná délka (mm) | Délka šroubu (mm) | Vrtaný \varnothing d_0 (mm) | Baleno ks | Označení | Č. výroku HIT-V galv. pozink | Č. výroku HIT-V-F žárový pozink | Č. výroku HIT-V-R nerez A4 |
|-------|----------------------|----------------------|------------------------------------|-----------|----------------|------------------------------|---------------------------------|----------------------------|
| M 6 | 62 | 75 | 8 | 20 | HIT-V M6x75 | 387 144 | | |
| M 6 | 92 | 105 | 8 | 20 | HIT-V M6x105 | 387 145 | | |
| M 8 | 65 | 80 | 10 | 20 | HIT-V M8x80 | 387 054 | 409 548 | 387 074** |
| M 8 | 95 | 110 | 10 | 20 | HIT-V M8x110 | 387 055 | 409 549 | 387 075 |
| M 8 | 135 | 150 | 10 | 20 | HIT-V M8x150* | 387 056 | 409 550 | 387 076 |
| M10 | 78 | 95 | 12 | 10 | HIT-V M10x95 | 387 057 | 409 551 | 387 077 |
| M10 | 98 | 115 | 12 | 10 | HIT-V M10x115 | 387 146 | 409 552 | 387 148 |
| M10 | 113 | 130 | 12 | 10 | HIT-V M10x130 | 387 058 | 409 553 | 387 078 |
| M10 | 173 | 190 | 12 | 10 | HIT-V M10x190* | 387 059 | 409 554 | 387 079 |
| M12 | 91 | 110 | 14 | 10 | HIT-V M12x110 | 387 060 | 409 555 | 387 080** |
| M12 | 101 | 120 | 14 | 10 | HIT-V M12x120 | 387 147 | 409 556 | 387 149** |
| M12 | 131 | 150 | 14 | 10 | HIT-V M12x150 | 387 061 | 409 557 | 387 081 |
| M12 | 201 | 220 | 14 | 10 | HIT-V M12x220* | 387 062 | 409 558 | 387 082 |
| M12 | 261 | 280 | 14 | 10 | HIT-V M12x280* | 387 063 | 409 559 | 387 083 |
| M16 | 127 | 150 | 18 | 5 | HIT-V M16x150 | 387 064 | 409 560 | 387 084 |
| M16 | 177 | 200 | 18 | 5 | HIT-V M16x200 | 387 065 | 409 561 | 387 085 |
| M16 | 277 | 300 | 18 | 5 | HIT-V M16x300 | 387 066 | 409 562 | 387 086 |
| M16 | 357 | 380 | 18 | 5 | HIT-V M16x380* | 387 067 | 409 563 | 387 087 |
| M20 | 153 | 180 | 24 | 5 | HIT-V M20x180 | 387 068 | 409 564 | 387 150 |
| M20 | 233 | 260 | 24 | 5 | HIT-V M20x260 | 387 069 | 409 565 | 387 088 |
| M20 | 353 | 380 | 24 | 10 | HIT-V M20x380 | 387 070 | 409 566 | 387 089** |
| M20 | 453 | 480 | 24 | 10 | HIT-V M20x480 | 387 071 | 409 567 | 387 151** |
| M24 | 268 | 300 | 28 | 5 | HIT-V M24x300 | 387 072 | 409 568 | 387 152 |
| M24 | 418 | 450 | 28 | 5 | HIT-V M24x450 | 387 073 | 409 569 | 387 153** |

* Ocel kvality 8.8 ** Dodací lhůta dle dohody

HIT-V-F kotevní šroub pro zádržné systémy (svodidla)

Dodáváno včetně šestihranné matky a podložky

Materiál: žárový pozink 8.8



| Závit | Užitná délka (mm) | Délka šroubu (mm) | Vrtaný \varnothing d_0 (mm) | Baleno ks | Označení | Č. výroku HIT-V-F žárový pozink |
|-------|----------------------|----------------------|------------------------------------|-----------|-----------------|---------------------------------|
| M16 | 197 | 220 | 18 | 5 | HIT-V-F M16x220 | 2062 594 |
| M24 | 228 | 260 | 28 | 5 | HIT-V-F M24x260 | 2062 595 |

ČESKÉ VYSOKÉ UČENÍ TECHNICKÉ V PRAZE

Fakulta stavební



DIPLOMOVÁ PRÁCE

**PŘÍLOHA 7 – Návrh dřevěných spojů dle ČSN EN
1996-1-1**

2017

Bc. Petrás Michal

4.3 Ocelové svorníky

-se používají na spojování dřevěných prvků větších tloušťek a na zabezpečení tesařských, hřebíkových a hmoždíkových spojů. Svorníkové spoje jsou velmi poddajné. Poddajnost svorníkového spoje vedle zatlačení svorníku do dřeva způsobená i tím, že otvory pro svorníky se předvrtávají o průměr větší než je jmenovitý průměr svorníku, aby se svorník nemusel do otvoru zarážet.

Vzájmu dobré funkce svorníkového spoje je třeba navrhovat dostatečně velké podložky. Délka čtvercové podložky pod svorníky má být nejméně 3,5 násobek průměru svorníku. Tloušťka podložek má být alespoň 0,3 násobek průměru svorníku, nejméně však 5 mm.

V nosném svorníkovém spoji musí být navrženy alespoň dva svorníky. Průměr svorníků musí být nejméně 10 mm (pro tloušťku jednotlivých spojovaných prvků nejvíce 80 mm), 12 mm (pro tloušťku jednotlivých spojovaných prvků větších než 80 mm).

Z tabulky 4.3 vypočteme příslušné hodnoty únosnosti T_{1d} a do dalšího výpočtu uvažujeme nejnižší hodnotu.

Tabulka 4.3 Výpočtová únosnost svorníkových spojů T_{1d}

| Svorníkové spojení | Dřevo jehličnaté (evropské) | Dřevo listnaté - tvrdé |
|--------------------|--|--|
| doustřížné | $11 \cdot t_3 \cdot d \cdot k$ - střední část: $50 \cdot d^2 \cdot \sqrt{k}$ $7 \cdot t_1 \cdot d \cdot k$ - krajní část: $33 \cdot d^2 \cdot \sqrt{k}$ | $12,5 \cdot t_3 \cdot d \cdot k$ - střední část: $60 \cdot d^2 \cdot \sqrt{k}$ $8 \cdot t_1 \cdot d \cdot k$ - krajní část: $38 \cdot d^2 \cdot \sqrt{k}$ |
| jednostřížné | $5 \cdot t_1 \cdot d \cdot k$ $22 \cdot d^2 \cdot \sqrt{k}$ | $6,25 \cdot t_1 \cdot d \cdot k$ $26 \cdot d^2 \cdot \sqrt{k}$ |

T_{1d} je výpočtová únosnost jednoho svorníku v N, t_1 menší tloušťka jednostřížně spojovaných prvků anebo menší tloušťka krajních prvků dvoustřížného spoje v mm, t_2 větší tloušťka jednostřížně spojovaných prvků anebo větší tloušťka krajních částí dvoustřížného spoje v mm, t_3 tloušťka středního prvku dvoustřížného spoje v mm, d průměr svorníku, k součinitel vyjadřující vliv odklonu působící síly od směru vláken dřeva (viz tab. 4.4).

Při použití ocelových příložek a působení síly ve směru vláken lze výpočtovou únosnost svorníku zvýšit o 25%.

Tabulka 4.4 Hodnoty součinitele k a \sqrt{k}

| Odklon působící síly od směru vláken ¹⁾ | Průměr svorníku v mm | | | | | | | |
|--|----------------------|------|------|------|------|-----------------------|------|------|
| | 10 | 12 | 16 | 20 | 24 | 10 | 12 | 16 |
| | součinitel k | | | | | součinitel \sqrt{k} | | |
| 0 rad | 0° | 1,0 | 1,0 | 1,0 | 1,0 | 1,0 | 1,0 | 1,0 |
| 0,524 rad | 30° | 0,95 | 0,95 | 0,90 | 0,90 | 0,97 | 0,97 | 0,95 |
| 1,047 rad | 60° | 0,80 | 0,75 | 0,70 | 0,66 | 0,60 | 0,90 | 0,86 |
| 1,571 rad | 90° | 0,75 | 0,70 | 0,60 | 0,55 | 0,50 | 0,86 | 0,84 |
| ¹⁾ Pro mezilehle velikosti úhlů a průměry svorníků lze interpolovat podle přímky. | | | | | | | | |

Výpočet počtu svorníků

$$n = \frac{N \cdot \gamma_M}{T_{1d}} \cdot k_{mod}$$

n... počet svorníků

N... normálová síla v maximální hodnotě [N]

T_{1d} ... nejmenší výpočtová únosnost jednoho svorníku [N]

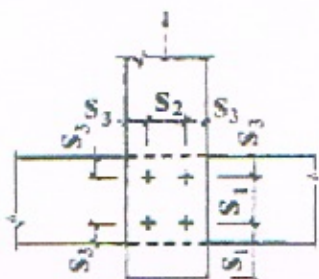
γ_M ... součinitel materiálu (gama)

k_{mod} ... modifikační součinitel

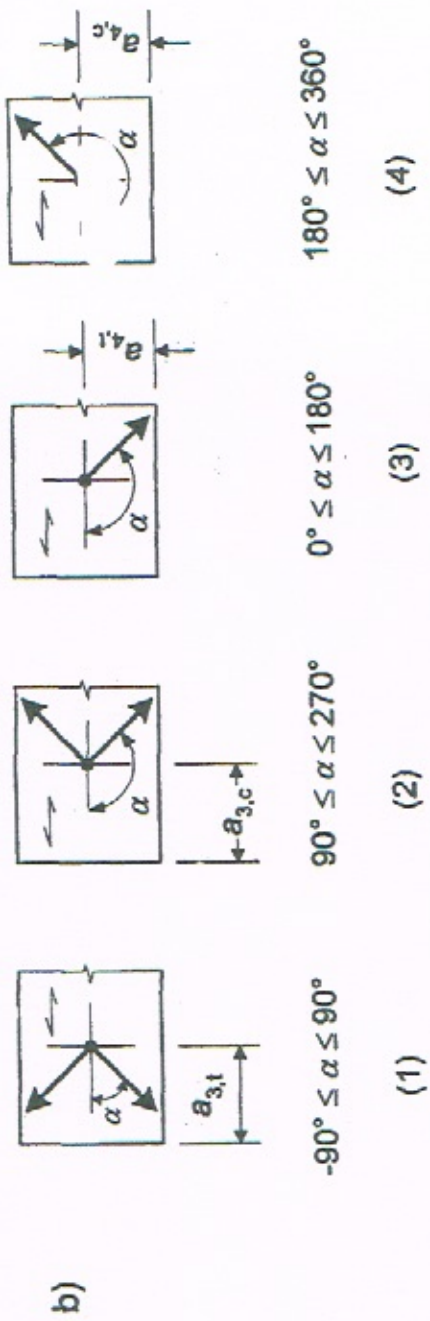
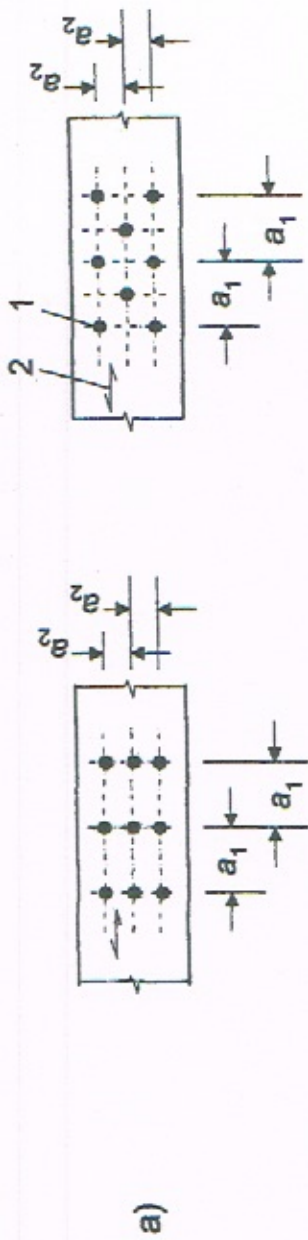
Tabulka 4.5 Nejmenší osové vzdálenosti svorníků

| Nejmenší osová vzdálenost svorníků | | Celková tloušťka prvku | |
|---|----------------------|------------------------|---------------------|
| | | >10 d | $\leq 10 d$ |
| ve směru vláken ¹⁾ | mezi svorníky | $s_1 = 7 \cdot d$ | $s_1 = 6 \cdot d$ |
| | od namáhaných okrajů | | |
| kolmo na vlákna (kolmo na směr sily) | mezi svorníky | $s_2 = 3,5 \cdot d$ | $s_2 = 3 \cdot d$ |
| | od okrajů prvku | $s_3 = 3 \cdot d$ | $s_3 = 2,5 \cdot d$ |
| šikmo k vláknům (ve směru sily) | Od okrajů prvku | | $s_4 = 3,5 \cdot d$ |

¹⁾ $s_1 =$ nejméně 100 mm
d...průměr svorníku



Rozteče hřebíků



Legenda

- (1) Zatižený konec
- (2) Nezatižený konec
- (3) Zatižený okraj
- (4) Nezatižený okraj
- 1 Spojovací prostředek
- 2 Směr vláken

Rozteče a vzdáleností od konců a okrajů
 (a) rozteče rovnoběžně s vláknami v řadě a kolmo k vláknům mezi řadami,
 (b) vzdálenosti od okrajů a konců

Rozteče hřebíků (spoje: dřevo/dřevo)

Minimální rozteče a vzdálenost od okrajů a konci pro hřebíky

| Rozteče nebo vzdálenosti | Úhel α | Minimální rozteče nebo vzdálenosti od konců/okrajů | |
|---|--|---|---|
| | | bez předvrtaných otvorů | s předvrtanými otvary |
| | | $\rho_k \leq 420 \text{ kg/m}^3$ | $420 \text{ kg/m}^3 < \rho_k \leq 500 \text{ kg/m}^3$ |
| Rozteč a_1 (rovnoběžné s vláknym) | $0^\circ \leq \alpha \leq 360^\circ$ | $d < 5 \text{ mm:}$ $(5+5 \cos \alpha) d$ $d \geq 5 \text{ mm:}$ $(5+7 \cos \alpha) d$ | $(7+8 \cos \alpha) d$ $(4+ \cos \alpha) d$ |
| Rozteč a_2 (kolmo k vláknům) | $0^\circ \leq \alpha \leq 360^\circ$ | $5d$ | $7d$ |
| Vzdálenost $a_{3,1}$ (zatižený konec) | $-90^\circ \leq \alpha \leq 90^\circ$ | $(10+5\cos \alpha) d$ | $(15+5\cos \alpha) d$ |
| Vzdálenost $a_{3,c}$ (nezatižený konec) | $90^\circ \leq \alpha \leq 270^\circ$ | $10d$ | $15d$ |
| Vzdálenost $a_{4,1}$ (zatižený okraj) | $0^\circ \leq \alpha \leq 180^\circ$ | $d < 5 \text{ mm:}$ $(5+2\sin \alpha) d$ $d \geq 5 \text{ mm:}$ $(5+5\sin \alpha) d$ | $d < 5 \text{ mm:}$ $(7+2\sin \alpha) d$ $d \geq 5 \text{ mm:}$ $(7+5\sin \alpha) d$ |
| Vzdálenost $a_{4,c}$ (nezatižený okraj) | $180^\circ \leq \alpha \leq 360^\circ$ | $5d$ | $7d$ |
| | | | $3d$ |

ČESKÉ VYSOKÉ UČENÍ TECHNICKÉ V PRAZE

Fakulta stavební



DIPLOMOVÁ PRÁCE
TECHNICKÁ ZPRÁVA KE STATICKÉMU
VÝPOČTU

2017

Bc. Petrás Michal

Obsah

| | | |
|----|---|---|
| 1. | Úvod..... | 1 |
| 2. | Normy a literatura..... | 1 |
| 3. | Popis konstrukce | 1 |
| 4. | Návrh a posouzení konstrukcí | 2 |
| 5. | Materiály | 2 |
| 6. | Provádění a montáž konstrukce | 3 |
| 7. | Protikorozní ochrana ocelové konstrukce..... | 3 |
| 8. | Ochrana ocelové konstrukce proti požáru | 3 |

1. Úvod

Předmětem návrhu je budova multifunkční kulturní haly. Hala je navržena jako jednolodní a podélně je rozdělena na 3 části. První část slouží jako atrium s délkou 28 metrů a šířkou 24 metrů. Druhá část je hlavní hala, která bude sloužit pro pořádání společenských a sportovních akcí. Tato hala má šířku 30 metrů a délku metrů. Třetí hala slouží jako prostor pro zázemí. Její vnější rozměry a konstrukce hlavních nosných prvků jsou totožné s první halou. Na rozdíl od první haly bude tato hala obsahovat dvoupatrovou vestavbu. Jako hlavní nosnou konstrukci střechy jsem zvolil příhradový vazník. Pro návrh ideální geometrie příhradového vazníku jsem navrhl a porovnal několik variant. Geometrii a vnitřní síly, na základě kterých jsem vybral nevhodnější variantu, z tohoto porovnání vkládám do příloh.

2. Normy a literatura.

- ČSN EN 1993-1-1 Navrhování ocelových konstrukcí. Část 1-1: Obecná pravidla a pravidla pro pozemní stavby
- ČSN EN 1991-1-1 Eurokód 1: Zatížení konstrukcí – Část 1-1: Objemové tíhy, vlastní tíhy a užitná zatížení pozemních staveb
- ČSN EN 1991-1-3 Eurokód 1: Zatížení konstrukcí – Část 1-3: Obecná zatížení – zatížení sněhem
- ČSN EN 1991-1-4 Eurokód 1: Zatížení konstrukcí – Část 1-4: Obecná zatížení – zatížení větrem
- ISBN 978-80-904535-0-0 Wald, František. Základy navrhování ocelových konstrukcí podle ČSN EN 1993-1-1 a ČSN EN 1993-1-8
- ISBN 978-80-01-04368-4 Vraný T., Jandera M., Eliášová M. : Ocelové konstrukce 2. Cvičení ,ČVUT Praha, 2011
- ISBN 978-80-01-05815-2 Studnička J., Holický M., Marková J.: Ocelové konstrukce 2 – zatížení, ČVUT Praha, 2011
- ISBN 978-80-01-03140-7 Vraný T., Wald F.: Ocelové konstrukce – Tabulky, ČVUT Praha, 20099

7

3. Popis konstrukce

Hlavní svislé ocelové konstrukce jsou tvořeny sloupy, uspořádanými do dvou osově souměrných řad. Sloupy jsou založeny na betonových patkách na úrovni $\pm 0,00$ m. Sloupy jsou navrženy jako vložené a jejich vložení k betonovým patkám je provedeno přes ocelovou vloženou patku. Patky jsou navržené jako o. Výška sloupů je u první a třetí haly 7,6 m. U prostřední haly je výška sloupů 9 metrů. Sloupy v první a třetí hale jsou navrženy z průřezu HEA a sloupy v prostřední hale jsou navrženy z profilu HEA . Vnitřní sloupy, které ve třetí hale podpírají vestavbu, jsou od sebe vzdáleny 4 metry a od hlavních sloupů svislé konstrukce jsou vzdáleny 6 metrů. Tyto sloupy jsou navrženy z profilu HEA 140 a to hlavně

z konstrukčního důvodu. Na únosnost by vyhovoval i sloup s menším průřezem, ale nebylo by možné napojit průvlak na tento sloup.

Stropní konstrukce ve vestavbě jsem navrhoval dvě rozdílné pro každé patro jinou. Stropní konstrukce přízemí je tvořena spřaženými stropnicemi s rozpětím 6 metrů. Tato stropní konstrukce je tvořena profile IPE 160 a betonovou deskou výšky 70 mm. Mezi hlavními nosnými sloupy je nesena stropní konstrukce průvlakem o rozpětí 8 metrů s profilem IPE 360. Vnitřní sloupy, jenž jsou od sebe vzdáleny 4 metry, jsou spojeny průvlaky s profilem IPE 180. Stropní konstrukce prvního podlaží je taktéž tvořena spřaženými stropnicemi s rozpětím 6 metrů. Stropní konstrukce je podobně tvořena betonovou destou výšky 70 mm. V tomto případě je pro stropnici dostačující profil IPE 100. Mezi hlavními nosnými sloupy jsou stropnice neseny průvlakem s průřezem IPE 240 a mezi sloupy vestavby jsou stropnice neseny 4metrovými průvlaky s průřezem IPE 140.

Vazník nad první a třetí halou je celý navržen jako trubkový. Vzhledem k tomu, že je zastřešení tvořeno lehkým pláštěm s PUR panelů Kingspan, je pro všechny pruty v tomto vazníku rozhodující tlak. Posouzení je i se všemi rozměry prutů uvedeno ve statickém výpočtu. Přehled výsledků ze všech kombinací působících na vazník jsou uvedeny v příloze.

Vazník nad prostřední halou je navržen v kombinaci dřevo – ocel. Jelikož je tato hala zastřešena dřevěnými střešními panely od firmy Novatop, ani největší sání větru nepřevrátí vnitřní síly a část prvků je vždy tlačená a část vždy tažena. Díky tomu jsem mohl navrhnut tlačené prvky ze dřeva a tažené prvky navrhnu jako Detan táhla od firmy Halfen.

4. Návrh a posouzení konstrukcí

Nosné konstrukce byly navrženy podle norem ČSN EN 1993-1-1, Eurokód 3; Navrhování ocelových konstrukcí – Část 1-1: Obecná pravidla pro pozemní stavby.

Při návrhu byl pro výpočet vnitřních sil na konstrukcích využit program SCIA Engineer. Výsledky z tohoto programu jsem uvedeny v přílohách a rozhodující kombinace uvedeny také ve statickém výpočtu.

Pro výpočet vnějšího zatížení byly použity následující normy: ČSN EN 1991-1-1, Eurokód 1: Zatížení konstrukcí – Část 1-1: Objemové těhy, vlastní těha a užitná zatížení pozemních staveb, ČSN EN 1991-1-3, Eurokód 1: Zatížení konstrukcí – Část 1-3: Obecná zatížení – zatížení sněhem a ČSN EN 1991-1-4, Eurokód 1: Zatížení konstrukcí – Část 1-4: Obecná zatížení – zatížení větrem.

5. Materiály

Ocelové vazníky v hlavní příčné vazbě u první a třetí haly jsou vyrobeny z oceli S355. Šrouby montážních styků jsou z jakosti 5.6.

Příhradové vazníky prostřední haly jsou navrženy kombinované ze dřeva C24 na tlačené pruty, a na tažené pruty jsou navrženy ze systému táhel Detan. V přílohách je uveden materiálový list od výrobce – všechny mnou navržená táhla jsou s ocelí S460N.

Všechny sloupy a konstrukce jejich patek jsou navrženy z oceli S235.

Vaznice první a třetí haly jsou navrženy jako ocelové z oceli S355. U štítové stěny jsou sloupky navrženy z oceli S235 a táhla ve štítové stěně jsou navrženy také z oceli S235.

Vaznice v prostřední hale jsou navrženy jako dřevěné ze dřeva C24. Upevněny k vazníku jsou pomocí systému Bova.

Betonové konstrukce na pevnině jsou navrženy z konstrukčního betonu C16/20. Nosná výztuž je 10 505 (R), konstrukční výztuž 10 216 (E).

6. Provádění a montáž konstrukce

Jednotlivé montážní díly jsou šroubované. Šrouby jsou třecí jakosti 5.6. Vyjímkou jsou montážní styky sloupů a připoj plechu střechy na stropnici. Montážní díly jsou patrné z výkresů. Ocelový vazník na halu I. a III. je rozdělen na 3 části přibližně ve třetinác rozpětí. Z toho vyplývají dva montážní styky. Vazník je na sloup připojen kloubově.

Dřevěný vazník nesoucí střešní plášť má jeden montážní styk na polovině nosníku, přibližně ve třetině rozpětí. Tento spoj je svorníkový a jsou použity svorníky pevnosti 8.8. Svislice vazníku jsou připojeny pomocí ocelových svorníků. Ocelová táhla jsou připojena přes ocelové desky ke dřevu také pomocí svorníků. Spoovací prvky pro táhla jsou dodávány přímo od výrobce a používají ocel S355.

Na konec hlavního nosného sloupu je přivařen patní plech. Sloup je postaven na betonovou patku a poté je pomocí patky, tvořené z přičníků a šroubů, ukotven k betonové patce.

Ocelové vaznice nad halou I. a III. jsou připojeny k vazníku před plech pomocí L-úhelníku.

Dřevěné vaznice jsou k dřevěnému vazníku připojeny pomocí tvarovaného plechu a hřebíků.

7. Protikorozní ochrana ocelové konstrukce

Protikorozní ochrana ocelové konstrukce je zajištěna pomocí protikorozního nátěrového systému.

8. Ochrana ocelové konstrukce proti požáru

Protipožární ochrana ocelové konstrukce je zajištěna pomocí protipožárnímu nátěru.